

ԵՐԵՎԱՆԻ ՊԵՏԱԿԱՆ ՀԱՄԱԼՍԱՐԱՆ

Կարեն Մովսիսյան, Վահե Թադևոսյան,
Դավիթ Բաղդասարյան

ԽՆԴԻՐՆԵՐ ՌԱԴԻՈՏԵԽՆԻԿԱՅԻ
ՏԵՍԱԿԱՆ ՀԻՄՈՒՆՔՆԵՐԻՑ
(գծային շղթաներ)

Ուսումնական ձեռնարկ

ԵՐԵՎԱՆ
ԵՊՀ ՀՐԱՏԱՐԱԿՉՈՒԹՅՈՒՆ
2022

ՀՏԴ 621.37(076.1)

ԳՄԴ 32.84Գ7

Մ 917

*Հրատարակության է երաշխավորել
ԵՊՀ ռադիոֆիզիկայի ֆակուլտետի խորհուրդը:*

Գիրքը նվիրվում է Կ. Ս. Մովսիսյանի 80-ամյակին:

Գրախոս՝

ԵՊՀ ռադիոֆիզիկայի ֆակուլտետի
հեռահաղորդակնության և ազդանշանների մշակման
ամբիոնի վարիչ, տ.գ.թ., **դոցենտ Հ. Ս. Հարոյան**

Խմբագիր՝

ԵՊՀ ռադիոֆիզիկայի և էլեկտրոնիկայի ամբիոնի
վարիչ, ֆ.մ.գ.թ., **դոցենտ Ա. Հ. Մակարյան**

Մովսիսյան Կ. Ս., Թադևոսյան Վ. Ռ., Բաղդասարյան Դ. Հ.
Մ 917 Խնդիրներ ռադիոտեխնիկայի տեսական հիմունքներից
(գծային շղթաներ)/ Կ. Ս. Մովսիսյան, Վ. Ռ. Թադևոսյան,
Դ. Հ. Բաղդասարյան: -Եր.: ԵՊՀ հրատ., 2022, 186 էջ:

Ձեռնարկը պարունակում է 265 խնդիրներ, որոնց մի մասն ունեն
լուծումներ և ցուցումներ: Ձեռնարկը համալրված է տեսական նյութով, որը
բավարար է ընդգրկված խնդիրները լուծելուն:

Ձեռնարկը նախատեսված է ռադիոֆիզիկայի և ֆիզիկայի ֆակուլտետ-
ների ուսանողների համար: Այն կարող են գործածել նաև այլ ԲՈՒՀ-երի
ուսանողները «Ռադիոտեխնիկա և տեսական էլեկտրատեխնիկա» առար-
կայի ուսումնասիրման ընթացքում:

ՀՏԴ 621.37(076.1)

ԳՄԴ 32.84Գ7

ISBN 978-5-8084-2558-3

© ԵՊՀ հրատ., 2022

© Կ. Ս. Մովսիսյան, Վ. Ռ. Թադևոսյան, Դ. Հ. Բաղդասարյան, 2022

Առաջարան

Ձեռնարկը Կ. Մ. Մովսիսյանի կողմից հեղինակած և 1990 թվականին հրատարակված «Խնդիրներ ռադիոտեխնիկայի տեսական հիմունքներից» խնդրագրքի բարելավված տարբերակն է: Այս խնդրագրքում ավելացվել է ևս 65 խնդիր, իսկ բոլոր բաժինները լրացվել են տեսական տեղատվական նյութերով և անհրաժեշտ բանաձևերով, որոնք նպաստում են ընդգրկված խնդիրների լուծմանը: Այս փոփոխություններով խնդրագրքի ծավալը 70 էջից դարձել է 186 էջ: Ձեռնարկում ընդգրկված 265 խնդիրներից 85-ն ունեն լուծումներ (դրանք նշված են <<•>> նշանով), իսկ 30-ը՝ ցուցումներ:

Ձեռնարկը նախատեսված է ռադիոֆիզիկայի և ֆիզիկայի ֆակուլտետների ուսանողների համար:

Այն կարող են գործածել նաև Ճարտարագիտական համալսարանի ուսանողները «Ռադիոտեխնիկա և տեսական էլեկտրատեխնիկա» առարկայի ուսումնասիրման ընթացքում:

Բովանդակություն

1. Ռադիոտեխնիկական տարրեր և շղթաներ: Գծային շղթայի դիֆերենցիալ հավասարումները: Փոփոխական հոսանք: Կիրիսիտի օրենքները փոփոխական հոսանքի բարդ շղթաների համար.....	5
2. Փոփոխական հոսանքի շղթաների հաշվարկը կոմպլեքս մեծություններով: Կոմպլեքս հզորություն.....	27
3. Որոշ ազդանշանների մաթեմատիկական մոդելները և դրանց բնութագրերը: Ազդանշանների սպեկտրային վերլուծությունը: Թեորեմներ սպեկտրների վերաբերյալ.....	42
4. Կոմպլեքս փոխանցման գործակից: Ազդանշանի կոռելյացիոն վերլուծություն: Որոշ ազդանշանների կոռելյացիոն ֆունկցիաները.....	61
5. Լապլասի ձևափոխությունը: Թեորեմներ Լապլասի ձևափոխությունների վերաբերյալ: Անցումային և իմպուլսային բնութագրեր.....	71
6. Էլեկտրամագնիսական տատանումներ: Տատանողական կոնտուրներ: Ազատ և ստիպողական տատանումները կոնտուրներում: Ռեզոնանսային երևույթները տատանողական կոնտուրներում: Տատանողական կոնտուրների բնութագրերը: Կապված կոնտուրներ.....	86
7. Էլեկտրական գոիչներ: Երկար գծեր: Ալիքատարներ: Ծավալային ռեզոնատորներ.....	111
8. Պատասխաններ.....	125
9. Հավելված.....	180
10. Գրականություն.....	185

§1. Ռադիոտեխնիկական տարրեր և շղթաներ: Գծային շղթայի դիֆերենցիալ հավասարումները:
Փոփոխական հոսանք: Կիրիսեռֆի օրենքները
փոփոխական հոսանքի բարդ շղթաների համար

Հիմնական հասկացություններ և բանաձևեր

1.1. Ռադիոտեխնիկական համակարգերի հիմնական տարրերը

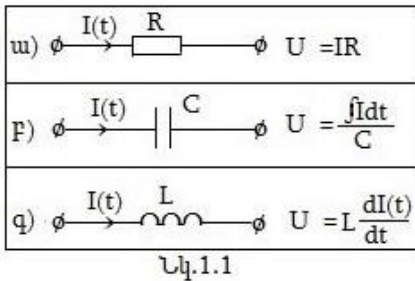
1. Օհմական դիմադրություն կամ ռեզիստոր՝ Նկ. 1.1ա:

2. Ունակային դիմադրություն կամ կոնդենսատոր՝ Նկ. 1.1բ:

3. Ինդուկտիվ դիմադրություն կամ ինդուկտիվ կոճ՝ Նկ. 1.1գ:

Նկ. 1.1-ում ցույց է տրված այդ տարրերի վրա լարման անկումները:

• Ռադիոտեխնիկական գծային համակարգերի դեպքում օհմական դիմադրությունները համարվում են հաստատուն, այսինքն՝ դրանց վոլտ-ամպերային բնութագիծն ուղիղ գիծ է:



Օհմական R դիմադրությունով թե՛ հաստատուն, թե՛ փոփոխական հոսանք անցնելիս էլեկտրական էներգիան անվերադարձորեն փոխակերպվում է ջերմության, և դրան անվանում են ակտիվ դիմադրություն կամ ռեզիստոր:

Ակտիվ դիմադրությունը սովորաբար հաղորդալարից է և, հետևաբար, օժտված է ինդուկտիվությամբ ու ունակությամբ:

Մրա շնորհիվ ակտիվ դիմադրությունը փոփոխական հոսանքի շղթայում օժտված կլինի նաև ինդուկտիվ և ունակային դիմադրություններով (ռեակտիվ դիմադրությամբ): Մակայն ռեզիստորում ռեակտիվ բաղադրիչները շատ փոքր են ակտիվի նկատմամբ և անտեսվում են:

• **Իդեալական կոնդենսատորի դիմադրությունը՝**

$$X_C = \frac{1}{\omega C}, \quad (1.1)$$

որտեղ C -ն կոնդենսատորի էլեկտրաունակությունն է, իսկ ω -ն՝ հոսանքի անկյունային հաճախությունը: Իրականում կոնդենսատորներն օժտված են նաև օհմական և ինդուկտիվ դիմադրություններով, սակայն դրանց առկայության մասին նշվելու է միայն անհրաժեշտության դեպքում: Ունակային դիմադրությունը ռեակտիվ դիմադրություն է, քանի որ դրա շնորհիվ էլեկտրական էներգիայի անվերադարձ կորուստ տեղի չի ունենում:

• **Իդեալական ինդուկտիվ կոճի դիմադրությունը՝**

$$X_L = \omega L, \quad (1.2)$$

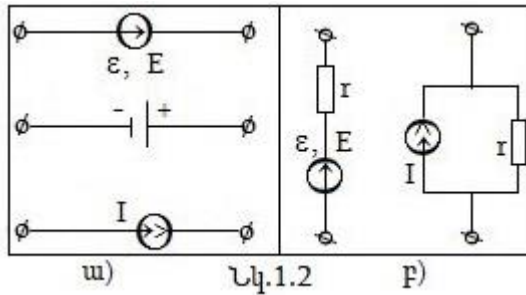
որտեղ L -ը կոճի ինդուկտիվությունն է, իսկ ω -ն՝ հոսանքի անկյունային հաճախությունը:

Ինդուկտիվ դիմադրությունն ևս ռեակտիվ դիմադրություն է: Իրական կոճերն օժտված են նաև օհմական և ունակային դիմադրություններով, որոնց առկայության մասին կնշվի միայն անհրաժեշտության դեպքում:

Ռադիոտեխնիկական գծային համակարգերի դեպքում համարվում է, որ շղթայի տարրերի դիմադրությունները կախված չեն նրանց վրա կիրառված լարումից կամ նրանցով անցնող հոսանքի ուժից: Մա նշանակում է, որ դրանց $I = f(U)$ վոլտ-ամպերային բնութագրից ուղիղ գիծ է:

1.2. Հաստատուն լարման և հոսանքի աղբյուրներ

Հաստատուն հոսանքի և լարման աղբյուրների նշանակումները բերված են Նկ. 1.2-ում, որտեղ հաստատուն լարման աղբյուրների վրա գրված է ε կամ E տառը, իսկ հաստատուն հոսանքի աղբյուրների վրա՝ I տառը: Հաստատուն հոսանքի



աղբյուրների ներքին դիմադրությունը շատ անգամ մեծ է լինում արտաքին շղթայի դիմադրությունից, իսկ հաստատուն լարման աղբյուրների ներքին դիմադրությունը՝ շատ անգամ փոքր արտաքին շղթայի դիմադրությունից:

1.3. Գծային շղթայի դիֆերենցիալ հավասարումները

• Հաստատուն պարամետրերով շղթաներ.

Այս շղթաները նկարագրվում են հաստատուն գործակիցներով գծային դիֆերենցիալ հավասարումներով՝

$$a_n \frac{d^n y}{dt^n} + a_{n-1} \frac{d^{n-1} y}{dt^{n-1}} + \dots + a_1 \frac{dy}{dt} + a_0 y = f(t): \quad (1.3)$$

Ռադիոտեխնիկական շղթայում y -ը հոսանքն է կամ լարումը, հետևաբար $f(t)$ -ն կա'մ արտաքին էլՇՈւ-ն է, կա'մ

դրանից կախված ֆունկցիան: Այդպիսի հավասարում հնարավոր է կազմել կամայական գծային էլեկտրական շղթայի համար:

Առանց աջ մասի ($f(t) = 0$, ազատ ընթացք) (1.3) գծային դիֆերենցիալ հավասարման լուծումն ունի հետևյալ տեսքը՝

$$I = \sum_{k=1}^n c_k e^{\gamma_k t}, \quad (1.4)$$

որտեղ γ_k -երը տվյալ դիֆերենցիալ հավասարման բնութագրական հավասարման արմատներն են՝

$$a_n \gamma^n + a_{n-1} \gamma^{n-1} + \dots + a_1 \gamma + a_0 = 0: \quad (1.5)$$

Հաստատուն պարամետրերով գծային շղթաների դեպքում, եթե (1.3) հավասարման աջ մասը ω հաճախությամբ սինուսոիդային (հարմոնիկ) ֆունկցիա է, ապա $y(t)$ -ն ևս կլինի ω հաճախությամբ սինուսոիդային ֆունկցիա:

1.4. Կիրիստոֆի օրենքները փոփոխական հոսանքի բարդ շղթաների համար

• Կիրիստոֆի առաջին օրենքը՝ $\sum_k i_k = 0$, որտեղ k -ն ճյուղերի համարներն է, որոնք միացած են տվյալ հանգույցին:

• Կիրիստոֆի 2-րդ օրենքը բարդ շղթայի n տեղամասից կազմված կոնտուրի համար՝

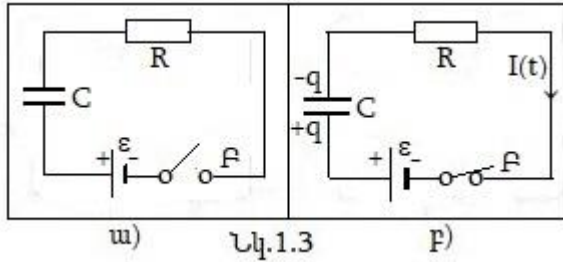
$$\sum_{k=1}^n \left[L_k \frac{di_k}{dt} + R_k i_k + \frac{1}{C_k} \int i_k dt + A_k \right] = \sum_{k=1}^n \varepsilon_k, \quad (1.6)$$

որտեղ R_k -ն, L_k -ն և C_k -ն այդ կոնտուրի k -րդ տեղամասի համարժեք ակտիվ դիմադրությունը, ինդուկտիվությունը և ունակությունն են, իսկ ε_k -ն՝ այդ տեղամասի ընդհանուր էլՇՈւ-ն: Ածանցելով (1.6)-ը՝ կստանանք

$$\sum_{k=1}^n \left[L_k \frac{d^2 i_k}{dt^2} + R_k \frac{di_k}{dt} + \frac{1}{C_k} i_k \right] = \sum_{k=1}^n \frac{d\varepsilon_k}{dt}: \quad (1.7)$$

1.5. Պարզագույն շղթաների հավասարումները

ա) C ունակությամբ կոնդենսատորը լիցքավորվում է R դիմադրության միջոցով (Նկ. 1.3):



- Դիֆերենցիալ հավասարումը.

$$IR + \frac{1}{C} \int I dt = \varepsilon, \quad (1.8)$$

որտեղից հետևում է, որ $I(0) = \varepsilon/R$:

- Հոսանքի կախումը ժամանակից.

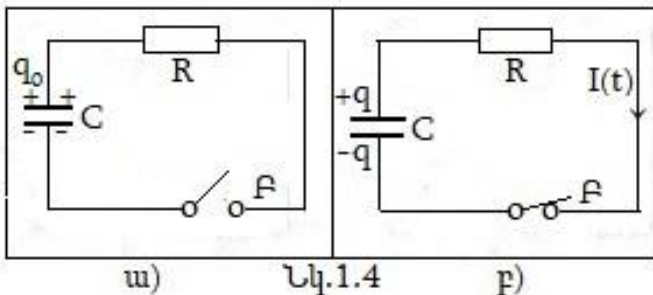
$$I = I_0 e^{-t/(RC)}: \quad (1.9)$$

- Լարումը կոնդենսատորի վրա.

$$U_C = \varepsilon \left(1 - e^{-\frac{t}{\tau}}\right), \quad (1.10)$$

որտեղ $\tau = RC$ -ն կոչվում է շղթայի ժամանակի հաստատուն:

բ) C ունակություն և q_0 լիցք ունեցող կոնդենսատորը միացվում է R դիմադրությանը (Նկ. 1.4):



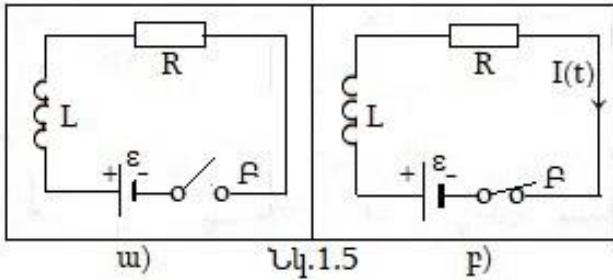
- Դիֆերենցիալ հավասարումը.

$$IR + \frac{q}{c} = 0 \quad \text{կամ} \quad R \frac{dI}{dt} + \frac{I}{c} = 0: \quad (1.11)$$

- Լիցքի և հոսանքի կախումը ժամանակից

$$q = q_0 e^{-t/\tau}; \quad I = \frac{q_0}{\tau} e^{-t/\tau}: \quad (1.12)$$

զ) L ինդուկտիվության կոճը R դիմադրության միջոցով միացվում է հոսանքի աղբյուրին (Նկ. 1.5):



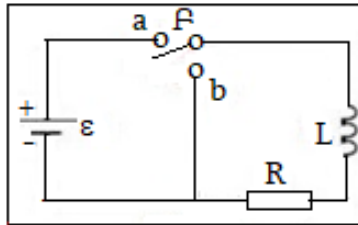
- Դիֆերենցիալ հավասարումը.

$$L \frac{dI}{dt} + IR = \varepsilon: \quad (1.13)$$

- Հոսանքի կախումը ժամանակից.

$$I_L = \frac{\varepsilon}{R} (1 - e^{-t/\tau}), \quad (1.14)$$

որտեղ $\tau = L/R$ -ի՝ շղթայի ժամանակի հաստատունն է: L ինդուկտիվության հոսանքակիր կոճը միացվում է R դիմադրությանը (Նկ. 1.6, Բ բանալին a դիրքից տեղափոխվում է b դիրք):



Նկ.1.6

- Դիֆերենցիալ հավասարումը.

$$L \frac{dI}{dt} + IR = 0: \quad (1.15)$$

- Հոսանքի կախումը ժամանակից.

$$I_L = I_0(1 - e^{-t/\tau}) = \frac{\varepsilon}{R}(1 - e^{-t/\tau}): \quad (1.16)$$

1.6. Փոփոխական հոսանք: Փոփոխական լարման և հոսանքի աղբյուրներ

Ցանկացած հոսանք, որը ժամանակի ընթացքում փոփոխվում է՝ $I = I(t)$, կոչվում է փոփոխական հոսանք:

- Պարբերական հոսանք.

$$I(t) = I(t + T) = I(t + 2T) = \dots = I(t + nT): \quad (1.17)$$

որտեղ $T = const$ -ը կրկնման պարբերությունն է, իսկ

$$f = \frac{1}{T} \text{-ն՝ հաճախությունը, իսկ } n1, 2, 3, \dots :$$

- Սինուսոիդային հոսանքներ

Սինուսոիդային (ներդաշնակ) հոսանքի ուժի կախումը ժամանակից ունի հետևյալ տեսքը՝

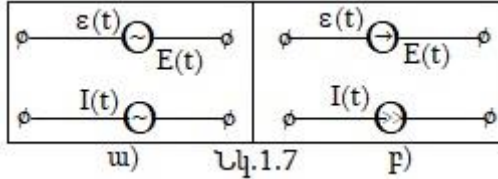
$$I(t) = I_0 \sin(\omega t + \varphi_0), \quad (1.18)$$

որտեղ φ_0 -ն հոսանքի տատանման սկզբնական փուլն է, իսկ $\omega = 2\pi f$ -ն ցիկլային (շրջանային) հաճախությունը: Գծային էլեկտրական շղթայում հոսանքը կլինի սինուսոիդային, եթե աղբյուրի էլՇՈւ-ն ժամանակից կախված փոփոխվի սինուսոիդային օրենքով՝

$$\varepsilon = \varepsilon_0 \sin(\omega t + \varphi_1), \quad (1.19)$$

որտեղ ε_0 -ն էլՇՈւ-ի տատանման լայնույթն է, իսկ φ_1 -ը՝ նրա սկզբնական փուլը:

Փոփոխական լարման և հոսանքի աղբյուրների նշանակումները բերված են Նկ. 1.7-ում: Նկ. 1.7բ-ն համընկնում է հաստատուն լարման և հոսանքի նշանակման հետ, սակայն նշվում է, որ դրանք կախված են ժամանակից:



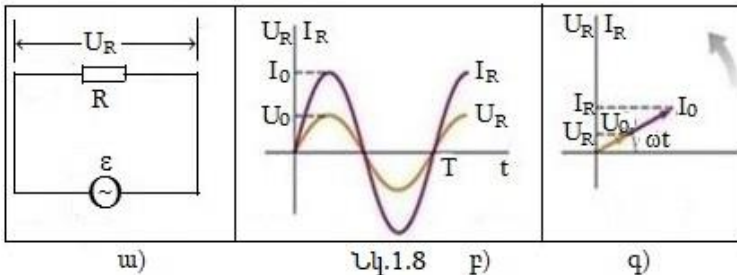
Մեր կողմից ուսումնասիրվող փոփոխական հոսանքները հիմնականում հանդիսանում են քվազիհաստատուն (հոսանքի ակնթարթային արժեքները շրթայի տվյալ տեղամասի բոլոր կետերում նույնն է), հետևաբար դրանց ակնթարթային արժեքների համար կարելի է գրել Օհմի օրենքը և կազմել Կիրխոֆի հավասարումները:

ա) Ակտիվ դիմադրությունը փոփոխական հոսանքի շրթայում: Հոսանքի և լարման գործող արժեքներ

$\varepsilon = \varepsilon_0 \sin \omega t$ փոփոխական էլՇՈւ-ն միացվել է R ակտիվ դիմադրությունը (Նկ. 1.8ա):

- Ըստ Կիրխոֆի երկրորդ օրենքի՝

$$I(t) = \frac{U(t)}{R} = \frac{\varepsilon_0 \sin \omega t}{R} = I_0 \sin \omega t, \quad (1.20)$$



որտեղ $I_0 = \frac{\varepsilon_0}{R}$ -ն հոսանքի լայնության արժեքն է:

Միայն ակտիվ դիմադրություն պարունակող փոփոխական հոսանքի շղթայում հոսանքը և լարման անկումը փոփոխվում են էլՇՈւ-ի հաճախությամբ՝ միևնույն սկզբնական փուլով (Նկ. 1.8բ): Բսկ Նկ. 1.8գ-ում հոսանքի և լարման կախվածությունները դիտված են որպես ω անկյունային արագությամբ պտտվող վեկտորներ:

• **Փոփոխական հոսանքի, լարման կամ էլՇՈւ-ի գործող արժեքները.**

$$I_q = \frac{I_0}{\sqrt{2}}, \quad U_q = \frac{U_0}{\sqrt{2}}, \quad \varepsilon_q = \frac{\varepsilon_0}{\sqrt{2}}. \quad (1.21)$$

• **Աղբյուրի ծախսած միջին հզորությունը մեկ պարբերության ընթացքում.**

$$\overline{P}_R(t) = I_q U_q \neq 0: \quad (1.22)$$

բ) Կոնդենսատորը փոփոխական հոսանքի շղթայում

$\varepsilon = \varepsilon_0 \sin \omega t$ փոփոխական էլՇՈւ-ն միացվել է C ունակությամբ կոնդենսատորը (Նկ. 1.9ա):

• Կիրիսեռֆի II օրենքն այդ շղթայի համար՝

$$U_C = \frac{q}{C} = \varepsilon_0 \sin \omega t, \text{ որտեղից՝}$$

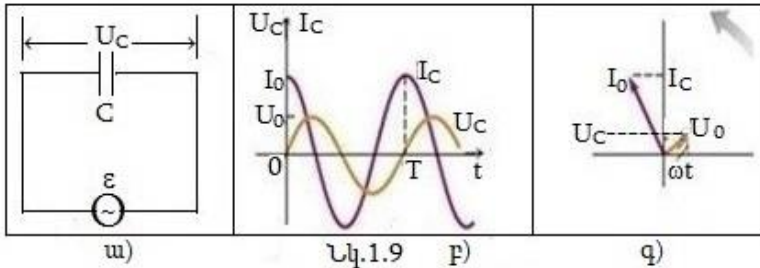
$$I = \frac{dq}{dt} = \varepsilon_0 C \omega \cos \omega t = \frac{\varepsilon_0}{X_C} \sin \left(\omega t + \frac{\pi}{2} \right): \quad (1.23)$$

Հոսանքը փոփոխվում է հարմոնիկ օրենքով՝ նույն ω հաճախությամբ և $I_0 = \varepsilon_0 C \omega = \frac{\varepsilon_0}{X_C}$ լայնությամբ, որտեղ $X_C = \frac{\varepsilon_0}{I_0} = \frac{1}{\omega C}$ -ն ունակային դիմադրությունն է (հաստատուն հոսանքի դեպքում $\omega = 0$ և $X_C \rightarrow \infty$):

I_0 -ն բաժանելով $\sqrt{2}$ -ի վրա, գործող արժեքի համար կունենանք՝

$$I_q = \frac{\varepsilon_q}{X_C}. \quad (1.24)$$

(1.23)-ից հետևում է, որ կոնդենսատորի հոսանքը $\pi/2$ փուլով առաջ է ընկած U_c լարումից (Նկ. 1.9բ, գ):



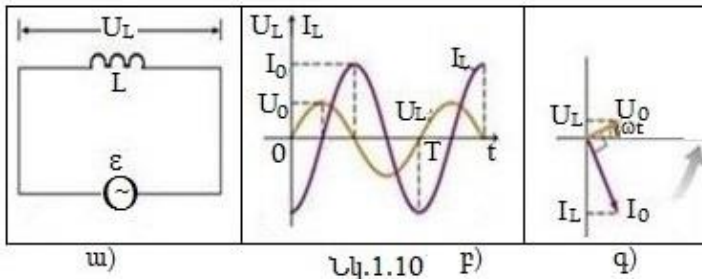
Աղբյուրի ծախսած միջին հզորությունը մեկ պարբերության ընթացքում հավասար է զրոյի՝ $\overline{P}_c(t) = 0$: Սա նշանակում է, որ միայն ունակային դիմադրության առկայության դեպքում, աղբյուրի ծախսած էներգիան գնում է կոնդենսատորում էլեկտրական դաշտ ստեղծելու վրա և լրիվ վերադառնում է աղբյուրին, երբ կոնդենսատորի էլեկտրական դաշտը վերանում է: Այդ պատճառով ունակային դիմադրությանն անվանում են ռեակտիվ դիմադրություն:

գ) Ինդուկտիվ կոճը փոփոխական հոսանքի շղթայում

$\varepsilon = \varepsilon_0 \sin \omega t$ փոփոխական էլՇՈւ-ն միացվում է L ինդուկտիվությանը կոճին (Նկ. 1.10ա):

- Կիրիստոֆի II օրենքն այդ շղթայի համար.

$$L \frac{di}{dt} = \varepsilon_0 \sin \omega t: \quad (1.25)$$



(1.27)-ից ստացվում է շղթայով անցնող $I(t)$ հոսանքը՝

$$(t) = \frac{\varepsilon_0}{L} \int \sin \omega t dt = -\frac{\varepsilon_0}{L\omega} \cos \omega t = I_0 \sin \left(\omega t - \frac{\pi}{2} \right), \quad (1.26)$$

որտեղ $I_0 = \frac{\varepsilon_0}{\omega L} = \frac{\varepsilon_0}{X_L}$: $X_L = \omega L = \frac{\varepsilon_0}{I_0}$ -ն դիմադրություն է և կոչվում է ինդուկտիվ դիմադրություն (հաստատուն հոսանքի դեպքում $\omega = 0, X_L = 0$): Ինչպես հետևում է (1.26) արտահայտությունից, հոսանքը կոճում $\pi/2$ փուլով ետ է ընկած կոճի վրա լարման անկումից (Նկ. 1.10բ, գ):

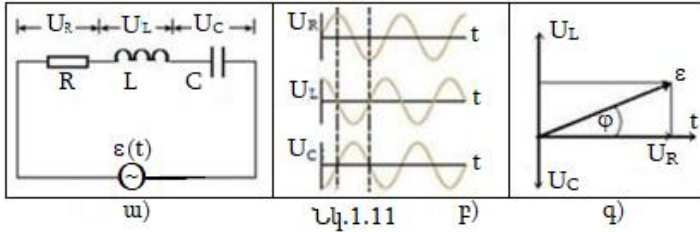
- Աղբյուրի ծախսած միջին հզորությունը մեկ պարբերության ընթացքում՝ $\overline{P}_L = 0$: Մա նշանակում է, որ միայն ինդուկտիվ դիմադրության առկայության դեպքում, աղբյուրի ծախսած էներգիան գնում է կոճում մագնիսական դաշտ ստեղծելու վրա և այդ դաշտի էներգիան լրիվ վերադառնում է աղբյուրին, երբ կոճի մագնիսական դաշտը վերանում է: Այսինքն՝ ինդուկտիվ դիմադրությունն ևս ռեակտիվ դիմադրություն է:

դ) Օհմի օրենքը փոփոխական հոսանքի համար

Պարզության համար ենթադրենք, որ շղթայի ամբողջ ակտիվ դիմադրությունը կենտրոնացված է R դիմադրությամբ ռեզիստորում, ունակությունը՝ C ունակությամբ կոնդենսատորում, իսկ ինդուկտիվությունը՝ L ինդուկտիվությամբ կոճում: Այս դեպքում փոփոխական հոսանքի չճյուղավորված շղթայի սխեման կարելի է ներկայացնել Նկ. 1.11 ա-ում պատկերված տեսքով: Այդ տարրերի վրա լարման անկումների կախվածությունը ժամանակից բերված է Նկ. 1.11 բ-ում:

- **Կիրիսեռֆի II օրենքը Նկ. 1.11 ա-ի շղթայի համար.**

$$\frac{q}{C} + L \frac{di}{dt} + IR = \varepsilon_0 \sin \omega t: \quad (1.28)$$



• Նկ. 1.11 ա. Շղթայի հոսանքի համար դիֆերենցիալ հավասարումը.

$$L \frac{d^2 I}{dt^2} + R \frac{dI}{dt} + \frac{1}{C} I = \varepsilon_0 \omega \cos \omega t: \quad (1.29)$$

Այս դիֆերենցիալ հավասարման համասեռ մասը նկարագրում է մարող տատանումներ և նրա ընդհանուր լուծումը ժամանակի ընթացքում ձգտում է զրոյի: Ուստի անցումային ընթացքի ավարտից հետո (1.29) հավասարման լուծումը կարելի է ներկայացնել միայն մասնակի լուծման տեսքով՝

$$I = A_1 \sin \omega t + A_2 \cos \omega t: \quad (1.30)$$

Ընտրելով A_1 և A_2 գործակիցներն այնպես, որ (1.30)-ը բավարարի (1.29) հավասարմանը, կունենանք՝

$$I = \frac{\varepsilon_0}{\sqrt{R^2 + (\omega L - 1/\omega C)^2}} \cos(\omega t - \varphi), \quad (1.31)$$

որտեղ՝

$$\operatorname{tg} \varphi = \frac{\omega L - 1/\omega C}{R}: \quad (1.32)$$

(1.31)-ը Օհմի օրենքն է փոփոխական հոսանքի համար:

Այսպիսով, մեկից ավելի գծային տարրեր պարունակող շղթայում ևս հոսանքը փոփոխվում է նույն ω հաճախությամբ, ինչ որ ԷԼՇՈւ-ն, սակայն φ փուլով շեղված է ԷԼՇՈւ-ի նկատմամբ, որը որոշվում է (1.32) պայմանից: Երբ $\omega L > \frac{1}{\omega C}$, ապա հոսանքը φ -ով ետ է ընկած, իսկ $\omega L < \frac{1}{\omega C}$ -ի դեպքում՝ φ -ով

առաջ է ընկած էլՇՈւ-ի փուլից: Հոսանքի լայնության շրջանը որոշվում է հետևյալ արտահայտությամբ՝

$$I_0 = \frac{\varepsilon_0}{\sqrt{R^2 + (\omega L - 1/\omega C)^2}} \quad (1.33)$$

$Z = \sqrt{R^2 + (\omega L - 1/\omega C)^2}$ մեծությանն անվանում են շղթայի լրիվ դիմադրություն կամ իմպեդանս:

Եթե $U_R(t)$, $U_L(t)$, $U_C(t)$, $\varepsilon(t)$ և $I(t)$ մեծությունները ներկայացնենք պատվող վեկտորների տեսքով և հաշվի առնենք նրանց միջև փուլերի տարբերությունը, ապա ժամանակի կամայական պահին դրանք իրար նկատմամբ կունենան Նկ. 1.11 գ-ում բերված դասավորությունը: Որտեղից կարող ենք գրել, որ $\varepsilon_0^2 = (I_0 R)^2 + (I_0 \omega L - \frac{I_0}{\omega C})^2$ և կստանանք (1.33)-ը, իսկ $tg\varphi = \frac{U_L(t) - U_C(t)}{U_R(t)}$ -ից էլ հետևում է (1.32)-ը:

• **Նկ. 1.11ա. Շղթայում աղբյուրի ծախսած միջին հզորությունն ակտիվ դիմադրության վրա՝**

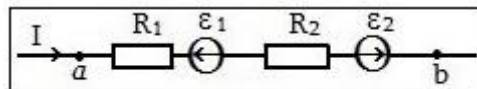
$$\bar{P}_R = \frac{1}{T} \int_0^T \varepsilon_0 \sin \omega t I_0 \sin(\omega t - \varphi) dt = I_q \varepsilon_q \cos \varphi \quad (1.34)$$

$\cos \varphi$ -ն միջտ դրական է և կոչվում է շղթայի հզորության գործակից:

Խնդիրներ

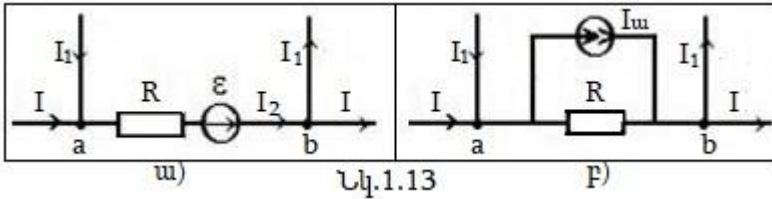
Հաստատուն հոսանք

1.1. Նկ. 1.12-ում պատկերված է հաստատուն հոսանքի շղթայի ինչ-որ տեղամաս: Հայտնի են a և b կետերի պոտենցիալներ՝ $\varphi_a = -10$ Վ, $\varphi_b = 25$ Վ, իսկ $R_1 = 8$ Օհմ, $R_2 = 2$ Օհմ, $\varepsilon_1 = 15$ Վ, $\varepsilon_2 = 25$ Վ: Որոշե՛ք հոսանքի I ուժը:



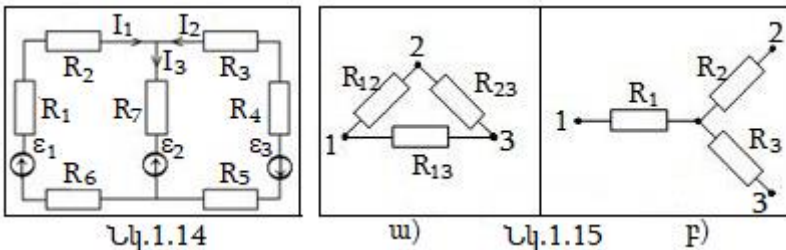
Նկ.1.12

1.2. Նկ. 1.13 ա-ում պատկերված է հաստատուն հոսանքի շղթայի ինչ-որ տեղամաս: Որոշե՛ք I_2 և I հոսանքները, եթե $U_{ab} = 9\text{Վ}$, $\varepsilon = 15\text{Վ}$, իսկ $I_1 = 10\text{մԱ}$, $R = 2\text{կՕմ}$: Ի՞նչ հոսանքի աղբյուրով պետք է փոխարինել տեղամասի էլՇՈւ-ի աղբյուրը, որպեսզի $I = 2\text{մԱ}$, իսկ $I_1 = 10\text{մԱ}$:



1.3. Նկ. 1.14-ում բերված շղթայում հայտնի են համարվում դիմադրություններն ու էլՇՈւ-ները: Գրե՛ք հավասարումների համակարգը, որի օգնությամբ կորոշվեն անհայտ հոսանքները:

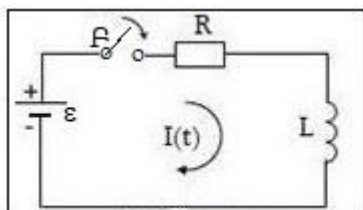
1.4. Էլեկտրական շղթայի եռանկյունաձև տեղամասում տրված են R_{12} , R_{13} և R_{23} դիմադրությունները (Նկ. 1.15 ա): Որոշե՛ք դրան համարժեք աստղաձև միացման R_1 , R_2 և R_3 դիմադրությունները (Նկ. 1.15 բ):



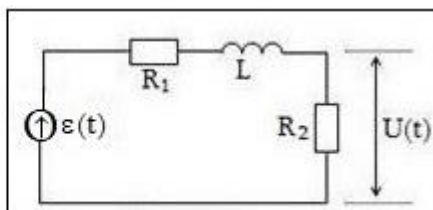
Շղթաների դիֆերենցիալ հավասարումները

1.5. $t = 0$ պահին միացվում է F բանալին (Նկ.1.16): Որոշե՛ք հոսանքի փոփոխման օրենքը շղթայում:

1.6. Որոշե՛ք $U(t)$ լարման փոփոխման օրենքը Նկ.1.17 շղթայում, եթե $\varepsilon(t) = \varepsilon_0 \cdot \sigma(t)$, որտեղ $\sigma(t)$ -ն միավոր թռիչքային ֆունկցիան է՝ $\sigma(t) = \begin{cases} 1, & t \geq 0, \\ 0, & t < 0: \end{cases}$



Նկ.1.16

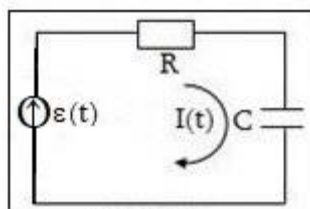


Նկ.1.17

1.7. Կազմե՛ք (Նկ. 1.18) շղթայում $I(t)$ հոսանքը որոշելու համար, եթե $\varepsilon(t) = \varepsilon_0 e^{-\beta t} \sigma(t)$, որտեղ $\sigma(t)$ -ն միավոր թռիչքային ֆունկցիան է՝

$$\sigma(t) = \begin{cases} 1, & t \geq 0, \\ 0, & t < 0: \end{cases}$$

1.8. Մինչև U_0 լարումը լիցքավորված C_1 կոնդենսատորը պարպվում է հաջորդաբար միացված R ակտիվ դիմադրության և C_2 կոնդենսատորի շղթայով (Նկ.1.19): Որոշե՛ք հոսանքի ուժը շղթայում և լարումները կոնդենսատորների վրա:

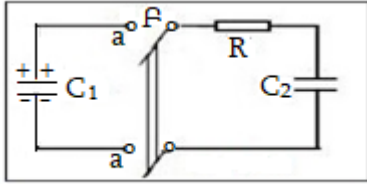


Նկ.1.18

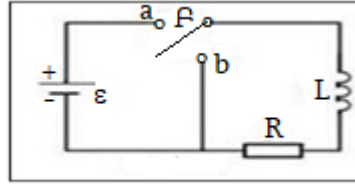
1.9. $t = 0$ պահին F բանալին բերվում է a դիրքին (Նկ. 1.20): Որոշե՛ք հոսանքի փոփոխման օրենքը և լարման անկումը կոճի վրա:

1.10. Նկ.1.20 շղթայում փոխանջատիչը $t = 0$ պահին a դիրքից բերվում է b դիրքի: Որոշե՛ք հոսանքի փոփոխման օրենքը և ցույց տվե՛ք, որ ամբողջ գործընթացի ժամանակ ակտիվ դիմա-

դրության վրա անջատվող էներգիան կլինի $W = \frac{LI_0^2}{2}$, որտեղ $I_0 = \varepsilon/R$:

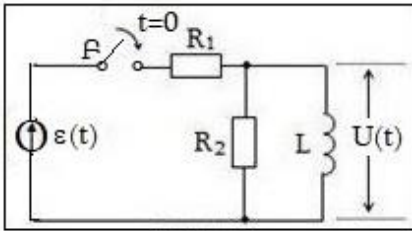


Նկ.1.19

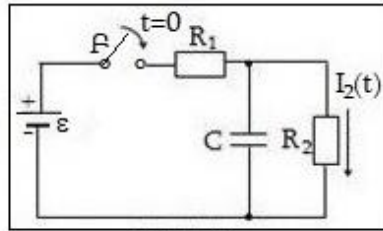


Նկ.1.20

1.11. Որոշե՛ք $U(t)$ լարման փոփոխման օրենքը Նկ.1.21 շղթայում, եթե $\varepsilon(t) = \varepsilon_0 \cdot \sigma(t)$, որտեղ $\sigma(t)$ -ն միավոր թռիչքային ֆունկցիան է՝ $\sigma(t) = \begin{cases} 1, & t \geq 0, \\ 0, & t < 0: \end{cases}$



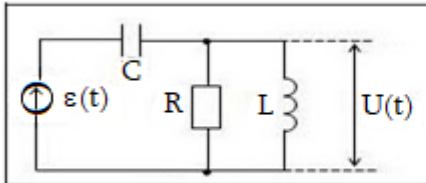
Նկ.1.21



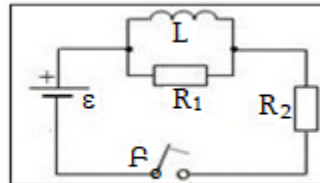
Նկ.1.22

1.12. $t = 0$ պահին միացվում է \mathcal{E} բանալին (Նկ.1.22): Որոշե՛ք R_2 դիմադրությամբ անցնող $I_2(t)$ հոսանքի փոփոխման օրենքը:

1.13. Կազմե՛ք դիֆերենցիալ հավասարում Նկ. 1.23 շղթայի $U(t)$ լարումը որոշելու համար:



Նկ.1.23



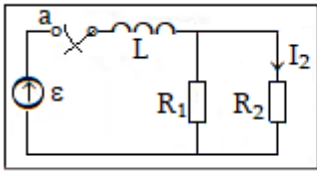
Նկ.1.24

1.14. Որոշե՛ք Նկ. 1.24 շղթայում հոսանքի փոփոխման օրենքը L ինդուկտիվությամբ կոճով, եթե $\varepsilon = const$ աղբյուրը միացվում է $t_0 = 0$ պահին:

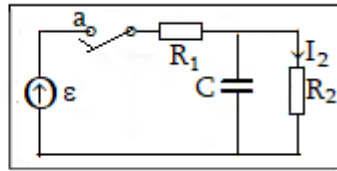
1.15. Մինչև U_0 լարումը լիցքավորված C ունակությամբ կոնդենսատորը լիցքաթափվում է իրար հաջորդաբար միացած L ինդուկտիվությամբ կոճի և R ակտիվ դիմադրության միջոցով: Որոշե՛ք կոնդենսատորի վրա լարման փոփոխման օրենքը:

1.16. $t = 0$ պահին միացվում է \mathcal{E} բանալին (Նկ.1.25): Որոշե՛ք R_2 դիմադրությամբ անցնող I_2 հոսանքը, եթե $\varepsilon = const$:

1.17. $t = 0$ պահին ε աղբյուրը միացվում է շղթային (Նկ.1.26): Որոշե՛ք U -ի փոփոխման օրենքը R_2 դիմադրության վրա, եթե $\varepsilon = 10\text{Վ}$, $R_1 = 100\text{Օհմ}$, $R_2 = 400\text{Օհմ}$, $C = 1\text{մկՖ}$:



Նկ.1.25

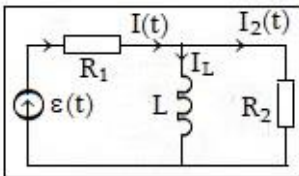


Նկ.1.26

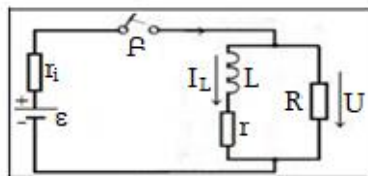
1.18. Որոշե՛ք I_L հոսանքը Նկ.1.27 շղթայում, եթե $\varepsilon(t) = Ue^{-\beta t} \sigma(t)$, որտեղ U -ն հաստատուն է, իսկ

$$\sigma(t) = \begin{cases} 1, & t \geq 0, \\ 0, & t < 0: \end{cases}$$

1.19. Նկ. 1.28-ում բերված սխեմայում \mathcal{E} բանալին միացվում է $t = 0$ պահին, իսկ անջատվում է t_1 պահին: Ստացե՛ք բանաձև $I_L(t)$ և $U(t)$ ժամանակային կախվածությունների համար:



Նկ.1.27



Նկ.1.28

Շղթայի բոլոր պարամետրերը և աղբյուրի էլՇՈւ-ն տրված են:

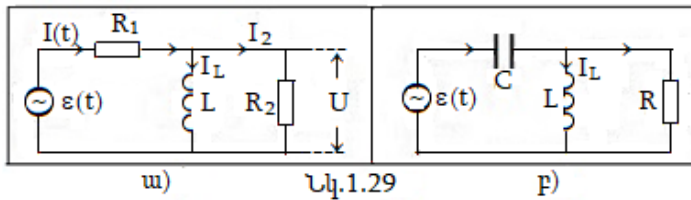
1.20. Հաջորդական RC -շղթայի մուտքում գործող լարումը

փոխվում է հետևյալ օրենքով՝ $U = \begin{cases} \varepsilon_2 = 10\text{Վ}, & t \geq 0, \\ \varepsilon_1 = 5\text{Վ}, & t < 0: \end{cases}$ Որոշե՛ք

կոնդենսատորի վրա U_C լարումը և մուտքային I հսանքի փոփոխման օրենքը, եթե $R = 5\text{կՕմ}$, $C = 200\text{սՖ}$:

1.21. Կազմե՛ք դիֆերենցիալ հավասարումներ Նկ.1.29 ա-ում բերված շղթայի U լարումը և I_L հոսանքը որոշելու համար:

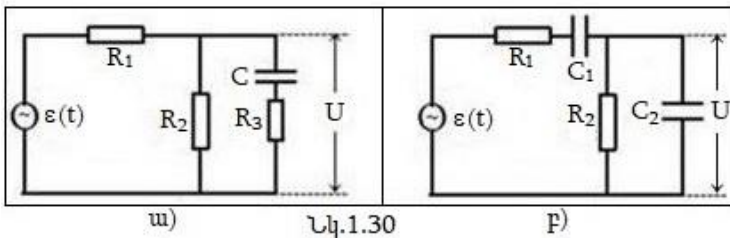
1.22. Նկ.1.29 բ-ում բերված շղթայում կազմե՛ք դիֆերենցիալ



հավասարում I_L հոսանքը որոշելու համար:

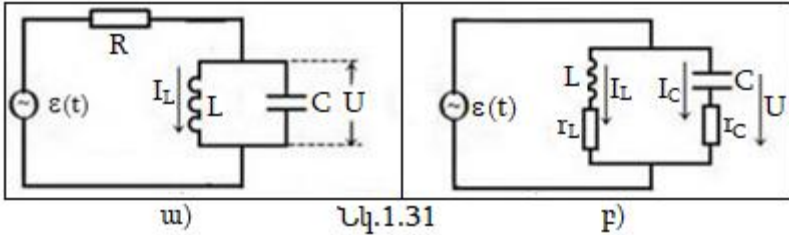
1.23. Նկ.1.30 ա-ում բերված շղթայում կազմե՛ք դիֆերենցիալ հավասարում U լարումը որոշելու համար:

1.24. Նկ. 1.30 բ-ում բերված շղթայում կազմե՛ք դիֆերենցիալ հավասարում U լարումը որոշելու համար:

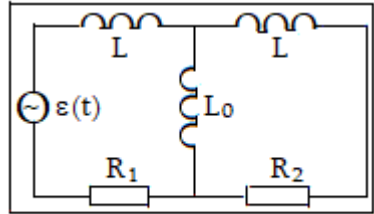


1.25. Կազմե՛ք դիֆերենցիալ հավասարումներ Նկ. 1.31 ա-ում բերված շղթայի U լարումը և I_L հոսանքը որոշելու համար:

1.26. Կազմե՛ք դիֆերենցիալ հավասարումներ Նկ.1.31 բ-ում բերված շղթայի U լարումը, I_C և I_L հոսանքները որոշելու համար:



1.27. Կազմե՛ք դիֆերենցիալ հավասարում Նկ. 1.32-ում բերված շղթայում I_2 հոսանքը որոշելու համար:



Նկ.1.32

Ոչ հարմոնիկ հոսանքի էներգիան և հզորությունը

1.28. $R = 20 \text{ Ohm}$ դիմադրության միջով $t_0 = 0$ պահից հոսում է $I = 1 - e^{-10^6 t}$ մԱ հոսանք: Որոշե՛ք դիմադրության վրա լարման, ակնթարթային հզորության և ցրված էներգիայի ժամանակային կախվածությունները: Գտե՛ք այդ մեծությունների արժեքները $t = 10$ մկվ ժամանակի պահին:

1.29. C ունակության կոնդենսատորը լիցքավորվում է R դիմադրությամբ ε էլԵՄ-ի աղբյուրից: Համարելով R և C մեծությունները հայտնի՝ որոշե՛ք.

ա) կոնդենսատորի լարման փոփոխման օրենքը,

բ) աղբյուրի կողմից զարգացվող ակնթարթային և միջին հզորությունները,

զ) կորուստների ակնթարթային հզորությունը,

դ) կոնդենսատորում կուտակված էներգիան,

ե) սխեմայի ՕԳԳ-ն՝ որպես օգտակար համարելով կոնդենսատորում կուտակված էներգիան:

1.30. Նախապես մինչև $U_0 = 100$ Վ լարումը լիցքավորված $C = 0,5$ մկՖ ունակության կոնդենսատորն անջատվում է աղբյուրից, որից հետո լարումը նրա վրա $t = 57,5$ բուպե ժամանակ անց փոքրանում է $n = 10$ անգամ: Որոշե՛ք կոնդենսատորի մեկուսիչի արտահոսքի դիմադրությունը:

1.31. Մինչև $U_0 = 600$ Վ լարումը լիցքավորված կոնդենսատորը լիցքաթափվում է կոճի միջոցով, որի ինդուկտիվությունը $L = 500$ մկՀն է, իսկ կորուստների դիմադրությունը՝ $r_L = 40$ հմ: Որոշե՛ք կոնդենսատորի վրա լարման լայնույթի արժեքը պարպման սկզբից $t = 250$ մկվ հետո:

1.32. Շունակության կոնդենսատորը լիցքաթափվում է R դիմադրության վրա: Ստացե՛ք ակնթարթային և միջին հզորությունների հաշվման համար արտահայտություններ, եթե կոնդենսատորի վրա լարման սկզբնական արժեքը U_0 է, իսկ վերջնականը՝ $U = U_0/m$, ($m > 1$):

1.33. $q = 0,1$ մԿլ լիցք ունեցող՝ $C = 1$ մկՖ ունակության կոնդենսատորը $t_0 = 0$ պահից սկսում է պարպվել $R = 1$ կՕմ դիմադրության միջով: Պարպման հոսանքը փոխվում է $I = 0,1e^{-10^3 t}$ Ա օրենքով: Որոշե՛ք կոնդենսատորի վրա լարումը, նրանում կուտակված էներգիան և դիմադրության վրա ցրված էներգիան $t_1 = 1$ մվ ժամանակի պահին:

1.34. RC -շղթայի մուտքում գործում է $t_1 = 1$ մկվ տևողության ուղղանկյուն իմպուլս: Որոշե՛ք շղթայի ժամանակի τ հաստա-

տունը, որի դեպքում կոնդենսատորի վրա լարման շեղումը գծային օրենքից, իմպուլսի վերջում, չի գերազանցում $k = 1\%$:

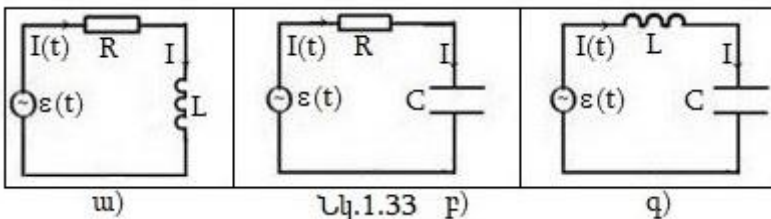
1.35. R դիմադրությամբ հոսում է $I(t) = I_0 e^{-\alpha t} \sigma(t)$ իմպուլսային հոսանք: Որոշե՛ք, թե իմպուլսի լրիվ էներգիայի $n\%$ մասն է ցրվում R դիմադրության վրա $t_0 = 0$ պահից հաշված $t_1 = 1/\alpha$ ժամանակահատվածում:

Փոփոխական հոսանք

1.36. Գրե՛ք Կիրխհոֆի օրենքը Նկ. 1.33ա-ում բերված շղթայի համար և կազմե՛ք դիֆերենցիալ հավասարումներ՝ **1.** հոսանքի համար, **2.** կոճի վրա U_L լարման անկման համար, **3.** R դիմադրության վրա U_R լարման անկման համար:

1.37. Գրե՛ք Կիրխհոֆի օրենքը Նկ.1.33բ-ում բերված շղթայի համար և կազմե՛ք դիֆերենցիալ հավասարումներ՝ **1.** հոսանքի համար, **2.** կոնդենսատորի վրա U_C լարման անկման համար, **3.** R դիմադրության վրա U_R լարման անկման համար:

1.38. Գրե՛ք Կիրխհոֆի օրենքը Նկ. 1.33գ-ում բերված շղթայի համար և կազմե՛ք դիֆերենցիալ հավասարումներ՝ **1.** հոսանքի համար, **2.** կոնդենսատորի վրա U_C լարման անկման համար, **3.** կոճի վրա U_L լարման անկման համար:



1.39. Որոշե՛ք հոսաքի ուժի կախումը ժամանակից Նկ. 1.33 ա-ի շղթայի հաստատված ռեժիմում, եթե $\varepsilon(t) = \varepsilon_0 \cos \omega t$, որտեղ ε_0 -ն և ω -ն հաստատուն են:

1.40. Որոշե՛ք հոսանքի ուժի կախումը ժամանակից Նկ. 1.33 բ-ի շղթայի հաստատված ռեժիմում, եթե $\varepsilon(t) = \varepsilon_0 \cos \omega t$, որտեղ ε_0 -ն և ω -ն հաստատուն են:

1.41. Որոշե՛ք հոսանքի ուժի կախումը ժամանակից Նկ. 1.33 գ-ի շղթայի հաստատված ռեժիմում, եթե $\varepsilon(t) = \varepsilon_0 \cos \omega t$, որտեղ ε_0 -ն և ω -ն հաստատուն են:

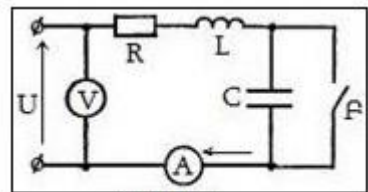
1.42. Նկ. 1.33 ա-ի շղթայում $\varepsilon(t) = \varepsilon_0 \cos \omega t$, որտեղ ε_0 -ն և ω -ն հաստատուն են: Հաշվե՛ք աղբյուրի ծախսած միջին հզորությունը մեկ պարբերության ընթացքում:

1.43. Նկ. 1.33 բ-ի շղթայում $\varepsilon(t) = \varepsilon_0 \cos \omega t$, որտեղ ε_0 -ն և ω -ն հաստատուն են: Հաշվե՛ք աղբյուրի ծախսած միջին հզորությունը մեկ պարբերության ընթացքում:

1.44. Նկ. 1.33 գ-ի շղթայում $\varepsilon(t) = \varepsilon_0 \cos \omega t$, որտեղ ε_0 -ն և ω -ն հաստատուն են: Հաշվե՛ք աղբյուրի ծախսած միջին հզորությունը մեկ պարբերության ընթացքում:

1.45. Նկ. 1.34-ում բերված շղթայում F բանալիի բաց վիճակում է:

Այդ շղթայում կիրառված լարումը՝ $U(t) = U_0 \cos \omega t$, որտեղ U_0 -ն և ω -ն հաստատուն են: Հաշվե՛ք աղբյուրի ծախսած միջին



Նկ.1.34

հզորությունը մեկ պարբերության ընթացքում:

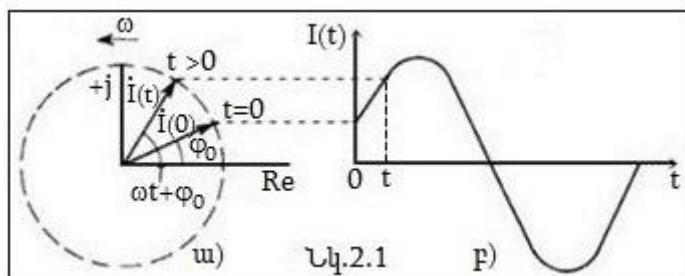
1.46. Նկ. 1.34-ում բերված շղթայում F բանալու բաց և փակ վիճակներում ամպերաչափը ցույց է տալի նույն $I = 5,55$ Ա հոսանքը: Որոշե՛ք այդ շղթայի R և X_L դիմադրությունները, եթե սնման աղբյուրի լարումը՝ $U = 100$ Վ, հաճախությունը՝ $f = 50$ Հց, իսկ կոնդենսատորի ունակությունը՝ $C = 159$ մկՖ:

§2. Փոփոխական հոսանքի շրթաների հաշվարկը կոմպլեքս մեծություններով: Կոմպլեքս հզորություն

Հիմնական հասկացություններ և բանաձևեր

2.1. Փոփոխական հոսանքին համապատասխանող պատվող վեկտորը

$I = I_0 \sin(\omega t + \varphi_0)$ հարմոնիկ հոսանքը կոմպլեքս հարթությունում (Նկ. 2.1 ա) կարելի է պատկերել I_0 մեծությամբ և ω անկյունային արագությամբ պտտվող վեկտոր:



Եթե Նկ. 2.1 բ-ում նշենք $I(t)$ վեկտորի դիրքը $t = 0$ և $t > 0$ պահերին, ապա $I(t)$ -ն կլինի այդ վեկտորի կեղծ մասը՝ $I_0 \sin(\omega t + \varphi_0) = \text{Im} \dot{i} = I(t)$, իսկ $I = I_0 \cos(\omega t + \varphi_0)$ հոսանքի համար՝ $I_0 \cos(\omega t + \varphi_0) = \text{Re} \dot{i} = I(t)$:

Օգտվելով $e^{j\varphi} = \cos\varphi + j\sin\varphi$ Էյլերի բանաձևից՝ մտցնենք կոմպլեքս հոսանք հետևյալ առնչությամբ՝

$$\begin{aligned} \dot{I} &= I_0 \cos\varphi + jI_0 \sin\varphi = I_0 e^{j(\omega t + \varphi_0)} = I_0 e^{j\varphi_0} e^{j\omega t} = \dot{I}_0 e^{j\omega t}, \\ \dot{i} &= \dot{I}_0 e^{j\omega t}. \end{aligned} \quad (2.1)$$

$\dot{I}_0 = I_0 e^{j\varphi_0}$ -ն կոչվում է հոսանքի կոմպլեքս լայնույթ: Նույն ձևով տրվում են կոմպլեքս լարումներն ու ԷլՇՈւ-ները՝

$$\dot{U} = \dot{U}_0 e^{j\omega t}, \quad \dot{\varepsilon} = \dot{\varepsilon}_0 e^{j\omega t}: \quad (2.2)$$

Եթե հոսանքները, լարումներն ու էլՇՈւ-ները չունեն սկզբնական փուլ՝ $\varphi_0 = 0$, ապա դրանց կոմպլեքս լայնույթ-ները կլինեն իրական մեծություններ:

2.2. Կոմպլեքս դիմադրություն

- Կոմպլեքս դիմադրությունը՝

$$\dot{Z} = \frac{\dot{U}}{\dot{i}}: \quad (2.3)$$

Կոմպլեքս դիմադրությունը հարմոնիկ հոսանքների դեպքում՝

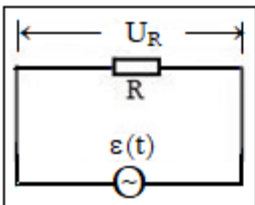
$$\dot{Z} = \frac{\dot{U}_0 e^{j\omega t}}{\dot{I}_0 e^{j\omega t}} = \frac{\dot{U}_0}{\dot{I}_0} = \frac{U_0 e^{j\varphi_U}}{I_0 e^{j\varphi_I}} = \frac{U_0}{I_0} e^{j(\varphi_U - \varphi_I)} = |\dot{Z}| e^{j\varphi}, \quad (2.4)$$

որտեղ φ -ն \dot{Z} կոմպլեքս մեծության արգումենտն է, այն հավասար է լարման և հոսանքի փուլերի տարբերությանը՝

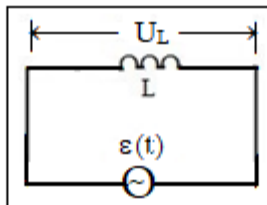
$$\varphi = \varphi_U - \varphi_I:$$

• Առավել տարածում ունեցող շղթաների կոմպլեքս դիմադրությունները.

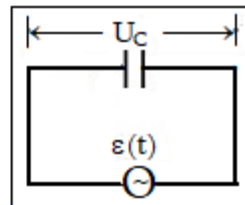
1. Նկ.2.2-ի շղթայում $U(t) = \varepsilon(t)$: R դիմադրության վրա հոսանքն ու լարումը փուլերով համընկնում են և $i = I_0 e^{j\omega t}$, $\dot{U} = \dot{U}_0 e^{j\omega t}$, հետևաբար



Նկ.2.2



Նկ.2.3



Նկ.2.4

$$\dot{Z} = \frac{\dot{U}}{I} = \frac{U_0}{I_0} = \frac{U_0}{I_0} e^{j(\varphi_U - \varphi_I)} = \frac{U_0}{I_0} = R:$$

Այսինքն՝ ակտիվ դիմադրությունն իրական մեծություն է:

2. Նկ. 2.3-ի շղթայում $U_L(t) = L \frac{dI}{dt} = \varepsilon(t)$: $I = I_0 e^{j\omega t}$, որտեղից $\dot{X}_L = j\omega L$, որը կոմպլեքս ինդուկտիվ դիմադրությունն է՝

$$\dot{X}_L = \omega L e^{j\pi/2}: \quad (2.5)$$

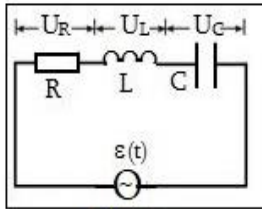
3. Նկ. 2.4-ի շղթայում $U_C = \frac{1}{C} \int I dt$, $I = I_0 e^{j\omega t}$,

$$\dot{U}_C = \frac{1}{C} \int I dt = \frac{1}{j\omega C} I_0 e^{j\omega t} = \dot{X}_C I(t):$$

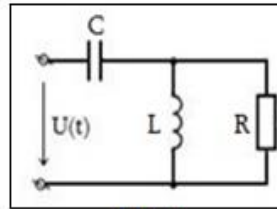
Կոմպլեքս դիմադրությունը կլինի՝

$$\dot{X}_C = \frac{\dot{U}_C}{I} = \frac{1}{j\omega C} = -j \frac{1}{\omega C} = -j X_C = X_C e^{-j\pi/2}:$$

4. Նկ. 2.5-ի շղթայում $\dot{Z} = R + j\omega L + \frac{1}{j\omega C} = R + j\left(\omega L - \frac{1}{\omega C}\right)$:



Նկ.2.5

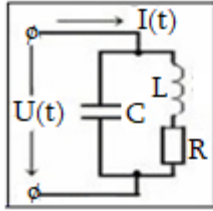


Նկ.2.6

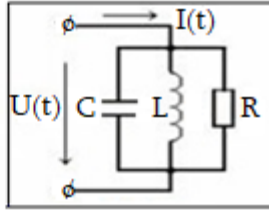
$Z = |\dot{Z}| = \sqrt{R^2 + \left(\omega L - \frac{1}{\omega C}\right)^2}$, իսկ \dot{Z} -ի արգումենտը կլինի՝ $tg\varphi = \frac{\omega L - 1/\omega C}{R}$: Եթե $\omega L > 1/\omega C$, ապա դիմադրությունն ինդուկտիվ բնույթի է, իսկ $\omega L < 1/\omega C$ դեպքում՝ ունակային:

5. Նկ. 2.6-ի շղթայում $\dot{Z}_1 = 1/j\omega C$, $\dot{Z}_2 = j\omega L$, $\dot{Z}_3 = R$, իսկ լրիվ կոմպլեքս դիմադրությունը՝ $\dot{Z} = \dot{Z}_1 + \frac{\dot{Z}_2 \dot{Z}_3}{\dot{Z}_2 + \dot{Z}_3} = \frac{1}{j\omega C} + \frac{j\omega LR}{R + j\omega L}$:

6. Նկ. 2.7-ի շղթայում $\dot{Z}_1 = R + j\omega L$, $\dot{Z}_2 = 1/j\omega C$, իսկ լրիվ կոմպլեքս դիմադրությունը՝ $\dot{Z} = \frac{\dot{Z}_1 \dot{Z}_2}{\dot{Z}_1 + \dot{Z}_2} = \frac{(R + j\omega L) \frac{1}{j\omega C}}{R + j\omega L + 1/j\omega C}$:



Նկ.2.7



Նկ.2.8

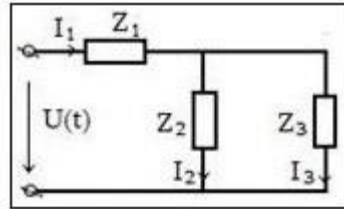
7. Նկ. 2.8-ի շղթայում $\dot{Z}_1 = 1/j\omega C$, $\dot{Z}_2 = j\omega L$, $\dot{Z}_3 = R$, իսկ լրիվ կոմպլեքս դիմադրության հակադարձ մեծությունը (Y հաղորդականությունը) կլինի՝

$$Y = \frac{1}{Z} = \frac{1}{Z_1} + \frac{1}{Z_2} + \frac{1}{Z_3} = j\omega C + \frac{1}{j\omega L} + \frac{1}{R}, \text{ որտեղից}$$

$$\dot{Z} = \frac{j\omega LR}{R - \omega^2 LCR + j\omega L}:$$

8. Նկ. 2.9 շղթայի համար՝

$$\dot{Z} = \dot{Z}_1 + \frac{\dot{Z}_2 \dot{Z}_3}{\dot{Z}_2 + \dot{Z}_3}:$$



Նկ.2.9

2.3. Կիրիստոֆի օրենքները կոմպլեքս հոսանքների և էլՇՈւ-ների համար.

$$\sum_k \dot{I}_k = 0, \quad \sum_k \dot{I}_k \dot{Z}_k = \sum_k \dot{\epsilon}_k: \quad (2.6)$$

Օրինակ՝ Նկ. 2.9 շղթայի համար կունենանք՝

$$\dot{I}_1 - \dot{I}_2 - \dot{I}_3 = 0, \quad \dot{I}_1 \dot{Z}_1 + \dot{I}_2 \dot{Z}_2 = \dot{U}(t), \quad \dot{I}_1 \dot{Z}_1 + \dot{I}_3 \dot{Z}_3 = \dot{U}(t):$$

• Միևուտիդական կոմպլեքս հոսանքի ածանցյալները.

$$\frac{d\dot{I}}{dt} = j\omega \dot{I}, \quad \frac{d^2 \dot{I}}{dt^2} = (j\omega)^2 \dot{I}, \quad \dots, \quad \frac{d^n \dot{I}}{dt^n} = (j\omega)^n \dot{I}: \quad (2.7)$$

• Միևուտիդական կոմպլեքս հոսանքի ինտեգրալը՝

$$\int \dot{I} dt = \frac{1}{j\omega} \dot{I}: \quad (2.8)$$

- Մինուստիդական կոմպլեքս լարման կամ ԷԼՇՈւ-ի ածանցյալները՝ $\frac{d^n \dot{U}}{dt^n} = (j\omega)^n \dot{U}$:

- Մինուստիդական կոմպլեքս լարման ինտեգրալը՝

$$\int \dot{U} dt = \frac{1}{j\omega} \dot{U}$$

2.4. Կոմպլեքս հզորություն

- Փոփոխական հոսանքի միջին հզորությունը.

$$\bar{p} = U_q I_q \cos \varphi \tag{2.9}$$

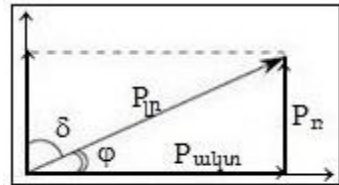
Եթե գրենք $\dot{p} = \dot{U}_q \dot{I}_q = U_q I_q e^{j(\varphi_U + \varphi_I)}$, ապա $\varphi_U + \varphi_I$ կլինի հոսանքի ու լարման փուլերի գումարը, մինչդեռ միջին հզորության մեջ φ -ն հոսանքի ու լարման փուլերի տարբերությունն է, ուստի կոմպլեքս հզորությունը պետք է վերցնել հետևյալ տեսքով՝

$$\dot{p} = \dot{U}_q \dot{I}_q^* = \dot{U}_q^* \dot{I}_q = U_q I_q \cos \varphi + j U_q I_q \sin \varphi \tag{2.10}$$

$U_q I_q \sin \varphi$ -ն կոչվում է ռեակտիվ հզորություն: Այն կարող է լինել ն՝ դրական, ն՝ բացասական, իսկ $U_q I_q \cos \varphi$ -ն կոչվում է ակտիվ հզորություն և միշտ դրական է, ընդ որում՝

$$\sin \varphi = \frac{\omega L - 1/\omega C}{\sqrt{R^2 + (\omega L - 1/\omega C)^2}}, \quad \cos \varphi = \frac{R}{\sqrt{R^2 + (\omega L - 1/\omega C)^2}}$$

Քանի որ $p_w = I_q U_q \cos \varphi$, իսկ $p_n = I_q U_q \sin \varphi$, հետևաբար լրիվ կամ թվացող հզորությունը կլինի՝ $p_{\text{թվ}} = I_q U_q$, այսինքն՝ $p_{\text{թվ}} = I_q U_q = \sqrt{p_w^2 + p_n^2}$: Այս հզորությունները կազմում են վեկտորական եռանկյունի (Նկ.2.10):



Նկ.2.10

• Եթե սինուսիդական լարման աղբյուրին միացած ռեակտիվ տարրը (կոնդենսատորը կամ կոճը) ունի ակտիվ դիմադրություն, ապա ռեակտիվ հզորության հարաբերությունն ակտիվ հզորությանն անվանում են կոնդենսատորի կամ կոճի բարորակություն՝

$$Q_C = \frac{p_n}{p_w} = \frac{1/\omega C}{R_w} \quad \text{կամ} \quad Q_L = \frac{p_n}{p_w} = \frac{\omega L}{R_w}: \quad (2.11)$$

Ռեակտիվ տարրի ակտիվ հզորության հարաբերությունը ռեակտիվ հզորությանն անվանում են կորուստների անկյան տանգենս՝ $tg\delta = \frac{p_w}{p_n} = \frac{R_w}{1/\omega C} = \frac{1}{Q_C}$ կամ $tg\delta = \frac{p_w}{p_n} = \frac{R_w}{\omega L} = \frac{1}{Q_L}$:

Խնդիրներ

Կոմպլեքս դիմադրություններ և հոսանքներ

2.1. Որոշե՛ք շղթայի մուտքային կոմպլեքս հաղորդականության ակտիվ (g) և ռեակտիվ (b) բաղադրիչները, եթե մուտքային կոմպլեքս դիմադրությունը հավասար է՝

1. $\dot{Z}_1 = 3 + j5$ Օհմ, 2. $\dot{Z}_2 = 2,4 - j8,2$ կՕմ, 3. $\dot{Z}_3 = 50e^{j30^\circ}$ Օհմ,
4. $\dot{Z}_4 = 125e^{j90^\circ}$ Օհմ, 5. $\dot{Z}_5 = 2,8$ կՕմ:

2.2. Որոշե՛ք շղթայի մուտքային կոմպլեքս դիմադրության ակտիվ (r) և ռեակտիվ (X) բաղադրիչները, եթե մուտքային կոմպլեքս հաղորդականությունը հավասար է՝

1. $\dot{Y}_1 = 44 - j18$ մՄիմ, 2. $\dot{Y}_2 = j0,12$ Միմ,
3. $\dot{Y}_3 = (29 + j51)10^{-4}$ Միմ, 4. $\dot{Y}_4 = 0,015e^{j54^\circ}$ Միմ:

2.3. Պասիվ երկբևեռի կոմպլեքս լարումը և հոսանքն ունեն հետևյալ արժեքը՝ $\dot{U} = (80 + j60)$ Վ, $\dot{I} = (24 - j7)$ Ա: Որոշե՛ք \dot{Z} կոմպլեքս դիմադրությունը և \dot{Y} կոմպլեքս հաղորդականությունը, ինչպիսի՞ն են երկբևեռի համարժեք պարամետրերը: Ինչքա՞ն է հոսանքի և լարման փուլերի շեղումը: Որոշե՛ք հո-

սանքի և լարման ակտիվ և ռեակտիվ բաղադրիչները, ինչպես նաև ակտիվ, ռեակտիվ և լրիվ հզորությունները: Որքա՞ն է այդ երկբևեռի բարորակությունը և կորուստների անկյան տանգենսը:

2.4. Նախորդ խնդրի պահանջներն իրականացնել հետևյալ դեպքերի համար՝

1. $\dot{U} = (-40 + j40)$ Վ, $I = (2 + j4)$ Ա:

2. $\dot{U} = -100e^{-j\pi/6}$ Վ, $I = (7 + j24)$ Ա:

3. $\dot{U} = 120e^{j\pi/3}$ Վ, $I = 6e^{-j\pi/6}$ Ա:

2.5. Երկբևեռի մուտքում գործում է $U = 12\cos(10^3t + 20^\circ)$ Վ ներդաշնակ լարում, իսկ շղթայով անցնում է $I = 20\cos(10^3t - 30^\circ)$ մԱ հոսանք: Որոշե՛ք երկբևեռի մուտքային կոմպլեքս դիմադրությունը (\dot{Z}_{in}), ակտիվ (P_w), ռեակտիվ (P_n), լրիվ (P_{ln}) և կոմպլեքս (\dot{P}_{ln}) հզորությունները: Գտե՛ք $t = 0$ պահին շղթա ներմուծվող ակնթարթային հզորությունը:

2.6. Տրված են ω հաճախությամբ սինուսոիդական լարման և հոսանքի կոմպլեքս գործող արժեքները՝

1. $\dot{U}_q = (-20 + j40)$ Վ; $I_q = (-5 + j3)$ Ա: 2. $\dot{U}_q = (-20 - j40)$ Վ; $I_q = (-5 - j3)$ Ա: 3. $\dot{U}_q = (20 - j40)$ Վ; $I_q = (5 - j3)$ Ա:

4. $\dot{U}_q = (20 - j40)$ Վ; $I_q = (-5 - j3)$ Ա: Գրե՛ք հոսանքների և լարման ակնթարթային արժեքների արտահայտությունները:

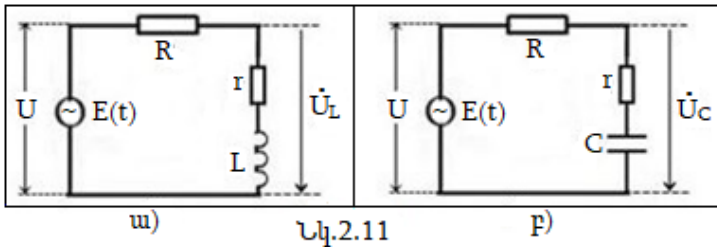
2.7. $R = 50$ կՕմ դիմադրությամբ $t_0 = 0$ պահից հոսում է $I = 2\cos(10^6t - 60^\circ)$ մԱ հոսանք: Որոշե՛ք դիմադրության վրա լարման կոմպլեքս լայնույթը և կոմպլեքս գործող արժեքը, P_w ակտիվ հզորությունը և մինչև $t_1 = 1$ մկվ պահը դիմադրության վրա ցրված W էներգիան:

2.8. $C = 0,5$ մկՖ ունակության վրա կիրառված է $U = 8,5\cos(10^6t + \pi/2)$ Վ լարում: Որոշե՛ք ունակության մուտ-

քային կոմպլեքս դիմադրությունը և կոմպլեքս հաղորդակա-
նությունը, փուլերի շեղումը լարման և հոսանքի միջև,
հոսանքի կոմպլեքս լայնույթը և կոմպլեքս գործող արժեքը:

Չճյուղավորված շղթաներ

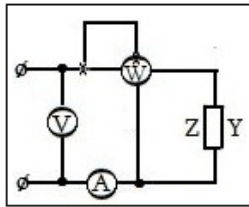
2.9. $r = 3$ Օհմ ակտիվ դիմադրություն և $L = 25$ մՀն ինդուկտի-
վությամբ օժտված կոճին հաջորդաբար միացած ռեոստատն
ունի $R = 10$ Օհմ դիմադրություն (Նկ. 2.11ա): Որոշե՛ք.



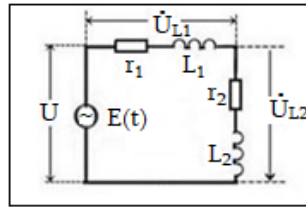
1. կոճի վրա U_L լարումը, 2. դրա փուլի շեղումը կիրառված
ԷլՇՈւ-ի նկատմամբ, 3. կոճի վրա ծախսված հզորությունը, 4.
կոճի բարորակությունը և նրա կորուստների անկյան տան-
գենսը: ԷլՇՈւ-ի գործող արժեքը՝ $U = 120$ Վ է, իսկ հաճա-
խությունը՝ $f = 50$ Հց:

2.10. $r = 20$ կՕմ ակտիվ դիմադրություն և $C = 0,1$ մկՖ ունա-
կությամբ կոնդենսատորին հաջորդաբար միացած ռեոստատն
ունի $R = 200$ կՕմ դիմադրություն (Նկ. 2.11բ): Որոշե՛ք. 1. կոն-
դենսատորի վրա U_C լարումը, 2. դրա փուլի շեղումը կիրառ-
ված ԷլՇՈւ-ի նկատմամբ, 3. կոնդենսատորի վրա ծախսված
հզորությունը, 4. կոնդենսատորի բարորակությունը և նրա կո-
րուստների անկյան տանգենսը: ԷլՇՈւ-ի գործող արժեքը՝ $U =$
 120 Վ է, իսկ հաճախությունը՝ $f = 50$ Հց:

2.11. Նկ. 2.12-ում բերված շղթային միացրած չափիչ սարքերը ցույց են տալիս հետևյալ արժեքները՝ $U = 65\text{Վ}$, $I = 5\text{Ա}$, իսկ վատաչափի ցուցմունքը՝ $P = 300\text{Վտ}$: Որոշե՛ք Z կոմպլեքս դիմադրությունը և Y կոմպլեքս հաղորդականությունը $\varphi > 0$ և $\varphi < 0$ դեպքերի համար, որտեղ φ -ն լարման և հոսանքի փուլերի տարբերությունն է:



Նկ.2.12



Նկ.2.13

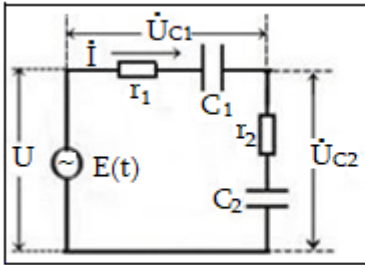
2.12. Երկու կոճեր, որոնցից մեկն ունի $r_1 = 40\text{Օհմ}$ ակտիվ դիմադրություն և $L_1 = 10\text{մՀն}$ ինդուկտիվություն, իսկ մյուսը՝ $r_2 = 5\text{Օհմ}$ ակտիվ դիմադրություն և $L_2 = 1,4\text{մՀն}$ ինդուկտիվություն, իրար են միացած հաջորդաբար (Նկ.2.13): Կոճերը միացած են $f = 1000\text{Հց}$ հաճախության և $U = 120\text{Վ}$ սինուսոիդական լարման ցանցին: Որոշե՛ք. **1.** Լարումը յուրաքանչյուր կոճի վրա, **2.** Այդ լարումների փուլային շեղումներն իրար նկատմամբ, **3.** Յուրաքանչյուր կոճի ծախսած հզորությունը:

2.13. Ի՞նչ լարում է կիրառված Նկ. 2.14-ում բերված շղթայում, եթե շղթայի հոսանքը՝ $I = 0,8\text{Ա}$, իսկ տարրերն ունեն հետևյալ դիմադրությունները՝ $r_1 = 120\text{Օհմ}$; $\frac{1}{\omega C_1} = 5\text{Օհմ}$; $r_2 = 1320\text{Օհմ}$;
 $\frac{1}{\omega C_2} = 12\text{Օհմ}$:

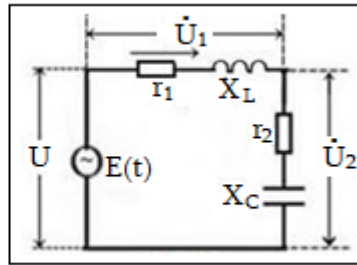
2.14. Նկ.2.14-ում բերված շղթայում r_1 , C_1 տեղամասի լարումը՝ $U_1 = 24\text{Վ}$: Շղթայի տարրերն ունեն հետևյալ պարամետրերը՝ $r_1 = 30\text{Օհմ}$; $r_2 = 40\text{Օհմ}$; $C_1 = 5\text{մկՖ}$; $C_2 = 1\text{մկՖ}$: Աղբյուրի անկյունային հաճախությունը՝ $\omega = 5000\text{վ}^{-1}$: Ինչքա՞ն է շղթային կիրառված U լարումը և ծախսված հզորությունը:

2.15. Նկ.2.14-ում բերված շղթայում r_2 , C_2 տեղամասի լարումը՝ $U_2 = 40$ Վ: Ինչքան է շղթային կիրառված U լարումը և ծախսված հզորությունը: Շղթայի տարրերն ունեն հետևյալ պարամետրերը՝ $r_1 = 10$ Օհմ; $r_2 = 7$ Օհմ; $\frac{1}{\omega C_1} = 120$ Օհմ; $1/\omega C_2 = 24$ Օհմ:

2.16. $U = 127$ Վ լարման ցանցին հաջորդաբար միացած են ինդուկտիվ կոճ ($r_1 = 10$ Օհմ, $X_L = 50$ Օհմ) և կորուստներով կոնդենսատոր ($r_2 = 1$ Օհմ, $X_C = 30$ Օհմ): Որոշե՛ք կոճի և կոնդենսատորի վրա կոմպլեքս լարումներն ու դրանց փուլերի տարբերությունը (Նկ. 2.15):



Նկ.2.14



Նկ.2.15

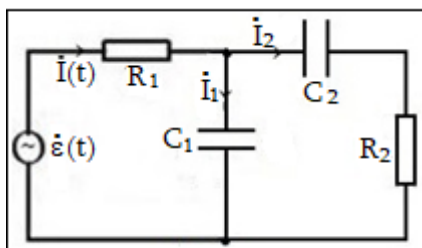
2.17. $f = 50$ Հց և $U = 120$ Վ լարման ցանցված է $R = 12$ Օհմ ակտիվ դիմադրությամբ ինդուկտիվ կոճ, որի ինդուկտիվությունը՝ $L = 66,2$ մՀն: Որոշե՛ք կոմպլեքս հոսանքը, ակտիվ, ռեակտիվ և լրիվ հզորությունները: Կառուցե՛ք լարումների վեկտորական դիագրամները, դիմադրությունների և հզորությունների եռանկյունիները:

2.18. $f = 50$ Հց և $U = 220$ Վ լարման ցանցին հաջորդաբար միացված են $R = 5$ Օհմ ակտիվ դիմադրությունը և $C = 290$ մկՖ ունակությամբ կոնդենսատորը: Որոշե՛ք կոմպլեքս հոսանքը, ակտիվ, ռեակտիվ և լրիվ հզորությունները: Կառուցե՛ք դրանց վեկտորական դիագրամները:

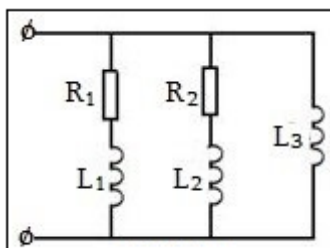
Ճյուղավորված շղթաներ

2.19. Նկ. 2.16-ում պատկերված շղթայում հայտնի է R_2 դիմադրության վրա լարման կոմպլեքս գործող արժեքը՝ $\dot{U}_q = 1$ վ: Որոշե՛ք շղթայի բոլոր տարրերի վրա հոսանքների և լարմանների կոմպլեքս գործող արժեքները, եթե $R_2 = R_1 = 1$ կՕմ, $C_1 = 91$ մՖ, $C_2 = 1,8$ նՖ և $f = 1$ ՄՀց:

2.20. Որոշե՛ք Նկ.2.17 շղթայի մուտքային կոմպլեքս դիմադրությունը, եթե $L_1 = L_2 = L_3 = 1$ մՀն, $\omega = 10^4$ վ⁻¹, $R_1 = 100$ Օմ, $R_2 = 10$ Օմ:



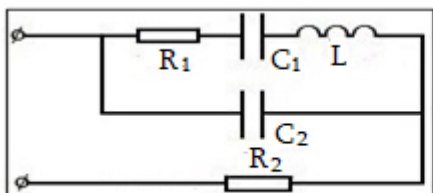
Նկ.2.16



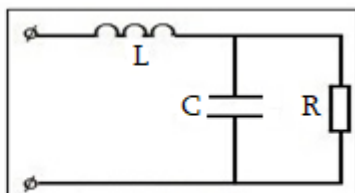
Նկ.2.17

2.21. Որոշե՛ք Նկ. 2.18 շղթայի մուտքային կոմպլեքս դիմադրությունը, եթե $R_2 = R_1 = R = 1$ կՕմ, $L = 101$ մՀն, իսկ՝ $C_1 = C_2 = C = 0,5$ նՖ, $f = 79,6$ կՀց:

2.22. Որոշե՛ք այն հաճախությունը, որի դեպքում Նկ.2.19-ում պատկերված շղթայի մուտքային կոմպլեքս դիմադրության ռեակտիվ բաղադրիչը հավասար է զրոյի: Շղթայի պարամետրերն են՝ $L = 0,1$ Հն, $C = 0,2$ մկՖ, $R = 2$ կՕմ:

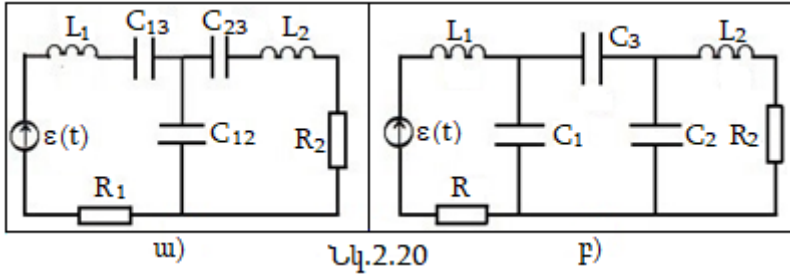


Նկ.2.18

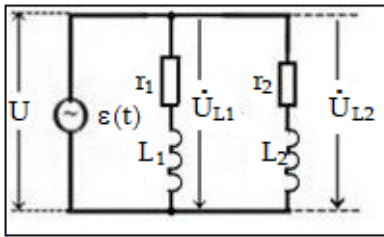


Նկ.2.19

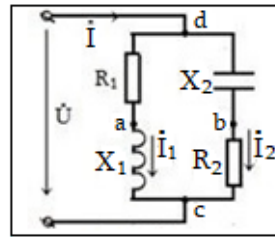
2.23. Որոշե՛ք C_{13} , C_{23} , C_{12} ունակությունները, որոնց դեպքում Նկ.2.20 ա-ի սխեման համարժեք է Նկ.2.20 բ-ի սխեմային, եթե $C_1 = C_2 = 340 \mu\text{F}$, $C_3 = 20 \mu\text{F}$:



2.24. Երկու կոճեր, որոնցից մեկն ունի $r_1 = 4 \text{ Ohm}$ ակտիվ դիմադրություն և $L_1 = 10$ մՀն ինդուկտիվություն, իսկ մյուսը՝ $r_2 = 5 \text{ Ohm}$ ակտիվ դիմադրություն և $L_2 = 1,4$ մՀն ինդուկտիվություն, իրար միացած են գուգահեռ (Նկ. 2.21): Կոճերը միացած են $f = 1000 \text{ Հg}$ հաճախության և $U = 120 \text{ Վ}$ սինուսոիդական լարման ցանցին: Որոշե՛ք. **1.** լարումը յուրաքանչյուր կոճի վրա, **2.** այդ լարումների փուլային շեղումներն իրար նկատմամբ, **3.** յուրաքանչյուր կոճի ծախսած հզորությունը:



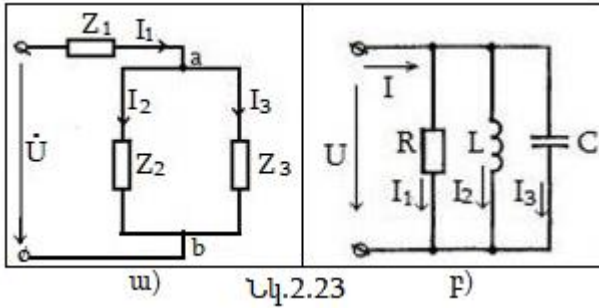
Նկ.2.21



Նկ.2.22

2.25. Նկ.2.22-ում պատկերված շղթայի պարամետրերն ունեն հետևյալ արժեքները՝ $R_1 = 8 \text{ Ohm}$, $X_1 = 6 \text{ Ohm}$, $R_2 = 12 \text{ Ohm}$, $X_2 = 5 \text{ Ohm}$: Որոշե՛ք I_1 , I_2 և I կոմպլեքս հոսանքներն ու շղթայի ծախսած հզորությունը, եթե $U = 130 \text{ Վ}$: Գտնել նաև a և b կետերի միջև լարումը:

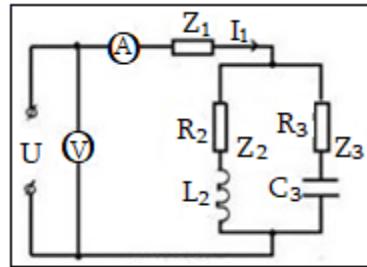
2.26. Նկ.2.23 ա-ում պատկերված շղթայի պարամետրերն ունեն հետևյալ արժեքները՝ $U = 120$ Վ, $Z_1 = (r_1 + jX_1) = (10 + +j6)$ Օմ, $Z_2 = (r_2 + jX_2) = (24 - j7)$ Օմ, $Z_3 = (r_3 + jX_3) = (15 + +j20)$ Օմ: Որոշե՛ք I_1 , I_2 և I կոմպլեքս հոսանքները, ամբողջ շղթայի և առանձին տեղամասերի ակտիվ և ռեակտիվ հզորությունները:



Նկ.2.23

2.27. $U = 110$ Վ լարման ցանցին զուգահեռ միացած են ռեզիստոր, ինդուկտիվ կոճ և կոնդենսատոր (Նկ.2.23 բ): Որոշե՛ք հոսանքները, եթե շղթայի պարամետրերն են՝ $R = X_C = 2X_L = = 20$ կՕմ: Կառուցե՛ք հոսանքների վեկտորական դիագրաման:

2.28. Նկ. 2.24-ում շղթայում ամպերաչափը ցույց է տալիս հոսանքի $I_1 = 2,4$ Ա արժեք, իսկ վոլտաչափը՝ $U = 120$ Վ լարում: Հայտնի է, որ Z_1 դիմադրությունը ռեակտիվ կոճ է, որի ակտիվ դիմադրությունը՝ $R_1 = 7$ Օմ:



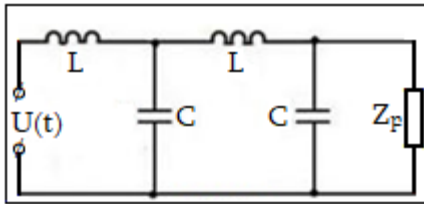
Նկ.2.24

Որոշե՛ք այդ կոճի ինդուկտիվ դիմադրությունը, եթե $R_2 = 20$ Օմ, $\omega L_2 = 30$ Օմ, $R_3 = 10$ Օմ, $\frac{1}{\omega C_3} = 20$ Օմ:

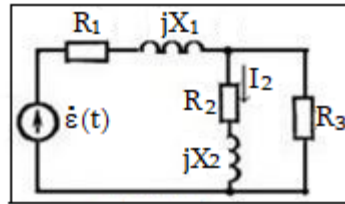
2.29. Նկ. 2.24-ում պատկերված շղթայն ունի հետևյալ պարամետրերը՝ $Z_1 = (6 + j8)\text{Օմ}$, $Z_2 = (10 + j8)\text{Օմ}$, $Z_3 = (20 - j8)\text{Օմ}$: Z_1 դիմադրությամբ անցնում է $I_1 = 6\text{Ա}$ հոսանք: Որոշե՛ք մնացած հոսանքներն ու շղթայի վրա կիրառված լարումը:

2.30. Նկ. 2.25-ում պատկերված շղթայում որոշե՛ք բոլոր հոսանքները, եթե հայտնի է կիրառված լարումը՝ $U = 120\text{Վ}$ է, իսկ մնացած պարամետրերն են՝ $\omega L = 12\text{Օմ}$, $\frac{1}{\omega C} = 20\text{ Օմ}$, $Z_F = R_F = 40\text{ Օմ}$:

2.31. Նկ. 2.25-ում պատկերված շղթայի բեռով, որի դիմադրությունը՝ $Z_F = (25 + j60)\text{Օմ}$, անցնող հոսանքի ուժը՝ $I_F = 0,4\text{Ա}$: Որոշե՛ք մնացած հոսանքները և շղթայի վրա կիրառված U լարումը, եթե շղթայի պարամետրերն են՝ $\frac{1}{\omega C} = 40\text{ Օմ}$, $\omega L = 10\text{Օմ}$:



Նկ.2.25



Նկ.2.26

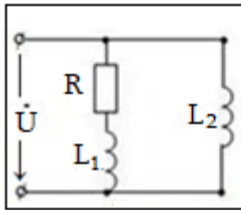
2.32. Որոշե՛ք $C = 1000$ պՖ ունակության կոնդենսատորի կորուստների անկյան տանգենսը և բարորակությունը, երբ այն $f = 3000\text{կՀց}$ հաճախության դեպքում ունի $r_C = 0,1\text{ Օմ}$ կորուստների դիմադրություն: Ինչպե՞ս կփոխվի $tg\delta$ -ի արժեքը, եթե կոնդենսատորը շունտենք $R = 5\text{կՕմ}$ ակտիվ դիմադրությամբ:

2.33. Որոշե՛ք Նկ. 2.26 շղթայում I_2 հոսանքը, եթե այդ շղթայի պարամետրերն են՝ $R_1 = 1 \text{ Ohm}$, $X_{L_1} = 1 \text{ Ohm}$, $R_3 = 4 \text{ Ohm}$, $R_2 = 3 \text{ Ohm}$, $X_{L_2} = 4 \text{ Ohm}$, իսկ $\dot{\varepsilon} = 220e^{j120^\circ}$ Վ:

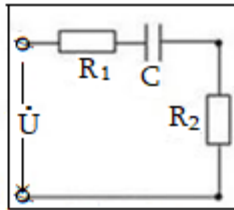
2.34. Որոշե՛ք Նկ. 2.27-ում բերված շղթայի կոմպլեքս դիմադրությունը, նրա մոդուլն ու արգումենտը, եթե կիրառված է ω հաճախության հարմոնիկ լարում: Շղթայի պարամետրերը համարվում են հայտնի:

2.35. Որոշե՛ք Նկ. 2.28-ում բերված շղթայի կոմպլեքս դիմադրությունը, նրա մոդուլն ու արգումենտը, եթե կիրառված է ω հաճախության հարմոնիկ լարում: Շղթայի պարամետրերը համարվում են հայտնի:

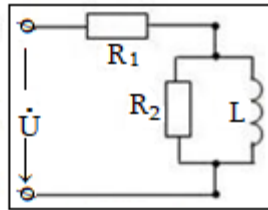
2.36. Որոշե՛ք Նկ. 2.29-ում բերված շղթայի կոմպլեքս դիմադրությունը, նրա մոդուլն ու արգումենտը, եթե կիրառված է ω հաճախության հարմոնիկ լարում: Շղթայի պարամետրերը համարվում են հայտնի:



Նկ.2.27



Նկ.2.28

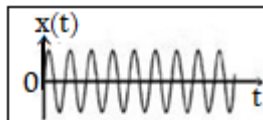


Նկ.2.29

§3. Որոշ ազդանշանների մաթեմատիկական մոդելները և դրանց բնութագրերը: Ազդանշանների սպեկտրային վերլուծությունը: Թեորեմներ սպեկտրների վերաբերյալ

Հիմնական հասկացություններ և բանաձևեր

3.1. Ազդանշանի մաթեմատիկական մոդելավորումը



Նկ.3.1

Ռադիոտեխնիկայում առավել տարածում ունեն ազդանշանների հետևյալ մաթեմատիկական մոդելները.

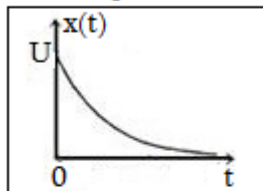
- Անընդհատ հարմոնիկ ազդանշան (Նկ. 3.1).

3.1). $x(t) = U \cos \omega t$ կամ

$$x(t) = U \sin \omega t, \quad t \in (-\infty; +\infty):$$

- Անընդհատ էքսպոնենտային ազդանշան (Նկ.3.2).

$x(t) = U e^{-\alpha t}$, եթե $t \in [0; +\infty)$ և $x = 0$, եթե $t < 0$, իսկ $\alpha > 0$:



Նկ.3.2

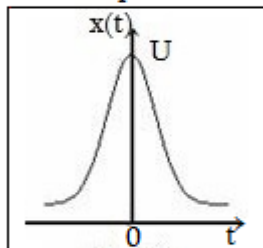
- Գառայան իմպուլս (Նկ. 3.3).

$$x(t) = U e^{-\alpha^2 t^2}, \quad t \in (-\infty; +\infty):$$

- Ուղղանկյուն իմպուլս (Նկ. 3.4).

$$x(t) = U, \text{ եթե } t \in \left[-\frac{T}{2}; +\frac{T}{2}\right] \text{ և}$$

$$x(t) = 0, \text{ եթե } t \notin \left[-\frac{T}{2}; +\frac{T}{2}\right]:$$

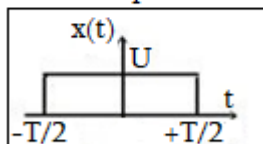


Նկ.3.3

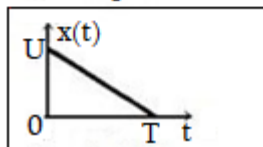
- Եռանկյուն ազդանշան (Նկ. 3.5).

$$x(t) = \frac{U}{T}(T - t), \text{ եթե } t \in [0; T] \text{ և}$$

$$x(t) = 0, \text{ եթե } t \notin [0; T]:$$



Նկ.3.4



Նկ.3.5

- Պարբերական ազդանշանի օրինակ (Նկ. 3.6). $x(t) = x(t \pm nT)$,

որտեղ $n = 0; 1; 2; \dots$, իսկ $T = \frac{2\pi}{\omega_0}$:

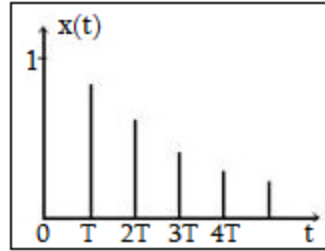


Նկ.3.6

Նկարում բերված է ուղղանկյուն պարբերական ազդանշանի դեպքը:

- Դիսկրետ ազդանշան, որը թվերի հաջորդականությունն է (Նկ. 3.7).

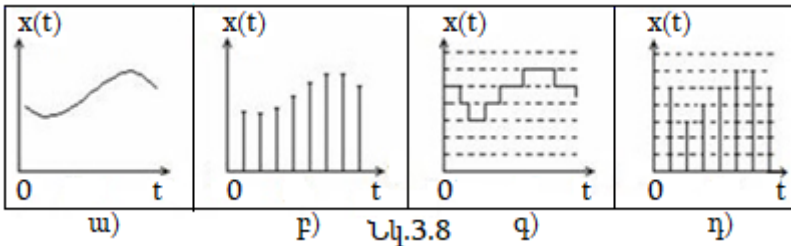
$$X(kT) = e^{-akT}, k = 0; 1; 2; \dots :$$



Նկ.3.7

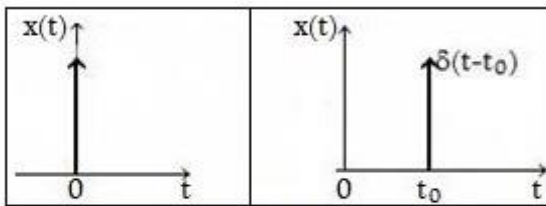
- Նկ. 3.8-ում բերված է նույն անընդհատ ազդանշանի (Նկ. 3.8ա)

ըստ ժամանակի դիսկրետ ներկայացումը (Նկ. 3.8բ), ըստ մակարդակի քվանտային ներկայացումը (Նկ. 3.8գ), թվային ներկայացումը (ըստ ժամանակի դիսկրետ, ըստ մակարդակի քվանտային ներկայացումը, Նկ. 3.8դ):



Նկ.3.8

- Դիրակի $\delta(t)$ -ֆունկցիան (Նկ. 3.9ա).



Նկ.3.9

$$\delta(t) = \begin{cases} \infty, & t = 0, \\ 0, & t \neq 0 \end{cases} \text{ և } \int_{-\infty}^{\infty} \delta(t) dt = 1: \quad (3.1)$$

Եթե δ -ֆունկցիան ըստ ժամանակի գրոյական դիրքից շեղված է t_0 -ով (Նկ. 3.9բ, որտեղ գծի բարձրությունը պետք է համարել անվերջ), ապա՝

$$\delta(t - t_0) = \begin{cases} \infty, & t = t_0, \\ 0, & t \neq t_0 \end{cases} \text{ և } \int_{-\infty}^{\infty} \delta(t - t_0) dt = 1: \quad (3.2)$$

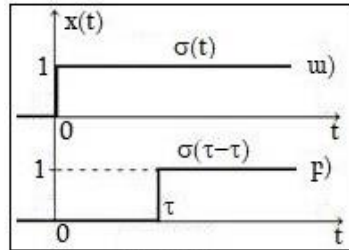
- **δ -ֆունկցիայի գտող հատկությունը՝**

$$\int_{-\infty}^{\infty} f(t) \delta(t - t_0) dt = f(t_0): \quad (3.3)$$

- **Միավոր թռիչքի կամ միացման ֆունկցիա (Խնիսայրի ֆունկցիա, Նկ.3.10).**

$$x(t) = \sigma(t) = \begin{cases} 1, & t \geq 0, \\ 0, & t < 0: \end{cases}$$

Այս ֆունկցիային անվանում են միավոր թռիչքի կամ միացման ֆունկցիա: Ընդհանուր դեպքում σ ֆունկցիան, ըստ ժամանակի, գրոյական դիրքից կարող է շեղված լինել τ -ով (Նկ. 3.10բ):



Նկ.3.10

$$\sigma(t - \tau) = \begin{cases} 1, & t \geq \tau, \\ 0, & t < \tau: \end{cases} \quad (3.4)$$

Եթե ռադիոտեխնիկական գծային համակարգի մուտքին տրվել է σ միավոր թռիչքի ֆունկցիան, ապա դրա արձագանքը (ազդանշանը ելքում) սովորաբար նշանակում են $h(t)$ -ով և անվանում են անցումային ֆունկցիա:

Եթե համակարգի մուտքին տրվել է $\delta(t)$ ազդանշան, ապա դրան համապատասխանող արձագանքին անվանում են իմպուլսային ռեակցիա և սովորաբար նշանակում են $g(t)$ -ով:

3.2. Ազդանշանի բնութագրերը

Ժամանակի $[0, T]$ միջակայքում գոյություն ունեցող $x(t)$ ազդանշանի համար կարևոր բնութագրեր են հանդիսանում հետևյալ մեծությունները.

- **Ազդանշանի միջին արժեքը՝**

$$\bar{x} = \frac{1}{T} \int_0^T x(t) dt: \quad (3.5)$$

- **Ազդանշանի ակնթարթային հզորությունը.**

$$p(t) = U^2(t)/R = I^2(t)R:$$

Ազդանշանների տեսությունում, որպես կանոն, վերցնում են $R = 1$ Օհմ և արդեն՝

$$p(t) = x^2(t), \quad (3.6)$$

որտեղ $x(t)$ ազդանշանը $U(t)$ - ն է կամ $I(t)$ -ն:

Եթե $x(t)$ ազդանշանը ներկայացված է կոմպլեքս տեսքով, ապա $p(t) = \dot{x}(t)\dot{x}^*(t) = |\dot{x}(t)|^2$:

- **Ազդանշանի էներգիան.**

Էներգիան, որը կանջատվի ժամանակի $[0, T]$ միջակայքում կլինի՝

$$W = \int_0^T p(t) dt = \int_0^T x^2(t) dt = \int_0^T |\dot{x}(t)|^2 dt: \quad (3.7)$$

- **Ազդանշանի միջին հզորությունը.**

Ժամանակի $[0, T]$ միջակայքում անջատված միջին հզորությունը

$$\bar{p} = \frac{E}{T} = \frac{1}{T} \int_0^T p(t) dt = \frac{1}{T} \int_0^T x^2(t) dt = \frac{1}{T} \int_0^T |\dot{x}(t)|^2 dt: \quad (3.8)$$

Սովորաբար պարբերական ազդանշանները բնութագրվում են հզորությամբ, իսկ ոչ պարբերականը՝ էներգիայով: Իրական պարբերական ազդանշանների համար $0 < \bar{p} < \infty$, իսկ իրական ոչ պարբերական ազդանշանների համար $0 < W < \infty$:

• Եթե ժամանակի $[0, T]$ միջակայքում տրված են $x_1(t)$ և $x_2(t)$ երկու ազդանշաններ: Այդ ազդանշանների գումարի էներգիան և հզորությունը կլինի՝

$$W = \int_0^T [x_1(t) + x_2(t)]^2 dt = W_1 + W_2 + 2W_{12};$$

$$\bar{p} = \frac{1}{T} \int_0^T [x_1(t) + x_2(t)]^2 dt = \bar{p}_1 + \bar{p}_2 + 2\bar{p}_{12},$$

որտեղ W_1 , \bar{p}_1 և W_2 , \bar{p}_2 -ը համապատասխանաբար առաջին և երկրորդ ազդանշանների էներգիան և միջին հզորություններն են, $W_{12} = \int_0^T x_1(t)x_2(t)dt$ -ն երկու ազդանշանների փոխադարձ էներգիան է, իսկ $\bar{p}_{12} = \frac{1}{T} \int_0^T x_1(t)x_2(t)dt$ -ը՝ փոխադարձ միջին հզորությունը:

Եթե $W_{12} = 0$ կամ $\bar{p}_{12} = 0$, ապա $\int_0^T x_1(t)x_2(t)dt = 0$ և $x_1(t)$, $x_2(t)$ ազդանշանները ժամանակի $[0, T]$ միջակայքում համարվում են օրթոգոնալ: Այդ ազդանշանների համար $W = W_1 + W_2$, $\bar{p} = \bar{p}_1 + \bar{p}_2$: Երկու ազդանշանների օրթոգոնալ լինելը կապված է դրանց որոշման միջակայքի հետ:

Օրինակ՝ $x_1(t) = \sin\omega t$, $x_2(t) = \sin 2\omega t$ ազդանշաններն օրթոգոնալ են ժամանակի այն միջակայքների համար, որոնք ընդգրկում են ամբողջ թվով կես պարբերություններ՝ $\frac{n\pi}{\omega}$, $n=1; 2; \dots$: Ժամանակի մյուս միջակայքերում դրանք օրթոգոնալ չեն:

3.3. Պարբերական ազդանշանի Ֆուրյե-վերլուծությունը

• $x(t) = x(t \pm nT)$ պարբերական ազդանշանի Ֆուրիեի շարքը՝

$$x(t) = \frac{a_0}{2} + \sum_{n=1}^{\infty} a_n \cos n\omega_0 t + \sum_{n=1}^{\infty} b_n \sin n\omega_0 t, \quad (3.9)$$

որտեղ $\omega_0 = \frac{1}{T}$, $a_n = \frac{2}{T} \int_{-T/2}^{T/2} x(t) \cos(n\omega_0 t) dt$,

$$b_n = \frac{2}{T} \int_{-T/2}^{T/2} x(t) \sin(n\omega_0 t) dt, \quad \frac{a_0}{2} = \frac{1}{T} \int_{-T/2}^{T/2} x(t) dt: \quad \frac{a_0}{2}$$

փաստորեն ազդանշանի միջին արժեքն է և հանդիսանում է ազդանշանի հաստատուն բաղադրիչը:

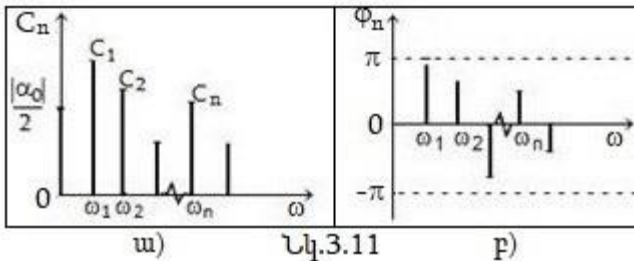
• (3.9) շարքի կոմպակտ տեսքը՝

$$x(t) = \frac{a_0}{2} + \sum_{n=1}^{\infty} c_n \sin(n\omega_0 t + \varphi_n), \quad (3.10)$$

որտեղ $c_n = \sqrt{a_n^2 + b_n^2}$, $tg \varphi_n = \frac{a_n}{b_n}$:

(3.9) և (3.10) շարքերը կոչվում են $x(t)$ ազդանշանի սպեկտր: $n\omega_0$ -ին անվանում են վերլուծության հարմոնիկներ: $c_n(\omega)$ -ի համախմբությանն անվանում են լայնությանին, իսկ $\varphi_n(\omega)$ -ների համախմբությանը՝ փուլային սպեկտր: Լայնությանին սպեկտրը գույգ ֆունկցիա է՝ $c_n(\omega) = c_n(-\omega)$, իսկ փուլայինը՝ կենտ՝ $\varphi_n(-\omega) = -\varphi(\omega)$:

Նկ. 3.11-ում բերված է լայնությանին և փուլային սպեկտրների հնարավոր տեսքը, որտեղից երևում է, որ պարբերական ֆունկցիայի սպեկտրները գծային են: Նկարում $\omega_1 = \omega_0$, $\omega_2 = 2\omega_0, \dots, \omega_n = n\omega_0$:



Նկ.3.11

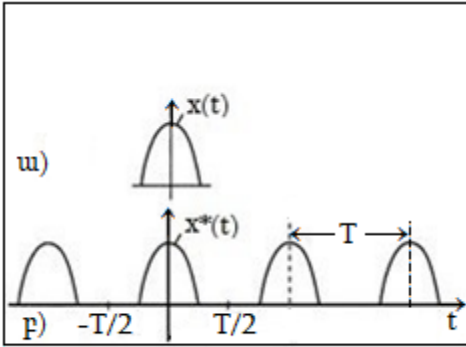
Ֆիզիկական ռեալ դեպքերում, սկսած ինչ-որ k -ի ինչ-որ արժեքից (3.9) կամ (3.10) շարքում անդամներն արդեն էական դեր չեն ունենում և շարքը վերևից սահմանափակվում է: ω -ի 0-ից մինչև $k\omega_0$ հատվածին անվանում են սպեկտրալ լայ-

նություն, իսկ $k\omega_0$ -ին՝ սպեկտրի սահմանային հաճախությունը՝ $\omega_u = k\omega_0$:

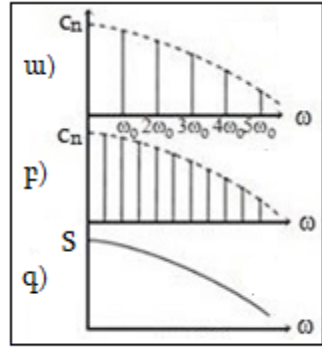
• Միայնակ ազդանշանի Ֆուրյե- վերլուծությունը.

Եթե $x(t)$ ազդանշանը պարբերական չէ (օրինակ, Նկ. 3.12ա), մտովի դրան կարելի է ավելացնել նման ազդանշաներով, որոնք իրար հաջորդում են T պարբերությամբ (Նկ. 3.12բ), կստանանք $x^*(t)$ պարբերական ազդանշան՝ $x^*(t) = x^*(t \pm nT)$:

Եթե պահանջվող գործողությունները կատարելուց հետո



Նկ.3.12



Նկ.3.13

T պարբերությունը ձգտեցնենք անվերջության, ապա կստանանք $x(t)$ միայնակ ազդանշանը՝ $x^*(t) \rightarrow x(t)$, երբ $T \rightarrow \infty$: Այս դեպքում արդեն սպեկտրը կլինի անընդհատ (Նկ. 3.13գ) և կունենանք՝

$$x(t) = \int_0^{\infty} \left[\int_{-\infty}^{\infty} x(t) \cos \omega t dt \right] \cos \omega t d\omega + \int_0^{\infty} \left[\int_{-\infty}^{\infty} x(t) \sin \omega t dt \right] \sin \omega t d\omega: \quad (3.11)$$

• (3.11)-ի կոմպակտ տեսքը՝

$$x(t) = \frac{1}{\pi} \int_0^{\infty} S(\omega) \sin[\omega t + \varphi(\omega)] d\omega, \quad (3.12)$$

որտեղ

$$S(\omega) = \sqrt{\left[\int_{-\infty}^{\infty} x(t) \cos \omega t dt \right]^2 + \left[\int_{-\infty}^{\infty} x(t) \sin \omega t dt \right]^2} =$$

$$= \sqrt{\alpha^2(\omega) + \beta^2(\omega)}: \quad (3.13)$$

$$tg \varphi(\omega) = \frac{\int_{-\infty}^{\infty} x(t) \cos \omega t dt}{\int_{-\infty}^{\infty} x(t) \sin \omega t dt} = \frac{\alpha(\omega)}{\beta(\omega)}: \quad (3.13a)$$

$S(\omega)$ -ն կոչվում է $x(t)$ ազդանշանի սպեկտրալ խտություն կամ սպեկտր, իսկ $tg \varphi(\omega)$ -ն՝ փուլային սպեկտր:

• **Ֆուրիեի շարքի կոմպլեքս տեսքը.**

$$x(t) = \sum_{-\infty}^{\infty} \dot{c}_n e^{jn\omega_0 t}, \quad (3.14)$$

որտեղ

$$\dot{c}_n = \frac{1}{T} \int_{-T/2}^{T/2} x(t) e^{jn\omega_0 t} dt: \quad (3.14a)$$

• **Ֆուրիեի ուղիղ և հակադարձ ձևափոխությունները.**

$$x(t) = \frac{1}{2\pi} \int_{-\infty}^{\infty} \dot{S}(\omega) e^{j\omega t} d\omega, \quad (3.15)$$

որտեղ

$$\dot{S}(\omega) = \int_{-\infty}^{\infty} x(t) e^{-j\omega t} dt: \quad (3.16)$$

(3.15) և (3.16) համակարգը կոչվում է Ֆուրիեի ինտեգրալ ձևափոխություններ, ընդ որում՝ (3.15)-ը կոչվում է հակադարձ, իսկ (3.16)-ը՝ ուղիղ ձևափոխություն:

• **Ֆուրյե - ձևափոխության հատկությունները.**

• $x(t) = \frac{1}{2\pi} \int_{-\infty}^{\infty} \dot{S}(\omega) e^{j\omega t} d\omega$ ձևափոխությունում կատարենք ω և t փոփոխականների փոխադարձ փոխարինում, ընդ որում, ազդանշանին վերագրելով իրական ֆունկցիա, իսկ սպեկտրին՝ կոմպլեքս (թեկուզ դա ևս կարող է լինել իրական), կունենանք՝

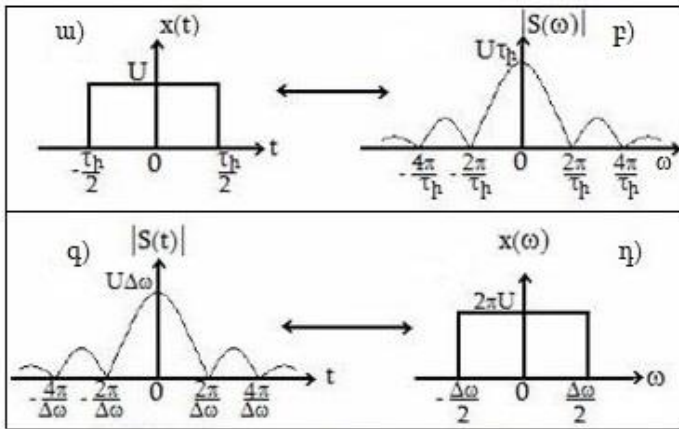
$$x(\omega) = \frac{1}{2\pi} \int_{-\infty}^{\infty} \dot{S}(t) e^{j\omega t} dt = \int_{-\infty}^{\infty} \left(\frac{1}{2\pi} \dot{S}(-t) \right) e^{-j\omega t} dt:$$

Փաստորեն ստացվել է $\frac{1}{2\pi} \dot{S}(-t)$ ազդանշանի սպեկտրը:

Ուրեմն, եթե $x(t)$ ազդանշանի սպեկտրը $\dot{S}(\omega)$ -ն է, ապա $\frac{1}{2\pi}\dot{S}(-t)$ ազդանշանի սպեկտրը կլինի $x(j\omega)$ -ն: Այսպիսով, եթե $x(t) \leftrightarrow \dot{S}(\omega)$, ապա

$$\frac{1}{2\pi}\dot{S}(-t) \leftrightarrow x(j\omega) = \dot{x}(\omega): \quad (3.17)$$

(3.17) բանաձևի ֆիզիկական իմաստը կայանում է հետևյալում՝ եթե $x(t)$ ազդանշանին համապատասխանում է $S(\omega)$ լայնությանի սպեկտրը, ապա այդ սպեկտրի տեսքն ունեցող ազդանշանին կհամապատասխանի սպեկտր, որն ունի $x(t)$ ազդանշանի տեսքը: Դա լուսաբանվում է Նկ.3.14-ում:



Ազդանշան Նկ.3.14 Սպեկտր

3.4. Թեորեմներ սպեկտրների վերաբերյալ

• Գումարի թեորեմը.

Եթե ունենք $x(t) = \sum_k x_k(t)$ ազդանշան և հայտնի են բոլոր գումարելիների $\dot{S}_k(\omega)$ սպեկտրալ խտությունները, ապա $x(t)$ -ի սպեկտրալ խտությունը կլինի՝

$$\dot{S}(\omega) = \int_{-\infty}^{\infty} \sum_k x_k(t) e^{-j\omega t} dt = \sum_k \dot{S}_k(\omega): \quad (3.18)$$

Ընդհանրացված ձևով թեորեմը կլինի հետևյալը, եթե $x(t) = \sum_k a_k x_k(t)$, որտեղ a_k -ն իրական մեծություն է, ապա

$$\dot{S}(\omega) = \sum_k a_k \dot{S}_k(\omega):$$

• Մասշտաբի փոփոխման թեորեմը.

Եթե $x(t)$ ազդանշանի սպեկտրը $\dot{S}(\omega)$ -ն է, ապա $x(at)$ ազդանշանի սպեկտրը կլինի $\frac{1}{|a|} \dot{S}\left(\frac{\omega}{a}\right)$: Սա նշանակում է, որ եթե ազդանշանի տևողությունը երկարում է, ապա նրա սպեկտրը սեղմվում է և ընդհակառակը:

• Ուշացման թեորեմը.

Եթե $x(t)$ ազդանշանն ունի $\dot{S}(\omega)$ սպեկտրը, ապա τ ժամանակով ուշացած $x(t - \tau)$ ազդանշանի սպեկտրը կլինի՝ $\dot{S}_\tau(\omega) = e^{-j\omega\tau} \dot{S}(\omega)$, իսկ $x(t + \tau)$ -ն կլինի τ ժամանակով առաջ ընկած և դրա սպեկտրը կլինի՝ $\dot{S}_\tau(\omega) = e^{j\omega\tau} \dot{S}(\omega)$: Քանի որ $|\dot{S}_\tau(\omega)| = |\dot{S}(\omega)|$, ուստի ազդանշանի ուշացման դեպքում դրա լայնությանին սպեկտրը չի փոխվում, սակայն փոխվում է փուլային սպեկտրը՝

$$\dot{S}_\tau(\omega) = e^{\pm j\omega\tau} |\dot{S}(\omega)| e^{j\varphi(\omega)} = |\dot{S}(\omega)| e^{j[\varphi(\omega) \pm \omega\tau]}: \quad (3.19)$$

• Ածանցյալի թեորեմը.

Եթե $x(t)$ ազդանշանի սպեկտրը $\dot{S}(\omega)$ -ն է, այս դեպքում $x' = \frac{dx}{dt}$ -ի սպեկտրը կլինի $\dot{S}^{(1)}(\omega) = j\omega \dot{S}(\omega)$: $x''(t)$ ազդանշանի սպեկտրը կլինի՝ $\dot{S}^{(2)}(\omega) = (j\omega)^2 \dot{S}(\omega)$: $x(t)$ ազդանշանի n -րդ կարգի ածանցյալի սպեկտրը կլինի՝ $\dot{S}^{(n)}(\omega) = (j\omega)^n \dot{S}(\omega)$: Սակայն այս արդյունքները ճիշտ են $\lim_{t \rightarrow \pm\infty} x(t) = 0$ պայմանի դեպքում:

• Ինտեգրալի թեորեմը.

Եթե $x(t)$ ազդանշանի սպեկտրը $\dot{S}(\omega)$ -ն է, ապա $f(t) = \int_0^t x(\tau) d\tau$ ինտեգրալ ազդանշանի սպեկտրը կլինի՝

$$\dot{S}_{(-1)}(\omega) = \frac{1}{j\omega} \int_{-\infty}^{\infty} x(t)e^{-j\omega t} dt = \frac{1}{j\omega} \dot{S}(\omega): \quad (3.20)$$

• **Արտադրյալի թեորեմը.**

Եթե $x_1(t)$ ազդանշանի սպեկտրը $\dot{S}_1(\omega)$ -ն է, իսկ $x_2(t)$ ազդանշանինը՝ $\dot{S}_2(\omega)$ -ն, ապա $x(t) = x_1(t)x_2(t)$ ազդանշանի $\dot{S}(\omega)$ սպեկտրը կլինի՝

$$\dot{S}(\omega) = \frac{1}{2\pi} \int_{-\infty}^{\infty} \dot{S}_1(\nu)\dot{S}_2(\omega - \nu)d\nu: \quad (3.21)$$

Այսինքն՝ արտադրյալի սպեկտրը հավասար է արտադրիչների սպեկտրների փաթույթին:

• **Փաթույթի թեորեմը.**

$x_1(t)$ և $x_2(t)$ ազդանշանների փաթույթ կամ ծածկույթ կոչվում է հետևյալ ինտեգրալը՝

$$x(t) = \int_{-\infty}^{\infty} x_1(\tau)x_2(t - \tau)d\tau: \quad (3.22)$$

Եթե $x_1(t)$ ազդանշանի սպեկտրը $\dot{S}_1(\omega)$ -ն է, իսկ $x_2(t)$ -ինը՝ $\dot{S}_2(\omega)$ -ն է, ապա $x(t)$ -ի $\dot{S}(\omega)$ սպեկտրը կլինի՝

$$\dot{S}(\omega) = \dot{S}_1(\omega) \cdot \dot{S}_2(\omega):$$

• **Էներգիայի թեորեմը.**

Եթե $x(t)$ ազդանշանի սպեկտրը $\dot{S}(\omega)$ -ն է՝

$$x(t) = \frac{1}{2\pi} \int_{-\infty}^{\infty} \dot{S}(\omega) e^{j\omega t} d\omega, \text{ ապա՝}$$

$$\int_{-\infty}^{\infty} x^2(t)dt = \frac{1}{\pi} \int_0^{\infty} |\dot{S}(\omega)|^2 d\omega, \quad (3.23)$$

որին անվանում են Պարսևալի հավասարում:

Եթե հայտնի է $x(t)$ ազդանշանի ժամանակային կախվածությունը, ապա էներգիան կորոշվի $W = \int_{-\infty}^{\infty} x^2(t)dt$ բանաձևով: Եթե հայտնի է այդ ազդանշանի սպեկտրը, ապա էներգիան կորոշվի $W = \frac{1}{\pi} \int_0^{\infty} |\dot{S}(\omega)|^2 d\omega$ բանաձևով:

• **Էներգիայի սպեկտր.**

$$w = \frac{1}{\pi} |\dot{S}(\omega)|^2: \quad (3.23\text{ա})$$

3.5. Որոշ ազդանշանների սպեկտրները

- **Դիրակի δ -ֆունկցիայի սպեկտրը.**

$$\dot{S}(\omega) = \int_{-\infty}^{\infty} \delta(t) e^{-j\omega t} dt = e^{-j\omega \cdot 0} = 1: \quad (3.24)$$

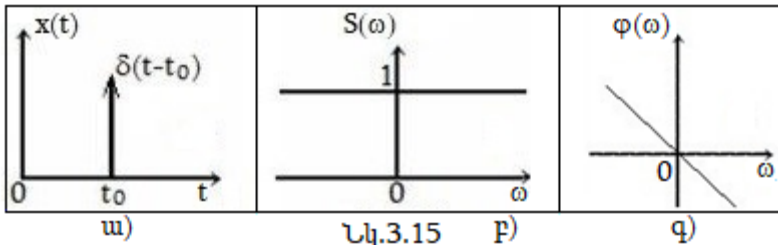
Այսինքն՝ հաճախությունների ամբողջ տիրույթում $\delta(t)$ -ֆունկցիայի սպեկտրը հաստատուն է և մոդուլով հավասար մեկի, իսկ փուլային սպեկտրը հավասար է զրոյի:

- **Դիրակի $\delta(t - t_0)$ - ֆունկցիայի Ֆուրյե -ձևափոխությունը.**

$$\dot{S}(\omega) = \int_{-\infty}^{\infty} \delta(t - t_0) e^{-j\omega t} dt = e^{-j\omega t_0}: \quad (3.25)$$

Ըստ ժամանակի տեղաշարժված δ -ֆունկցիայի (Նկ. 3.15ա) լայնությանին սպեկտրը հաստատուն է (Նկ. 3.15բ) և մոդուլով հավասար մեկի, իսկ փուլային սպեկտրը ձեռք է բերել $-\omega t_0$ լրացուցիչ գումարելի (Նկ. 3.15գ):

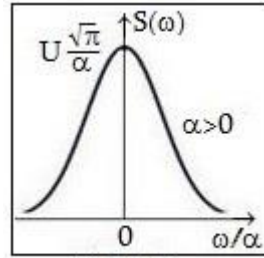
- **Դիրակի δ -ֆունկցիայի Ֆուրյե-հակադարձ ձևափոխությունը.**



$$\delta(t) = \frac{1}{2\pi} \int_{-\infty}^{\infty} e^{j\omega t} d\omega = \frac{1}{2\pi} \int_{-\infty}^{\infty} e^{-j\omega t} d\omega: \quad (3.26)$$

- $x(t) = U e^{-\alpha^2 t^2}$, $t \in (-\infty; +\infty)$ գաուսյան իմպուլսի (Նկ.3.16) սպեկտրը.

Այս իմպուլսի սպեկտրն ունի գաուսյան տեսք՝ $\dot{S}(\omega) = \frac{U\sqrt{\pi}}{\alpha} e^{-\left(\frac{\omega}{2\alpha}\right)^2}$, իրական է, քանի որ $x(t)$ -ն զույգ ֆունկցիա է:



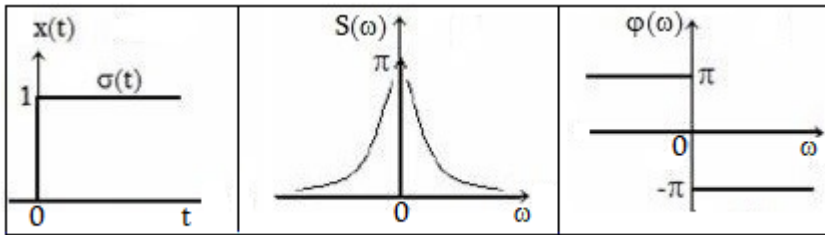
Նկ.3.16

• Միավոր թռիչքի՝

$$\sigma(t) = \begin{cases} 1, & \text{երբ } t \geq 0, \\ 0, & \text{երբ } t < 0 \end{cases} \text{ սպեկտրը.}$$

$$\dot{S}(\omega) = \pi\delta(\omega) + 1/j\omega: \quad (3.27)$$

Լայնութային և փուլային սպեկտրների գրաֆիկները բերված են Նկ. 3.17 բ,գ-ում:



Նկ.3.17 բ)

• $x(t) = \begin{cases} Ue^{-\alpha t}, & t \in [0; +\infty), \alpha > 0, \\ 0, & t < 0 \end{cases}$ անընդհատ էքսպոնենտային ազդանշանի (Նկ.3.2) սպեկտրը.

$$\dot{S}(\omega) = \frac{U}{\alpha + j\omega} = \frac{U(\alpha - j\omega)}{\alpha^2 + \omega^2}; \quad |\dot{S}(\omega)| = \frac{U}{\sqrt{\alpha^2 + \omega^2}}; \quad tg\varphi = -\frac{\omega}{\alpha}: \quad (3.28)$$

Եթե $x(t)$ ազդանշանում $\alpha \rightarrow 0$, ապա միավոր թռիչքի սպեկտրի փոխարեն ստանում ենք U թռիչքով ազդանշանի սպեկտրը՝ $\dot{S}(\omega) = \pi U\delta(\omega) + U/j\omega$:

• $x(t) = U\cos(\omega_0 t + \varphi)$ հարմոնիկ ազդանշանի սպեկտրը. Այսինքն՝ հարմոնիկ ազդանշանի սպեկտրը երկու δ -ֆունկցիաներ են՝

$$\dot{S}(\omega) = U\pi e^{j\varphi} \delta(\omega - \omega_0) + U\pi e^{-j\varphi} \delta(\omega + \omega_0), \quad (3.29)$$

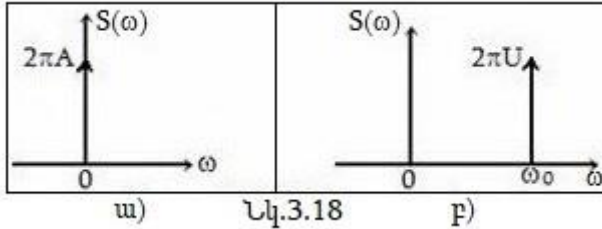
որոնք գտնվում են $\pm\omega_0$ հաճախությունների վրա:

- $x(t) = A$ հաստատուն ազդանշանի սպեկտրը (Նկ.3.18ա).

$$\dot{S}(\omega) = 2\pi A\delta(\omega): \quad (3.30)$$

- $x(t) = Ue^{j\omega_0 t}$ կոմպլեքս էքսպոնենտի սպեկտրը (Նկ.3.18բ).

$$\dot{S}(\omega) = 2\pi U\delta(\omega - \omega_0): \quad (3.31)$$



Խնդիրներ

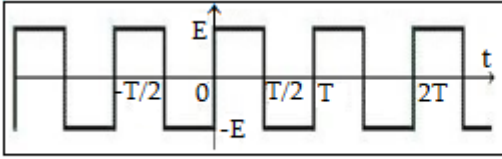
Պարբերական ազդանշանի Ֆուրյե-վերլուծություն

3.1. T պարբերության ազդանշանը $-\frac{T}{2} \leq t \leq \frac{T}{2}$ միջակայքում տրվում է $x(t) = U_0 \cos \frac{\pi t}{T}$ արտահայտությամբ: Որոշե՛ք ազդանշանի Ֆուրիեի շարքի c_n գործակիցները:

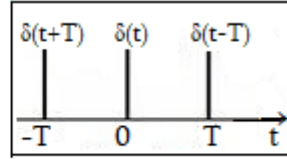
3.2. T պարբերության կոմպլեքս ազդանշանը տրվում է արտահայտությամբ՝ $x(t) = \begin{cases} 0, & -\frac{T}{2} < t < -\tau/2, \\ A \exp(jat), & -\tau/2 \leq t \leq \tau/2, \\ 0, & \tau/2 < t < T/2, \end{cases}$

որտեղ A-ն, α -ն և τ -ն տված իրական թվեր են: Որոշե՛ք ազդանշանի համար Ֆուրիեի շարքի c_n ($n = 0, \pm 1, \pm 2, \dots$) գործակիցները:

3.3. Հաշվե՛ք ներդաշնակ բաղադրիչների կոմպլեքս լայնությունները և գրե՛ք Ֆուրիեի շարքը Նկ.3.19-ում պատկերված տատանումների համար:



Նկ.3.19



Նկ.3.20

3.4. Ցույց տվե՛ք, որ Նկ.3.20-ում պատկերված $\delta(t)$ -իմպուլսների համախմբի սպեկտրալ խտությունը հավասար է՝

$$S(\omega) = 1 + 2\cos\omega T:$$

3.5. Որոշե՛ք $x(t)$ պարբերական ազդանշանի Ֆուրիեի շարքի \dot{c}_n ($n = 0, \pm 1, \pm 2, \dots$) կոմպլեքս գործակիցների և

$x_1(t) = x(t - t_0)$ ուշացող ազդանշանի Ֆուրիեի շարքի \tilde{c}_n գործակիցների միջև կապը:

3.6. Տրված է T պարբերությամբ $x(t)$ կոմպլեքս պարբերական ազդանշան: Ստացե՛ք պարբերության ընթացքում ազդանշանի միջինացված \bar{P} հզորության և ազդանշանի Ֆուրիեի շարքի \dot{c}_n գործակիցների միջև կապ հաստատող արտահայտություն:

3.7. Հաշվե՛ք $x(t) = A\cos^2\omega_0 t$ ($-\infty < t < \infty$) ազդանշանի սպեկտրալ խտությունը:

Ֆուրիեի ուղիղ և հակադարձ ձևափոխություններ:

Ազդանշանի սպեկտրալ խտություն

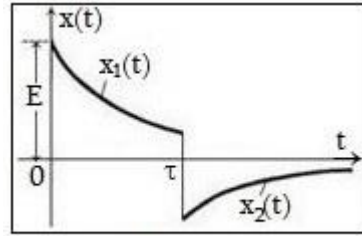
3.8. Որոշե՛ք կոսինուսիդային իմպուլսի սպեկտրալ

խտությունը՝ $x(t) = \begin{cases} U\cos\frac{\pi t}{T}, & |t| < \frac{T}{2}, \\ 0, & |t| > \frac{T}{2}. \end{cases}$

3.9. Որոշե՛ք $U(t) = 5e^{-4000t}\sigma(t)$ Վ լարման իմպուլսի սպեկտրալ խտությունը և հաշվել սպեկտրալ խտության մոդուլի արժեքը $\omega_0 = 3000$ ռադ/վ հաճախության դեպքում:

3.10. Հոսանքի էքսպոնենտային տեսաիմպուլսը տրվում է $I(t) = 0,75e^{-4 \cdot 10^7 t} \sigma(t)$ Ա արտահայտությամբ, որտեղ $\sigma(t)$ -ն միավոր թռիչքի ֆունկցիան է: Որոշե՛ք տվյալ իմպուլսի սպեկտրալ խտության մոդուլը և արգումենտը $f = 10$ ՍՀց հաճախության դեպքում:

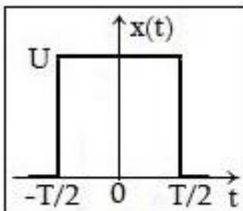
3.11. Որոշե՛ք Նկ.3.21-ում պատկերված ազդանշանի սպեկտրալ խտությունը, եթե $x_1(t) = Ee^{-at}$, $x_2(t) = -Ee^{-a(t-\tau)}(1 - e^{-at})$:



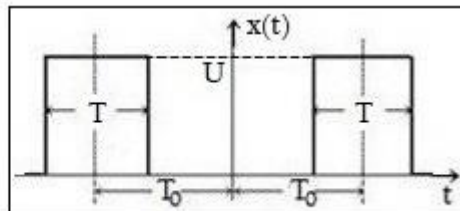
Նկ.3.21

3.12. Որոշե՛ք $x(t) = e^{-\beta^2 t^2}$ իմպուլսի սպեկտրալ խտությունը և կառուցե՛ք դրա հաճախային կախվածության գրաֆիկը:

3.13. Որոշե՛ք Նկ.3.22-ում պատկերված ուղղանկյուն իմպուլսի սպեկտրալ խտությունը: Հաշվե՛ք սպեկտրալ խտության մոդուլի արժեքները $\omega = 0$, $\omega = \frac{\pi}{T}$ և $\omega = \frac{2\pi}{T}$ հաճախությունների դեպքում, եթե $U = 2$ Վ, $T = 5$ մկվ:



Նկ.3.22



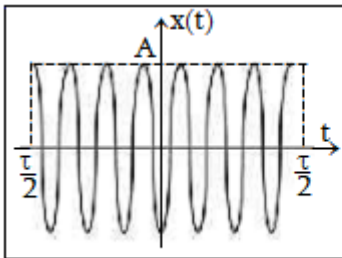
Նկ.3.23

3.14. Օգտվելով նախորդ խնդրի արդյունքից և գումարի ու ուշացման թեորեմներից՝ որոշե՛ք Նկ.3.23-ում պատկերված կրկնակի իմպուլսի սպեկտրալ խտությունը:

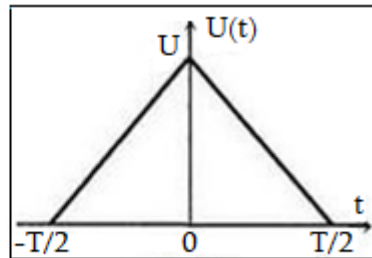
3.15. Նկ.3.24-ում պատկերված է ուղղանկյուն պարուրիչով ռադիոհիմպուլս՝ $x(t) = A \cos \omega_0 t$, $-\frac{\tau}{2} < t < \frac{\tau}{2}$, $\tau \gg \frac{2\pi}{\omega_0}$: Որոշե՛ք ռադիոհիմպուլսի սպեկտրալ խտությունը՝ օգտվելով սպեկտրալ խտությունների վերաբերյալ արտադրյալի թեորեմից:

3.16. Որոշե՛ք Նկ.3.25-ում պատկերված եռանկյունաձև իմպուլսի սպեկտրալ խտությունը:

3.17. Հաշվե՛ք Նկ.3.25-ում պատկերված եռանկյունաձև իմպուլսի սպեկտրալ խտությունը՝ օգտվելով ուշացման և ինտեգրալի թեորեմներից, եթե նախապես հայտնի է ուղղանկյուն իմպուլսի սպեկտրալ խտությունը: Որոշե՛ք սպեկտրալ խտության մոդուլի արժեքները $\omega = 0$, $U = 5$ Վ, $T = 2$ մկվ դեպքում:



Նկ.3.24



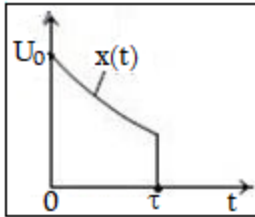
Նկ.3.25

3.18. Ազդանշանի սպեկտրալ խտությունն ունի հետևյալ տեսքը՝ $\dot{S}(\omega) = \pi A e^{-\alpha|\omega|}$: Որոշե՛ք $x(t)$ ազդանշանը:

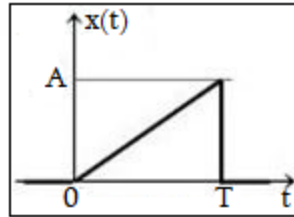
3.19. Տրված է $x(t)$ ազդանշանի սպեկտրալ խտությունը՝ $\dot{S}(\omega) = \frac{A}{(\alpha + j\omega)(\beta + j\omega)}$, $\alpha > 0$, $\beta > 0$, $\alpha \neq \beta$: Օգտվելով սպեկտրների վերաբերյալ երկու ֆունկցիաների փաթույթի թեորեմից որոշե՛ք ազդանշանը:

3.20. Ցույց տվե՛ք, որ միավոր թռիչքի՝ $\sigma(t) = \begin{cases} 1, & \text{երբ } t \geq 0, \\ 0, & \text{երբ } t < 0 \end{cases}$ սպեկտրը տրվում է $\dot{S}(\omega) = \pi \delta(\omega) + 1/j\omega$ արտահայտությամբ:

3.21. Որոշե՛ք Նկ.3.26-ում պատկերված ազդանշանի սպեկտրալ խտությունը, եթե՝ $x(t) = U_0 e^{-at}$:



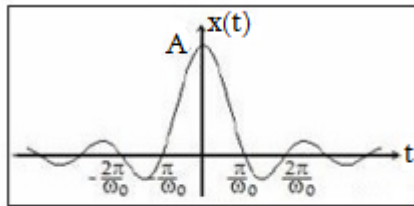
Նկ.3.26



Նկ.3.27

3.22. Որոշե՛ք Նկ.3.27-ում պատկերված եռանկյունաձև ազդանշանի սպեկտրալ խտությունը:

3.23. Որոշե՛ք $x(t) = A \frac{\sin \omega_0 t}{\omega_0 t}$ տեսքի ազդանշանի սպեկտրը (Նկ. 3.28), որտեղ $\omega_0 = 2\pi f_0 = \frac{2\pi}{T}$, իսկ T -ն $\sin \omega_0 t$ ֆունկցիայի պարբերությունն է:



Նկ.3.28

Սպեկտրի լայնություն

3.24. R դիմադրությամբ հոսում է $I = I_0 e^{-at} \sigma(t)$ իմպուլսային հոսանք, որտեղ $\sigma(t)$ -ն միավոր թռիչքի ֆունկցիան է: Որոշե՛ք իմպուլսի սպեկտրի ակտիվ լայնությունը, որտեղ կենտրոնացված է լրիվ էներգիայի 90%-ը:

3.25. R դիմադրությամբ հոսում է $I = I_0 e^{-\beta t} \sigma(t)$ իմպուլսային հոսանք, որտեղ $\sigma(t)$ -ն միավոր թռիչքի ֆունկցիան է: Որոշե՛ք,

թե իմպուլսի լրիվ էներգիայի՝ \mathbf{w}) ո՞ր մասն է ցրվում R դիմադրության վրա $1/\beta$ ժամանակամիջոցում և \mathbf{p}) ո՞ր մասն է կենտրոնացված $\omega = 0 \div \beta$ հաճախային շերտում: Որոշե՛ք նաև իմպուլսի սպեկտրի ակտիվ լայնությունը:

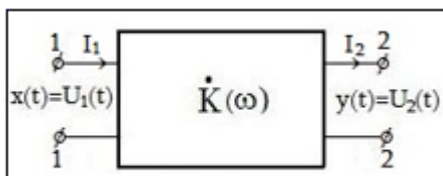
3.26. Որոշե՛ք $U = U_0 e^{-\alpha t} \sigma(t)$ լարման իմպուլսի էներգիական սպեկտրը, որտեղ $\sigma(t)$ -ն միավոր թռիչքի ֆունկցիան է: Գտե՛ք նաև այդ իմպուլսի սպեկտրի ակտիվ լայնությունը՝ ընդունելով, որ հաճախային այդ շերտում կենտրոնացված է ազդանշանի լրիվ էներգիայի 90%-ը:

§4. Կոմպլեքս փոխանցման գործակից: Ազդանշանի կոռելյացիոն վերլուծություն: Որոշ ազդանշանների կոռելյացիոն ֆունկցիաները

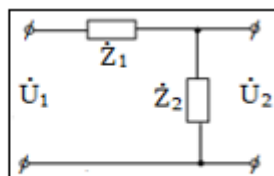
Հիմնական հասկացություններ և բանաձևեր

4.1. Կոմպլեքս փոխանցման գործակից

Ռադիոտեխնիկական գծային համակարգերի համար կարևոր բնութագրերից է հանդիսանում է կոմպլեքս փոխանցման գործակիցը, որը մտցվում է այն դեպքում, երբ ունենք հարմոնիկ ազդանշան: Եթե քառաբևեռի (Նկ.4.1ա) մուտքային $x(t)$ ազդանշանը հարմոնիկ լարում է՝ $\dot{U}_1(t) = \dot{U}_{1m}e^{j\omega t}$, ապա ելքային $y(t)$ լարումը (արձագանքը) ևս կլինի հարմոնիկ՝ $\dot{U}_2(t) = \dot{U}_{2m}e^{j\omega t}$:



Նկ.4.1



Նկ.4.2

• $K(\omega)$ կոմպլեքս փոխանցման գործակիցը.

$$\dot{K}(\omega) = \frac{\dot{U}_2(t)}{\dot{U}_1(t)} = \frac{\dot{U}_{2m}}{\dot{U}_{1m}}, \quad (4.1)$$

որտեղ \dot{U}_{1m} -ը և \dot{U}_{2m} -ը մուտքային և ելքային ազդանշանների լայնույթներն են:

Եթե քառաբևեռը հաջողվում է ներկայացնել Նկ.4.2 տեսքով, որտեղ \dot{Z}_1 և \dot{Z}_2 կոմպլեքս դիմադրություններ են, ապա մուտքային և ելքային լարումների կոմպլեքս լայնույթների հա-

մար կարող ենք գրել $\dot{U}_{1m} = \dot{I}_m \cdot (\dot{Z}_1 + \dot{Z}_2)$, $\dot{U}_{2m} = \dot{I}_m \cdot \dot{Z}_2$: Այս դեպքում կոմպլեքս փոխանցման գործակցի համար կունենանք՝

$$\dot{K}(\omega) = \frac{\dot{U}_{2m}}{\dot{U}_{1m}} = \frac{\dot{Z}_2}{\dot{Z}_1 + \dot{Z}_2} \quad (4.2)$$

• **$\dot{K}(\omega)$ կոմպլեքս փոխանցման գործակցի մոդուլը.**

$$|\dot{K}(\omega)| = \frac{U_{2m}}{U_{1m}} = A(\omega) \quad (4.3)$$

$A(\omega)$ -ին անվանում են համակարգի լայնութահաճախային բնութագիր:

• Քառաբևեռի թողարկման շերտի լայնությունը որոշվում է հետևյալ պայմանից.

$$\frac{A(\omega)_{max}}{A(\omega)} = \sqrt{2} \quad (4.4)$$

• **$\dot{K}(\omega)$ կոմպլեքս փոխանցման գործակցի փուլը.**

$$\dot{K}(\omega) = |\dot{K}(\omega)| e^{j\varphi(\omega)} = \frac{U_{2m} e^{j\varphi_2}}{U_{1m} e^{j\varphi_1}} = \frac{U_{2m}}{U_{1m}} e^{j(\varphi_2 - \varphi_1)}: \quad \text{Այսինքն՝}$$

կոմպլեքս փոխանցման գործակցի փուլը հավասար է արձագանքի ազդանշանի փուլերի տարբերությունը.

$$\varphi(\omega) = \varphi_2 - \varphi_1 \quad (4.5)$$

Կոմպլեքս փոխանցման գործակցի փուլի հաճախային կախվածությանը՝ $\varphi(\omega)$ -ին, անվանում են համակարգի փուլահաճախային բնութագիր:

• Եթե հայտնի է $x(t)$ ազդանշանի $\dot{S}_x(\omega)$ սպեկտրը և համակարգի $\dot{K}(\omega)$ փոխանցման գործակցիցը, ապա $y(t)$ արձագանքը կորոշվի հետևյալ բանաձևով՝

$$y(t) = \frac{1}{2\pi} \int_{-\infty}^{\infty} \dot{K}(\omega) \dot{S}_x(\omega) e^{j\omega t} d\omega \quad (4.8)$$

• **$x(t)$ ազդանշանի և $y(t)$ արձագանքի սպեկտրների կապը՝**

$$\dot{S}_y(\omega) = \dot{K}(\omega) \dot{S}_x(\omega) \quad \text{կամ} \quad \dot{K}(\omega) = \frac{\dot{S}_y(\omega)}{\dot{S}_x(\omega)} \quad (4.9)$$

4.2. Ազդանշանի կոռելյացիոն անալիզ

ա) Կոռելյացիոն ֆունկցիաների սահմանումը

• $x(t)$ ազդանշանի ինքնակոռելյացիոն ֆունկցիան.

$$R(\tau) = \int_{-\infty}^{\infty} x(t)x(t-\tau)dt: \quad (4.10)$$

Փաստորեն (4.10)-ը $x(t)$ ազդանշանի փաթույթն է կամ $x(t)$ և ըստ ժամանակի շեղված $x(t-\tau)$ ազդանշանների ընդհանուր մակերեսը:

• $x_1(t)$ և $x_2(t)$ տարբեր ազդանշանների փոխադարձ կոռելյացիոն ֆունկցիա.

$$R_{12}(\tau) = \int_{-\infty}^{\infty} x_1(t)x_2(t-\tau)dt; \quad (4.11)$$

$$R_{21}(\tau) = \int_{-\infty}^{\infty} x_1(t-\tau)x_2(t)dt: \quad (4.11ա)$$

Եթե ազդանշաններն ունեն կոմպլեքս տեսք, ապա ինքնակոռելյացիոն և փոխադարձ կոռելյացիոն ֆունկցիաները սահմանում են հետևյալ կերպ՝

$$R(\tau) = \int_{-\infty}^{\infty} x(t)x^*(t-\tau)dt; \quad (4.12)$$

$$R_{12}(\tau) = \int_{-\infty}^{\infty} x_1(t)x_2^*(t-\tau)dt; \quad (4.12ա)$$

$$R_{21}(\tau) = \int_{-\infty}^{\infty} x_1^*(t-\tau)x_2(t)dt: \quad (4.12բ)$$

Ինքնակոռելյացիոն և փոխկոռելյացիոն ֆունկցիաներին հաճախ անվանում են նաև կոռելյացիոն ֆունկցիա:

բ) Ինքնակոռելյացիոն ֆունկցիայի հատկությունները

• $\tau = 0$ դեպքում ինքնակոռելյացիոն ֆունկցիան հավասար է ազդանշանի էներգիային՝

$$R(0) = \int_{-\infty}^{\infty} x^2(t)dt = W: \quad (4.13)$$

• Ինքնակոռելյացիոն ֆունկցիան զույգ ֆունկցիա է.

$$R(\tau) = R(-\tau): \quad (4.14)$$

- τ -ի կամայական արժեքի համար ինքնակոռելյացիոն ֆունկցիան չի գերազանցում ազդանշանի էներգիային՝

$$|R(\tau)| \leq R(0): \quad (4.15)$$

- τ -ի բացարձակ արժեքի մեծացման դեպքում վերջավոր էներգիայով ազդանշանի ինքնակոռելյացիոն ֆունկցիան մաքրում է՝

$$\lim_{\tau \rightarrow \infty} R(\tau) = 0: \quad (4.16)$$

- Ինքնակոռելյացիայի աստիճան՝

$$r(\tau) = \frac{R(\tau)}{R(0)} = \frac{\int_{-\infty}^{\infty} x(t)x(t-\tau)dt}{\int_{-\infty}^{\infty} x(t)^2 dt}: \quad (4.17)$$

զ) Կոռելյացիոն վերլուծություն

Քանի որ $x^2(t)$ -ն ազդանշանի $P(t)$ հզորությունն է, ուստի (4.12)-ից ունենք՝

$$R_x(\tau) = \frac{1}{2\pi} \int_{-\infty}^{\infty} P_x(\omega) e^{j\omega\tau} d\omega: \quad (4.18)$$

Փաստորեն $x(t)$ ազդանշանի կոռելյացիոն ֆունկցիան և հզորության սպեկտրալ խտությունը կապված են Ֆուրիեի ձևափոխությամբ՝

$$P_x(\omega) = \int_{-\infty}^{\infty} R_x(\tau) e^{-j\omega\tau} d\tau: \quad (4.19)$$

(4.18) և (4.19) առնչությունները արտահայտում են Վիներ-Խինչինի թեորեմը:

- Ինքնակոռելյացիոն ֆունկցիայի սպեկտրալ վերլուծությունը.

$$\begin{aligned} R(\tau) &= \frac{1}{2\pi} \int_{-\infty}^{\infty} S(\omega) \dot{S}^*(\omega) e^{j\omega\tau} d\omega = \\ &= \frac{1}{2\pi} \int_{-\infty}^{\infty} |S(\omega)|^2 e^{j\omega\tau} d\omega: \end{aligned} \quad (4.20)$$

- Ազդանշանի սպեկտրը արտահայտված կոռելյացիոն ֆունկցիայով.

$$|\hat{S}(\omega)|^2 = \int_{-\infty}^{\infty} R(\tau) e^{-j\omega\tau} d\tau. \quad (4.21)$$

Քանի որ $R_x(\tau)$ կոռելյացիոն ֆունկցիան զույգ է, ուստի $P(\omega)$ հզորության սպեկտրը ևս զույգ ֆունկցիա է՝ $P(\omega) = P(-\omega)$: Այս հատկությունները հնարավորություն են տալիս Ֆուրիեի ձևափոխություններում ինտեգրման սահմանները վերցնել կիսասանվերջ սահմաններում՝

$$R_x(\tau) = \frac{1}{2\pi} \int_{-\infty}^{\infty} P_x(\omega) e^{j\omega\tau} d\omega = \frac{1}{\pi} \int_0^{\infty} P_x(\omega) \cos(\omega\tau) d\omega: \quad (4.22)$$

$$P_x(\omega) = 2 \int_0^{\infty} R_x(\tau) \cos(\omega\tau) d\tau: \quad (4.23)$$

• $P(\omega)$ հզորության միակողմանի սպեկտրը՝

$$P(\omega) = \begin{cases} \frac{1}{\pi} P_x(\omega), & \omega \geq 0; \\ 0, & \omega < 0: \end{cases} \quad (4.24)$$

• Կոռելյացիոն միջակայք.

$$\tau_{կ.հ} = \frac{1}{2} \int_{-\infty}^{\infty} |R(\tau)| d\tau = \int_0^{\infty} |R(\tau)| d\tau: \quad (4.25)$$

• Ազդանշանի սպեկտրի էֆեկտիվ լայնությունը.

$$\Delta\omega_{էֆ} = \frac{1}{P_{max}} \int_0^{\infty} P(\omega) d\omega, \quad (4.26)$$

որտեղ P_{max} -ը հզորության սպեկտրի մաքսիմալ արժեքն է:

դ) Փոխադարձ կոռելյացիոն ֆունկցիայի հատկությունները.

• $R_{12}(\tau)$ և $R_{21}(\tau)$ փոխկոռելյացիոն ֆունկցիաների արժեքները չեն փոխվի, եթե $x_2(t)$ կամ $x_1(t)$ ազդանշանների հապաղման փոխարեն դիտարկենք այդ ազդանշանների առաջ ընկնելը՝

$$R_{12}(\tau) = \int_{-\infty}^{\infty} x_1(t + \tau) x_2(t) dt, \quad (4.27)$$

$$R_{21}(\tau) = \int_{-\infty}^{\infty} x_1(t) x_2(t + \tau) dt: \quad (4.27ա)$$

• Փոխկոռելյացիոն ֆունկցիայի համար տեղի ունի հետևյալը՝

$$R_{12}(\tau) = R_{21}(-\tau), \quad R_{12}(-\tau) = R_{21}(\tau): \quad (4.28)$$

Ընդհանուր դեպքում $R_{12}(\tau) \neq R_{21}(\tau)$:

- Փոխկոռելյացիոն ֆունկցիան ընդհանուր դեպքում չի հանդիսանում զույգ ֆունկցիա և պարտադիր չէ, որ այն մաքսիմում արժեք ընդունի $\tau = 0$ -ի դեպքում:

- $\tau = 0$ -ի դեպքում $R_{12}(0) = \int_{-\infty}^{\infty} x_1(t)x_2(t)dt = W_{12}$, որտեղ W_{12} -ը $x_1(t)$ և $x_2(t)$ ազդանշանների փոխադարձ էներգիան է:

- $x_1(t)$ և $x_2(t)$ ազդանշանների փոխադարձ էներգիայի սպեկտրը.

$$w_{12}(\omega) = \dot{S}_1(\omega) \cdot \dot{S}_2^*(\omega): \quad (4.29)$$

- $x_1(t)$ և $x_2(t)$ ազդանշանների փոխադարձ լրիվ էներգիան.

$$W_{12} = \int_0^{\infty} w_{12}(\omega)d\omega = \frac{1}{\pi} \int_0^{\infty} \dot{S}_1(\omega) \cdot \dot{S}_2^*(\omega)d\omega: \quad (4.30)$$

Խնդիրներ

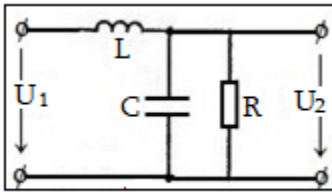
Շղթայի փոխանցման գործակից

4.1. *RL*-շղթայի մուտքին տրվում է $U_{\text{տ}} = 20\cos(1500t)$ Վ լարում: *L* ինդուկտիվության ի՞նչ արժեքի դեպքում փոխանցման գործակցի մոդուլը կլինի $K_L = \frac{U_{Lm}}{U_{\text{տm}}} = 0,6$, եթե $R = 10$ Օհմ:

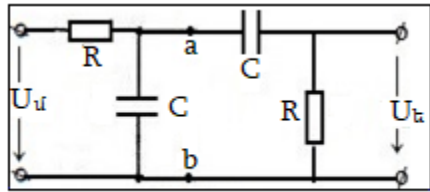
4.2. *RL*-շղթայի մուտքին տրվում է $U_{\text{տ}} = 100\cos(10^7 t)$ Վ լարում: Որոշե՛ք ինդուկտիվության վրա լարման U_{Lm} լայնույթը և փուլի շեղումը մուտքային լարման նկատմամբ, եթե $R = 100$ կՕմ, $L = 10$ մՀն:

4.3. *RC*-շղթայի մուտքին տրվում է $U_{\text{տ}} = 300\cos(4,1 \cdot 10^7 t)$ Վ լարում: Որոշե՛ք կոնդենսատորի վրա լարման U_{Cm} լայնույթը և փուլի շեղումը մուտքային լարման նկատմամբ, եթե $R = 100$ կՕմ, $C = 420$ պՖ:

4.4. Որոշե՛ք Նկ.4.3-ում պատկերված շղթայի կոմպլեքս փոխանցման գործակիցը, նրա մոդուլը և արգումենտը:



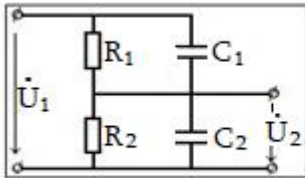
Նկ.4.3



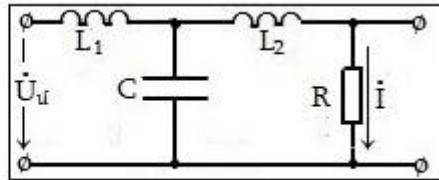
Նկ.4.4

4.5. Որոշե՛ք Նկ.4.4 շղթայի կոմպլեքս փոխանցման գործակիցը և լայնութահաճախային $A(\omega)$ ու փուլահաճախային $\varphi(\omega)$ բնութագրերը:

4.6. Որոշե՛ք C_1 ունակությունը, որի դեպքում Նկ. 4.5 շղթայի կոմպլեքս փոխանցման գործակցի մոդուլը հաստատուն է՝ $|K(\omega)| = const$: Ինչպիսի՞ն կլինի այդ դեպքում փուլահաճախային բնութագիրը: Շղթայի պարամետրերն են՝ $R_1 = 1\text{ՍՕմ}$, $C_2 = 1\text{նՖ}$, $R_2 = 1\text{կՕմ}$:



Նկ.4.5

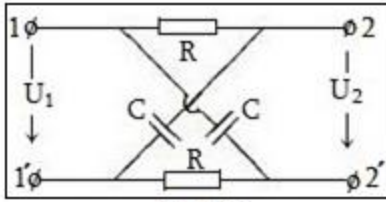


Նկ.4.6

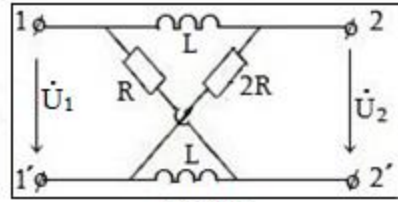
4.7. Որոշե՛ք այն հաճախությունը, որի դեպքում Նկ.4.6-ում բերված շղթայի R դիմադրությամբ անցնող հոսանքի և մուտքային լարման միջև փուլերի շեղումը՝ $\Delta\varphi = 180^\circ$, իսկ $L_1 = L_2 = L$:

4.8. Որոշե՛ք Նկ.4.7 շղթայի կոմպլեքս փոխանցման գործակիցը, լայնութահաճախային $A(\omega)$ ու փուլահաճախային $\varphi(\omega)$ բնութագրերը:

4.9. Որոշե՛ք Նկ. 4.8 շղթայի կոմպլեքս փոխանցման գործակիցը և փուլահաճախային $\varphi(\omega)$ բնութագիրը:



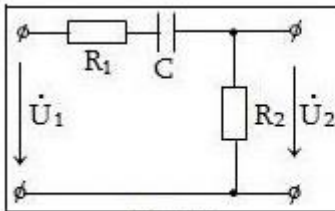
Նկ.4.7



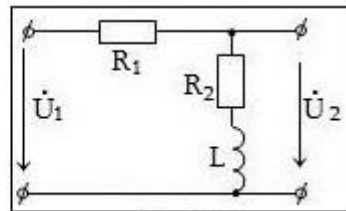
Նկ.4.8

4.10. Որոշե՛ք Նկ. 4.9 շղթայի կոմպլեքս փոխանցման գործակիցը, նրա մոդուլը և արգումենտը: Շղթայի պարամետրերը համարե՛ք հայտնի:

4.11. Որոշե՛ք Նկ. 4.10 շղթայի կոմպլեքս փոխանցման գործակիցը, նրա մոդուլը և արգումենտը: Շղթայի պարամետրերը համարե՛ք հայտնի:

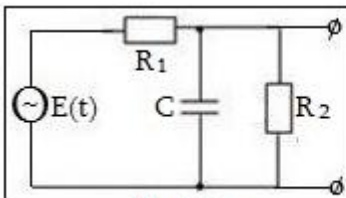


Նկ.4.9

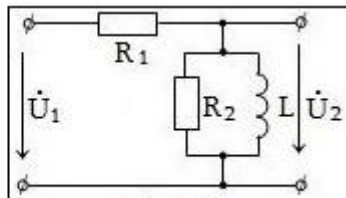


Նկ.4.10

4.12. Որոշե՛ք Նկ. 4.11 շղթայի կոմպլեքս փոխանցման գործակիցը և լայնութահաճախային ու փուլահաճախային բնութագրերը:



Նկ.4.11

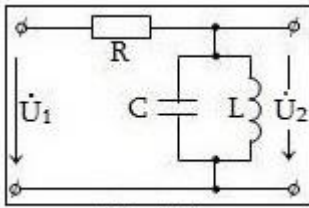


Նկ.4.12

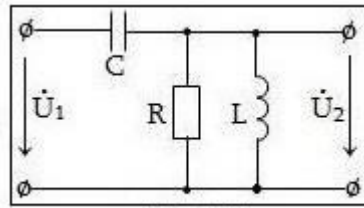
4.13. Որոշե՛ք Նկ. 4.12 շղթայի կոմպլեքս փոխանցման գործակիցը, նրա մոդուլը և արգումենտը: Շղթայի պարամետրերը համարե՛ք հայտնի:

4.14. Որոշե՛ք Նկ. 4.13 շղթայի կոմպլեքս փոխանցման գործակիցը, նրա մոդուլը և արգումենտը: Շղթայի պարամետրերը համարե՛ք հայտնի:

4.15. Որոշե՛ք Նկ. 4.14 շղթայի կոմպլեքս փոխանցման գործակիցը, նրա մոդուլը և արգումենտը: Շղթայի պարամետրերը համարե՛ք հայտնի:



Նկ.4.13



Նկ.4.14

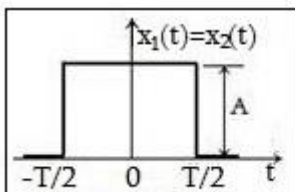
Ազդանշանի կոռելյացիոն վերլուծություն

4.16. Հաշվե՛ք $x_1(t) = A_1 e^{-\alpha_1 t}$ և $x_2(t) = A_2 e^{-\alpha_2 t}$ երկու էքսպոնենտային տեսախմպուլսների փաթույթը:

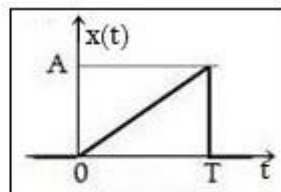
4.17. Որոշե՛ք երկու միատեսակ $x_1(t) = x_2(t)$ ուղղանկյուն իմպուլսների փաթույթը (Նկ. 4.15):

4.18. Տրված են երկու ֆունկցիա՝ $x_1(t) = e^{-\beta_1 t} \sigma(t)$ և $x_2(t) = e^{-\beta_2 t} \sigma(t)$: Հաշվե՛ք հետևյալ ինտեգրալը՝

$$I = \int_{-\infty}^{\infty} x_1(t) x_2'(t - a) dt, \quad a > 0, \quad a = 0, \quad a < 0 \text{ դեպքերում:}$$



Նկ.4.15



Նկ.4.16

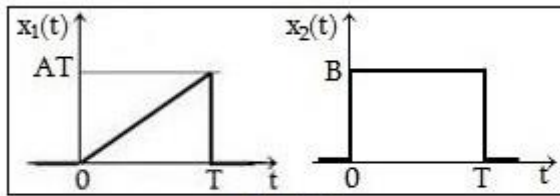
4.19. Որոշե՛ք $x(t) = Ae^{-\alpha t}\sigma(t)$ ազդանշանի ինքնակոռելյացիոն ֆունկցիան:

4.20. Որոշե՛ք Նկ. 4.16-ում պատկերված եռանկյունաձև իմպուլսի ինքնակոռելյացիոն ֆունկցիան:

4.21. Որոշե՛ք A բարձրության և T տևողության ուղղանկյուն իմպուլսի ինքնակոռելյացիոն ֆունկցիան:

4.22. Որոշե՛ք $x_1(t) = Ae^{-\alpha t}\sigma(t)$ և $x_2(t) = Be^{-\beta t}\sigma(t)$ ($\alpha \neq \beta$) իմպուլսների փոխկոռելյացիոն ֆունկցիան և փոխադարձ էներգիական սպեկտրը:

4.23. Որոշե՛ք Նկ. 4.17-ում պատկերված $x_1(t)$ և $x_2(t)$ իմպուլսների $R_{12}(\tau)$ և $R_{21}(\tau)$ փոխկոռելյացիոն ֆունկցիաները:



Նկ.4.17

4.24. Որոշե՛ք $x(t) = x(t + nT)$, որտեղ $n = -2, -1, 0, 1, 2, \dots$, պարբերական ազդանշանի կոռելյացիոն ֆունկցիան: Որպես մասնավոր դեպքեր քննարկե՛ք **ա**) $x(t) = U\cos(\omega t + \varphi)$ հարմոնիկ ազդանշանը, **բ**) U բարձրությամբ, τ_p տևողությամբ պարբերական ուղղանկյուն իմպուլսների հաջորդականությունը:

4.25. Որոշե՛ք $x_1(t)$ եռանկյուն իմպուլսի և δ -ֆունկցիայի $R_{12}(\tau)$ և $R_{21}(\tau)$ փոխկոռելյացիոն ֆունկցիաները:

4.26. Որոշե՛ք $x_1(t)$ միայնակիմպուլսի և պարբերաբար կրկնվող δ -ֆունկցիաների փոխկոռելյացիոն ֆունկցիան:

§5. Լապլասի ձևափոխությունը: Թեորեմներ Լապլասի ձևափոխությունների վերաբերյալ: Անցումային և իմպուլսային բնութագրեր:

Հիմնական հասկացություններ և բանաձևեր

5.1. Լապլասի ձևափոխությունը

- Կոմպլեքս հաճախություն.

$$p = \alpha + j\omega; \quad p^* = \alpha - j\omega, \quad (5.1)$$

որտեղ α -ն կոմպլեքս հաճախության իրական մասն է, իսկ ω -ն՝ ազդանշանի հաճախությունը:

- Իրական ազդանշանն արտահայտված կոմպլեքս հաճախությամբ.

$$x(t) = (e^{pt} + e^{p^*t}) = (e^{\alpha t} e^{j\omega t} + e^{\alpha t} e^{-j\omega t}) = e^{\alpha t} \cos \omega t: \quad (5.2)$$

Եթե $\alpha = 0$, ապա կունենանք հարմոնիկ ազդանշան, իսկ $\alpha \neq 0$, $\alpha > 0$ դեպքում կունենանք էքսպոնենտային աճող և $\alpha < 0$ դեպքում՝ էքսպոնենտային նվազող ազդանշան: Կոմպլեքս հաճախությունների միջոցով կարելի է ստանալ այնպիսի ազդանշանների սպեկտրալ պատկերը, որոնց մաթեմատիկական մոդելներն ինտեգրելի չեն:

- Լապլասի ձևափոխությունը.

Եթե $x(t)$ -ն կոմպլեքս կամ իրական ազդանշանը որոշված է $t \geq 0$ -ի համար և հավասար է զրոյի $t < 0$ դեպքում, ապա այդ ազդանշանի լապլասյան ձևափոխություն կոչվում է այն $F(p)$ ֆունկցիան, որը տրվում է հետևյալ ինտեգրալով՝

$$F(p) = \int_0^{\infty} x(t)e^{-pt} dt: \quad (5.3)$$

$\alpha < 0$ դեպքում (5.3) ինտեգրալը կլինի գուգամետ, եթե $|x(t)| \leq Ae^{-at}$, որտեղ A և a -ն դրական հաստատուններ են, իսկ $\alpha \geq a$: Եթե $\alpha = 0$, $p = j\omega$, ապա (5.3)-ը վերածվում է Ֆուրիեի ուղիղ ձևափոխության՝

$$F(\omega) = \int_{-\infty}^{\infty} x(t)e^{-j\omega t} dt = \dot{S}(\omega):$$

Ֆուրիեի հակադարձ ձևափոխությունը կլինի $x(t)$ ազդանշանը՝

$$x(t) = \frac{1}{2\pi} \int_{-\infty}^{\infty} F(\omega)e^{j\omega t} d\omega: \quad (5.4)$$

Եթե $\alpha \neq 0$, $p = \alpha + j\omega$ -ի, ապա $d\omega = \frac{dp}{j}$ և $x(t)$ ազդանշանը կլինի՝

$$x(t) = \frac{1}{2\pi j} \int_{\alpha-j\infty}^{\alpha+j\infty} F(p)e^{pt} dp: \quad (5.5)$$

$x(t)$ -ին անվանում են ազդանշանի բնօրինակ, իսկ $F(p)$ -ն կոչվում է $x(t)$ -ի լապլասյան պատկեր: $F(p)$ -ն միարժեք ֆունկցիա է՝ յուրաքանչյուր $x(t)$ -ին համապատասխանում է խիստ որոշակի $F(p)$ ֆունկցիա և ընդհակառակը, յուրաքանչյուր $F(p)$ -ին համապատասխանում է խիստ որոշակի $x(t)$: $F(p)$ -ն անալիտիկ ֆունկցիա է, և հետևաբար (5.5) ինտեգրալը հաշվելիս կարելի է օգտվել մնացքների տեսությունից:

Եթե $F(p)$ -ն, ըստ p -ի աստիճանների, երկու բազմանդամների հարաբերություն է՝ $F(p) = \frac{A(p)}{B(p)}$, և համարիչի բազմանդամի աստիճանը չի գերազանցում հայտարարինը, ապա $F(p)$ ֆունկցիայի համար հատուկ կետեր կհանդիսանան բևեռները, այսինքն՝ $B(p) = 0$ հավասարման արմատները: Եթե բոլոր p_k արմատները տարբեր են ($k = 1, 2, \dots, n$), ապա լապլասյան պատկերից ազդանշանին անցնում են հետևյալ բանաձևի օգնությամբ՝

$$x(t) = \sum_{k=1}^n \frac{A(p_k)}{B'(p_k)} e^{p_k t}, \quad (5.6)$$

որտեղ $B'(p) = \frac{dB}{dp}$:

Գործնականում $x(t)$ -ից $F(p)$ -ին կամ $F(p)$ -ից $x(t)$ -ին անցումը կատարելուց օգտվում են Լապլասի ձևափոխության պատրաստի աղյուսակներից (տե՛ս Հավելվածը): Նման աղյուսակների առկայությունն ազդանշանների ուսումնասիրման լապլասյան եղանակը դարձնում է բավականին կիրառելի:

Եթե $x(t)$ ազդանշանը $t < 0$ դեպքում հավասար է զրոյի և նրա համար գոյություն ունի $\dot{S}(\omega) = \int_{-\infty}^{\infty} x(t)e^{-j\omega t} dt$ Ֆուրիեի ձևափոխություն, ապա այդ ձևափոխությունը կարելի է ստանալ Լապլասյան ձևափոխությունների աղյուսակից, նրանցում p -ն փոխարինելով $j\omega$ -ով:

Այսպիսով, օգտագործելով Ֆուրիեի և Լապլասի ձևափոխությունների կապը և օգտվելով աղյուսակներից, կարող ենք որոշել $\dot{S}(\omega)$ -ն, եթե հայտնի է $x(t)$ ազդանշանը կամ գտնել $x(t)$ ազդանշանը, եթե հայտնի է $\dot{S}(\omega)$ -ն:

Գծային շղթայում $U_1(t)$ ազդանշանը և $U_2(t)$ արձագանքը կապված են իրար հետ հետևյալ գծային դիֆերենցիալ հավասարումով՝

$$a_n \frac{d^n U_2}{dt^n} + \dots + a_1 \frac{dU_2}{dt} + a_0 U_2 = b_m \frac{d^m U_1}{dt^m} + \dots + b_1 \frac{dU_1}{dt} + b_0 U_1: (5.7)$$

Եթե $U_1(t)$ և $U_2(t)$ ֆունկցիաները տրոհվում են այնպիսի հարմոնիկ բաղադրիչների, որոնց լայնույթը փոփոխվում է $e^{\alpha t}$ օրենքով՝ $U_1(t), U_2(t) \sim e^{pt}$, ապա $\frac{d^k U(t)}{dt^k} = p^k$ և (5.7)-ի փոխարեն կունենանք՝

$$\begin{aligned} (a_n p^n + a_{n-1} p^{n-1} + \dots + a_1 p + a_0) U_2(p) = \\ = (b_m p^m + b_{m-1} p^{m-1} + \dots + b_1 p + b_0) U_1(p): \end{aligned} \quad (5.8)$$

$U_1(t)$ -ի և $U_2(t)$ -ի գործակիցները համապատասխանաբար նշանակենք $H_1(p)$ -ով և $H_2(p)$ -ով, ապա կունենանք հետևյալ օպերատորական հավասարումը՝

$$H_2(p)U_2(p) = H_1(p)U_1(p): \quad (5.9)$$

• Օպերատորական $\dot{K}(p)$ փոխանցման գործակից.

$$\dot{K}(p) = \frac{U_2(p)}{U_1(p)} = \frac{H_1(p)}{H_2(p)}: \quad (5.10)$$

• Միավոր թռիչքի արձագանքը.

Եթե մուտքային ազդանշանը միավոր թռիչքն է՝

$$U_1(t) = \sigma(t) = \begin{cases} 1, & \text{երբ } t \geq 0, \\ 0, & \text{երբ } t < 0, \end{cases} \text{ , ապա դրա արձագանքին ան-}$$

վանում են անցումային ֆունկցիա և նշանակում են $h(t)$ -ով՝

$U_2(t) = h(t)$: Այս դեպքում $\dot{K}(p)$ -ն կլինի՝

$$\dot{K}(p) = \frac{U_2(p)}{U_1(p)} = \frac{H_1(p)}{H_2(p)} = \frac{h(p)}{\sigma(p)}: \quad (5.11)$$

Քանի որ $\sigma(t)$ -ի լապլասյան պատկերը հանդիսանում է $1/p$, ուստի՝

$$h(p) = \frac{\dot{K}(p)}{p}: \quad (5.12)$$

(5.12)-ը նշանակում է, որ $h(t)$ -ն պետք է որոշել որպես $\frac{\dot{K}(p)}{p}$ -ի բնօրինակ՝

$$h(t) = \frac{1}{2\pi j} \int_{\alpha-j\infty}^{\alpha+j\infty} \frac{\dot{K}(p)}{p} e^{pt} dp: \quad (5.13)$$

$h(t)$ -ն որոշելու մյուս եղանակը Հնիսայտի բանաձևն է՝

$$h(t) = \frac{H_1(0)}{H_2(0)} + \sum_{k=1}^n \frac{H_1(p_k) e^{p_k t}}{p_k H_2'(p_k)}, \quad (5.14)$$

որտեղ $H_1(0)$ -ն և $H_2(0)$ -ն $H_1(p)$ -ի և $H_2(p)$ -ի արժեքներն են $p = 0$ կետում, p_k -ն՝ $H_2(p) = 0$ հավասարման արմատներն են, իսկ

$$H_2'(p_k) = \left. \frac{dH_2}{dp} \right|_{p=p_k} :$$

5.2. Թեորեմներ Լապլասի ձևափոխությունների վերաբերյալ

Թեորեմ 1 (գումարման թեորեմ).

Եթե $x_1(t)$ ազդանշանի լապլասյան պատկերը $F_1(p)$ -ն է՝ $x_1(t) \leftrightarrow F_1(p)$ և $x_2(t) \leftrightarrow F_2(p)$, ապա $x(t) = x_1(t) + x_2(t) \leftrightarrow F_1(p) + F_2(p)$: Ընդհանուր դեպքում՝

$\sum_k a_k x_k(t) \leftrightarrow \sum_k a_k F_k(p)$, որտեղ a_k -երը հաստատուններ են:

Թեորեմ 2 (ուշացման թեորեմ).

Եթե $x(t) \leftrightarrow F(p)$, ապա $x(t - \tau) \leftrightarrow e^{-p\tau} F(p)$:

Թեորեմ 3 (շեղման թեորեմ).

Եթե $x(t) \leftrightarrow F(p)$, ապա $e^{\pm at} x(t) \leftrightarrow F(p \mp a)$:

Թեորեմ 4 (մասշտաբի փոփոխման թեորեմ).

Եթե $x(t) \leftrightarrow F(p)$, ապա $x(at) \leftrightarrow \frac{1}{a} F(p/a)$, ($a > 0$):

Թեորեմ 5 (ածանցյալի թեորեմ).

Եթե $x(t) \leftrightarrow F(p)$, ապա $\frac{dx(t)}{dt} = x' \leftrightarrow pF(p) - x(0+)$, որտեղ $x(0+)$ -ը x -ի արժեքն է $t = 0$ կետում, երբ մոտենում ենք աջից:

Թեորեմ 6 (ինտեգրալի թեորեմ).

Եթե $x(t) \leftrightarrow F(p)$, ապա $\int_0^t x(t) dt \leftrightarrow \frac{1}{p} F(p) + \frac{1}{p} x^{(-1)}(0+)$, որտեղ $x^{(-1)}(0+)$ -ը x -ի ինտեգրալի արժեքն է $t = 0$ կետում, երբ մոտենում ենք աջից:

Թեորեմ 7 (փաթույթի թեորեմ).

Եթե $x_1(t) \leftrightarrow F_1(p)$; $x_2(t) \leftrightarrow F_2(p)$, ապա

$$\int_{-\infty}^{\infty} x_1(\tau) x_2(t - \tau) dt \leftrightarrow F_1(p) F_2(p):$$

Թեորեմ 8 (պատկերի ինտեգրման թեորեմ).

Եթե $x(t) \leftrightarrow F(p)$, ապա $\frac{x(t)}{t} \leftrightarrow \int_p^{\infty} F(p) dp$:

Թեորեմ 9. Եթե $x(t, u) \leftrightarrow F(p, u)$, ապա $\frac{\partial x(t, u)}{\partial u} \leftrightarrow \frac{\partial F(p, u)}{\partial u}$:

Թեորեմ 10. Եթե $x(t) \leftrightarrow F(p)$, ապա

$$x(t)\cos\omega t \leftrightarrow \frac{1}{2}[F(p - j\omega) + F(p + j\omega)]:$$

Թեորեմ 11. Եթե $x(t) \leftrightarrow F(p)$, ապա

$$x(t)\sin\omega t \leftrightarrow \frac{1}{2j}[F(p - j\omega) - F(p + j\omega)]:$$

Թեորեմ 12.

Եթե ունենք մոդուլացված ազդանշան՝

$x(t) = U_m(t)\cos(\omega_0 t + \varphi_0)$ և $U_m(t) \leftrightarrow F(p)$, ապա

$$x(t) \leftrightarrow \frac{e^{j\varphi_0}}{2}F(p - j\omega_0) + \frac{e^{-j\varphi_0}}{2}F(p + j\omega_0):$$

Թեորեմ 13. $\lim_{t \rightarrow 0} x(t) = \lim_{p \rightarrow \infty} pF(p)$; $\lim_{t \rightarrow \infty} x(t) = \lim_{p \rightarrow 0} pF(p)$:

5.3. Դյուամելի ինտեգրալ

Եթե հայտնի է $x(t)$ ազդանշանը, ապա $y(t)$ արձագանքը կարելի է որոշել հետևյալ արտահայտության օգնությամբ՝

$$y(t) = x(0)h(t) + \int_0^t x'(\tau)h(t - \tau)d\tau: \quad (5.15)$$

որտեղ $h(t)$ -ն $\sigma(t)$ միավոր թռիչքի արձագանքն է, իսկ $\int_0^t x'(\tau)h(t - \tau)d\tau$ ինտեգրալը՝ Դյուամելի ինտեգրալն է:

Խնդիրներ

Լապլասի ուղիղ և հակադարձ ձևափոխություններ

5.1. Որոշե՛ք Դիրակի $\delta(t - t_0)$ և $\delta(t)$ -ֆունկցիաների լապլասյան պատկերները:

5.2. Որոշե՛ք $\sigma(t) = \begin{cases} 1, & \text{երբ } t \geq 0, \\ 0, & \text{երբ } t < 0 \end{cases}$ միացման ֆունկցիայի լապլասյան պատկերը:

5.3. Օգտվելով Լապլասի ուղիղ ձևափոխությունից՝ որոշե՛ք հետևյալ ֆունկցիաների լապլասյան պատկերները՝

1. e^{at} ; 2. e^{-at} ; 3. $1 - e^{-at}$; 4. t^a , ($a > -1$);

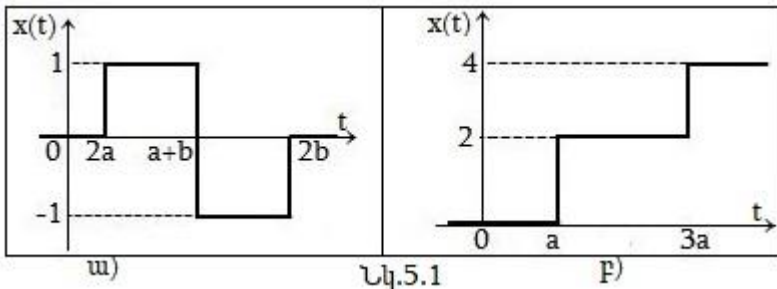
5. $x(t) = e^{p_0 t} \sigma(t)$, որտեղ $p_0 = \alpha_0 + j\omega_0$:

5.4. Օգտվելով Էյլերի բանաձևից՝ որոշե՛ք հետևյալ ֆունկցիաների լապլասյան պատկերները՝

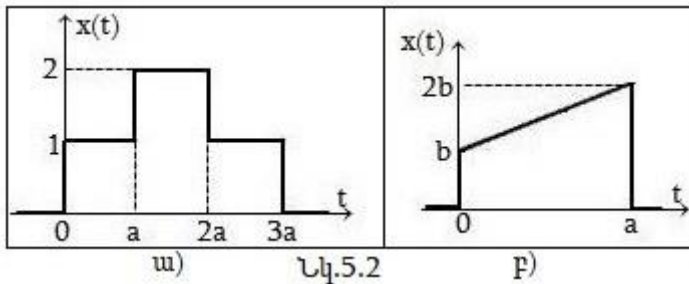
1. $\cos bt$; 2. $\cos(bt + \varphi)$; 3. $\sin bt$; 4. $\sin(bt + \varphi)$:

5.5. Որոշե՛ք հետևյալ ֆունկցիաների լապլասյան պատկերները՝ 1. $\sin^4 t$; 2. $\cos^6 t$:

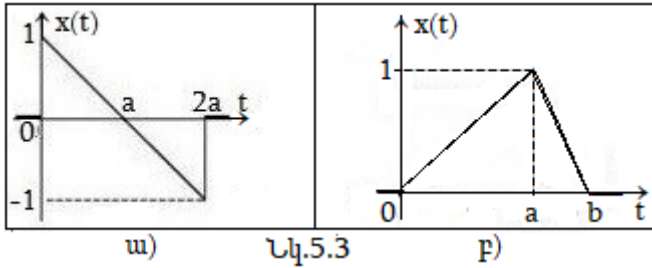
5.6. Որոշե՛ք Նկ. 5.1-ում պատկերված ֆունկցիաների լապլասյան պատկերները:



5.7. Որոշե՛ք Նկ. 5.2-ում պատկերված ֆունկցիաների լապլասյան պատկերները:



5.8. Որոշե՛ք Նկ. 5.3-ում պատկերված ֆունկցիաների լապլասյան պատկերները:



5.9. Օգտվելով շեղման թեորեմից՝ որոշե՛ք հետևյալ ֆունկցիաների լապլասյան պատկերները՝

1. $t \cdot e^{-at}$; 2. $e^{-at} \sin bt$; 3. $t \cos bt$; 4. $ch at \cdot \cos at$;
5. $\frac{1}{2} sh at \cdot \sin at$; 6. $e^{-at} \cos bt$:

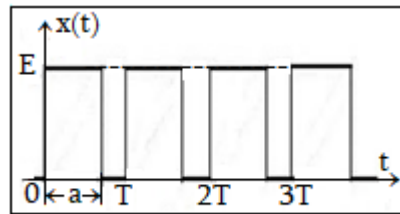
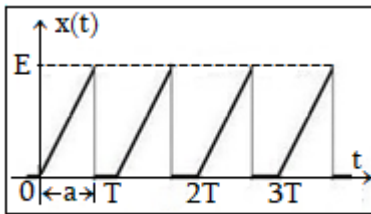
5.10. Օգտվելով ուշացման թեորեմից՝ որոշե՛ք հետևյալ ֆունկցիաների լապլասյան պատկերները՝

1. $\cos(at - b)$;
2. $e^{(t-a)} \sin(t - a)$:

5.11. Օգտվելով բնօրինակի դիֆերենցման թեորեմից՝ որոշե՛ք հետևյալ ֆունկցիաների լապլասյան պատկերները՝

1. $\sin \omega t$; 2. $ch bt$; 3. a^t ; 4. e^{-at} :

5.12. Որոշե՛ք Նկ. 5.4-ում բերված սղոցաձև անվերջ հաջորդականության լապլասյան պատկերը:



5.13. Որոշե՛ք Նկ. 5.5-ում բերված ուղղանկյուն իմպուլսների անվերջ հաջորդականության լապլասյան պատկերը:

5.14. Օգտվելով պատկերի ինտեգրման թեորեմից, որոշե՛ք հետևյալ ֆունկցիաների լապլասյան պատկերները՝

1. $\frac{e^{-at}\sin bt}{t}$; 2. $\frac{\sin t}{t}$; 3. $\frac{1-e^{-at}}{te^{-bt}}$; 4. $\frac{\cos bt - \cos at}{t}$:

5.15. Որոշե՛ք հետևյալ ֆունկցիաների լապլասյան պատկերները՝ 1. ինտեգրալային սինուսի՝ $si(t) = \int_0^t \frac{\sin t}{t} dt$;

2. Ինտեգրալային կոսինուսի՝ $ci(t) = \int_0^t \frac{\cos t}{t} dt$:

5.16. Օգտվելով Լապլասի հակադարձ ձևափոխությունից՝ որոշե՛ք հետևյալ պատկերների բնօրինակները՝ 1. $\frac{e^p}{e^p+1}$;

2. $\frac{1}{(e^p-3)(e^p-4)}$; 3. $\frac{p}{(p+a)^2}$; 4. $\frac{p}{(p+a)(p+b)}$; 5. $\frac{1}{(p+a)(p+b)}$:

5.17. Օգտվելով ֆունկցիաների փաթույթի թեորեմից՝ որոշե՛ք $\frac{p}{(p^2+1)^2}$ լապլասյան պատկերին համապատասխանող բնօրինակը:

5.18. Օգտվելով ֆունկցիաների փաթույթի թեորեմից՝ որոշե՛ք $\frac{1}{(p+a)(p+b)}$ լապլասյան պատկերին համապատասխանող բնօրինակը:

5.19. Օգտվելով բնօրինակի ինտեգրման թեորեմից՝ գտե՛ք $\frac{1}{p^n}$ ունեցող լապլասյան պատկերին համապատասխանող բնօրինակը, եթե $\sigma(t)$ -ի լապլասյան պատկերը $1/p$ -ն է:

5.20. Որոշե՛ք. ա) $\frac{1}{p+a}$; բ) $\frac{1}{p(p+a)}$; գ) $\frac{p+b}{p(p+a)}$ պատկերներին համապատասխանող բնօրինակների արժեքները $t = 0$ և $t = \infty$ դեպքերում:

Օպերատորական փոխանցման գործակից:

Անցումային և իմպուլսային բնութագրեր

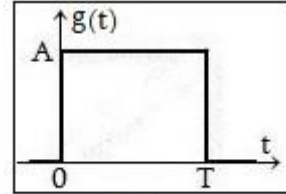
5.21. Որոշե՛ք շղթայի օպերատորական փոխանցման գործակիցը, եթե կոմպլեքս փոխանցման գործակիցը հավասար է՝

$$\mathbf{ա)} \dot{K}(\omega) = \frac{\alpha}{\alpha + j\omega}; \quad \mathbf{բ)} \dot{K}(\omega) = \frac{j\omega RC}{1 + j\omega RC - \omega^2 LC}:$$

5.22. Որոշե՛ք իդեալական շղթայի օպերատորական փոխանցման գործակիցը, եթե շղթայի ելքում $U_2(t)$ լարումը կրկնում է մուտքի $U_1(t)$ լարումը՝ $U_2(t) = U_1(t - t_0)$, որտեղ t_0 -ն հաստատուն դրական մեծություն է:

5.23. Որոշե՛ք. **ա)** իդեալական դիֆերենցող շղթայի՝ $U_2(t) = \alpha_1 \frac{dU_1(t)}{dt}$, և **բ)** իդեալական ինտեգրող շղթայի՝ $U_2(t) = \alpha_2 \int_0^t U_1(t) dt$, օպերատորական փոխանցման գործակիցները, որտեղ α_1 -ը և α_2 -ը համեմատականության գործակիցներ են:

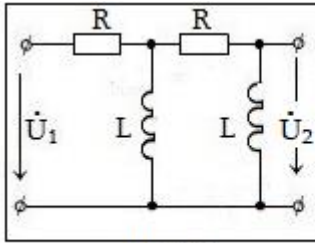
5.24. Գծային համակարգի իմպուլսային բնութագիրը՝ $g(t)$ -ն ուղղանկյուն իմպուլս է (Նկ. 5.6): Որոշե՛ք տվյալ համակարգի կոմպլեքս փոխանցման և օպերատորական փոխանցման գործակիցները:



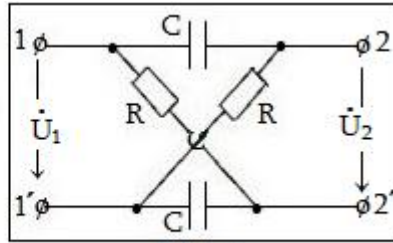
Նկ.5.6

5.25. Որոշե՛ք Նկ. 5.7-ում պատկերված սխեմայի օպերատորական փոխանցման գործակիցը, անցումային և իմպուլսային բնութագրերը:

5.26. Որոշե՛ք Նկ. 5.8-ում պատկերված կամրջակային տեսքի RC-քառաբևեռի օպերատորական փոխանցման գործակիցը, անցումային և իմպուլսային բնութագրերը:

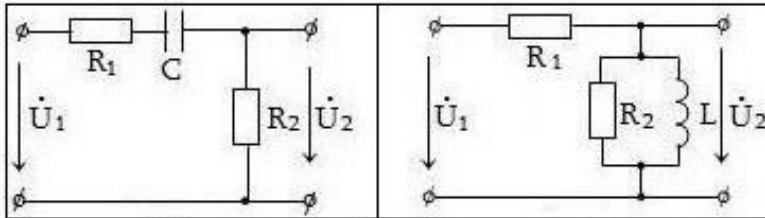


Նկ.5.7



Նկ.5.8

5.27. Որոշե՛ք Նկ. 5.9-ում տրված սխեմաների անցումային ֆունկցիաները:

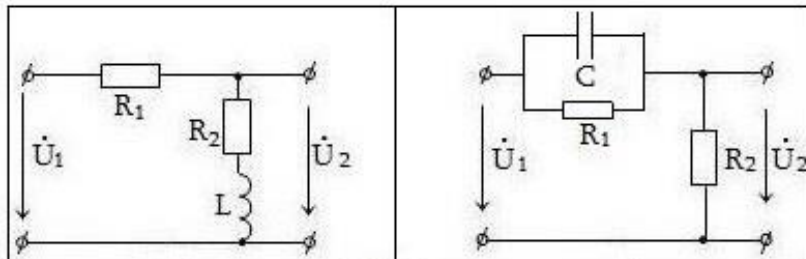


ա)

Նկ.5.9

բ)

5.28. Որոշե՛ք Նկ. 5.10-ում տրված սխեմաների անցումային ֆունկցիաները:

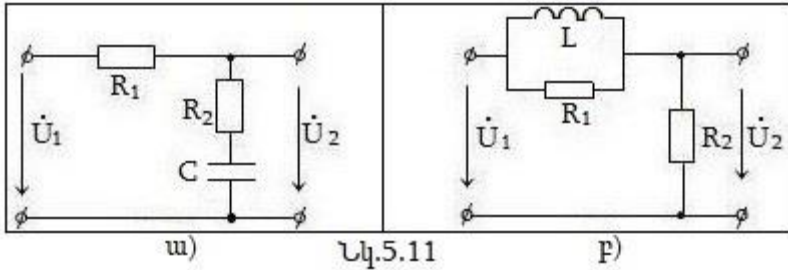


ա)

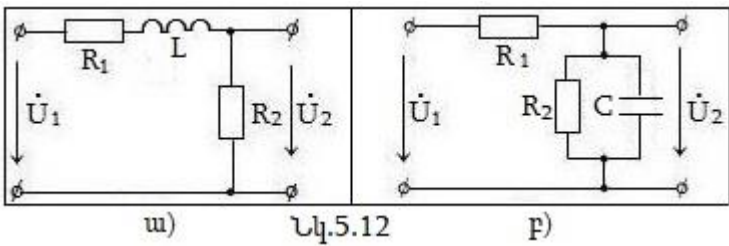
Նկ.5.10

բ)

5.29. Որոշե՛ք Նկ. 5.11-ում տրված սխեմաների անցումային ֆունկցիաները:



5.30. Որոշե՛ք Նկ. 12-ում տրված սխեմաների անցումային ֆունկցիաները:



Շղթաների ուսումնասիրման օպերատորական եղանակը

5.31. RL-շղթային $t = 0$ պահին միացվում է $U = at$ լարում: Որոշե՛ք ինդուկտիվության վրա լարման փոփոխման օրենքը:

5.32. Հաջորդական RL-շղթայի մուտքում գործող լարումը փոփոխվում է հետևյալ օրենքով՝

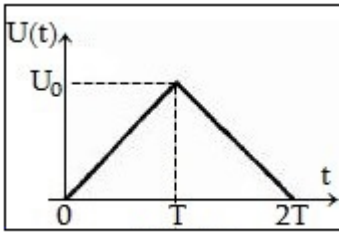
$$U(t) = \begin{cases} 0, & t < 0, \\ U_m \cos \omega t, & t \geq 0: \end{cases}$$

Որոշե՛ք մուտքային հոսանքի փոփոխման օրենքը:

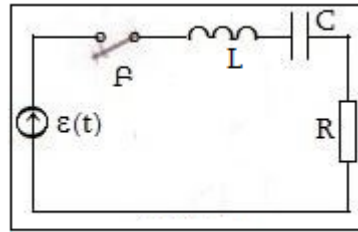
5.33. Հաջորդական RL-շղթայի մուտքում $t = 0$ պահին միացվում է $\varepsilon(t) = Ee^{-at}$ էլՇՈւ-ի աղբյուր: Որոշե՛ք հոսանքի փոփոխման օրենքը շղթայում, լարման անկումները R դիմադրության և L ինդուկտիվության վրա:

5.34. Հաջորդական RL-շղթայի մուտքում $t = 0$ պահին միացվում է լարման U_0 բարձրության և T տևողության միայնակ ուղղանկյուն իմպուլս: Որոշե՛ք շղթայի մուտքային $I(t)$ և ինդուկտիվության վրա $U_L(t)$ լարումը:

5.35. Հաջորդական RC-շղթայի մուտքում գործում է լարման եռանկյունաձև իմպուլս (Նկ. 5.13): Որոշե՛ք ունակության վրա լարման փոփոխման օրենքը:



Նկ.5.13



Նկ.5.14

5.36. Որոշե՛ք R դիմադրության վրա լարման փոփոխման օրենքը (Նկ. 5.14), եթե $t = 0$ պահին շղթային միացվում է $\varepsilon(t) = U = const$ էլՇՈւ:

5.37. Հաջորդական LCR-կոնտուրի մուտքում $t = 0$ պահին միացվում է $\varepsilon(t) = U = const$ էլՇՈւ (Նկ.5.14): Որոշե՛ք շղթայով հոսող հոսանքի փոփոխման օրենքը և ակտիվ դիմադրության վրա անջատվող լրիվ էներգիան, եթե $U = 1$ Վ, $L = 1$ մՀն, $C = 1$ նՖ, $R = 10$ Օհմ:

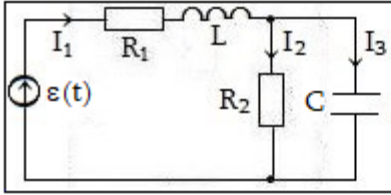
5.38. Տրված է շղթայի դիֆերենցիալ հավասարումը՝

$$L \frac{dI}{dt} + RI + \frac{1}{C} \int I dt = U e^{-\beta t}:$$

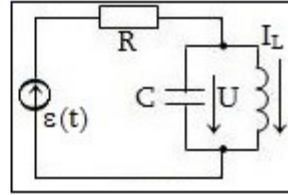
Կազմե՛ք շղթայի օպերատորական հավասարումը հաշվի առնելով, որ $t = 0$ պահին կոնդենսատորի վրա լարումը հավասար է $+U_0$, իսկ կոճով անցնող հոսանքը զրո է:

5.39. Ոչ գրոյական սկզբնական պայմանների դեպքում ($t = 0$, $i_1 = I_1(0)$ և $u_C = U_C(0)$): Նկ. 5.15-ում պատկերված շղթայի

համար գծե՛ք օպերատորական տեղակալման համարժեք սխեման: Կիրխոֆի օրենքների հիման վրա կազմե՛ք շղթայի էլեկտրական հավասարակշռության օպերատորական հավասարումների համակարգը և ստացե՛ք օպերատորական հավասարում I_3 հոսանքի համար:



Նկ.5.15

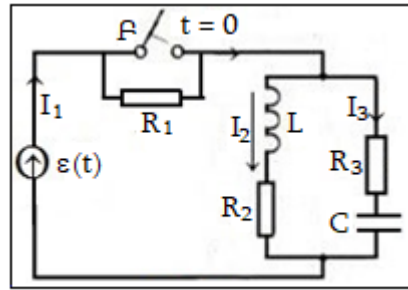


Նկ.5.16

5.40. Նկ. 5.16-ում պատկերված շղթայի համար գծե՛ք օպերատորական տեղակալման համարժեք սխեման և I_L հոսանքի համար կազմե՛ք օպերատորական հավասարում, եթե $t = 0$ պահին $I_L = I_0$, իսկ կոնդենսատորի վրա լարումը հավասար է զրոյի:

5.41. 1.20. ինդիքը լուծե՛ք՝ օգտվելով օպերատորական եղանակից:

5.42. Որոշե՛ք Նկ. 5.17-ում պատկերված շղթայի ճյուղերի հոսանքները F բանալին միացնելուց հետո, եթե $\varepsilon(t) = U = const$:



Նկ.5.17

Դյուամելի ինտեգրալ

5.43. $t = 0$ պահին հաջորդական RC-շղթան (տե՛ս Նկ. 1.18) միացվում է իմպուլսային եռանկյունաձև էլՇՈւ-ին (Նկ. 5.13): Որոշե՛ք շղթայի հոսանքը $t > 2T$ դեպքում, եթե $U_0 = 1$ Վ:

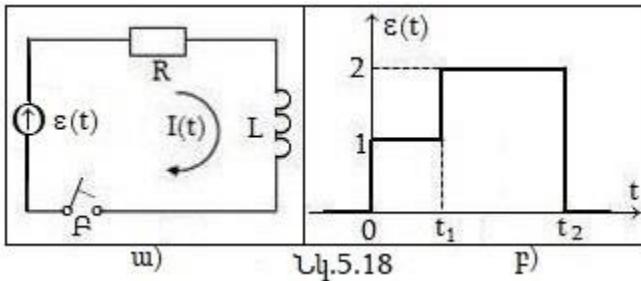
5.44. Հաջորդական RC-շղթային (տե՛ս Նկ. 1.18) կիրառված էլՇՈւ-ն փոխվում է հետևյալ օրենքով՝

$$\varepsilon(t) = \begin{cases} 0, & t < 0, \\ 100(1 - e^{-1000t})\text{Վ}, & t \geq 0: \end{cases} \text{ Որոշե՛ք շղթայի հոսանքը,}$$

եթե $R = 1\text{կՕմ}$, $C = 2\text{մկՖ}$:

5.45. RL-շղթայի մուտքին (Նկ. 5.18 ա) $t_0 = 0$ պահին տրվում է աստիճանաձև փոփոխվող լարում (Նկ. 5.18բ): Որոշե՛ք շղթայի հոսանքը **1.** $t_1 < t < t_2$ և **2.** $t > t_2$ դեպքերում:

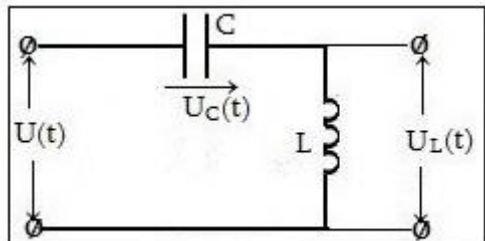
5.46. RL-շղթայի մուտքին (Նկ. 5.18ա) $t_0 = 0$ պահին տրվում է էքսպոնենտային նվազող՝ $\varepsilon(t) = Ue^{-at}$ էլՇՈւ-ի աղբյուր: Որոշե՛ք R դիմադրության վրա լարման փոփոխման օրենքը:



Նկ.5.18

5.47. Հաջորդական RL-շղթայի մուտքին (Նկ.5.18ա) $t_0 = 0$ պահին միացվում է $\varepsilon(t) = 10e^{-1000t}$ Վ օրենքով փոփոխվող լարում: Որոշե՛ք շղթայով անցնող $I(t)$ հոսանքը, եթե $R = 10\text{Օմ}$, $L = 1\text{մՀն}$:

5.48. LC-շղթայի մուտքին տրվում է $U(t) = kt$ գծորեն աճող լարում (Նկ. 5.19): Որոշե՛ք $U_L(t)$ և $U_C(t)$ լարումների փոփոխման օրենքները:



Նկ.5.19

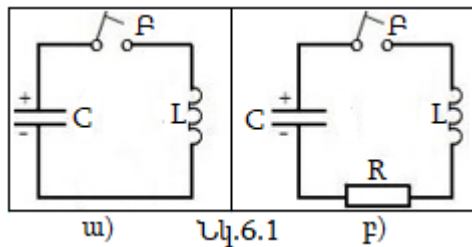
§6. Էլեկտրամագնիսական տատանումներ:

Տատանողական կոնտուրներ: Ազատ և ստիպողական տատանումները կոնտուրներում: Ռեզոնանսային երևույթները տատանողական կոնտուրներում: Տատանողական կոնտուրների բնութագրերը: Կապված կոնտուրներ

Հիմնական հասկացություններ և բանաձևեր

Էլեկտրական շղթայում լիցքի, լարման, հոսանքի ուժի, էլեկտրական, մագնիսական և այլ մեծությունների տատանումներին անվանում են էլեկտրամագնիսական տատանումներ: Այդ էլեկտրական շղթաներին անվանում են տատանողական կոնտուրներ:

6.1. Ազատ տատանումներն իդեալական տատանողական կոնտուրում (Նկ. 6.1ա).



q_0 լիցքով օժտված C ունակության կոնդենսատորը F բանալիով $t = 0$ պահին միացվում է L ինդուկտիվությամբ կոճին:

- Տատանումների պարբերությունը և հաճախությունը.

$$T = \frac{2\pi}{\omega_0} = 2\pi\sqrt{LC}, \quad \omega_0 = \frac{1}{\sqrt{LC}} = 2\pi f_0: \quad (6.1)$$

- Կոնդենսատորի շրջադրի լիցքի կախվածությունը ժամանակից.

$$q = q_0 \cos \omega_0 t: \quad (6.2)$$

- Հոսանքի կախվածությունը ժամանակից.

$$I = -\frac{dq}{dt} = q_0 \omega_0 \sin \omega_0 t = I_0 \sin \omega_0 t, \quad (6.3)$$

որտեղ $I_0 = q_0 \omega_0$ -ն հոսանքի լայնություն է:

- Կոնտուրի էներգիան.

$$W = \frac{q^2}{2C} + \frac{LI^2}{2} = \frac{q_0^2}{2C} = \frac{LI_0^2}{2} = \text{const}: \quad (6.4)$$

- Կոնտուրի բնութագրական կամ ալիքային դիմադրություն.

$$\rho = \sqrt{L/C}: \quad (6.5)$$

6.2. Ազատ տատանումներ և կորուստներով օժտված հաջորդական կոնտուրում (Նկ. 6.1բ).

$t = 0$ պահին F բանալին փակվում է, և q_0 լիցքով օժտված կոնդենսատորը սկսում է լիցքաթափվել:

- Կոնդենսատորի լիցքի կախվածությունը ժամանակից.

$$q = q_0 e^{-\alpha t} \cos \omega t, \quad (6.6)$$

որտեղ $\alpha = \frac{R}{2L}$, $\omega = \sqrt{\omega_0^2 - \alpha^2}$: $\omega_0 = \frac{1}{\sqrt{LC}} = 2\pi f_0$ -ն կոչվում է կոնտուրի ռեզոնանսային հաճախություն, իսկ ω -ն՝ կոնտուրի սեփական հաճախություն:

- Տատանումների լայնությունը.

$$q_m = q_0 e^{-\alpha t}: \quad (6.7)$$

- Լարումը կոնդենսատորի վրա.

$$U_C = \frac{q_{m0}}{C} e^{-\alpha t} \cos \omega t = U_{m0} e^{-\alpha t} \cos \omega t: \quad (6.8)$$

• **Կոնտուրի հոսանքի ուժը.**

$$I = I_0 e^{-\alpha t} \cos(\omega t + \varphi), \quad (6.9)$$

որտեղ $I_0 = \omega_0 q_{m0}$, $\operatorname{tg} \varphi = -\frac{\omega}{\alpha}$, $\cos \varphi = -\frac{\alpha}{\omega_0}$, $\sin \varphi = \frac{\omega}{\omega_0}$:

Քանի որ $\cos \varphi < 0$, իսկ $\sin \varphi > 0$, ուստի $\pi/2 < \varphi < \pi$:

Այսպիսով, տատանողական կոնտուրում ակտիվ դիմադրության առկայությունը հանգեցրել է նրան, որ հոսանքի փուլը կոնդենսատորի լարման փուլից առաջ է ընկած $\pi/2$ -ից մեծ փուլով ($R = 0$ դեպքում հոսանքը լարումից առաջ է ընկնում $\pi/2$ -ով): (6.6) ֆունկցիայի գրաֆիկը բերված է Նկ. 6.2ա-ում:

• **Ռելաքսացիայի ժամանակը.**

$$\tau = 1/\alpha: \quad (6.10)$$

Սա այն ժամանակն է, որի ընթացքում տատանումների լայնույթը փոքրանում է e անգամ:

• **Մարման լոգարիթմական դեկրեմենտը.**

$$\delta = \ln \frac{q_m(t)}{q_m(t+T)} = \alpha T = \frac{1}{N_e}, \quad (6.11)$$

որտեղ $T = \frac{2\pi}{\omega}$ -ն մարտդ տատանումների պարբերությունն է, N_e -ը՝ տատանումների այն թիվը, որի ընթացքում լայնույթը փոքրանում է e անգամ:

• **Կոնտուրի մարումը.** $d = \delta/\pi$: (6.12)

• **Մարումը (ուժեղացումը) դեցիբելով.**

$$d_{\text{դԲ}} = 20 \lg \frac{U_{\min}}{U_{\max}} \left(d_{\text{դԲ}} = 20 \lg \frac{U_{\max}}{U_{\min}} \right): \quad (6.12\text{ա})$$

• **Կոնտուրի բարորակությունը.**

$$Q = \frac{\pi}{\delta} = \frac{1}{d} = \frac{\rho}{R} = \pi N_e: \quad (6.13)$$

• **Էներգիայի հարաբերական կորուստը մեկ պարբերության ընթացքում.**

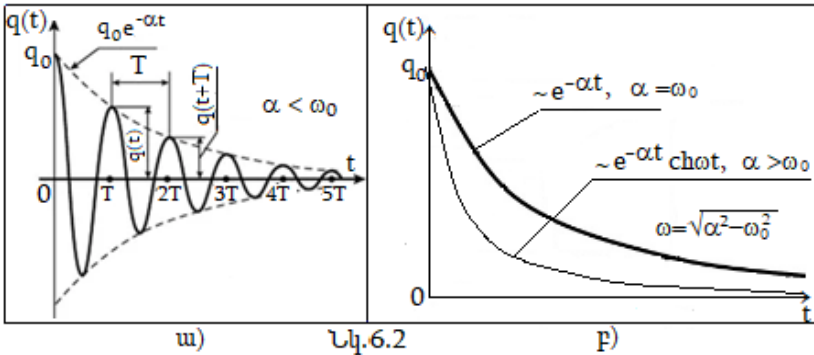
Քանի որ կուտակած էլեկտրական էներգիան նվազում է $e^{-2\beta t}$ օրենքով, ուստի՝

$$\frac{\Delta W_T}{W} = \frac{W(t) - W(t+T)}{W(t)} = \frac{1 - e^{-2\alpha T}}{1} = 1 - e^{-2\delta}.$$

Թույլ կորուստների դեպքում $e^{-2\delta} \approx 1 - 2\delta$, և կստանանք $\frac{\Delta W_T}{W} \approx 2\delta$: Այստեղից δ -ն տեղադրելով (6.13)-ի մեջ՝ կունենանք՝

$$Q = 2\pi \frac{W}{\Delta W_T}: \quad (6.14)$$

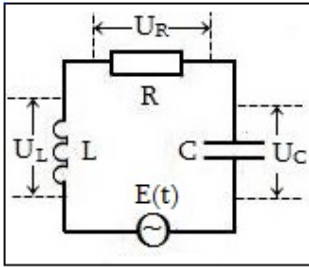
Այսինքն՝ կոնտուրի բարորակությունը համեմատական է t պահին նրա կուտակած էներգիայի և մեկ պարբերության ընթացքում կորցրած էներգիայի հարաբերությանը:



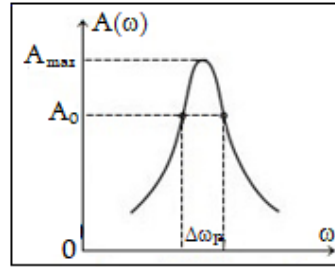
Սովորաբար ռադիոտեխնիկայում կոնտուրների բարորակությունը 100-200 կարգի մեծություն է, հետևաբար կոնտուրի d մարումները կլինեն 10^{-2} կարգի մեծություն:

(6.6-6.9) բանաձևերը ճիշտ են, երբ $\alpha < \omega_0$ կամ $R < R_{\text{կր}}$, որտեղ $R_{\text{կր}} = 2\rho = 2\sqrt{L/C}$ -ն կոնտուրի կրիտիկական դիմադրությունն է: Այս դեպքում տեղի ունի մարող տատանումներ (Նկ. 6.2ա): Երբ $\alpha \geq \omega_0$ կամ $R \geq R_{\text{կր}}$, ապա տեղի է ունենում կոնդենսատորի մոնոտոն լիցքաթափում (Նկ.6.2բ):

6.3. Հարկադրական տատանումները կորուստներով օժտված հաջորդական կոնտուրում (Նկ. 6.3)



Նկ.6.3



Նկ.6.4

- Դիֆերենցիալ հավասարումը $U = U_C$ լարման համար.

$$\frac{d^2U}{dt^2} + 2\alpha \frac{dU}{dt} + \omega_0^2 U = \omega_0^2 E, \quad (6.13)$$

Եթե կոնտուրի մուտքում գործում է ներդաշնակ լարում՝ $\dot{E}(t) = \dot{E}_m e^{j\omega t}$, ապա ելքի լարումը ևս կլինի ներդաշնակ՝ $\dot{U}(t) = \dot{U}_m e^{j\omega t}$:

- Հաջորդական տատանողական կոնտուրի կոմպլեքս փոխանցման գործակիցը.

$$\dot{K}(\omega) = \frac{\dot{U}_m}{\dot{E}_m} = \frac{1}{1 - \frac{\omega^2}{\omega_0^2} + j2\alpha \frac{\omega}{\omega_0^2}}: \quad (6.15)$$

- Հաջորդական տատանողական կոնտուրի լայնութահաճախային բնութագիրը.

$$A(\omega) = |\dot{K}(\omega)| = \frac{1}{\sqrt{\left(1 - \frac{\omega^2}{\omega_0^2}\right)^2 + 4\alpha^2 \left(\frac{\omega}{\omega_0^2}\right)^2}} = \frac{1}{\sqrt{\varepsilon^2 + d^2 \frac{\omega^2}{\omega_0^2}}}, \quad (6.16)$$

որտեղ d -ն կոնտուրի մարումն է, իսկ $\varepsilon = 1 - \frac{\omega^2}{\omega_0^2}$:

6.4. Ռեզոնանսային երևույթները հաջորդական կոնտուրում: Հաջորդական կոնտուրի թողարկման շերտի լայնությունը

Երբ տատանողական կոնտուրի $A(\omega)$ մեծությունն ընդունում է առավելագույն արժեք, ապա կոնտուրում տեղի է ունեցել ռեզոնանսի երևույթ: Այն հաճախությունը, որի դեպքում $A(\omega)$ մեծությունն ընդունում է առավելագույն արժեք կոչվում է ռեզոնանսային հաճախություն և որոշվում է $\frac{dA(\omega)}{d\omega} = 0$ հավասարումից:

• **Հաջորդական տատանողական կոնտուրի ռեզոնանսային հաճախությունը.**

$$\omega_{\text{ռեզ}} = \omega_0 \sqrt{1 - d^2/2}: \quad (6.17)$$

Քանի որ d^2 -ն 10^{-4} կարգի մեծություն է, ուստի կարելի է վերցնել $\omega_{\text{ռեզ}} = \omega_0$ և $A(\omega) = A(\omega)_{\text{սwp}} = \frac{1}{d} = Q$: Այսինքն՝ Q բարորակությունը թվապես հավասար է կոնտուրի փոխանցման գործակցի առավելագույն արժեքին և ցույց է տալիս, թե լարման անկումը ռեակտիվ տարրի վրա (U_C կամ U_L) ռեզոնանսի դեպքում քանի անգամ է մեծ մուտքային E_m լայնությամբ արժեքից:

• **$A(\omega)$ լայնությամբ հաճախային բնութագիրը ռեզոնանսին մոտ ($\omega/\omega_0 \approx 1$) հաճախությունների համար.**

$$A(\omega) = |\dot{K}(\omega)| = \frac{1}{\sqrt{\varepsilon^2 + d^2}}, \quad (6.18)$$

Այստեղ $\varepsilon = 1 - \omega^2/\omega_0^2 \approx 2\Delta\omega/\omega_0$, որտեղ $\Delta\omega = |\omega_0 - \omega|$ -ն կոչվում է բացարձակ ապալարկ, իսկ $\Delta\omega/\omega_0$ մեծությունը՝ հարաբերական ապալարկ:

$A(\omega)$ -ի գրաֆիկն ունի Նկ.6.4-ում բերված մոտավոր տեսքը: Հաճախությունների այն $\Delta\omega_p$ միջակայքը, որի ներսում փոխանցման գործակցի մոդուլն իր $A(\omega)$ մասն առավելագույն արժեքի նկատմամբ փոխվում է ոչ ավելի, քան $1/\sqrt{2}$ անգամ՝ $A_0 = \frac{1}{\sqrt{2}} A_{max}$, կոչվում է կոնտուրի թողարկման շերտ:

- Կոնտուրի թողարկման շերտի կապը բարորակության հետ.

$$Q = \frac{\omega_0}{\Delta\omega_p}; \quad (6.19)$$

- Հաջորդական կոնտուրում հոսանքի լայնույթի կախվածությունը հաճախությունից.

$$I_m(\omega) = \frac{\varepsilon_m}{\sqrt{R^2 + \left(\omega L - \frac{1}{\omega C}\right)^2}}; \quad (6.20)$$

- Հաջորդական կոնտուրում ակտիվ դիմադրության լարման լայնույթի կախվածությունը հաճախությունից.

$$U_R(\omega) = \frac{R\varepsilon_m}{\sqrt{R^2 + \left(\omega L - \frac{1}{\omega C}\right)^2}}; \quad (6.21)$$

- Հաջորդական կոնտուրում ինդուկտիվության լարման լայնույթի կախվածությունը հաճախությունից.

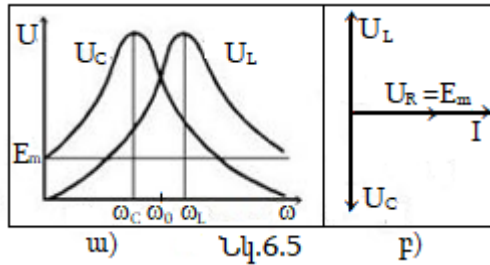
$$U_L(\omega) = \frac{\omega L \varepsilon_m}{\sqrt{R^2 + \left(\omega L - \frac{1}{\omega C}\right)^2}}; \quad (6.22)$$

- Հաջորդական կոնտուրում ունակության լարման լայնույթի կախվածությունը հաճախությունից.

$$U_C(\omega) = \frac{E_m}{\omega C \cdot \sqrt{R^2 + \left(\omega L - \frac{1}{\omega C}\right)^2}}; \quad (6.23)$$

(6.20)-ից և (6.21)-ից հետևում է, որ հոսանքի և ակտիվ դիմադրության վրա լարման ռեզոնանս տեղի ունի $\omega = \omega_0 = \frac{1}{\sqrt{LC}}$ հաճախության վրա:

(6.22)-ից և (6.23)-ից հետևում է, որ կոճի վրա լարման ռեզոնանս տեղի ունի $\omega = \omega_L = \frac{\omega_0}{\sqrt{1-2\alpha^2/\omega_0^2}} \approx \omega_0 \left(1 + \frac{\alpha^2}{\omega_0^2}\right)$, իսկ կոնդենսատորի վրա՝ $\omega = \omega_C \approx \omega_0 \left(1 - \frac{\alpha^2}{\omega_0^2}\right)$ հաճախության վրա: Բերված ռեզոնանսային երևույթներն արտացոլված են Նկ. 6.5ա-ում:

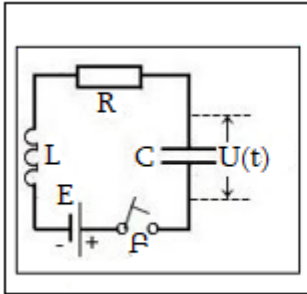


Ռեզոնանսի դեպքում լարման լայնությունների արժեքները կոճի և կոնդենսատորի վրա մոդուլով իրար հավասար են, իսկ փուլով՝ հակադիր: Դրանց գումարը տալիս է զրո (Նկ.6.5ա) և տվյալ պահին ռեզոնանսային լարումը մնում է ակտիվ դիմադրության վրա և $U_R(\omega) = E_m$: Ելնելով այս հանգամանքներից՝ հաջորդական կոնտուրում տեղի ունեցող ռեզոնանսներին անվանում են լարման ռեզոնանս:

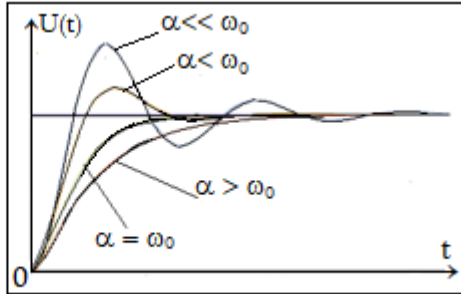
6.5. Հաջորդական տատանողական կոնտուրի ժամանակային բնութագրերը

Հաջորդական կոնտուրի ժամանակային բնութագրերը բնորոշվում են նրա անցումային $h(t)$ բնութագրով, որը կոնտուրի արձագանքն է՝ $\sigma(t)$ միավոր թռիչքի նկատմամբ: Նման

պայման իրականանում է Նկ.6.6 շղթայում, երբ ժամանակի $t = 0$ պահին միացվում է $E=1$ Վ աղբյուրը: $U = U_C$ ելքային լարման կախումը ժամանակից $h(t)$ անցումային ֆունկցիան է:



Նկ.6.6



Նկ.6.7

- Նկ. 6.6. շղթայի կոմպլեքս փոխանցման գործակիցը և դրա լապլասյան պատկերը.

$$K(\omega) = \frac{i/j\omega C}{R + j\omega L + 1/j\omega C}, \quad K(p) = \frac{1/pC}{R + pL + 1/pC} = \frac{\omega_0^2}{p^2 + 2\alpha p + \omega_0^2}: \quad (6.24)$$

- $U(t)$ կախվածությունը.

$$U(t) = 1 - e^{-\alpha t} \left(\frac{\alpha}{\omega_1} \sin \omega_1 t + \cos \omega_1 t \right), \quad (6.25)$$

որտեղ $\omega_1 = \sqrt{\omega_0^2 - \alpha^2}$:

- $U(t)$ կախվածությունը թույլ մարումների դեպքում.

Այս դեպքում $\omega_1 \approx \omega_0$, $\alpha \ll \omega_0$ և (6.25)-ից կունենանք

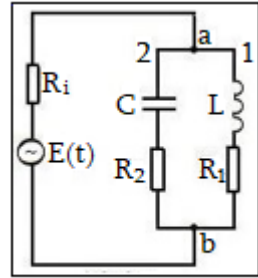
$$U(t) = 1 - e^{-\alpha t} \cos \omega_0 t: \quad (6.26)$$

Նկ.6.7-ում բերված է $U(t)$ կախվածության մոտավոր գրաֆիկը տարբեր կորուստների դեպքում:

6.6. Զուգահեռ տատանողական կոնտուր: Դրա հաճախային բնութագրերը

Զուգահեռ տատանողական կոնտուրները լինում են բարդ և պարզ: Բարդ կոնտուրում ակտիվ և ռեակտիվ դիմադրությունները միացված են խառը կերպով, իսկ պարզ կոնտուրում դրանք միացած են իրար զուգահեռ:

Նկ. 6.8-ում բերված է զուգահեռ կոնտուրի համեմատաբար պարզ սխեմա:



Նկ.6.8

- **a և b կետերի միջև հաղորդականությունը կլինի՝**

$$\dot{Y}_{ab} = \frac{1}{Z_1} + \frac{1}{Z_2} = \frac{R_1}{R_1^2 + x_1^2} + \frac{R_2}{R_2^2 + x_2^2} - j \left(\frac{x_1}{R_1^2 + x_1^2} + \frac{x_2}{R_2^2 + x_2^2} \right), \quad (6.27)$$

որտեղ $x_1 = \omega L$, $x_2 = -1/\omega C$:

- **Նկ. 6.8. Շղթայի ռեզոնանսի պայմանը.**

$$\frac{x_1}{R_1^2 + x_1^2} + \frac{x_2}{R_2^2 + x_2^2} = 0 \quad \text{կամ}$$

$$\frac{|x_1|}{R_1^2 + x_1^2} = \frac{|x_2|}{R_2^2 + x_2^2} \quad (6.28)$$

- **Նկ. 6.8. Շղթայի ռեզոնանսի պայմանը փոքր կորուստների դեպքում ($R_1 \ll |x_1|$, $R_2 \ll |x_2|$).**

$$|x_1| = |x_2| \quad \text{կամ} \quad x_1 + x_2 = 0: \quad (6.29)$$

- **Նկ. 6.8. Շղթայի ռեզոնանսային դիմադրությունը փոքր կորուստների դեպքում ($R_1 \ll |x_1|$, $R_2 \ll |x_2|$).**

$$Z_{abn\epsilon q} \approx \frac{x_1^2 x_2^2}{R_1 x_2^2 + R_2 x_1^2} = \frac{x_1^2}{R_1 + R_2} = \frac{x_2^2}{R_1 + R_2}: \quad (6.30)$$

(6.30)-ից հետևում է, որ եթե $R = R_1 + R_2 \rightarrow 0$, ապա $Z_{abn\epsilon q} \rightarrow \infty$ և ընդհանուր հոսանքը հավասար է զրոյի: Կոնտուրի թևերի հոսանքները ռեզոնանսի դեպքում անսահման մեծ են դառնում, բայց միմյանց նկատմամբ հակադարձ ուղղված: Այդ

պատճառով զուգահեռ կոնտուրում տեղի ունեցող ռեզոնանսին անվանում են հոսանքների ռեզոնանս:

- **Նկ. 6.8.** կոնտուրի ռեզոնանսային հաճախությունը փոքր կորուստների դեպքում.

$$\omega_n = \frac{1}{\sqrt{LC}}: \quad (6.31)$$

- **Նկ. 6.8.** կոնտուրի բնութագրական դիմադրությունը.

$$\rho = \sqrt{\frac{L}{C}} = \frac{L}{\sqrt{LC}} = \omega_n L = \frac{1}{\omega_n C}: \quad (6.32)$$

- **Նկ. 6.8.** կոնտուրի դիմադրության իրական մասը.

$$R_{ab} = \frac{x_1^2}{R} = \frac{\omega_n^2 L^2}{R} = \frac{1}{R \omega_n^2 C^2}: \quad (6.33)$$

- **Նկ. 6.8.** կոնտուրի բարորակությունը.

$$Q = \frac{R_{ab}}{\rho} = \frac{\rho}{R_1 + R_2}: \quad (6.34)$$

- **Աղբյուրի R_i ներքին դիմադրության ազդեցությունը կոնտուրի բարորակության վրա.**

Հաջորդական կոնտուրի դեպքում աղբյուրի R_i ներքին դիմադրությունը գումարվում է կոնտուրի R ակտիվ դիմադրությանը և $Q' = \frac{\omega_0 L}{R + R_i} = \frac{R Q}{R + R_i} = \frac{Q}{1 + \frac{R_i}{R}} < Q$: Այսինքն՝ աղբյուրի

ներքին դիմադրության ազդեցությունը բերում է բարորակության նվազմանը: Այդ պատճառով հաջորդական կոնտուրը ձեռնտու է սնել փոքր ներքին դիմադրություն ունեցող գեներատորից, այսինքն՝ լարման աղբյուրից: Չուգահեռ կոնտուրի դեպքում աղբյուրի R_i ներքին դիմադրությունը շունտում է կոնտուրը և $Q = \frac{R_{ab}}{\rho}$ -ի փոխարեն կունենանք $Q' = \frac{R'_{ab}}{\rho} = \frac{R_i R_{ab}}{(R_i + R_{ab}) \rho} = \frac{Q}{1 + \frac{R_{ab}}{R_i}} < Q$: Այս դեպքում պետք է աղբյուրի ներքին

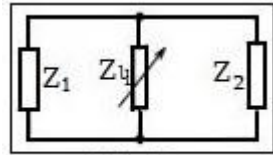
դիմադրությունը շատ մեծ լինի կոնտուրի R_{ab} դիմադրությու-

նից, որպեսզի քիչ ազդեցություն ունենա: Այսինքն՝ կոնտուրը պետք է սնել հոսանքի աղբյուրից:

6.7. Կապված տատանողական կոնտուրներ

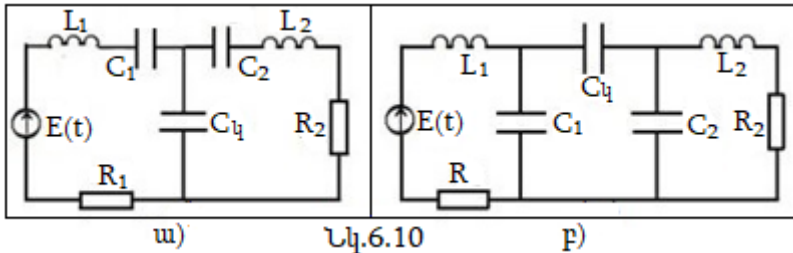
Երկու կոնտուր համարվում են կապված, եթե նրանցից մեկում տեղի ունեցող պրոցեսներն ազդում են մյուսի վրա:

Նկ. 6.9-ում պատկերված է երկու կապված կոնտուրների սխեման, որտեղ Z_{ij} -ն կապի դիմադրությունն է: Եթե $Z_{ij} \rightarrow 0$, ապա կապը բացակայում է, իսկ եթե $Z_{ij} \rightarrow \infty$, ունենք լրիվ կապ: Եթե Z_{ij} -ն



Նկ.6.9

ունակային դիմադրություն է (Նկ. 6.10), ապա կապը կոչվում է ունակային: Ունակային կապը լինում է երկու տեսակի՝ ներքին (Նկ.6.10ա) և արտաքին (Նկ. 6.10բ):



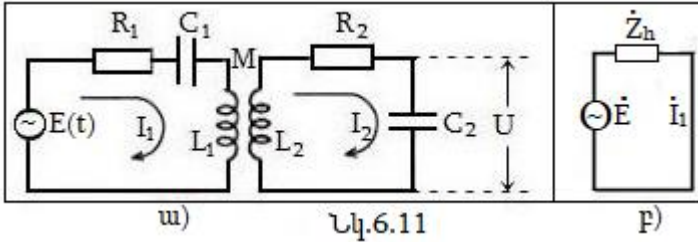
Նկ.6.10

• Ներքին ունակային կապի աստիճան.

$$k = \frac{\sqrt{C_a C_b}}{C_{ij}} = \sqrt{\frac{C_1 C_2}{(C_{ij} + C_1)(C_{ij} + C_2)}}; \quad (6.35)$$

Եթե $C_1 = C_2 = C$, ապա $k = \frac{C}{C_{ij} + C}$:

Եթե Z_{ij} -ն ինդուկտիվ է, ապա կապը կոչվում է ինդուկտիվ կամ տրանսֆորմատորային (Նկ.6.11ա):



- Ինդուկտիվ կապի աստիճան.

ա) առաջին կոնտուրից երկրորդ՝ $k_{12} = \frac{M}{L_1}$, որտեղ M -ը փոխադարձ մակաձման գործակիցն է,

բ) երկրորդ կոնտուրից առաջին՝ $k_{21} = \frac{M}{L_2}$:

- Կապի գործակից.

$$k = \sqrt{k_{12}k_{21}} = \frac{M}{\sqrt{L_1L_2}}: \quad (6.36)$$

$0 < k < 1$ և ցույց է տալիս ընդհանուր մագնիսական հոսքի և լրիվ հոսքի հարաբերությունը:

- Նկ. 6.11ա. Շղթայի կոնտուրների դիֆերենցիալ հավասարումները՝

$$1) I_1R_1 + L_1 \frac{dI_1}{dt} + \frac{1}{C_1} \int I_1 dt = E + M \frac{dI_2}{dt}, \quad (6.37\text{ա})$$

$$2) I_2R_2 + L_2 \frac{dI_2}{dt} + \frac{1}{C_2} \int I_2 dt = M \frac{dI_1}{dt}: \quad (6.37\text{բ})$$

1. Կապված կոնտուրների լայնութահաճախային բնութագրերը

Երբ Նկ. 6.11ա-ում բերված կապված կոնտուրներում

$R_1 = R_2 = R, C_1 = C_2 = C, L_1 = L_2 = L$, ապա

$\omega_{01} = \omega_{02} = \omega_0 = \frac{1}{\sqrt{LC}}, k = \frac{M}{L}, \dot{Z}_1 = \dot{Z}_2 = \dot{Z} = R + jx$, որտեղ

$x = \omega L - 1/\omega C$:

- Կոմպլեքս փոխանցման գործակիցը.

$$\dot{K}(\omega) = \frac{\dot{U}_{2m}}{\dot{E}_m} = \frac{M}{C} \frac{1}{\dot{Z}^2 + \omega^2 M^2}: \quad (6.38)$$

- Կոմպլեքս փոխանցման գործակիցը $\omega \approx \omega_0$ մոտակայքում.

$$\dot{K}(\omega) = \frac{k}{k^2 + d^2 - \varepsilon^2 - j2\varepsilon d}; \quad (6.39)$$

որտեղ $k = \frac{M}{L}$, $d = \frac{R}{\rho}$, $\varepsilon = 1 - \frac{\omega_0^2}{\omega^2} \approx \frac{2\Delta\omega}{\omega_0}$:

- Լայնութեան ճախային բնութագրերը.

$$A(\omega) = |\dot{K}(\omega)| = \frac{k}{\sqrt{(k^2 + d^2)^2 + 2\varepsilon^2(d^2 - k^2) + \varepsilon^4}}; \quad (6.40)$$

- $A(\omega)$ -ի էքստրեմումի կետերը.

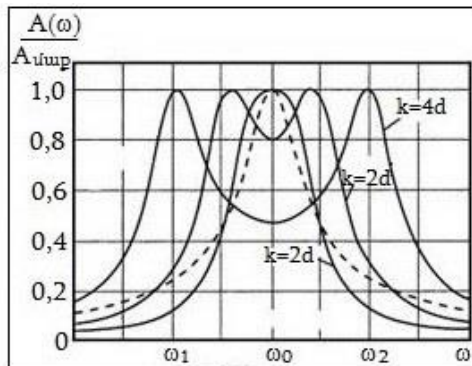
$\omega = \omega_0$ -ն մինիմումի կետ է, $\omega_1 = \frac{\omega_0}{\sqrt{1 + \sqrt{k^2 - d^2}}}$ -ը և $\omega_2 = \frac{\omega_0}{\sqrt{1 - \sqrt{k^2 - d^2}}}$ -ը մաքսիմումի կետեր են, որոնց ավանում են կապի հաճախություններ:

- $A(\omega)$ -ի էքստրեմալ արժեքները.

$$A(\omega_0) = A_{\text{մի}} = A_0 = \frac{k}{k^2 + d^2},$$

$$A(\omega_1) = A(\omega_2) = A_{\text{ս}} = 1/2d = Q/2; \quad (6.41)$$

Որքան $k > d$, այնքան ω_1 -ը և ω_2 -ը հեռանում են իրարից (Նկ. 6.12): Երբ $k = d$, ապա ω_1 -ը և ω_2 -ը ձուլվում են ω_0 -ի հետ և ունենում ենք մեկ մաքսիմումով կետ: $k = d$ դեպքում կապը կոչվում է կրիտիկական: Այս դեպքում $A_{\text{ս}} = \frac{d}{\sqrt{4d^4 + \varepsilon^4}}$, մինչդեռ միայնակ կոնտուրի դեպքում $A \approx \frac{d}{\sqrt{d^2 + \varepsilon^2}}$:



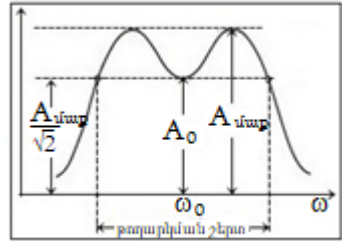
Նկ. 6.12

2. Կապված կոնտուրների թողարկման շերտը

• Օպտիմալ կապ (Նկ.6.13).

Երբ $A_0 = \frac{A_{\text{մաք}}}{\sqrt{2}}$, կապը կոչվում է օպտիմալ:

• Թողարկման շերտի լայնությունը օպտիմալ կապի դեպքում.



Նկ.6.13

$$\frac{\Delta\omega_p}{\omega_0} \approx 3,1d: \quad (6.42)$$

• Թողարկման շերտի լայնությունը կրիտիկական կապի դեպքում ($k = d$).

$$\frac{\Delta\omega_p}{\omega_0} = \sqrt{2}d: \quad (6.43)$$

$k = d$ դեպքում ելքային հզորությունն առավելագույնն է, այդ պատճառով կրիտիկական կապը՝ օպտիմալ կապ է ըստ հզորության:

Խնդիրներ

Հաջորդական տատանողական կոնտուր

6.1. Հայտնի է հաջորդական կոնտուրի Q բարորակությունը: Որոշե՛ք, թե ազատ տատանումների քանի՞ պարբերությունից հետո հոսանքի լայնությամբ կոնտուրում սկզբնականի համեմատությամբ կնվազի n անգամ:

6.2. Մինչև 80 Վ պոտենցիալների տարբերությամբ լիցքավորված կոնդենսատորը լիցքաթափվում է ակտիվ դիմադրության և ինդուկտիվության կոճի շղթայով: Ազատ տատանումների 25 պարբերությունից հետո լարումը կոնդենսատորի վրա նվազում է մինչև 3 Վ: Որոշե՛ք կոնդենսատորի բարորակությունը:

6.3. Կոնտուրի մարման լոգարիթմական դեկրեմենտը հավասար է 0,02: Որոշել, թե քանի՞ լրիվ տատանումներից հետո կոնտուրում հոսանքի լայնույթը սկզբնական արժեքի նկատմամբ կփոքրանա 100 անգամ:

6.4. Տրված են կոնտուրի ունակությունը՝ $C = 400$ պՖ, սեփական տատանումներին համապատասխանող ալիքի երկարությունը՝ $\lambda_0 = 400$ մ և մարման լոգարիթմական դեկրեմենտը՝ $\delta = 0,02$: Որոշել՝ ք կոնտուրի Q բարորակությունը և կորուստների ակտիվ դիմադրությունը:

6.5. Ինչպիսի՞ն պետք է լինի տատանողական կոնտուրի ռեզոնանսային հաճախությունը, որպեսզի $\delta = 0,05$ լոգարիթմական դեկրեմենտի դեպքում այն ունենա 1,6 ՄՀց թողարկման շերտ:

6.6. Արտաքին աղբյուրի որևէ f հաճախության դեպքում հաջորդական կոնտուրում $X_C = 220$ Օհմ, $X_L = 178$ Օհմ: Որոշել՝ ք կոնտուրի բարորակությունը, եթե կորուստների դիմադրությունը 4 Օհմ է:

6.7. Կոնտուրում, որը պարունակում է 0,1 մՀն ինդուկտիվություն, 5 Օհմ ակտիվ դիմադրություն և անհայտ C ունակություն, տեղի են ունենում ազատ տատանումներ 1500 կՀց հաճախությամբ և 100 մԱ հոսանքի սկզբնական լայնույթով: Որոշել՝ ք կոնտուրի ունակությունը, ալիքի սեփական երկարությունը, լարման սկզբնական լայնույթը, շղթայի ժամանակի հաստատունը, մարման լոգարիթմական դեկրեմենտը, մարումը և բարորակությունը:

6.8. Հաջորդական կոնտուրի ռեզոնանսային հաճախությունը 3 ՄՀց է, ունակությունը՝ 60 պՖ, կորուստների դիմադրությունը՝ 20 Օհմ: Կոնտուրին միացված աղբյուրի էլՇՈւ-ի լայնույթը 1 Վ է, իսկ հաճախությունը տարբերվում է ռեզոնանսային հաճա-

խությունից 6 կՀց-ով: Որոշե՛ք կոնտուրում հոսանքի և կոնդենսատորի լարման լայնություները, փուլերի շեղումը հոսանքի և էլՇՈւ-ի միջև:

6.9. Հաջորդական կոնտուրում կոնդենսատորի վրա լարման լայնությո՞ր հավասար է 60 Վ, իսկ գեներատորի էլՇՈւ-ի լայնությո՞ր՝ 0,4 Վ: Կոնդենսատորն ունի 4 Օհմ ակտիվ դիմադրություն և ռեզոնանսի մեջ է 500 կՀց հաճախության գեներատորի հետ: Որոշե՛ք կոնտուրի ինդուկտիվությունը, ունակությունը, հոսանքի լայնությո՞ր և լարումները բոլոր տարրերի վրա:

6.10. Անկորուստ կոնտուրում ազատ տատանումների 0,5ՄՀց հաճախության դեպքում լարման լայնությո՞ր 60 Վ է, իսկ հոսանքի լայնությո՞ր՝ 60 մԱ: Որոշե՛ք կոնտուրի պարամետրերը և ալիքի սեփական երկարությունը:

6.11. Անկորուստ կոնտուրն ունի $L=35$ մկՀն ինդուկտիվություն և $\lambda_0 = 100$ մ սեփական ալիքի երկարություն: Որոշե՛ք կոնտուրի սեփական հաճախությունը, ունակությունը, բնութագրական դիմադրությունը և հոսանքի լայնությանին արժեքը լարման $U_m = 25$ Վ լայնությի դեպքում:

6.12. Որոշե՛ք տատանողական կոնտուրի և իդուկտիվության կոճի զուգահեռ և հաջորդական տեղակալման սխեմաների պարամետրերի միջև հարաբերակցությունները ռեզոնանսային հաճախության դեպքում (նկարը տե՛ս լուծման մեջ):

6.13. Կոնտուրի ինդուկտիվությունը 200 մկՀն է, իսկ կորուստների դիմադրությունը՝ 15 Օհմ: Որոշե՛ք կոնտուրի թողարկման շերտը:

6.14. Կոնտուրի ռեզոնանսային հաճախությունը 200 կՀց է, ունակությունը՝ 1 մՖ, իսկ թողարկման շերտը՝ 10 կՀց: Որոշե՛ք կոնտուրի բարորակությունը և կորուստների դիմադրությունը:

6.15. Տատանողական կոնտուրի բնութագրական դիմադրությունը 400 Օհմ է, իսկ բարորակությունը՝ 100: Այն թողարկում է 70 կՀց հաճախային տիրույթ 3 դբ մարման դեպքում: Որոշե՛ք կոնտուրի պարամետրերը:

6.16. Տատանողական կոնտուրը կազմված է 200 պՖ ունակության կոնդենսատորից և 800 մկՀն ինդուկտիվության կոճից: Կոնդենսատորի կորուստների անկյան տանգենսը հավասար է 0,005, իսկ կոճի կորուստների դիմադրությունը՝ 30 Օհմ: Որոշե՛ք կոնտուրի թողարկման շերտը և բարորակությունը:

6.17. Հաջորդական կոնտուրը համալարված է 160 կՀց հաճախության վրա: Կոնտուրի ինդուկտիվությունը 2 մՀն է, իսկ կորուստների դիմադրությունը՝ 40 Օհմ: Ի՞նչ դիմադրությամբ պետք է շունտել ինդուկտիվության կոճը, որպեսզի կոնտուրի թողարկման շերտը լինի 10 կՀց:

6.18. Որոշե՛ք հաջորդական կոնտուրի փոխանցման գործակցի մոդուլը (ելքը վերցվում է կոնդենսատորից) $\Delta f = 0; 2; 5; 12$ կՀց ապալարկի դեպքում: Կոնտուրի ունակությունը 200 պՖ է, կորուստների դիմադրությունը՝ 8 Օհմ, իսկ թողարկման շերտը՝ 10 կՀց:

6.19. Աղբյուրի հետ համալարված հաջորդական տատանողական կոնտուրը սպառում է 50 մՎտ հզորություն: Կոնտուրի ինդուկտիվությունը 180 մկՀն է, ունակությունը՝ 500 պՖ, իսկ կոնդենսատորի վրա լարման լայնությանի ն արժեքը՝ 60 Վ: Որոշե՛ք կոնտուրի կորուստների դիմադրությունը և ԷլՇՈւ-ի լայնույթը:

6.20. Կոնտուրի ռեզոնանսային հաճախությունը 300 կՀց է, իսկ ունակությունը՝ 200 պՖ: Կորուստների դիմադրության ի՞նչ արժեքի դեպքում կոնտուրը կունենա 10 կՀց թողարկման շերտ: Ինչպե՞ս պետք է փոփոխել կոնտուրի բարորակությունը:

նը, եթե վերոհիշյալ թողարկման շերտը որոշվի ոչ թե $\sqrt{2}$ անգամ, այլ **ա)** 1,25 և **բ)** 2 անգամ մարումներով:

6.21. Տատանողական կոնտուրի բարորակությունը հավասար է 250, իսկ կորուստների դիմադրությունը՝ 1 Օհմ: Ունակությունը 2 պՖ-ով փոփոխելիս հարաբերական ապալարքը հավասարվում է 0,1%-ի: Որոշե՛ք կոնտուրի ռեզոնանսային հաճախությունը, կոնդենսատորի ունակությունը և կոճի ինդուկտիվությունը:

6.22. Հաջորդական կոնտուրին միացված է 14 Օհմ ներքին դիմադրությամբ $\varepsilon(t) = 0,2 \cos \omega t$ Վ էլՇՈւ-ի աղբյուր: Կոնտուրի ինդուկտիվությունը 100 մկՀն է, իսկ կորուստների դիմադրությունը՝ 6 Օհմ: Որոշե՛ք կոնտուրի բարորակությունը, կոնդենսատորի և ինդուկտիվության կոճի վրա լարումների լայնությանն արժեքները $\omega_{\text{ռ}} = 10^7$ ռադ/վ ռեզոնանսային հաճախության և $\omega_1 = 1,01 \cdot 10^7$ ռադ/վ հաճախության դեպքերում:

6.23. Հաջորդական կոնտուրի կոնդենսատորի վրա լարման լայնությանն արժեքը ռեզոնանսի դեպքում, որը չափվել է անվերջ մեծ մուտքային դիմադրությամբ վոլտաչափով, հավասար է 100 Վ: Կոնտուրը սնող էլՇՈւ-ի լայնույթը 1Վ է, իսկ կոնտուրի կորուստների դիմադրությունը՝ 20 Օհմ: Ի՞նչ լարում ցույց կտա այն վոլտաչափը, որի մուտքային դիմադրությունը 100 կՕմ է:

Ջուլզանեռ տատանողական կոնտուր

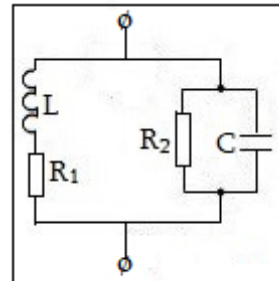
6.24. Օգտվելով աղյուսակում նշված թվային տվյալներից՝ հաշվե՛ք պարզ զուգահեռ տատանողական կոնտուրի ռեզոնանսային դիմադրությունը:

Նո.	L մկՀն	C պՖ	R Օմ	f ՄՀց	λ_0 մ	Q
1	120	80	15	--	--	--
2	--	120	--	--	200	40
3	--	150	20	1	--	--
4	180	100	--	--	--	30
5	--	300	16	--	600	--

6.25. Որոշե՛ք անկորուստ պարզ զուգահեռ կոնտուրի դիմադրությունը $n\omega_n$ ($n = 2, 3, 4, \dots$) հաճախությունների դեպքում, որտեղ ω_n -ը ռեզոնանսային հաճախությունն է:

6.26. Պարզ զուգահեռ կոնտուրն ունի հետևյալ պարամետրերը՝ $C = 500$ պՖ, $Q = 100$, $\omega_n = 10^6$ ռադ/վ: Որոշե՛ք կոնտուրի թողարկման շերտը, ինչպես նաև դիմադրության ակտիվ և ռեակտիվ բաղադրիչները $\omega_1 = 1,01 \cdot 10^7$ ռադ/վ և $\omega_2 = 1,007 \cdot 10^6$ ռադ/վ հաճախությունների դեպքերում:

6.27. Որոշե՛ք Նկ.6.14-ում զուգահեռ կոնտուրի ռեզոնանսային դիմադրությունը հետևյալ տվյալների դեպքում՝ $L = 9$ մկՀն, $C = 100$ պՖ, $R_1 = 3$ Օհմ, $R_2 = 30$ կՕմ:



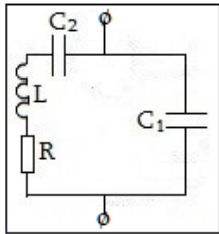
Նկ.6.14

6.28. Պարզ զուգահեռ կոնտուրն ունի $C = 200$ պՖ ունակություն, 7 Օհմ կորուստների դիմադրություն և սնվում է 40 կՕմ ներքին դիմադրությամբ 300 Վ լայնույթով էլՇՈւ-ի գեներատորից: Ռեզոնանսի դեպքում կոնտուրի վրա լարման լայնույթը հավասար է 120 Վ: Որոշե՛ք կոնտուրի ինդուկտիվությունը, բարորակությունը և գեներատորի տված հոսանքը:

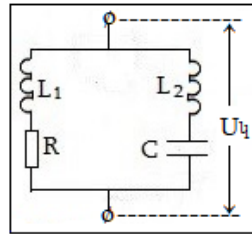
6.29. Պարզ գուգահեռ կոնտուրը միացված է 50 կՕմ ներքին դիմադրությամբ աղբյուրին: Կոնտուրի պարամետրերն են՝ $C = 500$ պՖ, $Q = 100$, $\omega_n = 10^6$ ռադ/վ: Որոշե՛ք համարժեք բարորակությունը և թողարկման շերտը:

6.30. 320 կՀց հաճախության, 100 Վ լայնությանին արժեքով և 1կՕմ ներքին դիմադրությամբ էլՇՈւ-ի աղբյուրը միացված է պարզ գուգահեռ կոնտուրին, որը համալարված է աղբյուրի հետ: Կոնտուրի ինդուկտիվությունը 100 մկՀն է, իսկ բարորակությունը՝ 100: Որոշե՛ք կոնտուրում անջատված հզորությունը:

6.31. Բարդ գուգահեռ կոնտուրը (Նկ.6.15) համալարված է $\lambda = 94,2$ մ ալիքի երկարության վրա: Կոնտուրի պարամետրերն են՝ $C_2 = 400$ պՖ, $R = 5$ Օհմ, $Z_{oe} = 50$ կՕմ: Որոշե՛ք կոնտուրի C_1 ունակությունը և L ինդուկտիվությունը:



Նկ.6.15



Նկ.6.16

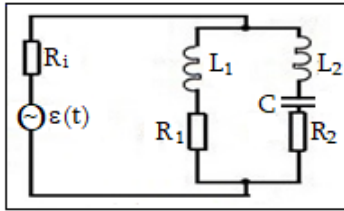
6.32. Զուգահեռ կոնտուրի (Նկ.6.16) պարամետրերն են՝ $C = 200$ պՖ, $L_1 = L_2 = 0,2$ մՀն, $R = 25$ Օհմ: Կոնտուրի հետ համալարված զենեռատորը ապահովում է $I = 0,01$ Ա հոսանք: Որոշե՛ք կոնտուրի ռեզոնանսային դիմադրությունը և U_q լարումը:

6.33. Բարդ գուգահեռ կոնտուրը, որը միացված է 100 կՕմ ներքին դիմադրությամբ աղբյուրին (Նկ.6.17), ունի հետևյալ

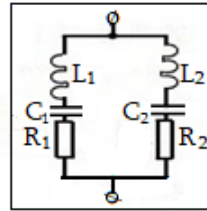
պարամետրերը՝ $C = 500$ պՖ, $Q = 100$, $L_1 = 500$ մկՀն, $\omega_n = 10^6$ ռադ/վ: Որոշե՛ք համարժեք բարորակությունը և թողարկման շերտը:

6.34. Չուգահեռ կոնտուրը (Նկ.6.17), որի ունակությունը՝ $C = 250$ պՖ, իսկ մարումը՝ $d = 0,008$, $f_0 = 1$ Մ Հց ռեզոնանսային հաճախության դեպքում ունի 25 կՕմ մուտքային դիմադրություն: Որոշե՛ք ճյուղերի ինդուկտիվությունները և կորուստների լրիվ դիմադրությունը:

6.35. Բարդ զուգահեռ կոնտուրի պարամետրերն են՝ $C_1 = 70$ պՖ, $L_1 = 5$ մկՀն, $R_1 = 3,5$ Օհմ, $R_2 = 2,5$ Օհմ, $C_2 = 55$ պՖ, $L_2 = 4$ մկՀն (Նկ. 6.18): Որոշե՛ք զուգահեռ կոնտուրի ռեզոնանսի հաճախությունը, կոնտուրի բարորակությունը և ռեզոնանսային դիմադրությունը:



Նկ.6.17



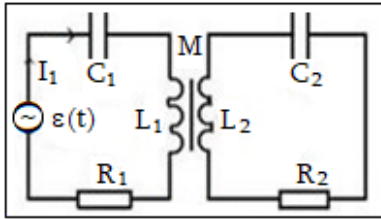
Նկ.6.18

6.36. $L = 50$ մկՀն, $C = 200$ պՖ, $r = 5$ Օհմ պարամետրերով պարզ զուգահեռ կոնտուրի չճյուղավորված շղթայով հոսում է հետևյալ հոսանքը՝ $I(t) = 100 + 2\cos\omega_n t + 50\cos 2\omega_n t + 10\cos(3\omega_n t)$ մԱ: Որոշե՛ք կոնտուրի լարումը:

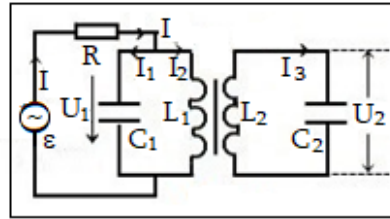
Կապված կոնտուրներ

6.37. Կազմե՛ք դիֆերենցիալ հավասարում Նկ. 6.19-ում բերված շղթայում I_1 հոսանքը որոշելու համար:

6.38. Կազմե՛ք դիֆերենցիալ հավասարումներ Նկ. 6.20-ում բերված շղթայում U_1 և U_2 լարումները որոշելու համար:



Նկ.6.19

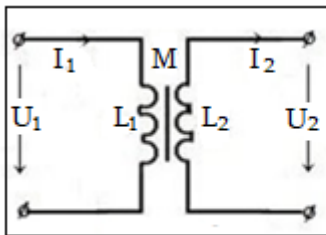


Նկ.6.20

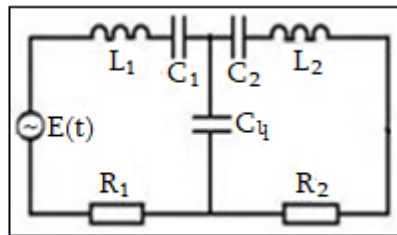
6.39. Նկ. 6.21-ում բերված շղթայում I_1 և I_2 հոսանքներն արտահայտել U_1 և U_2 լարումների միջոցով:

6.40. Ներքին ունակային կապով կապված կոնտուրների (Նկ. 6.22) կապի գործակիցը՝ $k=0,1$, իսկ ունակությունները՝ $C_1 = C_2 = 50\text{պՖ}$: Որոշե՛ք կապի ունակությունը:

6.41. Ներքին ունակային կապով երկու միատեսակ կոնտուրներ (Նկ.6.22) 30 ՄՀց հաճախության վրա համալարված են լրիվ ռեզոնանսի: Մուտքային աղբյուրի էլՇՈւ-ի լայնույթը 5Վ է, իսկ՝ $C_1 = C_2 = 35\text{պՖ}$, $R_1 = R_2 = 4 \text{ Օհմ}$: Որոշե՛ք կոնտուրների ինդուկտիվությունները, կապի ունակությունն ու գործակիցը, կոնտուրներում հոսանքների լայնույթները:



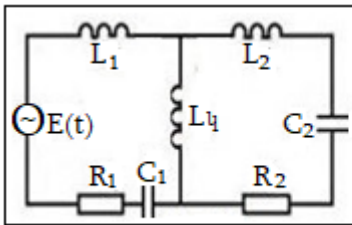
Նկ.6.21



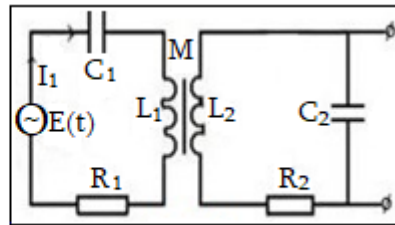
Նկ.6.22

6.42. Նկ. 6.23-ում պատկերված կապված կոնտուրների պարամետրերն են՝ $L_1 = 15$ մկՀն, $L_2 = 20$ մկՀն, $C_1 = 45$ պՖ, $R_1 = R_2 = 4$ Օհմ, $L_4 = 5$ մկՀն, իսկ գեներատորի ալիքի երկարությունը՝ $\lambda = 60$ մ: Որոշե՛ք C_2 ունակությունը, եթե շղթայում հաստատվել է երկրորդ մասնակի ռեզոնանս:

6.43. Երկու կապված կոնտուրներից (Նկ. 6.23) յուրաքանչյուրն ունի՝ $L_{ան} = L_{երկ} = L = 35$ մկՀն ընդհանուր ինդուկտիվություն, $C_1 = C_2 = C = 135$ պՖ ունակություն և $R_1 = R_2 = R = 5$ Օհմ ակտիվ դիմադրություն: Կապի գործակիցը՝ $k=0,02$, իսկ արտաքին աղբյուրի հաճախությունը հավասար է կոնտուրների սեփական հաճախությանը: Որոշե՛ք կոնտուրների L_1, L_2 և L_4 ինդուկտիվությունները և առաջնային շղթայի ՕԳԳ-ն:



Նկ.6.23



Նկ.6.24

6.44. Ինդուկտիվորեն կապված կոնտուրների (Նկ. 6.24) պարամետրերն են՝ $L_1 = 11$ մկՀն, $C_1 = 40$ պՖ, $R_1 = 4$ Օհմ, $L_2 = 12$ մկՀն, $C_2 = 36$ պՖ $R_2 = 4,5$ Օհմ, $k = 0,2$: Առաջին կոնտուրում միացված է 5 Վ լայնույթով և 40 մ ալիքի երկարությամբ ԷլՇՈւ-ի աղբյուր: Որոշե՛ք կոնտուրներում հոսանքների լայնությունները և C_2 ունակության վրա լարումը:

6.45. Երկու ինդուկտիվորեն կապված կոնտուրներ (Նկ.6.24) համալարված են լրիվ ռեզոնանսի 6 Վ լայնույթով աղբյուրի 15ՄՀց հաճախության դեպքում: Կոնտուրների տվյալներն են՝ $C_1 = C_2 = 20$ պՖ, $d_1 = d = 0,01$: Որոշե՛ք կոնտուրների ինդուկ-

տիվությունները, փոխինդուկտիվությունը, կոնտուրներում հոսանքների լայնությունները, էլքային լարման լայնությոը և լարման փոխանցման գործակիցը:

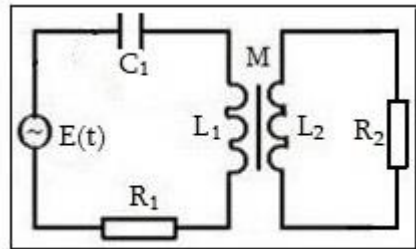
6.46. Նկ. 6.24-ում պատկերված շղթայի պարամետրերն են՝ $L_1 = 250$ մկՀն, $C_1 = 100$ պՖ, $R_1 = 15$ Օհմ, $L_2 = 300$ մկՀն, $R_2 = 60$ Օհմ, $M = 30$ մկՀն, աղբյուրի հաճախությունը՝

$\omega = 2 \cdot 10^6$ ռադ/վ է, իսկ լայնությոը՝ 20Վ: C_2 ունակության ի՞նչ արժեքի դեպքում երկրորդ կոնտուրում հոսանքի լայնությոը հավասար կլինի 200 մԱ:

6.47. Նկ.6.24-ում պատկերված կապված կոնտուրներում հաստատվել է բարդ ռեզոնանս: Կոնտուրների պարամետրերն են՝ $L_1 = L_2 = L = 3$ մկՀն, $C_1 = C_2 = C = 20$ պՖ, $R_1 = R_2 = R = 3$ Օհմ, էլՇՈւ-ի աղբյուրի լայնությոը հավասար է 15Վ, իսկ կապի գործակիցը՝ $k = 2d$: Որոշե՛ք կոնտուրներում հոսանքների և էլքային լարման լայնությոները և կապի հաճախությունները:

6.48. Նկ. 6.24-ում պատկերված կապված կոնտուրներից յուրաքանչյուրը համալարված է էլՇՈւ-ի հաճախության վրա: Որոշե՛ք երկրորդ կոնտուրում անջատվող հզորությունը և ՕԳԳ-ն, եթե $E = 10 \cos 10^6 t$ Վ, $R_1 = 20$ Օհմ, $R_2 = 10$ Օհմ, $M = 20$ մկՀն:

6.49. Կապված կոնտուրների սխեման տրված է Նկ.6.25-ում: Որոշե՛ք օպտիմալ ռեզոնանսի դեպքում M -ի և C_1 -ի արժեքները, եթե աղբյուրի հաճախությունը հավասար է 10^6 ռադ/վ, $L_1 = L_2 = L = 1$ մՀն, $R_1 = 10$ Օհմ, $R_2 = 1$ կՕմ:



Նկ.6.25

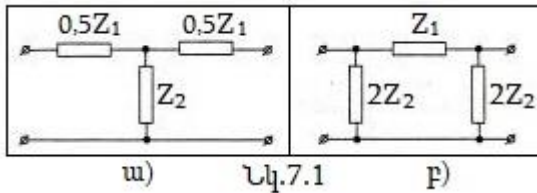
**§7. Էլեկտրական գոիչներ: Երկար գծեր:
Ալիքատարներ: Ծավալային ռեզոնատորներ**

Հիմնական հասկացություններ և բանաձևեր

7.1. Էլեկտրական գոիչներ (Ֆիլտրեր)

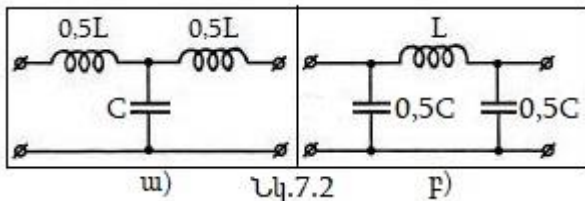
Էլեկտրական գոիչ կոչվում է այն սարքը (քառաբևեռը), որը թողարկում է հաճախությունների որոշակի տիրույթ և կասեցնում է դրանից դուրս տիրույթը: Իդեալական գոիչի թողարկման տիրույթում մարումը զրո է՝ $d = 0$, իսկ փոխանցման գործակցի մոդուլը հավասար է մեկի՝ $|K(\omega)| = 1$: Թողարկման շերտից դուրս (կասեցման տիրույթ) $d \rightarrow \infty$, իսկ $|K(\omega)| = 0$:

- T-ն Ու-ձևի քառաբևեռներ (Նկ. 7.1ա և Նկ. 7.1բ).



Եթե քառաբևեռի համար $Z_1 Z_2 = const$ (կախված չէ ω հաճախությունից), ապա այն կոչվում է k տեսակի քառաբևեռ:

- Ստորին հաճախության գոիչների T-ն Ու-ձևի բջիջներ (Նկ. 7.2).



Ստորին հաճախության գոտիները թողարկում են 0-ից մինչև ω_u սահմանային հաճախության հոսանքներ՝ առանց էական մարման (Նկ.7.2):

$$0 < \omega < \omega_u, \quad (7.1)$$

որտեղ $\omega_u = \frac{2}{\sqrt{LC}}$:

Այս գոտիների համար $Z_1 = j\omega L$, $Z_2 = \frac{1}{j\omega C}$ և $Z_1 Z_2 = \frac{L}{C} = \rho^2 = \text{const}$: Հետևաբար դրանք k տեսակի են:

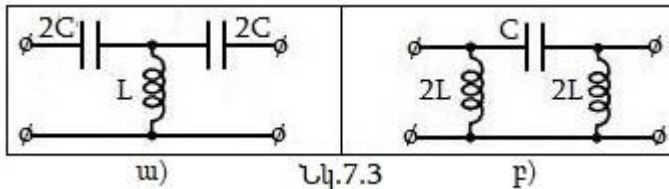
Որպեսզի ստորին հաճախության գոտիչը աշխատի համաձայնեցված ռեժիմում, անհրաժեշտ է, որ բերի R_p դիմադրությունը հավասար լինի ρ բնութագրական դիմադրությանը՝

$$R_p = \sqrt{\frac{L}{C}} \quad \text{և} \quad \omega_u = \frac{2}{\sqrt{LC}}:$$

• Ստորին հաճախության գոտիչների պարամետրերի ընտրությունը.

$$C = \frac{2}{\omega_u R_p}, \quad L = \frac{2R_p}{\omega_u} \quad (7.2)$$

• Վերին հաճախության գոտիչների T-և Ս-ձևի բջիջներ (Նկ. 7.3)



Վերին հաճախության գոտիչները թողարկում են ω_u սահմանային հաճախությունից մինչև ∞ հաճախության հոսանքներ (Նկ. 7.3):

$$\omega_u < \omega < \infty, \quad (7.3)$$

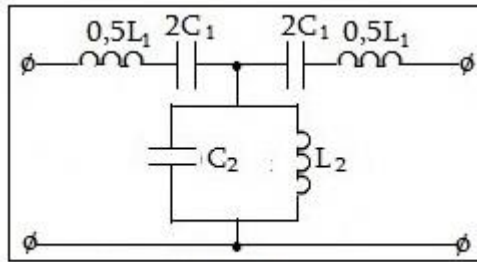
որտեղ $\omega_u = \frac{1}{2\sqrt{LC}}$: Այս գոտիչների համար $Z_1 = \frac{1}{j\omega C}$, $Z_2 = j\omega L$ և $Z_1 Z_2 = \frac{L}{C} = \rho^2 = const$: Հետևաբար այս գոտիչները ևս k տեսակի են:

- Վերին հաճախության գոտիչների պարամետրերի ընտրությունը.

$$C = \frac{1}{2\omega_u R_p}, \quad L = \frac{R_p}{2\omega_u}: \quad (7.4)$$

- Շերտավոր գոտիչների T-և Ս-ձևի բջիջներ.

ա) T- ձևի բջիջ (Նկ. 7.4)

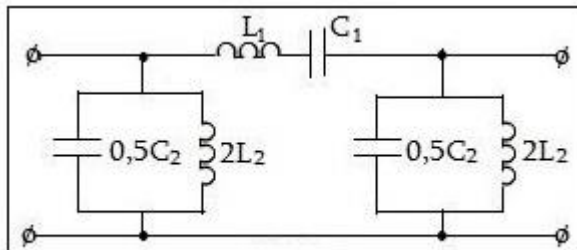


Նկ.7.4

բ) Ս - ձևի բջիջ (Նկ. 7.5)

Շերտավոր գոտիչների թողարկման շերտը գտնվում է $\omega_1 = \omega_0(\sqrt{m+1} - \sqrt{m})$ -ից $\omega_2 = \omega_0(\sqrt{m+1} + \sqrt{m})$ սահմանային հաճախությունների միջև, որտեղ $m = \frac{L_2}{L_1} = \frac{C_2}{C_1}$, իսկ

$$\omega_0 = \frac{1}{\sqrt{L_1 C_1}} = \frac{1}{\sqrt{L_2 C_2}} = \sqrt{\omega_1 \omega_2}:$$



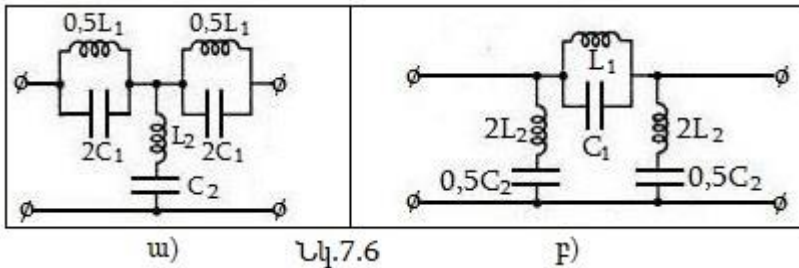
Նկ.7.5

- Շերտավոր գոտիչների պարամետրերի ընտրությունը.

$$L_1 = \frac{2R_p}{\omega_2 - \omega_1}, \quad L_2 = \frac{1}{C_2 \omega_2 \omega_1}, \quad C_1 = \frac{1}{L_1 \omega_2 \omega_1}, \quad C_2 = \frac{2}{R_p(\omega_2 - \omega_1)}, \quad (7.5)$$

- Փակոցային կամ ռեժեկտորային գոտիչների T-և Ս-ձևի բջիջներ (Նկ.7.6).

Փակոցային գոտիչները չեն թողարկում ω_1 -ից մինչև ω_2 ընկած հաճախությունների հոսանքներ և թողարկում են 0-ից

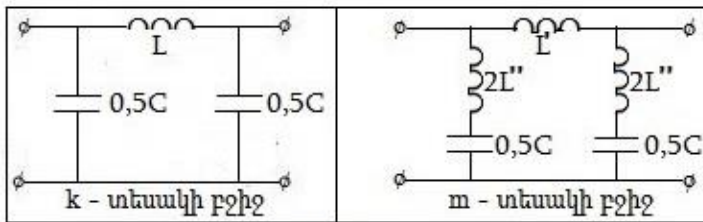


մինչև ω_1 և ω_2 -ից մինչև ∞ հաճախության հոսանքներ (Նկ. 7.6): Փակոցային գոտիչ կարելի է ստանալ շերտավոր գոտիչից, նրանում փոխելով հաջորդական և զուգահեռ կոնտուրների տեղերը:

- Փակոցային գոտիչների պարամետրերի ընտրությունը.

$$L_1 = \frac{2(\omega_2 - \omega_1)R_p}{\omega_2 \omega_1}, \quad L_2 = \frac{R_p}{2(\omega_2 - \omega_1)}, \quad C_1 = \frac{1}{2R_p(\omega_2 - \omega_1)},$$

$$C_2 = \frac{\omega_2 - \omega_1}{2R_p \omega_2 \omega_1}. \quad (7.6)$$

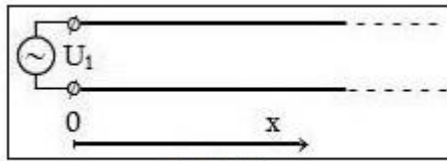


Նկ.7.7

m տեսակի գոտիչներ

Վերևում բերված գոտիչները համարվում են k տեսակի գոտիչներ, որոնք կատարյալ գտում չեն կարող իրականացնել: Ավելի կատարյալ գոտիչ են m տեսակի գոտիչները, որոնք ստացվում են k տեսակի գոտիչների սխեմաների որոշակի բարդացումով: Եթե k տեսակի գոտիչի հաջորդական թևի դիմադրության m մասը թողենք հաջորդական, իսկ $1-m$ -ը տեղափոխենք զուգահեռ թև, ապա ստացվածը կլինի m տեսակի գոտիչ: Նկ.7.7-ում բերված է ստորին հաճախության գոտիչի k և m տեսակի բջիջների սխեմաները:

7.2. Անկորուստ երկհաղորդալարային երկար գիծ (Նկ.7.8).



Նկ.7.8

Գծի մուտքին կիրառված է $\dot{U}_1 = \dot{U}_0 e^{j\omega t}$ լարում: Այս դեպքում գծով կտարածվի ω հաճախության էլեկտրամագնիսական ալիք:

• Ալիքային հավասարումները.

ա) լարման համար՝ $\frac{\partial^2 U}{\partial x^2} - \frac{1}{v^2} \frac{\partial^2 U}{\partial t^2} = 0$: (7.7)

բ) հոսանքի համար՝ $\frac{\partial^2 I}{\partial x^2} - \frac{1}{v^2} \frac{\partial^2 I}{\partial t^2} = 0$, (7.8) որտեղ $v = \frac{1}{\sqrt{L_0 C_0}}$ -ն

ալիքի արագությունն է: Այստեղ L_0 -ն գծի միավոր երկարության ինդուկտիվությունն է, իսկ C_0 -ն՝ ունակությունը:

• Ալիքային թիվ.

$$k = \frac{\omega}{v} = \frac{2\pi}{\lambda}, \quad (7.9)$$

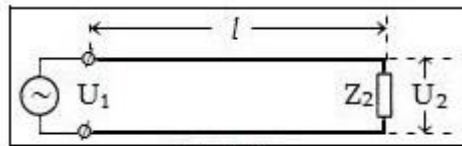
որտեղ λ -ն ալիքի երկարությունն է:

• **Գծի ալիքային դիմադրությունը.**

$$\frac{U}{I} = \frac{\omega L_0}{k} = \frac{\omega L_0}{\frac{\omega}{v}} = vL_0 = \sqrt{\frac{L_0}{C_0}} = \rho: \quad (7.10)$$

Ալիքային դիմադրության իմաստը նրանում է որ եթե, գիծը բեռնենք այդ դիմադրությամբ, ապա գծում անդրադարձում չի լինի: Անկորուստ գծերի դեպքում ալիքային դիմադրությունն իրական մեծություն է և կախված չէ հաճախությունից:

7.3. Բեռնավորված գիծ (Նկ.7.9).



Նկ.7.9

• **Անդրադարձման գործակից.**

ա) ըստ լարման՝
$$\dot{p}_U = \frac{\dot{U}_{2անդ}}{\dot{U}_{2ուղ}}, \quad (7.11)$$

բ) ըստ հոսանքի՝
$$\dot{p}_I = \frac{\dot{i}_{2անդ}}{\dot{i}_{2ուղ}}: \quad (7.12)$$

• **Գծի հոսանքը.**

$$i = \frac{1}{\rho}(\dot{U}_{ուղ} - \dot{U}_{անդ}): \quad (7.13)$$

(7.13)-ում մեծությունները վերցվում են գծի մուտքից հաշված:

• **Լարումը և հոսանքը գծի ելքում.**

$$\dot{U}_2 = \dot{U}_{2ուղ} + \dot{U}_{2անդ}, \quad \dot{I}_2 = \frac{1}{\rho}(\dot{U}_{2ուղ} - \dot{U}_{2անդ}): \quad (7.14)$$

• **Գծի բեռի դիմադրությունը.**

$$Z_2 = \frac{\dot{U}_2}{\dot{I}_2} = \rho \frac{\dot{U}_{2ուղ} + \dot{U}_{2անդ}}{\dot{U}_{2ուղ} - \dot{U}_{2անդ}} = \rho \frac{1 + \dot{p}_U}{1 - \dot{p}_U}: \quad (7.15)$$

- Անդրադարձման գործակցի կախումը բեռի դիմադրությունից.

$$\dot{p}_U = \frac{Z_2 - \rho}{Z_2 + \rho}, \quad \dot{p}_I = -\frac{Z_2 - \rho}{Z_2 + \rho}; \quad (7.16)$$

- Անդրադարձման գործակիցը տարբեր ռեժիմներում.

1. Պարապ ընթացքի ռեժիմ՝ $Z_2 \rightarrow \infty$: Այս դեպքում $p_U = 1$, $p_I = -1$: Սա նշանակում է, որ տեղի ունի լրիվ անդրադարձում (ուղիղ և անդրադարձող ալիքներն իրար հավասար են): Սա կանգուն ալիքի առաջացման պայմանն է:

2. Կարճ միացման ռեժիմ՝ $Z_2 = 0$: Այս դեպքում $p_U = -1$, $p_I = 1$: Սա նշանակում է, որ լարման ընկնող և անդրադարձող ալիքները հակափուլ են:

3. $Z_2 = \rho$: Այս դեպքում գիծը բեռնավորված է ալիքային դիմադրությանը հավասար ակտիվ դիմադրությամբ: Այս դեպքում $p_U = p_I = 0$, այսինքն՝ անդրադարձող ալիք չկա և ունենք միայն վազող ալիք:

- Գծի մուտքային դիմադրություն.

$$Z_1 = \frac{\dot{U}_1}{\dot{I}_1} = Z_{\text{մուտք}} = Z_2 \frac{1 + j \frac{\rho}{Z_2} \text{tgkl}}{1 + j \frac{Z_2}{\rho} \text{tgkl}}; \quad (7.17)$$

- Գծի մուտքային դիմադրությունը տարբեր ռեժիմներում.

1. Պարապ ընթացքի ռեժիմ՝ $Z_2 \rightarrow \infty$, ապա $Z_{1\infty} = -j\rho \text{ctgkl}$,

2. Կարճ միացման ռեժիմ՝ $Z_2 = 0$, ապա $Z_{10} = j\rho \text{tgkl}$,

3. $Z_2 = \rho$: Գիծը բեռնավորված է ալիքային դիմադրությանը հավասար ակտիվ դիմադրությամբ: Այս դեպքում $Z_1 = \rho$:

Կանգուն ալիքների հանգույցների դիրքերը գծում

- Պարապ ընթացքի ռեժիմ՝ $l = (2n + 1) \frac{\lambda}{4}$: (7.18)

- Կարճ միացման ռեժիմ՝ $l = n \frac{\lambda}{2}$: (7.19)

- Կանգուն ալիքի լայնույթը, երբ գիծը վերջում փակված չէ՝ $Z_2 \rightarrow \infty$:

$$U_m = \dot{U}_0 \frac{\cos k(l-x)}{\cos kl} : \quad (7.20)$$

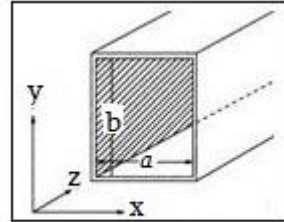
$$i_m(x) = -\frac{\dot{U}_0 \sin k(l-x)}{j\rho \cos kl} : \quad (7.21)$$

7.4. Ուղղանկյուն ալիքատար (Նկ.7.10).

- Ալիքի կրիտիկական հաճախությունը և երկարությունը.

$$\omega_{լր} = \pi c \sqrt{\left(\frac{m}{a}\right)^2 + \left(\frac{n}{b}\right)^2} ;$$

$$\Lambda = \lambda \frac{1}{\sqrt{1-\omega_{լր}^2/\omega^2}} = \frac{\lambda}{\sqrt{1-\lambda^2/\lambda_{լր}^2}} : \quad (7.22)$$



Նկ.7.10

Այստեղ $\lambda_{լր} = \frac{2\pi c}{\omega_{լր}}$, $\lambda = \frac{2\pi c}{\omega}$: $\lambda > \lambda_{լր}$ ալիքներն ալիքատարում չեն տարածվում:

Այն ալիքները, որոնք համապատասխանում են m -ի և n -ի փոքրագույն արժեքներին կոչվում են պարզագույն կամ հիմնական ալիքներ: Սակայն E_{m0} կամ E_{0n} ալիքները հիմնական լինել չեն կարող, հետևաբար E տիպի հիմնական ալիքը E_{11} ալիքն է: Այս ալիքի համար $H_z = 0$: Իսկ այն ալիքները, որոնց համար $E_z = 0$ կոչվում են H_{mn} ալիքներ, և դրանց հիմնական ալիքներն են H_{01} և H_{10} ալիքները:

- Ալիքի տարածման արագությունն ալիքատարում.

ա) փուլային արագությունը՝ $v_{փ} = \frac{c}{\sqrt{1-\omega_{լր}^2/\omega^2}} : \quad (7.23)$

բ) խմբային արագությունը՝ $v_{խմ} = c\sqrt{1-\frac{\omega_{լր}^2}{\omega^2}} < c : \quad (7.24)$

Եթե $\omega > \omega_{լր}$, ապա $v_{փ} > c$: Սակայն $v_{խմ} \cdot v_{փ} = c^2$:

7.5. Ուղղանկյուն ծավալային ռեզոնատոր (Նկ.7.11).

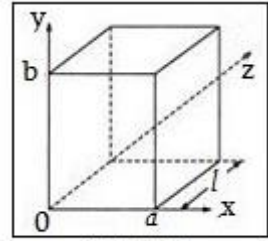
- Ռեզոնատորի սեփական հաճախությունները.

$$\omega_{mnl} = \pi c \sqrt{\left(\frac{m}{a}\right)^2 + \left(\frac{n}{b}\right)^2 + \left(\frac{l}{l}\right)^2}: \quad (7.25)$$

Այս ռեզոնատորում պարզագույն դաշտին համապատասխանում է mnl նշիչների միայն 110 համակցությունը:

- Ռեզոնատորի պարզագույն դաշտի հաճախությունը.

$$\omega = \frac{\pi c}{a} \sqrt{2} \quad \text{կամ} \quad f = \frac{c}{a\sqrt{2}}: \quad (7.26)$$



Նկ.7.11

Խնդիրներ

Էլկտրական գոտիչներ*

7.1. 500 Օհմ ակտիվ դիմադրությամբ բեռնավորված ստորին հաճախությունների ռեակտիվ գոտիչն ունի զրոյից մինչև 3 կՀց թափանցիկության շերտ: Որոշե՛ք գոտիչի պարամետրերը:

7.2. $R_p = 2$ կՕմ բեռի հետ համաձայնեցված ստորին հաճախությունների գոտիչի սահմանային հաճախությունը հավասար է 1 կՀց: Որոշե՛ք T- և Ս-աձև բջիջների ինդուկտիվությունը և ունակությունը:

7.3. T-աձև միացման դեպքում ստորին հաճախությունների գոտիչի յուրաքանչյուր բջիջում $C = 0,23$ մկՖ: Որոշե՛ք բջջի ինդուկտիվությունները և սահմանային հաճախությունը 600 Օհմ համաձայնեցված բեռի դեպքում:

7.4. Վերին հաճախությունների գոտիչը Ս-աձև բջիջում պարունակում է 8 մՖ մեկ ունակություն և յուրաքանչյուրը 20 մՀն

* Անհրաժեշտ նկարները բերված են պատասխաններում:

երկու ինդուկտիվություն: Որոշե՛ք սահմանային հաճախությունը և բեռի դիմադրությունը, որի հետ գոտիչը կարող է համաձայնեցվել $f \rightarrow \infty$ հաճախության վրա:

7.5. 10 կՀց կասեցման հաճախությամբ վերին հաճախությունների ռեակտիվ գոտիչը համաձայնեցված է 1կՕմ դիմադրությամբ բեռի հետ: Որոշե՛ք գոտիչի պարամետրերը:

7.6. Հաշվարկե՛ք T- և II-աձև բջիջներով վերին հաճախությունների գոտիչ՝ 3 կՀց կասեցման հաճախության և 800 Օհմ բեռի դիմադրության դեպքում:

7.7. Որոշե՛ք K տեսակի շերտային գոտիչի T-աձև բջջի ինդուկտիվությունները և ունակությունները, եթե $f_{u1} = 10$ կՀց, $f_{u2} = 12$ կՀց և $R_p = 300$ Օհմ:

7.8. Շերտային գոտիչն ունի $100 \div 125$ կՀց թափանցիկության շերտ և բեռնավորված է 2,5կՕմ ակտիվ դիմադրությամբ: Որոշե՛ք գոտիչի ինդուկտիվությունները և ունակությունները:

7.9. Շերտային գոտիչն ունի $460 \div 470$ կՀց թափանցիկության շերտ և բեռնավորված է 1 կՕմ ակտիվ դիմադրությամբ: Որոշե՛ք գոտիչի պարամետրերը:

7.10. Փակոցային գոտիչը բեռնավորված է 13 կՕմ ակտիվ դիմադրությամբ և ունի $60 \div 65$ կՀց անթափանցիկության շերտ: Որոշե՛ք դրա պարամետրերը:

7.11. Փակոցային գոտիչն ունի $120 \div 130$ կՀց անթափանցիկության շերտ: Տրված է $L_1 = 25$ մՀն, $C_2 = 100$ պՖ: Որոշե՛ք համաձայնեցված բեռի դիմադրությունը, L_2 ինդուկտիվությունը և C_1 ունակությունը: Հաշվարկը կատարել T- և II-աձև բջիջների համար:

7.12. K տեսակի ստորին հաճախությունների գոտիչի T-աձև բջիջը պարունակում է յուրաքանչյուրը 0,12 Հն երկու ինդուկտիվություն և 0,12 մկՖ մեկ ունակություն: Ինչպե՞ս կփոխվեն

այդ բջջի սխեման և համապատասխան պարամետրերը, եթե անցնենք m տեսակի գոտիչի:

Երկար գծեր

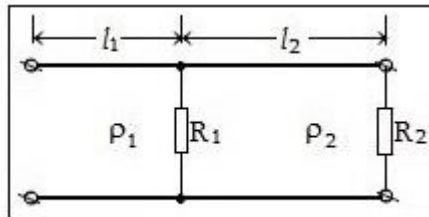
7.13. Որոշե՛ք համառանցք մալուխի գծային պարամետրերը, եթե նրա ալիքային դիմադրությունը 70 Օհմ է, իսկ էլեկտրամագնիսական ալիքի տարածման արագությունը մալուխում՝ $2 \cdot 10^6 \text{ մ/վ}$:

7.14. Համառանցք մալուխը աշխատում է վազող ալիքի ռեժիմում: Որոշե՛ք գծային ինդուկտիվությունը, եթե բեռի դիմադրությունը 50 Օհմ է, իսկ գծային ունակությունը՝ $C_0 = 125 \text{ պՖ/մ}$:

7.15. 200 մ երկարության երկհաղորդալարային գծում տարածվում են 50 Հգ հաճախության ալիքներ, իսկ 5 սմ երկարության մեկ այլ գծում՝ 6 ԳՀգ հաճախության ալիքներ: Արդյոք կարելի է այդ գծերն անվանել երկար:

7.16. Գիծը բեռնավորված է 40 Օհմ ակտիվ դիմադրությամբ: Գծի երկարությունը 10 մ է, իսկ ալիքային դիմադրությունը՝ 160 Օհմ : Որոշե՛ք գծի մուտքային դիմադրությունը $7,5U$ Հգ և $15 U$ Հգ հաճախությունների դեպքում:

7.17. Որոշե՛ք Նկ. 7.12-ում պատկերված շղթայի մուտքային դիմադրությունը, եթե $l_1 = \lambda/2$, $l_2 = 3/4\lambda$, $\rho_1 = 100 \text{ Օհմ}$, $\rho_2 = 200 \text{ Օհմ}$, $R_1 = 200 \text{ Օհմ}$, $R_2 = 100 \text{ Օհմ}$:



Նկ.7.12

7.18. Պարապ ընթացքի գծի ելքում լարումը փոխվում է հետևյալ օրենքով՝ $U = 100 \cos \omega_0 t$ Վ: Կառուցե՛ք U լարման և I հոսանքի ժամանակային դիագրամները գծի ելքից l հեռավորության վրա գտնվող կտրվածքում, որոշե՛ք նաև մուտքային դիմադրությունն այդ կտրվածքում: Գծի ալիքային դիմադրությունը՝ $\rho = 100$ Օհմ: Դիտարկե՛ք նաև հետևյալ դեպքերը՝ **1.** $l = 1/8\lambda$, **2.** $l = 1/6\lambda$, **3.** $l = 1/4\lambda$, **4.** $l = 1/3\lambda$, **5.** $l = 1/2\lambda$:

7.19. Որոշե՛ք համառանցք մալուխի ալիքային դիմադրությունը, եթե 100 ՄՀգ հաճախության դեպքում նրա պարապ ընթացքի l կտորն ունի $Z_{1\infty} = -j24,4 \text{ Օհմ}$ մուտքային դիմադրություն, իսկ կարճ միացման նույն կտորը՝ $Z_{10} = j231 \text{ Օհմ}$ մուտքային դիմադրություն: Ինչպիսի՞ն է դիտարկվող մալուխի l երկարությունը:

7.20. 100 մ ալիքի երկարության դեպքում 15 մ երկարության և 500 Օհմ ալիքային դիմադրությամբ գիծը բեռնավորված է $Z_2 = (100 + j300) \text{ Օհմ}$ կոմպլեքս դիմադրությամբ: Որոշե՛ք գծի մուտքային դիմադրությունը:

7.21. Պարապ ընթացքի գիծը, որն ունի 50 Օհմ ալիքային դիմադրություն, 10 մ ալիքի երկարության գեներատորի համար հանդիսանում է այնպիսի բեռ, ինչպես 1 մկՀն ինդուկտիվության կոճը: Որոշե՛ք գծի այն փոքրագույն երկարությունը, որը բավարարում է այդ պայմանին:

7.22. Գիծը, որի ալիքային դիմադրությունը 600 Օհմ է բեռնավորված է 2 մկՀն ինդուկտիվությամբ: Գիծը սնող աղբյուրի հաճախությունը 100 ՄՀգ է: Որոշե՛ք լարման մոտակա հանգույցի հեռավորությունը գծի ելքից:

7.23. 100 Օհմ ալիքային դիմադրությամբ գիծը բեռնավորված է R_p ակտիվ դիմադրությամբ: Գծում լարման առավելագույն լայնույթը 500 Վ է, իսկ փոքրագույնը՝ 300 Վ: Որոշե՛ք բեռի դիմադրությունը, եթե գծի ելքում լարման լայնույթը առավելագույնն է:

7.24. Գծի մուտքին ընկնող լարման ալիքի լայնույթը 100 Վ է, իսկ գծի ելքում անդրադարձման գործակիցը՝ $p_{\text{ու}} = 0,6$: Գծի ալիքային դիմադրությունը 100 Օհմ է: Որոշե՛ք անդրադարձող ալիքի լարման լայնույթը, ինչպես նաև գծում լարման և հոսանքի լայնույթների առավելագույն և փոքրագույն արժեքները:

7.25. 100 ՄՀց հաճախության սինուսոիդային էլՇՈւ-ի աղբյուրը միացված է l_0 երկարության պարապ ընթացքի գծի մուտքին: Գծի ալիքային դիմադրությունը 100 Օհմ է, իսկ էլՇՈւ-ի լայնույթը՝ 100 Վ: Որոշե՛ք գծի ելքում լարման լայնույթը հետևյալ դեպքերում՝ 1. $l_0 = 37,5$ սմ; 2. $l_0 = 112,5$ սմ; 3. $l_0 = 150$ սմ; 4. $l_0 = 225$ սմ:

7.26. 75 սմ երկարության և 100 Օհմ ալիքային դիմադրությամբ գիծը ելքում կարճ է միացած և սնվում է 100 ՄՀց հաճախության էլՇՈւ-ի աղբյուրից: Որոշե՛ք գծի ելքային հոսանքը, եթե էլՇՈւ-ի լայնույթը 100 Վ է:

7.27. $l = 4$ մ երկարության պարապ ընթացքի գծի մուտքին միացված է $f = 100$ ՄՀց հաճախության սինուսոիդային էլՇՈւ-ի աղբյուր: Գծի ալիքային դիմադրությունը 200 Օհմ է, իսկ գծի վերջում լարման լայնույթը՝ 80 Վ: Որոշե՛ք գծի մուտքային դիմադրությունը, լարումը և հոսանքը:

Ուղղանկյուն ալիքատար և ռեզոնատոր

7.28. Որոշե՛ք ալիքի կրիտիկական երկարությունը $a = 48$ մմ և $b = 24$ մմ չափերով ուղղանկյուն ալիքատարում E_{11} ; E_{12} ; H_{11} և H_{12} ալիքի տեսակների համար:

7.29. Ուղղանկյուն ալիքատարի լայնական կտրվածքի չափսերն են՝ $a = 48$ մմ և $b = 24$ մմ: Որոշե՛ք ալիքի կրիտիկական երկարությունը ալիքի հետևյալ տեսակների համար՝ H_{10} ; H_{20} ; H_{01} ; H_{21} :

7.30. Ուղղանկյուն ալիքատարով ($a = 22,86$ մմ, $b = 10,16$ մմ) տարածվում է $f = 10$ ԳՀց հաճախության H_{10} տեսակի ալիք: Որոշե՛ք ալիքի կրիտիկական երկարությունը, փուլային ու խմբային արագությունները և ալիքատարի ներսում ալիքի երկարությունը:

7.31. Որոշե՛ք ծավալային ռեզոնատորի ռեզոնանսային ալիքի երկարությունը, եթե ռեզոնատորն ունի խորանարդի տեսք ($a = b = c = 7,07$ սմ) և նրանում գրգռվում է E_{110} տեսակի ալիք:

7.32. Որոշե՛ք ռեզոնանսային ալիքի երկարությունը ուղղանկյուն ծավալային ռեզոնատորում ($a = 23$ մմ, $b = 10$ մմ, $c = 23$ մմ) H_{101} տեսակի ալիքի դեպքում:

Պատասխաններ

1.1. $I = \frac{\varphi_a - \varphi_b - \varepsilon_1 + \varepsilon_2}{R_1 + R_2} = -2,5 \text{ Ա}$

1.2. Օհմի օրենքի համաձայն՝ $I_2 = \frac{U_{ab} + \varepsilon}{R} = 12 \text{ մԱ}$, իսկ Կիրխոֆի առաջին օրենքի համաձայն՝ $I_1 + I = I_2$, որտեղից $I = I_2 - I_1 = 2 \text{ մԱ}$: Տեղամասի էլՇՈւ-ի աղբյուրը հոսանքի աղբյուրով փոխարինելուց կունենանք Նկ. 1.13 բ-ի շղթան, էջ 16: Քանի որ $R = 2 \text{ կՕմ}$ դիմադրությամբ կանցնի 3 մԱ հոսանք, հետևաբար $I_{\text{ու}} = 9 \text{ մԱ}$:

1.3. **Լուծում:** Կիրխոֆի առաջին օրենքի համաձայն՝ $I_1 + I_2 - I_3 = 0$: Շղթան կազմված է երկու անկախ կոնտուրներից, որոնց համար շրջանցման ուղղություն ընտրելով ժամսլաքի պտտման ուղղությունը, Կիրխոֆի երկրորդ օրենքը կտա հետևյալ երկու հավասարումները՝

$$I_1(R_1 + R_2 + R_6) + I_3 R_7 = \varepsilon_1 - \varepsilon_2; \quad -I_3 R_7 - I_2(R_3 + R_4 + R_5) = \varepsilon_1 + \varepsilon_3:$$

Այսպիսով, անհայտ հոսանքները որոշելու համար պետք է լուծել հետևյալ հանրահաշվական հավասարումների համակարգը՝

$$\begin{cases} I_1 + I_2 - I_3 = 0, \\ I_1(R_1 + R_2 + R_6) + I_3 R_7 = \varepsilon_1 - \varepsilon_2, \\ -I_3 R_7 - I_2(R_3 + R_4 + R_5) = \varepsilon_1 + \varepsilon_3. \end{cases}$$

1.4. **Լուծում:** Որպեսզի նշված փոխարինումը համարժեք լինի, պետք է երկու տեղամասերում էլ նույն φ_1 և φ_2 պոտենցիալների համար (3 կետը ազատ է) 1 և 2 կետերի միջև դիմադրությունը նույնը լինի, ուստի՝ $R_1 + R_2 = \frac{R_{12}(R_{13} + R_{23})}{R_{12} + R_{13} + R_{23}}$: Նույն դատողությունների հիման վրա

կարող ենք գրել, որ $R_1 + R_3 = \frac{R_{13}(R_{12} + R_{23})}{R_{12} + R_{13} + R_{23}}$; $R_2 + R_3 = \frac{R_{23}(R_{12} + R_{13})}{R_{12} + R_{13} + R_{23}}$:

Հավասարումների այս համակարգից կունենանք, որ $R_1 = \frac{R_{12}R_{13}}{R_{12} + R_{13} + R_{23}}$; $R_2 = \frac{R_{12}R_{23}}{R_{12} + R_{13} + R_{23}}$; $R_3 = \frac{R_{13}R_{23}}{R_{12} + R_{13} + R_{23}}$: Այս փոխարինումը և արդյունքները ճիշտ են նաև ռեակտիվ դիմադրությունների առկայության դեպքում: Այս դեպքում հարմար է վերցնել «եռանկյունաձև» տեղամասերի \dot{Z}_{12} , \dot{Z}_{13} և \dot{Z}_{23} կոմպլեքս դիմադրությունները և հա-

մարժեք «աստղաձև» միացման թևերի \dot{Z}_1 , \dot{Z}_2 և \dot{Z}_3 կոմպլեքս դիմադրությունների համար կունենանք՝

$$\dot{Z}_1 = \frac{\dot{Z}_{12}\dot{Z}_{13}}{\dot{Z}_{12}+\dot{Z}_{13}+\dot{Z}_{23}}; \quad \dot{Z}_2 = \frac{\dot{Z}_{12}\dot{Z}_{23}}{\dot{Z}_{12}+\dot{Z}_{13}+\dot{Z}_{23}}; \quad \dot{Z}_3 = \frac{\dot{Z}_{13}\dot{Z}_{23}}{\dot{Z}_{12}+\dot{Z}_{13}+\dot{Z}_{23}}. \quad (1)$$

Եթե ցանկանանք հակառակ անցումը կատարել, ապա պետք է հայտնի \dot{Z}_1 , \dot{Z}_2 և \dot{Z}_3 կոմպլեքս դիմադրություններով որոշել \dot{Z}_{12} , \dot{Z}_{13} և \dot{Z}_{23} դիմադրությունները: (1) հավասարումների համակարգից կունենանք՝

$$\dot{Z}_{12} = \dot{Z}_1 + \dot{Z}_2 + \frac{\dot{Z}_1 \dot{Z}_2}{\dot{Z}_3}, \quad \dot{Z}_{13} = \dot{Z}_1 + \dot{Z}_3 + \frac{\dot{Z}_1 \dot{Z}_3}{\dot{Z}_2}, \quad \dot{Z}_{23} = \dot{Z}_2 + \dot{Z}_3 + \frac{\dot{Z}_2 \dot{Z}_3}{\dot{Z}_1}.$$

1.5. $L \frac{dI}{dt} + IR = \varepsilon; \quad I = \frac{\varepsilon}{R} \left(1 - e^{-\frac{R}{L}t}\right):$

1.6. $L \frac{dI}{dt} + I(R_1 + R_2) = \varepsilon(t); \quad U(t) = \frac{\varepsilon_0 R_2}{R_1 + R_2} \left(1 - e^{-\frac{R_1 + R_2}{L}t}\right):$

1.7. $\frac{dI}{dt} + \frac{1}{RC}I = -\frac{\beta \varepsilon_0}{R} e^{-\beta t}, \quad t > 0:$

1.8. $I = \frac{U_0}{R} e^{-\delta t}$, որտեղ $\delta = \frac{C_1 + C_2}{RC_1 C_2}$; $U_1 = \frac{U_0}{C_1 + C_2} (C_1 + C_2 e^{-\delta t});$

$U_2 = \frac{C_1 U_0}{C_1 + C_2} (1 - e^{-\delta t}):$

1.9. $I(t) = \frac{\varepsilon}{R} (1 - e^{-Rt/L}), \quad U_L = \varepsilon e^{-Rt/L}.$

1.10. $I = \frac{\varepsilon}{R} e^{-Rt/L}:$

1.11. $\frac{dU}{dt} + \frac{R_1 R_2}{L(R_1 + R_2)} U = \frac{R_1}{R_1 + R_2} \varepsilon_0 \delta(t)$, որտեղ $\delta(t)$ -ն Դիրակի ֆունկցիան

է: $U(t) = \varepsilon_0 e^{-\frac{R_1 R_2}{L(R_1 + R_2)}t}$, եթե $t > 0:$

1.12. $\frac{dI_2}{dt} + \frac{R_1 + R_2}{R_1 R_2 C} I_2 = \frac{\varepsilon}{R_1 R_2 C}; \quad I_2 = \frac{\varepsilon}{R_1 + R_2} \left(1 - e^{-\frac{R_1 + R_2}{R_1 R_2 C}t}\right):$

1.13. $\frac{d^2 U}{dt^2} + \frac{1}{RC} \frac{dU}{dt} + \frac{1}{LC} U = \frac{d^2 \varepsilon}{dt^2}$

1.14. $\frac{dI_L}{dt} + \frac{R_1 R_2}{L(R_1 + R_2)} I_L = \frac{R_1}{L(R_1 + R_2)} \varepsilon; \quad I_L = \frac{\varepsilon}{R_2} \left(1 - e^{-\frac{R_1 R_2}{L(R_1 + R_2)}t}\right):$

1.15. $\frac{d^2 U}{dt^2} + 2\beta \frac{dU}{dt} + \omega_0^2 U = 0$, որտեղ $2\beta = \frac{R}{L}$, $\omega_0^2 = \frac{1}{LC}$:

$U_C = U_0 e^{-\beta t} \cos \omega t$, որտեղ $\omega = \sqrt{\omega_0^2 - \beta^2}$ և $\beta < \omega_0$: **Տե՛ս 1.31-ի լուծումը:**

1.16. $I_2(t) = \frac{\varepsilon}{R_2} (1 - e^{-t/\tau})$, որտեղ $\tau = \frac{L(R_1 + R_2)}{R_1 R_2}$:

1.17. $U(t) = \frac{\varepsilon R_2}{R_2 + R_1} \left(1 - e^{-\frac{R_2 + R_1}{R_2 R_1 C}t}\right) = 8(1 - e^{-12.5 \cdot 10^3 t})$ Վ:

1.18. $I_L = \frac{U}{R_1} \cdot \frac{\alpha}{\alpha - \beta} (e^{-\beta t} - e^{-\alpha t})$, որտեղ $\alpha = \frac{R_1 R_2}{L(R_1 + R_2)}$.

1.19. **Լուծում:** Օգտվելով Կիրխոֆի օրենքներից՝ կունենանք՝

$$\begin{cases} I = I_L + I_R, \\ I r_i + U = \varepsilon, & U = R I_R, \\ L \frac{dI_L}{dt} + r I_L - R I_R = 0: \end{cases}$$

$U = \varepsilon - (I_L + I_R)r_i = \frac{R}{r_i + R}\varepsilon - \frac{r_i R}{r_i + R}I_L$: Նշանակենք $R_0 = \frac{r_i R}{r_i + R}$, և I_L -ը որոշելու համար կազմենք դիֆերենցիալ հավասարում՝ $L \frac{dI_L}{dt} + (r + R_0)I_L = \frac{R\varepsilon}{r_i + R}$, որի ընդհանուր լուծումը կլինի՝ $I_L = Ae^{-t/\tau} + \frac{R\varepsilon}{(r_i + R)(r + R_0)}$, որտեղ $\tau = \frac{L}{r + R_0}$:

$t = 0$ պահին $I_L = 0$, ուստի A -ի համար ստանում ենք՝ $A = -\frac{\varepsilon R}{(r_i + R)(r + R_0)} = -\frac{R_0}{r_i} \frac{\varepsilon}{r + R_0}$ և $I_L = \frac{R_0}{r_i} \frac{\varepsilon}{r + R_0} (1 - e^{-t/\tau})$:

$U = L \frac{dI_L}{dt} + r I_L = \frac{R_0}{r_i} \frac{\varepsilon}{r + R_0} (r - e^{-t/\tau})$: Սրանք լուծումներն են $t \geq 0$ և $t \leq t_1$ ժամանակային միջակայքի համար:

$t > t_1$ պահին $L \frac{dI_L}{dt} + (r + R)I_L = 0$, որտեղից $I_L = A_1 e^{-\frac{t}{\tau_1}}$, որտեղ $\tau_1 = \frac{L}{r + R}$: A_1 հաստատունը կորոշենք, օգտվելով այն հանգամանքից, որ հոսանքի ուժը ժամանակից կախված կարող է անընդհատ փոփոխվել, հետևաբար $I_L(t_1) = \frac{R_0}{r_i} \frac{\varepsilon}{r + R_0} (1 - e^{-\frac{t_1}{\tau}}) = A_1 e^{-\frac{t_1}{\tau_1}}$: Որտեղից որոշելով A_1 -ը, կունենանք հոսանքի փոփոխման օրենքը բանալին անջատելուց հետո՝ $I_L = \frac{R_0}{r_i} \frac{\varepsilon}{r + R_0} (1 - e^{-\frac{t_1}{\tau}}) e^{-\frac{t-t_1}{\tau}}$: Քանի որ $t > t_1$ պահին $I_R = -I_L$, ուստի $U = -I_L R = \frac{R_0}{r_i} \frac{R\varepsilon}{r + R_0} (e^{-\frac{t_1}{\tau}} - 1) e^{-(t-t_1)/\tau}$:

1.20. **Լուծում:** **Խնդրի** շղթան պատկերված է Նկ.1.18-ում: Հաստատված ռեժիմում կոնդենսատորի լարումը հավասարվում է աղբյուրի լարմանը՝ $U_C = \varepsilon_1 = 5$ Վ, $t < 0$ դեպքում, իսկ երբ $t \rightarrow \infty$, $U_C = \varepsilon_2 = 10$ Վ: Անցումային պրոցեսում U_C լարումը որոշելու համար կազմենք դիֆերենցիալ հավասարումը $t \geq 0$ դեպքում՝ $RC \frac{dU_C}{dt} + U_C = \varepsilon_2$, որի լուծումը կլինի՝ $U_C = Ae^{-t/RC} + \varepsilon_2$, որտեղ A հաստատունը որոշելու համար պետք է նկատի ունենալ, որ $t = 0_-$ -ում

$U_C(0_-) = U_C(0) = \varepsilon_1$, որտեղից կստանանք $A = \varepsilon_1 - \varepsilon_2 = -5\text{Վ}$:

Հետևաբար $U_C = (\varepsilon_1 - \varepsilon_2)e^{-\frac{t}{RC}} + \varepsilon_2 = 10 - 5e^{-10^6 t}$:

Շղթայի մուտքային հոսանքը՝

$$I = C \frac{dU_C}{dt} = \frac{\varepsilon_2 - \varepsilon_1}{R} e^{-\frac{t}{RC}} = 10^{-3} e^{-10^6 t} \text{Ա}:$$

1.21. $\frac{dU}{dt} + \frac{1}{\tau} U = \frac{R_2}{R_1 + R_2} \frac{d\varepsilon}{dt}$, $\frac{dI_L}{dt} + \frac{1}{\tau} I_L = \frac{R_2}{R_1 + R_2} \frac{\varepsilon}{L}$, որտեղ $\tau = \frac{L(R_1 + R_2)}{R_1 R_2}$:

1.22. $\frac{d^2 I_L}{dt^2} + \frac{1}{RC} \frac{dI_L}{dt} + \frac{1}{LC} I_L = \frac{1}{L} \frac{d\varepsilon}{dt}$:

1.23. $\frac{dU}{dt} + \frac{1}{\tau} U = \frac{R_3}{R_{12} + R_3} \frac{d\varepsilon_h}{dt} + \frac{1}{\tau} \varepsilon_h$, որտեղ $\tau = (R_{12} + R_3)C$, $R_{12} = \frac{R_1 R_2}{R_1 + R_2}$,

$\varepsilon_h = \varepsilon \frac{R_2}{R_1 + R_2}$:

1.24. $\frac{d^2 U}{dt^2} + \left(\frac{1}{R_1 C_1} + \frac{1}{R_2 C_2} + \frac{1}{R_1 C_2} \right) \frac{dU}{dt} + \frac{1}{R_1 C_1 R_2 C_2} U = \frac{1}{R_1 C_2} \frac{d\varepsilon}{dt}$:

1.25. $\frac{d^2 U}{dt^2} + \frac{1}{RC} \frac{dU}{dt} + \frac{1}{LC} U = \frac{1}{RC} \frac{d\varepsilon}{dt}$, $\frac{d^2 I_L}{dt^2} + \frac{1}{RC} \frac{dI_L}{dt} + \frac{1}{LC} I_L = \frac{1}{RCL} \varepsilon$:

1.26. $\frac{d^2 I_L}{dt^2} + \frac{r_L + r_C}{L} \frac{dI_L}{dt} + \frac{1}{LC} I_L = \frac{r_C}{C} \frac{dI}{dt} + \frac{1}{LC} I$,

$\frac{d^2 I_C}{dt^2} + \frac{r_L + r_C}{L} \frac{dI_C}{dt} + \frac{1}{LC} I_C = \frac{d^2 I}{dt^2} + \frac{r_L}{L} \frac{dI}{dt}$,

$\frac{d^2 U}{dt^2} + \frac{r_L + r_C}{L} \frac{dU}{dt} + \frac{1}{LC} U = r_C \frac{d^2 I}{dt^2} + \left(\frac{1}{C} + \frac{r_L r_C}{L} \right) \frac{dI}{dt} + \frac{r_L}{LC} I$:

1.27. $(1 - k^2) \frac{d^2 I_2}{dt^2} + \left(\frac{R_1}{L_1 + L_0} + \frac{R_2}{L_2 + L_0} \right) \frac{dI_2}{dt} + k^2 \frac{R_1 R_2}{L_0^2} I_2 = \frac{k^2 d\varepsilon}{L_0 dt}$, որտեղ

$k^2 = \frac{L_0^2}{(L_1 + L_0)(L_2 + L_0)}$:

1.28. $U = 20(1 - e^{-10^6 t})$ ՎՎ, 20 ՎՎ: $P = 20(1 - 2e^{-10^6 t} + e^{-2 \cdot 10^6 t})$ մկՎտ, 20 մկՎտ; $W = 20(e^{-10^6 t} + 2e^{-10^6 t} - 0,5e^{-2 \cdot 10^6 t} - 1,5)$ պՋ, 170 պՋ:

1.29. **Լուծում:** ա) U_C -ի համար դիֆերենցիալ հավասարումը կունենա հետևյալ տեսքը՝ $RC \frac{dU_C}{dt} + U_C = \varepsilon$, որի լուծումն է՝ $U_C = A e^{-\frac{t}{RC}} + \varepsilon$:

Ինտեգրման A հաստատունը կորոշենք $t = 0$ պահին $U_C = 0$ պայմանից՝ $A = -\varepsilon$: $U_C = \varepsilon \left(1 - e^{-\frac{t}{RC}} \right)$: բ) $P(t) = I(t)\varepsilon = \frac{\varepsilon}{R} e^{-\frac{t}{RC}} \cdot \varepsilon =$

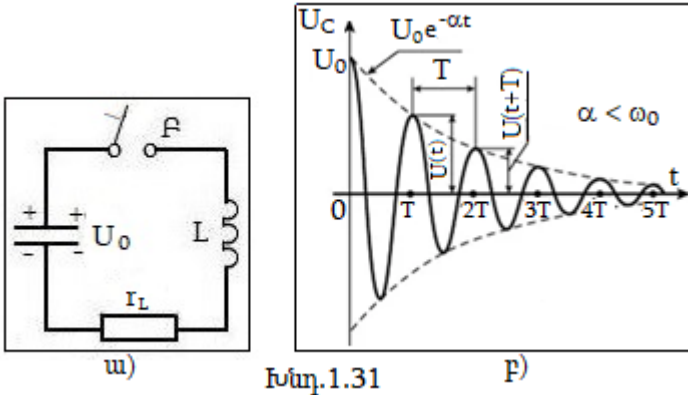
$= \frac{\varepsilon^2}{R} e^{-t/RC}$, $\bar{P} = \frac{1}{t_1} \int_0^{t_1} P(t) dt = \frac{C\varepsilon^2}{t_1} (1 - e^{-t_1/RC})$;

գ) $P_{\text{գնք}}(t) = I^2(t)R = \frac{\varepsilon^2}{R} e^{-2t/RC}$;

դ) $W = \frac{CU_C^2(t)}{2} = \frac{C\varepsilon^2}{2} (1 - e^{-t_1/RC})^2$; ե) $\eta = \frac{W(t_1)}{t_1 \bar{P}} = \frac{1}{2} (1 - e^{-t_1/RC})$:

1.30. $3 \cdot 10^9$ Օմ:

1.31. $U_m = U_0/e = 221$ Վ: **Լուծում.** Կազմենք Նկ.1.31ա-ի կոնտուրի հավասարումը՝ $L \frac{dI}{dt} + r_L I + \frac{1}{C} \int Idt = 0$, քանի որ $I = C \frac{dU_C}{dt}$, ուստի կունենանք $\frac{d^2 U_C}{dt^2} + 2\alpha \frac{dU_C}{dt} + \omega_0^2 U_C = 0$, որտեղ $2\alpha = \frac{r_L}{L}$, $\omega_0^2 = \frac{1}{LC}$: U_C -ի նկատմամբ ստացված երկրորդ կարգի դիֆերենցիալ հավասարման բնութագրական հավասարումը կլինի՝ $\gamma^2 + 2\alpha\gamma + \omega_0^2 = 0$, որտեղից $\gamma = -\alpha \pm \sqrt{\alpha^2 - \omega_0^2} = -\alpha \pm j\omega_1$, որտեղ $\omega_1 = \sqrt{\omega_0^2 - \alpha^2}$: \dot{U}_C կոմպլեքս լարման համար կունենանք՝ $\dot{U}_C(t) = A_1 e^{(-\alpha + j\omega_1)t} + A_2 e^{(-\alpha - j\omega_1)t} = e^{-\alpha t} [(A_1 + A_2) \cos \omega_1 t + j(A_1 - A_2) \sin \omega_1 t]$: Այս արտահայտության իրական մասը կլինի $U_C(t)$ -ն՝ $U_C(t) = A e^{-\alpha t} \cos \omega_1 t$: Քանի որ $t = 0$ պահին $U_C(t) = U_0$, ուստի $A = A_1 + A_2 = U_0$ և $U_C(t) = U_0 e^{-\alpha t} \cos \omega_1 t$: $U_{Cm}(t) = U_0 e^{-\alpha t}$ հետևաբար $U_{Cm}(t_1) = U_0 e^{-\alpha t_1} = 600 e^{-\frac{r_L}{2L} t_1}$:



Խնդ. 1.31

$U_C(t)$ կախվածության գրաֆիկը բերված է Նկ.1.31բ-ում: $\alpha > \omega_0$ դեպքում կոնդենսատորը կկատարի ոչ պարբերական (ապերիոդիկ) պարպում:

1.32. **Լուծում:** Կոնդենսատորի լիցքաթափման դեպքում՝

$$U(t) = U_0 e^{-t/RC}; I(t) = \frac{U_0}{R} e^{-t/RC}; P(t) = I(t)U(t) = \frac{U_0^2}{R} e^{-2t/RC};$$

$$\bar{P} = \frac{1}{t_1} \int_0^{t_1} P(t) dt, \text{ որտեղ } t_1\text{-ը պետք է որոշել } U_0/m = U_0 e^{-t_1/RC}$$

առնչությունից: Ունենում ենք $t_1 = RC \ln m$, իսկ

$$\bar{P} = \frac{U_0^2}{R^2 C \ln m} \int_0^{\ln m} e^{-2t/RC} dt = \frac{U_0^2}{R^2} \cdot \frac{m^2 - 1}{2m^2 \ln m}:$$

1.33. $U_C(t_1) = 36,8\text{Վ}; W_C(t_1) = 0,676\text{մՋ}; W_R(t_1) = 4,32\text{մՋ}:$

1.34. Լուծում. $U_{q\delta}(t) = \frac{\varepsilon}{\tau} t$, իսկ $U_C(t) = \varepsilon(1 - e^{-t/RC})$:

$k = \frac{U_{q\delta}(t_1) - U_C(t_1)}{U_{q\delta}(t_1)} \cdot 100\%:$ Նշանակենք $\frac{t_1}{\tau} = x$, կունենանք՝

$k = \frac{x - 1 + e^{-x}}{x} \cdot 100\%:$ Հաշվի առնելով, որ $x \ll 1$, $e^{-x} \approx 1 - x + \frac{x^2}{2}$:

$k = \frac{0,5x^2}{x} \cdot 100\% = 1\%$, որտեղից $x = 0,02$, հետևաբար

$\tau = \frac{t_1}{x} = 50$ մվ:

1.35. $1 - 1/e^2$:

1.36. Լուծում: Համաձայն Կիրխոֆի երկրորդ օրենքի՝

$$\varepsilon(t) = U_R + U_L:$$

1. Նկատի ունենալով, որ $U_R = IR$, $U_L = L \frac{dI}{dt}$, ուստի հոսանքը որոշելու համար դիֆերենցիալ հավասարումը կլինի՝ $L \frac{dI}{dt} + IR = \varepsilon(t)$:

2. $U_L = L \frac{dI}{dt}$ առնչությունից $I(t) = \frac{1}{L} \int U_L dt$, ուստի Կիրխոֆի երկրորդ օրենքը կլինի՝ $U_L + \frac{R}{L} \int U_L dt = \varepsilon(t)$, որն ածանցելով ըստ ժամանակի, կունենանք՝ $\frac{dU_L}{dt} + \frac{R}{L} U_L = \frac{d\varepsilon}{dt}$:

3. Օհմի օրենքի համաձայն՝ $I = \frac{U_R}{R}$, հետևաբար $\frac{dI}{dt} = \frac{1}{R} \frac{dU_R}{dt}$: Կիրխոֆի օրենքից կունենանք՝ $\frac{L}{R} \frac{dU_R}{dt} + U_R = \varepsilon(t)$:

1.37. Լուծում: $U_R + U_C = \varepsilon$ կամ $IR + \frac{q}{C} = \varepsilon(t)$: Նկատի ունենալով, որ

$I = \frac{dq}{dt}$ կամ $q = \int Idt$, կստանանք՝ **1.** $R \frac{dI}{dt} + \frac{1}{C} I = \frac{d\varepsilon}{dt}$:

2. $RC \frac{dU_C}{dt} + U_C = \varepsilon(t)$: **3.** $\frac{dU_R}{dt} + \frac{1}{RC} U_R = \frac{d\varepsilon}{dt}$:

1.38. Լուծում: $U_L + U_C = \varepsilon$ կամ $L \frac{dI}{dt} + \frac{q}{C} = \varepsilon(t)$: Նկատի ունենալով, որ

$I = \frac{dq}{dt}$ կամ $q = \int Idt$, կստանանք՝ **1.** $L \frac{d^2 I}{dt^2} + \frac{1}{C} I = \frac{d\varepsilon}{dt}$:

2. $LC \frac{d^2 U_C}{dt^2} + U_C = \varepsilon$: **3.** $\frac{d^2 U_L}{dt^2} + \frac{1}{LC} U_L = \frac{d^2 \varepsilon}{dt^2}$:

1.39. Լուծում: Հոսանքի ուժի համար կունենանք

$$L \frac{dI}{dt} + IR = \varepsilon_0 \cos \omega t \quad (1)$$

դիֆերենցիալ հավասարումը, որի լուծումը հաստատված ռեժիմում փնտրենք

$$I = A_1 \cos \omega t + A_2 \sin \omega t \quad (2)$$

տեսքով, որտեղ A_1 -ը և A_2 -ը հաստատուններ են: $\frac{dI}{dt} = -A_1 \omega \sin \omega t + A_2 \omega \cos \omega t$, սա և I -ի արտահայտությունը տեղադրենք (1) դիֆերենցիալ հավասարման մեջ, կունենանք՝

$$\begin{aligned} & -A_1 \omega L \sin \omega t + A_2 \omega L \cos \omega t + A_1 R \cos \omega t + A_2 R \sin \omega t = \\ & = \varepsilon_0 \cos \omega t \quad \text{կամ} \quad (A_2 \omega L + A_1 R) \cos \omega t + (-A_1 \omega L + A_2 R) \sin \omega t = \\ & = \varepsilon_0 \cos \omega t: \end{aligned}$$

Այս հավասարումը տեղի կունենա ժամանակի կամայական պահին, եթե այդ հավասարման աջ և ձախ մասերի սինուսների և կոսինուսների գործակիցները լինեն իրար հավասար՝

$$A_2 \omega L + A_1 R = \varepsilon_0; \quad -A_1 \omega L + A_2 R = 0:$$

Լուծելով այս երկու հավասարումների համակարգը

$$A_1 \text{ և } A_2\text{-ի նկատմամբ՝ կունենանք՝ } A_1 = \frac{R}{\omega^2 L^2 + R^2} \varepsilon_0; \quad A_2 = \frac{\omega L}{\omega^2 L^2 + R^2} \varepsilon_0:$$

A_1 և A_2 -ի այս արժեքները տեղադրելով (2)-ի մեջ և կատարելով որոշակի ձևափոխություններ, կունենանք՝

$$\begin{aligned} I &= \frac{\varepsilon_0}{\sqrt{\omega^2 L^2 + R^2}} \left(\frac{R}{\sqrt{\omega^2 L^2 + R^2}} \cos \omega t + \frac{\omega L}{\sqrt{\omega^2 L^2 + R^2}} \sin \omega t \right) = \\ &= I_0 (\cos \varphi \cdot \cos \omega t + \sin \varphi \cdot \sin \omega t), \end{aligned}$$

որտեղ

$$I_0 = \frac{\varepsilon_0}{\sqrt{\omega^2 L^2 + R^2}}, \quad \cos \varphi = \frac{R}{\sqrt{\omega^2 L^2 + R^2}}, \quad \sin \varphi = \frac{\omega L}{\sqrt{\omega^2 L^2 + R^2}}: \quad \text{Այսպիսով}$$

$$I = I_0 \cos(\omega t - \varphi), \text{ որտեղ } I_0\text{-ն հոսանքի լայնություն է, իսկ } \varphi = \arctg \frac{\omega L}{R}\text{-ն,}$$

հոսանքի փուլի շեղումն է ԷլՇՈւ-ի փուլի նկատմամբ:

1.40. Ցուցում: Լուծումը կատարելով 1.39-ի մասն, կստանանք՝

$$I = I_0 \cos(\omega t - \varphi), \text{ որտեղ } I_0 = \frac{\varepsilon_0}{\sqrt{R^2 + (1/\omega C)^2}}, \quad \operatorname{tg} \varphi = -\frac{1/\omega C}{R}:$$

1.41. Ցուցում: Լուծումը կատարելով 1.39-ի մասն՝ կստանանք՝

$$I = I_0 \cos(\omega t - \varphi), \text{ որտեղ } I_0 = \frac{\varepsilon_0}{\omega L - 1/\omega C}, \quad \varphi = \pi/2:$$

1.42. Լուծում: Էջ 24-ի Նկ.1.33ա-ի շղթայի համար $I = I_0 \cos(\omega t - \varphi)$, որտեղ I_0 -ն հոսանքի լայնույթն է, իսկ $\varphi = \arctg \frac{\omega L}{R}$: Աղբյուրի ակնթարթային հզորությունը կլինի՝

$P(t) = \varepsilon(t)I(t) = \varepsilon_0 I_0 \cos \omega t \cdot \cos(\omega t - \varphi)$, հետևաբար աղբյուրի ծախսած միջին հզորությունը մեկ պարբերության ընթացքում կլինի՝

$$\begin{aligned} \bar{P} &= \frac{1}{T} \int_0^T P(t) dt = \frac{\varepsilon_0 I_0}{T} \int_0^T \cos \omega t \cdot \cos(\omega t - \varphi) dt = \\ &= \frac{\varepsilon_0 I_0}{2T} \int_0^T [\cos(2\omega t - \varphi) + \cos \varphi] dt = \frac{\varepsilon_0 I_0}{2} \cos \varphi, \end{aligned}$$

քանի որ $\int_0^T \cos(2\omega t - \varphi) dt = 0$: Այսպիսով, $\bar{P} = \frac{\varepsilon_0 I_0}{2} \cos \varphi = \frac{\varepsilon_0}{\sqrt{2}} \frac{I_0}{\sqrt{2}} \cos \varphi = \varepsilon_q I_q \cos \varphi$: Այստեղ $\varepsilon_q = \frac{\varepsilon_0}{\sqrt{2}}$ -ը ԷլՇՈւ-ի գործող արժեքն է,

իսկ $I_q = \frac{I_0}{\sqrt{2}} = \frac{\varepsilon_0}{\sqrt{2} \sqrt{\omega^2 L^2 + R^2}}$ հոսանքի գործող արժեքն է:

$\cos \varphi = \frac{R}{\sqrt{\omega^2 L^2 + R^2}}$ -ն այստեղ կոչվում է հզորության գործակից: Ռեակտիվ դիմադրության բացակայության դեպքում (կամ $\omega = 0$, կամ $L = 0$) $\cos \varphi = 1$ և աղբյուրի ծախսած միջին հզորությունն ընդունում է առավելագույն արժեք:

1.43. Ցուցում: Էջ 25-ի Նկ.1.33 բ-ի շղթայի համար հաշվարկները պետք է կատարել 1.42. խնդրի նման:

$$\bar{P} = \frac{\varepsilon_0 I_0}{2} \cos \varphi = \frac{\varepsilon_0}{\sqrt{2}} \frac{I_0}{\sqrt{2}} \cos \varphi = \varepsilon_q I_q \cos \varphi, \quad \text{որտեղ} \quad I_0 = \frac{\varepsilon_0}{\sqrt{R^2 + (1/\omega C)^2}},$$

$$\cos \varphi = \frac{R}{\sqrt{R^2 + (1/\omega C)^2}}:$$

1.44. Ցուցում: Էջ 23-ի Նկ.1.33 գ-ի շղթայի համար հաշվարկները պետք է կատարել 1.42. խնդրի նման: $\bar{P} = 0$

1.45. Ցուցում: Էջ 24-ի Նկ.1.34-ի շղթայի համար հաշվարկները պետք է կատարել 1.42 խնդրի նման: $\bar{P} = \frac{U_0 I_0}{2} \cos \varphi = \frac{U_0}{\sqrt{2}} \frac{I_0}{\sqrt{2}} \cos \varphi = U_q I_q \cos \varphi$, որտեղ $I_0 = \frac{U_0}{\sqrt{R^2 + (\omega L - 1/\omega C)^2}}$, $\cos \varphi = \frac{R}{\sqrt{R^2 + (\omega L - 1/\omega C)^2}}$:

Ինչպես հետևում է ստացված արդյունքից, ակտիվ հզորության առավելագույն արժեքը կազմում է $I_q U_q$, իսկ դա տեղի կունենա, երբ $X_L = X_C$ ($X_L = \omega L$, $X_C = 1/\omega C$): Հետևաբար հզորությունը կարելի է ներկայացնել դիագրամի (եռանկյան) տեսքով, որտեղ ռեակտիվ և

ակտիվ հզորություններն այն ուղղանկյուն եռանկյան էջերն են, որի ներքնաձիգը $I_q U_q$ -ն է: Ուստի ռեակտիվ հզորությունը կլինի՝
 $\overline{P}_{\text{ռեակ}} = I_q U_q \sin\varphi$:

1.46. $R = 15 \text{ Ohm}$, $X_L = 10 \text{ Ohm}$:

2.1. $g = \text{Re}\left(\frac{1}{Z}\right)$, $b = \text{Im}\left(\frac{1}{Z}\right)$, եթե $Z = r + jx$, ապա $g = \frac{r}{r^2+x^2}$ և
 $b = -\frac{x}{r^2+x^2}$: Եթե $Z = |Z|e^{j\varphi}$, ապա $g = \frac{\cos\varphi}{|Z|}$ և $b = -\frac{\sin\varphi}{|Z|}$:

Նկատի ունենալով բերված արդյունքները, կունենանք՝

1. $g_1 = 3/34 \text{ Սիմ}$, $b_1 = -5/34 \text{ Սիմ}$; **2.** $g_2 = 0,033 \text{ մՍիմ}$,

$b_2 = 0,112 \text{ մՍիմ}$; **3.** $g_3 = 17,3 \text{ մՍիմ}$, $b_3 = -10 \text{ մՍիմ}$;

4. $g_4 = 0$, $b_4 = -8 \text{ մՍիմ}$; **5.** $g_5 = 0,357 \text{ մՍիմ}$, $b_5 = 0$:

2.2. 1. $r_1 = 19,5 \text{ Ohm}$, $x_1 = 7,96 \text{ Ohm}$; **2.** $r_2 = 0$, $x_2 = -8,33 \text{ Ohm}$;

3. $r_3 = 84,3 \text{ Ohm}$, $x_3 = -148 \text{ Ohm}$;

4. $r_4 = 39,2 \text{ Ohm}$, $x_4 = -53,93 \text{ Ohm}$;

2.3. Լուծում: Լարման մոդուլը կլինի $U = \sqrt{80^2 + 60^2} = 100 \text{ Վ}$,

$$\dot{U} = 100e^{j\arctg\frac{60}{80}} = 100e^{j36^{\circ}50'} \text{ Վ}, \varphi_U = 36^{\circ}50':$$

Հոսանքի մոդուլը՝ $I = \sqrt{24^2 + 7^2} = 25 \text{ Ա}$,

$$\dot{i} = 25e^{-j\arctg\frac{7}{24}} = 25e^{-j16^{\circ}15'}, \varphi_I = -16^{\circ}15':$$

Կոմպլեքս դիմադրությունը կլինի՝

$$\dot{Z} = \frac{\dot{U}}{\dot{i}} = \frac{100e^{j36^{\circ}50'}}{25e^{-j16^{\circ}15'}} = 4e^{53^{\circ}05'} = (2,4 + j3,2) \text{ Օմ}:$$

Այս արդյունքը նշանակում է, որ երկբևեռի համարժեք շղթան օժտված է $R = 2,4 \text{ Ohm}$ ակտիվ դիմադրությամբ, որին հաջորդաբար միացած է $X_L = 3,2 \text{ Ohm}$ ինդուկտիվ դիմադրություն:

\dot{Y} կոմպլեքս հաղորդականությունը կլինի՝ $\dot{Y} = \frac{1}{\dot{Z}} = \frac{1}{2,4+j3,2} = (0,15 -$

$-j0,2) \text{ Սիմ}$: Լարման և հոսանքի փուլերի տարբերությունը կլինի՝

$\varphi = \varphi_U - \varphi_I = 53^{\circ}05'$:

Լարման ակտիվ և ռեակտիվ բաղադրիչները կլինեն՝

$$U_{\text{ու}} = U \cos\varphi = 100 \cos 53^{\circ}05' \approx 60 \text{ Վ},$$

$$U_{\text{ռ}} = U \sin\varphi = 100 \sin 53^{\circ}05' \approx 80 \text{ Վ}:$$

$$I_w = I \cos \varphi = 25 \cos 53^\circ 05' \approx 15 \text{ Ա},$$

$$I_n = I \sin \varphi = 25 \sin 53^\circ 05' \approx 20 \text{ Ա}:$$

Նկատենք, որ ընդհանուր դեպքում կոմպլեքս լարման և հոսանքի կեղծ և իրական մասերը տարբերվում են դրանց ռեակտիվ և ակտիվ բաղադրիչներից: Լրիվ հզորությունը կլինի՝

$$P_{pp} = UI = 100 \cdot 25 = 2500 \text{ Վ}\cdot\text{Ա}, \text{ ակտիվ հզորությունը՝}$$

$$P_w = I^2 R = 625 \cdot 2,4 = 1500 \text{ Վտ}, \text{ ռեակտիվ հզորությունը՝}$$

$$P_n = I^2 X_L = 625 \cdot 3,2 = 2000 \text{ Վար: Կոմպլեքս հզորություն՝}$$

$\dot{P} = \dot{U}i^* = (80 + j60)(24 - j7) = 1500 + j2000$, այս արդյունքից էլ հետևում է, որ $P_w = 1500$ Վտ, $P_n = 2000$ Վար:

Երկբևեռի բարորակությունը կլինի՝ $Q_L = \frac{p_n}{p_w} = \frac{\omega L}{R_w} = \frac{2000}{1500} = \frac{3,2}{2,4} = \frac{4}{3}$, իսկ կորուստների անկյան տանգենսը՝ $\operatorname{tg} \delta = \frac{1}{Q_L} = 0,75$:

2.4. 1.-ի լուծումը.

$\dot{Z} = \frac{\dot{U}}{i} = \frac{-40 + j40}{2 + j4} = 4 + j12 = 4\sqrt{10}e^{j\arctg 3} = 4\sqrt{10}e^{j72^\circ}$ Օհմ: Կոմպլեքս դիմադրության այս արժեքը նշանակում է, որ երկբևեռի համարժեք շղթան օժտված է $R = 4$ Օհմ ակտիվ դիմադրությամբ, որին հաջորդաբար միացած է $X_L = 12$ Օհմ ինդուկտիվ դիմադրություն: Դա նշանակում է նաև, որ լարման և հոսանքի փուլերի տարբերությունը՝ $\Delta \varphi = \varphi_U - \varphi_I = 72^\circ$: Կոմպլեքս հաղորդականությունը կլինի՝ $\dot{Y} = \frac{1}{\dot{Z}} = \frac{1}{4 + j12} = (0,025 - j0,075) = \frac{1}{4\sqrt{10}}e^{-j72^\circ}$ Սիմ:

Լարման և հոսանքի ակտիվ և ռեակտիվ բաղադրիչները կլինեն՝

$$U_w = U \cos \varphi = 40\sqrt{2} \cos 72^\circ \approx 17 \text{ Վ}, U_n = 40\sqrt{2} \sin 72^\circ \approx 53,74 \text{ Վ}:$$

$$I_w = I \cos \varphi = \sqrt{20} \cos 72^\circ \approx 1,34 \text{ Ա}, I_n = \sqrt{20} \sin 72^\circ \approx 4,25 \text{ Ա}:$$

Լրիվ հզորությունը՝ $P_{pp} = UI = 40\sqrt{2} \cdot \sqrt{20} \approx 253$ Վ\cdotԱ,

$$P_w = I^2 R = 20 \cdot 4 = 80 \text{ Վտ}, \text{ ռեակտիվ հզորությունը՝}$$

$$P_n = I^2 X_L = 20 \cdot 12 = 240 \text{ Վար: Կոմպլեքս հզորությունը՝}$$

$$\dot{P} = \dot{U}i^* = (-40 + j40)(2 - j4) = 80 + j240:$$

Երկբևեռի բարորակությունը կլինի՝ $Q_L = \frac{240}{80} = 3$, իսկ կորուստների անկյան տանգենսը՝ $\operatorname{tg} \delta = \frac{1}{3}$:

$$2. \dot{Z} = 0,96 + j3,9; \Delta\varphi = -104^0; \dot{Y} = -0,25 \cdot e^{j104^0} \text{ Միմ;}$$

$$U_w = 86,6 \text{ Վ; } U_n = 50 \text{ Վ; } I_w = 7 \text{ Ա, } I_n = 24 \text{ Ա;}$$

$$\dot{P} = 600 + j2437 \text{ Վ}\cdot\text{Ա;}$$

$$P_w = 600 \text{ Վտ; } P_n = 2425 \text{ Վտ, } P_{\text{լր}} = 2500 \text{ Վ}\cdot\text{Ա, } Q_L = 4;$$

$$tg\delta = 0,25;$$

$$3. \dot{Z} = j20; \Delta\varphi = 90^0; \dot{Y} = -0,05j \text{ Միմ; } U_w = 60 \text{ Վ;}$$

$$U_n = 104 \text{ Վ; } I_w = 5,2 \text{ Ա, } I_n = 3 \text{ Ա; } \dot{P} = j720 \text{ Վ}\cdot\text{Ա, } P_w = 0;$$

$$P_n = 720 \text{ Վտ, } P_{\text{լր}} = 720 \text{ Վ}\cdot\text{Ա, } Q_L = \infty; tg\delta = 0;$$

2.5. Լուծում: Լարման և հոսանքի կոմպլեքս լայնույթները հավասար են՝ $\dot{U}_m = 12e^{j20^0}$ Վ, $\dot{I}_m = 0,02e^{-j30^0}$ Ա, $\dot{Z}_d = \frac{\dot{U}_m}{\dot{I}_m} = 600e^{j50^0} = (386 + j460)$ Օհմ:

Լրիվ հզորությունը՝ $P_{\text{լր}} = U_d I_d = \frac{12}{\sqrt{2}} \cdot \frac{0,02}{\sqrt{2}} = 0,12 \text{ Վ}\cdot\text{Ա}$: Լրիվ հզորությունը կոմպլեքս հզորության մոդուլն է, որի արգումենտը մուտքային հոսանքի և լարման փուլերի տարբերությունն է՝ $\dot{P} = P_{\text{լր}} e^{j\varphi} = 0,12e^{j50^0} = 0,0771 + j0,0919 \text{ Վ}\cdot\text{Ա}$:

Ակտիվ հզորությունը կլինի՝ $P_w = Re\dot{P} = 0,0771$ Վտ, ռեակտիվ հզորությունը՝ $P_n = Im\dot{P} = 0,0919$ Վար, իսկ ակնթարթային հզորությունը՝ $P(t) = U(t)I(t)$,

$$P(t=0) = U(0)I(0) = 12\cos 20^0 \cdot 20 \cdot 10^{-3} \cos 30^0 = 0,195 \text{ Վտ:}$$

$$2.6. 1. U = 63,3 \sin(\omega t + 2,03) \text{ Վ; } I = 8,25 \sin(\omega t + 2,6) \text{ Ա:}$$

$$2. U = 63,3 \sin(\omega t + 4,25) \text{ Վ; } I = 8,25 \sin(\omega t + 3,68) \text{ Ա:}$$

$$3. U = 63,3 \sin(\omega t - 1,11) \text{ Վ; } I = 8,25 \sin(\omega t - 0,54) \text{ Ա:}$$

$$4. U = 63,3 \sin(\omega t - 1,11) \text{ Վ; } I = 8,25 \sin(\omega t + 3,7) \text{ Ա:}$$

$$2.7. 100e^{-j60^0} \text{ Վ, } 70,7e^{-j60^0} \text{ Վ, } P_w = 0,1 \text{ Վտ, } W = 0,1026 \text{ մկՋ:}$$

$$2.8. Z_d = 2e^{-j90^0} \text{ Օհմ, } Y_d = 0,5e^{j90^0} \text{ Միմ, } \varphi = -\pi/2,$$

$$\dot{I}_m = 4,25e^{j\pi} \text{ Ա, } \dot{I}_q = 3,01e^{j\pi} \text{ Ա:}$$

2.9. Լուծում: Ամբողջ շղթայի կոմպլեքս դիմադրությունը կլինի՝

$$\begin{aligned} \dot{Z} &= R + r + j\omega L = 13 + j7,85 = \sqrt{13^2 + 7,85^2} e^{j \arctg \frac{7,85}{13}} = \\ &= 15,2e^{j31^0} \text{ Օհմ: Եթե իրական թվերի առանցքով ուղղենք } \dot{U} \text{ վեկտորը, ապա } \dot{U} = U = 120 \text{ Վ: } \end{aligned}$$

Հետևաբար կոմպլեքս հոսանքը կլինի՝

$i = \frac{\dot{U}}{Z} = \frac{120}{15,2e^{j31^{\circ}5'}} = 7,9e^{-j31^{\circ}5'}$ Ա: Կոճի վրա \dot{U}_L լարումը՝
 $\dot{U}_L = I(3 + j7,85) = 7,9e^{-j31^{\circ}5'} \cdot 8,4e^{j69^{\circ}5'} = 66,4e^{j38^{\circ}}$ Վ: Այսինքն՝ \dot{U}
 կիրառված լարման նկատմամբ շեղված է 38° -ով: Կոճի ծախսած
 հզորությունը՝ $P_L = Re(\dot{U}_L i^*) = Re(66,4e^{j38^{\circ}} \cdot 7,9e^{j31^{\circ}5'}) =$
 $= Re(525 \cdot e^{j69^{\circ}5'}) = 525 \cos 69^{\circ}5' = 187$ Վտ: Հզորությունը կարող
 ենք հաշվել նաև $P_L = I^2 r = 7,9^2 \cdot 3 = 187$ Վտ:

Կոճի բարորակությունը կլինի՝ $Q_L = \frac{p_p}{p_w} = \frac{\omega L}{r} = \frac{7,85}{3} \approx 2,6$, իսկ կո-
 բուստների անկյան տանգենսը՝ $tg \delta = \frac{p_w}{p_p} = \frac{r}{\omega L} = \frac{1}{Q_L} = \frac{3}{7,85} = 0,382$:

2.10. 1. $\dot{U}_C = 28,6 \cdot e^{-j50^{\circ}}$ Վ; **2.** $\Delta \varphi = 50^{\circ}$;

3. $P_C = I^2 X_C = 1,87 \cdot 10^{-2}$ Վար; **4.** $Q_C = 1,6$; $tg \delta = 0,628$:

2.11. Լուծում: Կոմպլեքս դիմադրության Z մոդուլը որոշվում է հե-
 տևյալ բանաձևով՝ $Z = \frac{U}{I} = \frac{65}{5} = 13$ Օհմ: $P = UI \cos \varphi$ բանաձևից
 $\cos \varphi = \frac{300}{65 \cdot 5} = 0,923$, հետևաբար $\varphi = \pm 22^{\circ}40'$: $\varphi = 22^{\circ}40'$ դեպքում
 $\dot{Z} = Ze^{j\varphi} = 13 \cdot e^{j22^{\circ}40'} =$

$$= 13(\cos 22^{\circ}40' + j \sin 22^{\circ}40') = 13 \cdot 0,923 + j13 \cdot 0,385 =$$

$$= (12 + j5) \text{ Օհմ: } \dot{Y} = \frac{1}{Z} = \frac{1}{13 \cdot e^{j22^{\circ}40'}} = 0,077 e^{-j22^{\circ}40'} =$$

$$= 0,077(\cos 22^{\circ}40' - j \sin 22^{\circ}40') = (7,1 - j2,96)10^{-2} \text{ Սիմ:}$$

$\varphi = -22^{\circ}40'$ դեպքի համար կունենանք՝ $\dot{Z} = (12 + j5) \text{ Օհմ,}$

$$\dot{Y} = (7,1 + j2,96)10^{-2} \text{ Սիմ:}$$

2.12. 1. $U_1 = 51,1$ Վ, $U_2 = 69,5$ Վ, **2.** $\varphi_{21} = 2^{\circ}44'$,

$\varphi_1 = -1^{\circ}31'$, $\varphi_2 = 1^{\circ}13'$, **3.** $P_1 = 188$ Վտ, $P_2 = 236$ Վտ:

2.13. $U = 116$ Վ:

2.14. Լուծում: Նախ հաշվենք տեղամասերի ռեակտիվ դիմադրու-
 թյունները և շղթայի կոմպլեքս դիմադրությունը.

$$X_{C1} = \frac{1}{\omega C_1} = \frac{1}{5000 \cdot 5 \cdot 10^{-6}} = 40 \text{ Օհմ; } X_{C2} = \frac{1}{\omega C_2} = \frac{1}{5000 \cdot 10^{-6}} = 200 \text{ Օհմ;}$$

$$\dot{Z}_1 = r_1 - jX_{C1} = 30 - j40 = 50e^{-j \arctg \frac{4}{3}} = 50e^{-j53^{\circ}10'} \text{ Օհմ;}$$

$$\dot{Z} = r_1 + r_2 - j(X_{C1} + X_{C2}) = 70 - j240 = 250e^{-j \arctg \frac{24}{7}} =$$

$$= 250e^{-j73^{\circ}45'} \text{ Օհմ:}$$

Առաջին տեղամասի լարման փուլը վերցնենք հավասար գրոյի (համարում ենք, որ \dot{U}_{C1} -ը ուղղված է իրական թվերի առանցքով), այս դեպքում $\dot{U}_{C1} = U_1 e^{j0} = U_1 = 24$ Վ իսկ շղթայի կոմպլեքս հոսանքը կլինի՝ $i = \frac{\dot{U}_{C1}}{Z_1} = \frac{24}{50e^{-j53^{\circ}10'}} = 0,48e^{j53^{\circ}10'}$: Կիրառված լարումը կլինի՝ $\dot{U} = iZ = 0,48e^{j53^{\circ}10'} \cdot 250e^{-j73^{\circ}45'} = 120e^{-j20^{\circ}35'}$ Վ:

$$\dot{P} = \dot{U}i^* = 61,44 \cdot e^{-j73^{\circ}45'} \text{Վ}\cdot\text{Ա}:$$

2.15. Լուծում: $i = \frac{40}{7-j24} = 1,6 \cdot e^{j73^{\circ}}$, կիրառված կոմպլեքս լարումը կլինի՝ $\dot{U} = i \cdot Z = 1,6 \cdot e^{j73^{\circ}}(17 - 144j) = 1,6 \cdot e^{j73^{\circ}} \cdot 145 \cdot e^{-j83^{\circ}} = 232 \cdot e^{-j10^{\circ}}$, իսկ $U = |\dot{U}| = 232$ Վ: Ծախսված լրիվ հզորությունը կլինի կոմպլեքս հզորության իրական մասը՝ $P = \text{Re}[\dot{U}i^*] = \text{Re}371,2 \cdot e^{-j83^{\circ}} \approx 43,5$ Վտ:

$$\text{2.16. } \dot{U}_1 = 284e^{j17,5^{\circ}} \text{Վ}; \dot{U}_2 = 167e^{-j149^{\circ}15'} \text{Վ};$$

$$\varphi = \varphi_1 - \varphi_2 = 17,5^{\circ} + 149^{\circ}15' = 166^{\circ}45':$$

2.17. Լուծում: Կոճի իդուկտիվ դիմադրություն՝

$$X_L = L\omega = 2\pi fL = 6,28 \cdot 66,2 \cdot 10^{-3} = 20,8 \text{Օհմ}:$$

Կոմպլեքս դիմադրությունը՝

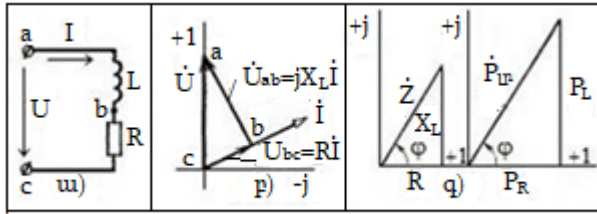
$$\dot{Z} = R + jX_L = 12 + j20,8 = 24e^{j\arctg\frac{20,8}{12}} = 24e^{j60^{\circ}} \text{Օհմ},$$

$$\varphi = 60^{\circ}: \text{Կոմպլեքս հոսանքը՝ } i = \frac{\dot{U}}{\dot{Z}} = \frac{120}{24e^{j60^{\circ}}} = 5e^{-j60^{\circ}} \text{Ա}:$$

$$\text{Կոմպլեքս հզորությունը՝ } \dot{P} = \dot{U}_q i_q^* = \dot{U}i^* = 120 \cdot 5e^{-j60^{\circ}} = 600\cos 60^{\circ} + j600\sin 60^{\circ} = (300 + j520) \text{Վ}\cdot\text{Ա}:$$

Ակտիվ և ռեակտիվ հզորությունները կարելի էր հաշվել նաև այլ կերպ՝ $P_w = UI\cos\varphi = RI^2 = 12 \cdot 25 = 300$ Վտ; ռեակտիվ հզորությունը՝ $P_n = UI\sin\varphi = X_L I^2 = 20,8 \cdot 25 = 520$ Վար: Ակտիվ տարրի վրա լարումը կլինի՝ $\dot{U}_{bc} = RI = 60e^{-j60^{\circ}}$ Վ:

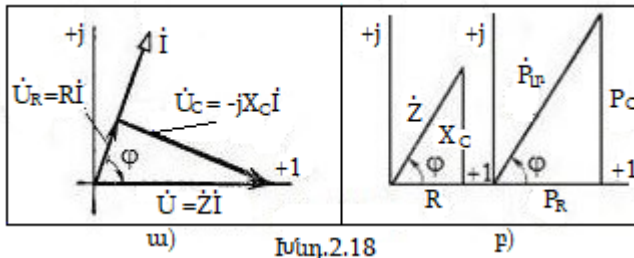
Լարումը ինդուկտիվության վրա՝ $\dot{U}_{ab} = \dot{U}_L = jX_L I = 104e^{j30^{\circ}}$ Վ: Լարումների տեղագրական (տոպոլոգիական) դիագրաման, դիմադրությունների և հզորությունների եռանկյունիները բերված է Խնդ. 2.17 նկարում:



Խնդիր 2.17

2.18. Լուծում. $Z = R - j \frac{1}{\omega C} = 5 - j11 = 12,08e^{-j65,6^\circ}$ Օհմ; $\dot{U} = 220$ Վ,
 $\dot{I} = \frac{\dot{U}}{Z} = 18,2e^{j65,6^\circ}$ Ա: $\dot{P} = \dot{U}\dot{I}^* = 220 \cdot 18,2e^{-j65,6^\circ} = 4006,6e^{-j65,6^\circ} =$
 $= (1657,9 - j3647,5)$ Վ·Ա: Այսպիսով, լրիվ հզորությունն է՝ \sim
 $P_{\text{ըր}} = 4006,6$ Վ·Ա, ակտիվ հզորությունը՝ $P_w = UI \cos \varphi = 1657,9$ Վտ,
 $P_p = UI \sin \varphi = 3647,5$ Վար:

Վեկտորական դիագրամները բերված են Խնդիր 2. 18 նկարում:



Խնդիր 2.18

2.19. $\dot{I}_2 = \frac{\dot{U}_{R2}}{R_2} = 1$ մԱ, $\dot{U}_{C2} = \frac{\dot{I}_2}{j\omega C_2} = -j88,5$ մՎ, $\dot{U}_{C1} = \dot{U}_{C2} + \dot{U}_{R2} =$
 $= (1 - j0,088)$ Վ, $\dot{I}_1 = j\omega C_1 \dot{U}_{C1} = (0,051 + j0,572)$ մԱ,
 $\dot{I}_v = \dot{I}_1 + \dot{I}_2 = (1,05 + j0,57)$ մԱ, $\dot{U}_{R1} = \dot{I}_v R_1 = (1,05 + j0,57)$ Վ,
 $\dot{\varepsilon} = \dot{U}_{R1} + \dot{U}_{R2} = (2,05 + j0,48)$ Վ:

2.20. $6,16e^{j68,3^\circ}$ Օհմ:

2.21. $(2,6 + j0,8)$ կՕմ:

2.22. $6,62 \cdot 10^3$ ռադ/վ:

2.23. Ցուցում: Սխեմաների համարժեքության համար անհրաժեշտ է ունակությունների եռանկյունաձև միացումից անցնել աստղաձև միացման հետևյալ սխեմայով՝

$$\begin{aligned} \dot{Z}_{C13} &= \frac{\dot{Z}_{C1}\dot{Z}_{C3}}{\dot{Z}_{C1}+\dot{Z}_{C2}+\dot{Z}_{C3}}; & \dot{Z}_{C23} &= \frac{\dot{Z}_{C2}\dot{Z}_{C3}}{\dot{Z}_{C1}+\dot{Z}_{C2}+\dot{Z}_{C3}}; & \dot{Z}_3 &= \frac{\dot{Z}_{C1}\dot{Z}_{C3}}{\dot{Z}_{C1}+\dot{Z}_{C2}+\dot{Z}_{C3}}, & \text{որտեղ} \\ \dot{Z}_{C1} &= \frac{1}{j\omega C_1}, & \dot{Z}_{C2} &= \frac{1}{j\omega C_2}, & \dot{Z}_{C3} &= \frac{1}{j\omega C_3}; & \dot{Z}_{C13} &= \frac{1}{j\omega C_{13}}, & \dot{Z}_{C23} &= \frac{1}{j\omega C_{23}}, \\ \dot{Z}_{C12} &= \frac{1}{j\omega C_{12}}; & \text{Հաշվի առնելով այս արտահայտությունները,} & & & & & & & \text{կստանանք՝} \end{aligned}$$

$$C_{13} = C_1 + C_3 + \frac{C_1 C_3}{C_2} = 380 \text{ պՖ}; \quad C_{23} = C_2 + C_3 + \frac{C_2 C_3}{C_1} = 380 \text{ պՖ};$$

$$C_{12} = C_1 + C_2 + \frac{C_1 C_2}{C_3} = 6,46 \text{ պՖ};$$

2.24. 1. 120Վ; **2.** 0; **3.** $P_1 = 229$ Վ·Ա; $P_2 = 1440$ Վ·Ա:

2.25. Լուծում: Համարենք $\dot{U}_1 = \dot{U}_2 = \dot{U} = 130$ Վ, այսինքն՝ ենթադրենք հինք, որ \dot{U} վեկտորն ընկած է իրական թվերի առանցքի վրա: Այս դեպքում

$$\dot{I}_1 = \frac{\dot{U}}{Z_1} = \frac{130}{8+j6} = 10,4 - j7,8 = 13e^{-j36^\circ 50'} \text{ Ա};$$

$$\dot{I}_2 = \frac{\dot{U}}{Z_2} = \frac{130}{12-j5} = 9,23 + j3,84 = 13e^{j22^\circ 40'} \text{ Ա};$$

$$\dot{I} = \dot{I}_1 + \dot{I}_2 = 19,6 - j3,96 = 20e^{-j11^\circ 20'} \text{ Ա};$$

Շղթայի ծախսած հզորությունը կլինի՝

$$P = \text{Re}(\dot{U}\dot{I}^*) = \text{Re}(130 \cdot 20e^{j11^\circ 20'}) = 130 \cdot 20 \cos 11^\circ 20' = 2550 \text{ Վտ};$$

Այժմ որոշենք a և b կետերի միջև լարումը: Դրա համար կատարենք հետևյալ հաշվարկները՝ $\dot{\phi}_a - \dot{\phi}_a = \dot{I}_1 R_1$, $\dot{\phi}_a - \dot{\phi}_b = \dot{I}_2 (-jX_2)$: Երկրորդ հավասարումից հանելով առաջինը, կունենանք՝

$$\begin{aligned} \dot{U}_{ab} &= \dot{I}_2 (-jX_2) - \dot{I}_1 R_1 = -j5(9,23 + j3,84) - 8(10,4 - j7,8) = \\ &= -64 + j16,2 = 66e^{j165^\circ 50'} \text{ Վ}; \end{aligned}$$

2.26. Լուծում: Շղթայի լրիվ դիմադրությունը կլինի՝

$$Z = Z_1 + \frac{Z_2 Z_3}{Z_2 + Z_3} = 10 + j6 + \frac{(24-j7)(15+j20)}{(24-j7)(15+j20)} = 24,4 + j10,8 = 26,7e^{j23^\circ 55'}$$

Օհմ: Շղթայի չճուղավորված մասի հոսանքը կլինի՝

$$\dot{I}_1 = \frac{\dot{U}}{Z} = \frac{U}{Z} = \frac{120}{26,7e^{j23^\circ 55'}} = 4,5e^{-j23^\circ 55'} \text{ Ա};$$

Կիրիսինֆի օրենքների համաձայն՝ $\dot{I}_1 = \dot{I}_3 + \dot{I}_2$, $\dot{I}_3 Z_3 - \dot{I}_2 Z_2 = 0$: Այս հավասարումներից \dot{I}_3 -ի և \dot{I}_2 -ի համար կունենանք՝

$$\dot{I}_2 = \dot{I}_1 \frac{Z_3}{Z_2 + Z_3} = 4,5e^{-j23^\circ 55'} \cdot \frac{15+j20}{39+j13} = 2,74e^{j10^\circ 45'} \text{ Ա};$$

$$I_3 = I_1 \frac{Z_2}{Z_2 + Z_3} = 4,5e^{-j23^{\circ}55'} \cdot \frac{24-j7}{39+j13} = 2,74e^{-j58^{\circ}35'} \text{ Ա:}$$

I_2 և I_3 հոսանքները կարելի էր գտնել նաև այլ կերպ՝

$$\dot{U}_{ab} = I_1 Z_{ab} = I_1 \frac{Z_2 Z_3}{Z_2 + Z_3} = 4,5e^{-j23^{\circ}55'} \frac{(24-j7)(15+j20)}{39+j13} = 68,4e^{-j5^{\circ}30'}:$$

Այնուհետև՝ $I_2 = \frac{\dot{U}_{ab}}{Z_2} = \frac{68,4e^{-j5^{\circ}30'}}{24-j7} = 2,74e^{j10^{\circ}45'} \text{ Ա;}$

$$I_3 = \frac{\dot{U}_{ab}}{Z_3} = \frac{68,4e^{-j5^{\circ}30'}}{15+j20} = 2,74e^{-j58^{\circ}35'} \text{ Ա:}$$

Այժմ որոշենք շղթայի լրիվ հզորությունը՝

$$P = \operatorname{Re}(\dot{U}I_1^*) = \operatorname{Re}(120 \cdot 4,5e^{j23^{\circ}55'}) = 120 \cdot 4,5\cos 23^{\circ}55' = 494 \text{ Վ}\cdot\text{Ա;}$$

$$P_1 = I_1^2 r_1 = 4,5^2 \cdot 10 = 202 \text{ Վտ; } P_2 = I_2^2 r_2 = 180 \text{ Վտ;}$$

$$P_3 = I_3^2 r_3 = 112 \text{ Վտ: } P_n = \operatorname{Im}(\dot{U}I_1^*) = \operatorname{Im}(120 \cdot 4,5e^{j23^{\circ}55'}) = \\ = 120 \cdot 4,5\sin 23^{\circ}55' = 218 \text{ Վար;}$$

$$P_{1n} = I_1^2 X_1 = 4,5^2 \cdot 6 = 122 \text{ Վար; } P_{2n} = I_2^2 X_2 = -52,5 \text{ Վար;}$$

$$P_{3n} = I_3^2 X_3 = 150 \text{ Վար: Պետք է, որ } P_n = P_{1n} + P_{2n} + P_{3n}: \text{ Իսկապես՝}$$

$$P_n = 122 + 150 - 52,5 = 219,5 \text{ Վար, որը մոտ է 218 արժեքին:}$$

1,5 Վար տարբերությունը պայմանավորված է եռանկյունաչափական ֆունկցիաների արժեքների վերցրած մոտավորություններով:

2.27. Լուծում: Գրենք կոմպլեքս դիմադրությունների արժեքները՝

$$\dot{Z}_1 = 20 \text{ կՕմ; } \dot{Z}_2 = jX_L = j10 \text{ կՕմ; } \dot{Z}_3 = -jX_C = -20j \text{ կՕմ: } \Delta\text{յուղերի}$$

կոմպլեքս հոսանքները կլինեն՝ $I_1 = \frac{\dot{U}}{\dot{Z}_1} = 5 \text{ մԱ;}$

$$I_3 = \frac{\dot{U}}{\dot{Z}_3} = 5j \text{ մԱ} = 5e^{j\frac{\pi}{2}} \text{ մԱ:}$$

$$I_2 = \frac{\dot{U}}{\dot{Z}_2} = -10j \text{ մԱ} = 10e^{-j\frac{\pi}{2}} \text{ մԱ;}$$

Զճյուղավորված մասի կոմպլեքս հոսանքը կլինի՝ $I = I_1 + I_2 + I_3 =$

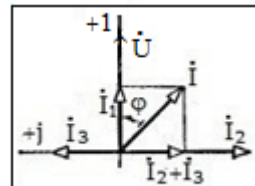
$$= 5 - j10 + j5 = 5 - j5 = 5\sqrt{2}e^{-\pi/4}: \text{ Կոմպլեքս } I \text{ հոսանքը կարող էինք}$$

գտնել նաև ճյուղերի կոմպլեքս հաղորդականություններով՝

$$I = \dot{Y}\dot{U} = (\dot{Y}_1 + \dot{Y}_2 + \dot{Y}_3)\dot{U} = (0,05 - j0,1 +$$

$$j0,05)100 = (5 - j5)\text{մԱ:}$$

Վեկտորական դիագրաման կառուցելու համար հարմար է սկսել լարման \dot{U} վեկտորից, քանի որ այն բոլոր ճյուղերի համար նույնն է (Նկ. Խնդ. 2.27): Առաջին ճյուղը օհ-



Խնդ.2.27

մական դիմադրություն է և նրանում հոսանքն ունի լարման փուլը: Երկրորդ ճյուղի հոսանքի փուլը $\pi/2$ -ով էտ է ընկած լարման փուլից, իսկ երրորդ ճյուղի հոսանքի փուլը լարման փուլից առաջ է ընկած $-\pi/2$ -ով: I հոսանքը \dot{U} լարումից էտ է ընկած $\varphi = \pi/4$ -ով:

2.28. $\omega L_1 = 51 \text{ Ohm}$,

2.29. Ցուցում: Սկզբում որորշե՛ք շղթայի լրիվ դիմադրությունը՝

$$Z = Z_1 + \frac{Z_2 Z_3}{Z_2 + Z_3} \text{ Բանաձևով: Շղթայի վրա կիրառված լարումը կլինի՝}$$

$$\dot{U} = Z I_1: \text{ Այնուհետև } I_3 = I_1 \frac{Z_2}{Z_2 + Z_3} \text{ և } I_2 = I_1 \frac{Z_3}{Z_2 + Z_3} \text{ Բանաձևերով հաշվել}$$

հոսանքները: $I_2 = 2,56e^{j38^\circ 40'} \text{ U}; I_3 = 4,3e^{-j21^\circ 50'} \text{ U}; \dot{U} = 109e^{j35^\circ 45'} \text{ V}:$

2.30. $I = (8,1 - j11,35) \text{ U}; I_1 = (3,25 - j10,25) \text{ U};$

$$I_2 = (4,85 - j0,85) \text{ U}; I_3 = (6,8 - j7,1) \text{ U}; I_p = (-3,55 - j3,4) \text{ U}:$$

2.31. $\dot{I} = (-0,75 + j0,4335) \text{ U}; I_1 = (-0,2 + j0,25) \text{ U};$

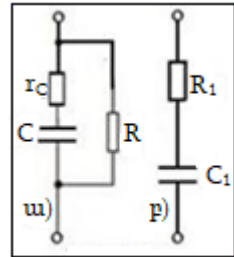
$$I_2 = (-0,55 + j0,1875) \text{ U}; I_3 = (-0,6 + j0,25) \text{ U}:$$

$$\dot{U} = (3,125 + j14,5) \text{ V},$$

2.32. Լուծում. $\text{tg}\delta = \frac{R\omega C}{R_{nt}} = 2\pi f r_c C = 18,84 \cdot e^{-5};$

$$Q = \frac{1}{\text{tg}\delta} = 5308:$$

R դիմադրությամբ շունտված կոնդենսատորը ներկայացնենք Խնդ.2.32 նկարում բերված համարժեք սխեմայով: R_1 և C_1 մեծությունները գտնենք **ա)** և **բ)** սխեմաների համարժեքության պայմանից:



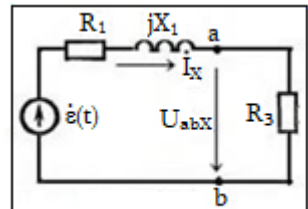
Խնդ.2.32

$$Z_w = \frac{R(r_c - j\frac{1}{\omega C})}{R + r_c - j\frac{1}{\omega C}} = Z_p = R_1 - j\frac{1}{\omega C_1}:$$

Այս հավասարման իրական և կեղծ մասերն իրար հավասարեցնելով կգտնենք R_1 -ը և C_1 -ը: Եթե հաշվի առնենք, որ $r_c \ll R$, կունենանք՝

$$R_1 = \frac{R(1 + R r_c \omega^2 C^2)}{1 + \omega^2 C^2 R^2}, C_1 = \frac{1 + \omega^2 C^2 R^2}{\omega^2 R^2 C}:$$

$$\text{tg}\delta_1 = 2\pi f R_1 C_1 = \frac{1 + 4\pi^2 f^2 C^2 R r_c}{2\pi v R C} = 0,106:$$



Խնդ.2.33

2.33. Նկ.2.26 (էջ 37) շղթայի համարժեք սխեման բերված է Խնդ. 2.33 նկարում:

$$\text{Այս շղթայի համար կարող ենք գրել, որ } \dot{I}_x = \frac{\dot{\epsilon}}{R_1 + R_3 + jX_1} = \frac{220e^{j120^\circ}}{5 + j1} = \frac{220e^{j120^\circ}}{5,1e^{j11,3^\circ}} =$$

$$= 43,18e^{j108,7^\circ}; \dot{U}_{abx} = R_3 \dot{I}_x = 172,52e^{j108,7^\circ}: \text{Ակտիվ երկբևեռի թեռ-}$$

$$\text{րեմի համաձայն } \dot{I}_2 = \frac{\dot{U}_{abx}}{Z_{\text{սրքab}} + Z_2}: \text{ab սեղմակների նկատմամբ մուտքահին դիմադրու-}$$

$$\text{թյունը հետևյալն է՝ } \dot{Z}_{\text{սրքab}} = \frac{Z_1 R_3}{Z_1 + R_3} = \frac{(1 + j1)4}{1 + j1 + 4} = \frac{4 + j4}{5 + j1} = \frac{5,66e^{j45^\circ}}{5,1e^{j11,3^\circ}} =$$

$$= 1,11e^{j33,7^\circ} = 1,11(0,83 + j0,55) = (0,92 + j0,61)\text{Օհմ:}$$

Հետևաբար

$$\dot{I}_2 = \frac{172,52e^{j108,7^\circ}}{0,92 + j0,61 + 3 + j4} = \frac{172,52e^{j108,7^\circ}}{3,92 + j4,61} = \frac{172,52e^{j108,7^\circ}}{6,05e^{j49,7^\circ}} = 28,5e^{j59^\circ}\text{Ա:}$$

Հաշվարկը կարելի էր կատարել նաև սովորական ձևով: Շղթայի կոմպլեքս դիմադրությունը կլիներ՝ $\dot{Z} = R_1 + jX_1 + \frac{(R_2 + jX_2)R_3}{R_2 + jX_2 + R_3}$: Չճյու-

ղավորված հոսանքը՝ $\dot{I} = \frac{\dot{\epsilon}}{\dot{Z}}: \dot{U}_{ab} = \dot{I} \frac{(R_2 + jX_2)R_3}{R_2 + jX_2 + R_3}$, իսկ պահանջվող \dot{I}_2 -ի

$$\text{համար կունենանք՝ } \dot{I}_2 = \frac{\dot{U}_{ab}}{R_2 + jX_2} = \frac{\dot{\epsilon}}{\dot{Z}} \cdot \frac{R_3}{R_2 + jX_2 + R_3}:$$

2.34. $\dot{Z} = \frac{(R + j\omega L_1)j\omega L_2}{R + j\omega(L_1 + L_2)}$; $|\dot{Z}| = \frac{\omega L_2 \sqrt{\omega^2 L_1^2 + R^2}}{R^2 + \omega^2(L_1 + L_2)^2}$; $tg\varphi = -\frac{R}{\omega L_1}$:

2.35. $\dot{Z} = R_1 + R_2 - \frac{j}{\omega C}$; $|\dot{Z}| = \sqrt{(R_1 + R_2)^2 + \frac{1}{\omega^2 C^2}}$;

$$tg\varphi = -\frac{1}{\omega C(R_1 + R_2)}:$$

2.36. $\dot{Z} = R_1 + \frac{j\omega L R_2}{R_2 + j\omega L}$; $|\dot{Z}| = \sqrt{\frac{R_2^4 R_1^2 + \omega^4 L^4 (R_1 + R_2)^2 + \omega^2 L^2 R_2^4}{R_2^2 + \omega^2 L^2}}$;

$$tg\varphi = \frac{\omega L R_2^2}{R_2^2 R_1 + \omega^2 L^2 (R_1 + R_2)}:$$

3.1. Լուծում: Կատարենք $\omega_1 = \frac{2\pi}{T}$ նշանակումը, կունենանք՝
 $x(t) = U_0 \cos \frac{\omega_1 t}{2}$: (3.14ա, էջ 48) բանաձևից ունենք՝

$$\begin{aligned} \dot{c}_n(\omega_1) &= \frac{1}{T} \int_{-\frac{T}{2}}^{\frac{T}{2}} x(t) e^{jn\omega_1 t} dt = \frac{1}{T} \int_{-\frac{T}{2}}^{\frac{T}{2}} x(t) (\cos n\omega_1 t + j \sin n\omega_1 t) dt = \\ &= \frac{U_0}{T} \int_{-\frac{T}{2}}^{\frac{T}{2}} \cos \frac{\omega_1 t}{2} \cos n\omega_1 t dt + \frac{jU_0}{T} \int_{-\frac{T}{2}}^{\frac{T}{2}} \cos \frac{\omega_1 t}{2} \sin n\omega_1 t dt: \end{aligned}$$

Երկրորդ գումարելիում «ինտեգրալատակ» արտահայտությունը կենս ֆունկցիա է, իսկ ինտեգրալի սահմանները 0 կետի նկատմամբ համաչափ են, ուստի այդ ինտեգրալը հավասար է զրոյի: Իսկ առաջին գումարելիում «ինտեգրալատակ» արտահայտությունը զույգ ֆունկցիա է, հետևաբար կարող ենք գրել՝

$$\begin{aligned} c_n &= \frac{2}{T} \int_0^{T/2} U_0 \cos \frac{\omega_1 t}{2} \cos n\omega_1 t dt = \\ &= \frac{U_0}{T} \int_0^{T/2} \left[\cos \left(n + \frac{1}{2} \right) \omega_1 t + \cos \left(n - \frac{1}{2} \right) \omega_1 t \right] dt = \\ &= \frac{U_0}{T} \left[\frac{\sin \omega_1 \left(n + \frac{1}{2} \right) T/2}{\omega_1 \left(n + \frac{1}{2} \right)} + \frac{\sin \omega_1 \left(n - \frac{1}{2} \right) T/2}{\omega_1 \left(n - \frac{1}{2} \right)} \right] = \frac{2U_0}{T\omega_1} \cdot = \frac{2U_0}{\pi} \cdot \frac{(-\cos n\pi)}{4n^2 - 1} = \frac{2U_0(-1)^{n+1}}{\pi(4n^2 - 1)}: \end{aligned}$$

3.2. $c_n = \frac{A_0 \tau}{T} \cdot \frac{\sin[(\alpha - n\omega_1)\tau/2]}{(\alpha - n\omega_1)\tau/2}$:

3.3. Լուծում: Այդ ազդանշանի անալիտիկ տեսքը հետևյալն է՝

$$x(t) = \begin{cases} E, & \frac{2mT}{2} < t < (2m+1)\frac{T}{2}, \\ -E, & (2m+1)\frac{T}{2} < t < 2(m+1)\frac{T}{2}, \end{cases} \text{ որտեղ } m\text{-ը ամբողջ թիվ է:}$$

$$x(t) = \frac{a_0}{2} + \sum_{n=1}^{\infty} a_n \cos(n \frac{2\pi}{T} t + \varphi_n), \quad T = \frac{2\pi}{\omega}$$

$$\dot{a}_n = \frac{2}{T} \int_{-T/2}^{T/2} x(t) e^{-jn\omega t} dt = a_n \cdot e^{j\varphi_n}$$

$$\dot{a}_n = \frac{2}{T} \int_{-T/2}^0 (-E) e^{-jn\omega t} dt + \frac{2}{T} \int_0^{T/2} E e^{-jn\omega t} dt = \frac{2E}{jn\pi} (1 - \cos n\pi):$$

Քանի որ $\cos n\pi = 1$, երբ $n = 0, 2, 4 \dots 2k$, հետևաբար տվյալ տատանումը զրոյական բաղադրիչ և զույգ հարմոնիկներ չի պարունակում:

Ուստի՝ $\dot{a}_1 = \frac{4E}{\pi} e^{-j\pi/2}$, $\varphi_1 = -\pi/2$;

$\dot{a}_3 = \frac{4E}{3\pi} e^{-j\pi/2}$, $\varphi_3 = -\pi/2$; $\dot{a}_5 = \frac{4E}{5\pi} e^{-j\pi/2}$, $\varphi_5 = -\pi/2$ և այլն:

Այդ տատանման Ֆուրիեի շարքը կունենա հետևյալ տեսքը՝

$$x(t) = \frac{4E}{\pi} \cos\left(\omega t - \frac{\pi}{2}\right) + \frac{4E}{3\pi} \cos\left(3\omega t - \frac{\pi}{2}\right) + \frac{4E}{5\pi} \cos\left(5\omega t - \frac{\pi}{2}\right) + \dots$$

3.4. Լուծում: Դիրակի $\delta(t)$ -ֆունկցիայի սպեկտրը՝ $\dot{S}_1(\omega) = 1$;

$\delta(t - T)$ -ֆունկցիայի սպեկտրը՝ $\dot{S}_2(\omega) = e^{-j\omega T}$ (տե՛ս 3.25 բանաձևը, էջ 55): $\delta(t + T)$ -ֆունկցիայի սպեկտրը՝ $\dot{S}_3(\omega) = e^{j\omega T}$: Հետևաբար սպեկտրների գումարման թեորեմի համաձայն՝

$$\dot{S}(\omega) = \dot{S}_1(\omega) + \dot{S}_2(\omega) + \dot{S}_3(\omega) = 1 + e^{j\omega T} + e^{-j\omega T} = 1 + 2\cos\omega T:$$

3.5. $\tilde{c}_n = \dot{c}_n e^{-j\frac{2\pi n t_0}{T}}$:

3.6. Լուծում. $P_{սփռ} = \frac{1}{T} \int_{-T/2}^{T/2} x(t)x^*(t)dt$: $x(t) = \sum_{n=-\infty}^{\infty} \dot{c}_n e^{jn\omega_1 t}$; $x^*(t) = \sum_{m=-\infty}^{\infty} \dot{c}_m^* e^{-jm\omega_1 t}$; $\omega_1 = \frac{2\pi}{T}$:

$$P_{սփռ} = \frac{1}{T} \sum_{n=-\infty}^{\infty} \sum_{m=-\infty}^{\infty} \dot{c}_n \dot{c}_m^* \int_{-T/2}^{T/2} e^{j(n-m)\omega_1 t} dt$$

Նկատի ունենանք հետևյալը՝

$$\frac{1}{T} \int_{-T/2}^{T/2} e^{j(n-m)\omega_1 t} dt = \frac{\sin(n-m)\pi}{(n-m)\pi} = \begin{cases} 1, & n = m, \\ 0, & n \neq m: \end{cases} \text{ Հետևաբար}$$

$$P_{սփռ} = \sum_{n=-\infty}^{\infty} \dot{c}_n \dot{c}_n^* = \dot{c}_0 \dot{c}_0^* + 2 \sum_{n=1}^{\infty} \dot{c}_n \dot{c}_n^* = |\dot{c}_0|^2 + 2 \sum_{n=1}^{\infty} |\dot{c}_n|^2:$$

Այստեղ վերցվել է $\dot{c}_{-n} = \dot{c}_n^*$:

3.7. Լուծում: Օգտվենք Էյլերի բանաձևից՝ $\cos\omega_0 t = \frac{e^{j\omega_0 t} + e^{-j\omega_0 t}}{2}$,

$\cos^2\omega_0 t = \frac{e^{j2\omega_0 t} + e^{-j2\omega_0 t} + 2}{4}$: Հետևաբար $\dot{S}(\omega) = \int_{-\infty}^{\infty} x(t)e^{-j\omega t} dt =$

$$= \frac{A}{4} \left[\int_{-\infty}^{\infty} e^{-j(\omega - 2\omega_0)t} dt + \int_{-\infty}^{\infty} e^{-j(\omega + 2\omega_0)t} dt + 2 \int_{-\infty}^{\infty} e^{-j\omega t} dt \right]:$$

Այժմ օգտվենք $\delta(t) = \frac{1}{2\pi} \int_{-\infty}^{\infty} e^{j\omega t} d\omega = \frac{1}{2\pi} \int_{-\infty}^{\infty} e^{-j\omega t} d\omega$ բանաձևից,

կունենանք՝

$$\begin{aligned} \dot{S}(\omega) &= \frac{A}{4} [2\pi\delta(\omega - 2\omega_0) + 2\pi\delta(\omega + 2\omega_0) + 4\pi\delta(\omega)] = \\ &= A\pi \left[\delta(\omega) + \frac{1}{2}\delta(\omega - 2\omega_0) + \frac{1}{2}\delta(\omega + 2\omega_0) \right]: \end{aligned}$$

3.8. $S(\omega)$ $= \frac{2UT}{\pi} \cdot \frac{\cos\frac{\omega T}{2}}{1 - \frac{4}{\pi^2}\left(\frac{\omega T}{2}\right)^2}$:

3.9. Լուծում: $\dot{S}(\omega) = \int_{-\infty}^{\infty} x(t)e^{-j\omega t} dt = \int_0^{\infty} 5e^{-4000t} e^{-j\omega t} dt =$

$$= 5 \int_0^{\infty} e^{-(j\omega + 4000)t} dt = -\frac{5}{4000 + j\omega} e^{-(j\omega + 4000)t} \Big|_0^{\infty} = \frac{5}{4000 + j\omega}:$$

$$|\dot{S}(\omega)| = \frac{5}{\sqrt{4000^2 + \omega^2}}, \quad |\dot{S}(\omega_0)| = 10^{-3} \text{ Վ.վ/նսդ.}$$

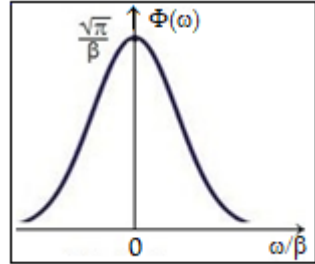
$tg\varphi = -3/4$, որտեղ φ -ն $\hat{S}(\omega)$ -ի արգումենտն է:

3.10. Ցուցում: Հաշվարկը կատարեք նախորդ խնդրի նման.

10^{-8} ՎՎ, $-57^{\circ}31'$:

3.11. $\hat{S}(\omega) = \frac{E}{\alpha+j\omega} (1 - e^{-j\omega\tau})$: **Լուծում: $\hat{S}(\omega) = \int_0^{\tau} E e^{-\alpha t} e^{-j\omega t} dt - (1 - e^{-\alpha\tau}) \int_{\tau}^{\infty} E e^{-\alpha(t-\tau)} e^{-j\omega t} dt = \frac{E}{\alpha+j\omega} - \frac{E}{\alpha+j\omega} e^{-\tau(\alpha+j\omega)} - \frac{E}{\alpha+j\omega} (1 - e^{-\alpha\tau}) e^{\alpha\tau} e^{-\tau(\alpha+j\omega)} = \frac{E}{\alpha+j\omega} - \frac{E}{\alpha+j\omega} e^{-\tau(\alpha+j\omega)} - \frac{E}{\alpha+j\omega} e^{-j\omega\tau} + \frac{E}{\alpha+j\omega} e^{-\tau(\alpha+j\omega)} = \frac{E}{\alpha+j\omega} (1 - e^{-j\omega\tau})$:**

3.12. **Լուծում: $\hat{S}(\omega) = \int_{-\infty}^{\infty} e^{-\beta^2 t^2} e^{-j\omega t} dt = \int_{-\infty}^{\infty} e^{-(\beta^2 t^2 + j\omega t)} dt$:**



Խնդ. 3.12

Չնափոխենք

$$\beta^2 t^2 + j\omega t$$

արտահայտությունը՝

$$\beta^2 t^2 + j\omega t = \beta^2 t^2 + j\omega t - \left(\frac{\omega}{2\beta}\right)^2 + \left(\frac{\omega}{2\beta}\right)^2 = \left(\beta t + j\frac{\omega}{2\beta}\right)^2 + \left(\frac{\omega}{2\beta}\right)^2:$$

Կատարենք հետևյալ նշանակումը՝ $\beta t + j\frac{\omega}{2\beta} = x$, կունենանք՝

$$\hat{S}(\omega) = \frac{1}{\beta} e^{-\left(\frac{\omega}{2\beta}\right)^2} \int_{-\infty}^{\infty} e^{-x^2} dx = \frac{\sqrt{\pi}}{\beta} e^{-\left(\frac{\omega}{2\beta}\right)^2}:$$

Այստեղ օգտվեցինք $\int_{-\infty}^{\infty} e^{-x^2} dx = \sqrt{\pi}$ Պուասոնի ինտեգրալից:

$|\hat{S}(\omega)| = \Phi(\omega)$ ֆունկցիայի գրաֆիկը բերված է Խնդ. 3.12 նկարում:

3.13. **Լուծում:**

$$x(t) = U, \text{ եթե } t \in \left[-\frac{T}{2}; +\frac{T}{2}\right]$$

$$\text{և } x(t) = 0, \text{ եթե } t \notin \left[-\frac{T}{2}; +\frac{T}{2}\right]:$$

Այս ազդանշանի լայնությանին սպեկտրը կլինի՝

$$\begin{aligned} \hat{S}(\omega) &= \int_{-\infty}^{\infty} x(t) e^{-j\omega t} dt = \int_{-\frac{T}{2}}^{\frac{T}{2}} U e^{-j\omega t} dt = \frac{U}{-j\omega} e^{-j\omega t} \Big|_{-\frac{T}{2}}^{\frac{T}{2}} = \\ &= -\frac{U}{j\omega} \left(e^{-j\omega\frac{T}{2}} - e^{j\omega\frac{T}{2}} \right) = \frac{2U}{\omega} \frac{e^{j\omega\frac{T}{2}} - e^{-j\omega\frac{T}{2}}}{2j} = \frac{2U}{\omega} \sin\omega\frac{T}{2} = UT \frac{\sin\left(\omega\frac{T}{2}\right)}{\omega\frac{T}{2}}: \end{aligned}$$

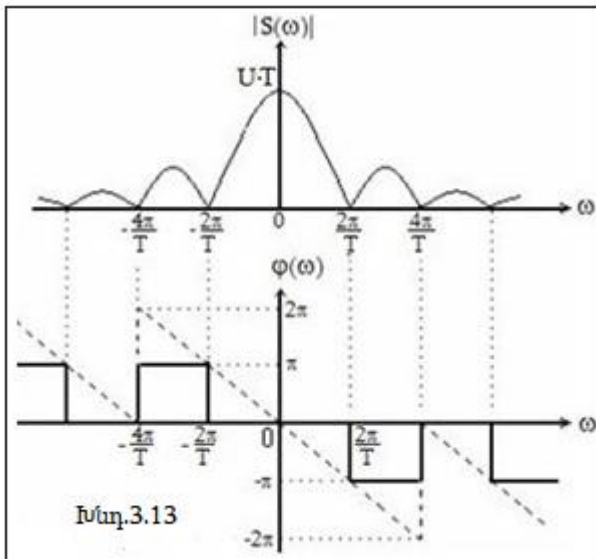
Այն իրական է, քանի որ գույգ ֆունկցիայի սպեկտր է: Այս ֆունկցիայի մոդուլի գրաֆիկը բերված է Խնդ. 3.13 նկարում: Լայնույթի սպեկտրալ խտությունը գրենք հետևյալ տեսքով՝

$$S(\omega) = UT \frac{\sin(\omega \frac{T}{2})}{\omega \frac{T}{2}} = \left| UT \frac{\sin(\omega \frac{T}{2})}{\omega \frac{T}{2}} \right| e^{j\varphi(\omega)}:$$

Քանի որ $S(\omega)$ -ն այս ազդանշանի համար իրական է, ուստի φ փուլը տվյալ դեպքում կարող է ընդունել $0; \pm\pi; \pm 2\pi$ և այլն: Ընդ146որում, եթե՝ $\omega \in \left[-\frac{4\pi}{T}; -\frac{2\pi}{T}\right]$, ապա $\varphi(\omega) = \pi$; $\omega \in \left[-\frac{2\pi}{T}; \frac{2\pi}{T}\right]$,

$\varphi(\omega) = 0$; $\omega \in \left[\frac{2\pi}{T}; \frac{4\pi}{T}\right]$, $\varphi(\omega) = -\pi$ և այլն:

Այս ազդանշանի փուլի հաճախային բնութագիծը բերված է Խնդ. 3.13 նկարում: Ինչպես նկատում ենք այդ նկարից $\omega = 0$ և $\omega = \frac{\pi}{T}$ դեպքում $\varphi(\omega) = 0$, իսկ $\omega = \frac{2\pi}{T}$ -ի համար $\varphi(\omega) = \pi$:



$\omega = 0$ դեպքում $\left| UT \frac{\sin(\omega \frac{T}{2})}{\omega \frac{T}{2}} \right| = UT = 10^{-5} \text{վ} \cdot \text{վ}/\text{ՆԱԳ}$; $\omega = \frac{\pi}{T}$ արժեքի համար $|\dot{S}(\omega)| = UT \frac{2}{\pi} = \frac{2 \cdot 10^{-5}}{\pi} \text{վ} \cdot \text{վ}/\text{ՆԱԳ}$; $\omega = \frac{2\pi}{T}$ -ի դեպքում $|\dot{S}(\omega)| = 0$:

3.14. $S(\omega) = 2UT \frac{\sin \frac{\omega T}{2}}{\omega T} \cos \omega T_0$: Լուծում: Էջ 55-ի Նկ.3.22 իմպուլսի

սպեկտրի համար ստացել ենք, որ $\dot{S}_1(\omega) = UT \frac{\sin(\omega \frac{T}{2})}{\omega \frac{T}{2}}$: Ուշացման

թեորեմի համաձայն՝ T_0 -ով ուշացածի սպեկտրը կլինի՝

$\dot{S}_2(\omega) = \dot{S}_1(\omega) e^{-j\omega T_0}$, իսկ T_0 -ով առաջ ընկածի սպեկտրը՝

$\dot{S}_3(\omega) = \dot{S}_1(\omega) e^{j\omega T_0}$: Սպեկտրների գումարի թեորեմի համաձայն՝

$$\begin{aligned} \dot{S}(\omega) &= \dot{S}_2(\omega) + \dot{S}_3(\omega) = UT \frac{\sin\left(\omega \frac{T}{2}\right)}{\omega \frac{T}{2}} (e^{j\omega T_0} + e^{-j\omega T_0}) = \\ &= 2UT \frac{\sin \frac{\omega T}{2}}{\omega T} \cos \omega T_0: \end{aligned}$$

3.15. Լուծում: Ազդանշանը ներկայացնենք որպես երկու ազդանշանների արտադրյալ՝ $x(t) = x_1(t) \cdot x_2(t)$, որտեղ

$$x_1(t) = \begin{cases} 0, & t < -\tau/2, \\ A, & -\tau/2 < t < \tau/2, \\ 0, & t > \tau/2, \end{cases} \quad x_2(t) = \cos \omega_0 t:$$

Հաշվենք $x_1(t)$ և $x_2(t)$ ազդանշանների սպեկտրալ խտությունները՝

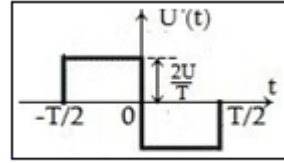
$$\begin{aligned} \dot{S}_1(\omega) &= \int_{-\frac{\tau}{2}}^{\frac{\tau}{2}} A e^{-j\omega t} dt = A\tau \frac{\sin \frac{\omega \tau}{2}}{\frac{\omega \tau}{2}}; \\ \dot{S}_2(\omega) &= \int_{-\infty}^{\infty} \cos \omega_0 t e^{-j\omega t} dt = \\ &= \frac{1}{2} \int_{-\infty}^{\infty} e^{-j(\omega + \omega_0)t} dt + \frac{1}{2} \int_{-\infty}^{\infty} e^{-j(\omega - \omega_0)t} dt = \pi [\delta(\omega + \omega_0) + \delta(\omega - \omega_0)]: \end{aligned}$$

Արտադրյալի թեորեմի համաձայն՝

$$\begin{aligned} \dot{S}(\omega) &= \frac{1}{2\pi} \int_{-\infty}^{\infty} \dot{S}_1(\omega - \nu) \dot{S}_2(\nu) d\nu, \\ \dot{S}(\omega) &= \frac{1}{2\pi} \int_{-\infty}^{\infty} A\tau \frac{\sin \frac{(\omega - \nu)\tau}{2}}{\frac{(\omega - \nu)\tau}{2}} \cdot \pi [\delta(\nu + \omega_0) + \delta(\nu - \omega_0)] d\nu = \\ &= \frac{A\tau}{2} \left[\frac{\sin \frac{(\omega + \omega_0)\tau}{2}}{\frac{(\omega + \omega_0)\tau}{2}} + \frac{\sin \frac{(\omega - \omega_0)\tau}{2}}{\frac{(\omega - \omega_0)\tau}{2}} \right]: \end{aligned}$$

Ռադիոհիմպուլսի լայնությանին սպեկտրը բերված է Խնդ. 3.15 նկարում:

Փաստորեն ուղղանկյուն իմպուլսը $\cos \omega_0 t$ -ով ազմապատկելու արդյունքում դրա լայնությանին սպեկտրը աջ և ձախ շեղվում է $\pm \omega_0$ -ով:



Խնդ.3.17

Եթե ուղղանկյուն իմպուլսի սպեկտրը նշանակենք $\dot{S}_A(\omega)$ -ով՝ $\dot{S}_A(\omega) = A\tau \frac{\sin \frac{\omega\tau}{2}}{\frac{\omega\tau}{2}}$, ապա ռադիոհիմպուլսի սպեկտրի համար կարող ենք գրել հետևյալը՝ $\dot{S} = \frac{1}{2}[\dot{S}_A(\omega + \omega_0) + \dot{S}_A(\omega - \omega_0)]$:

$$3.16. S(\omega) = \frac{UT}{2} \cdot \frac{\sin^2(\omega T/4)}{(\omega T/4)^2}.$$

3.17. Լուծում: $U'(t)$ ազդանշանը պատկերենք գրաֆիկորեն (Խնդ. 3.17 նկար): Ինտեգրման թեորեմի համաձայն (3.20)՝ $\dot{S}(\omega) = \frac{1}{j\omega} \dot{S}_1(\omega)$,

որտեղ $\dot{S}_1(\omega)$ -ն $U'(t)$ դիֆերենցված ազդանշանի սպեկտրալ խտությունն է: Օգտվելով գումարի և ուշացման թեորեմներից՝

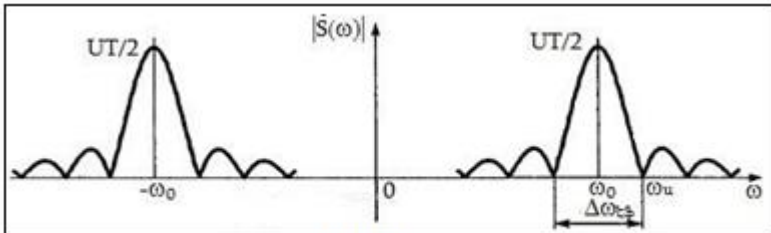
կարող ենք գրել, որ $\dot{S}_1(\omega) = \dot{S}_0(\omega)e^{\frac{j\omega T}{4}} - \dot{S}_0(\omega)e^{-\frac{j\omega T}{4}}$, որտեղ $\dot{S}_0(\omega)$ -ն

ուղղանկյուն իմպուլսի սպեկտրալ խտությունն է՝ $\dot{S}_0(\omega) = U \frac{\sin \frac{\omega T}{4}}{\frac{\omega T}{4}}$:

Հետևաբար որ $\dot{S}_1(\omega)$ -ի համար կունենանք, որ $\dot{S}_1(\omega) =$

$$U \frac{\sin \frac{\omega T}{4}}{\frac{\omega T}{4}} \left(e^{\frac{j\omega T}{4}} - e^{-\frac{j\omega T}{4}} \right) = 2jU \frac{\sin^2(\omega T/4)}{\omega T/4},$$

իսկ $\dot{S}(\omega)$ -ի համար կունենանք՝



Խնդ.3.15

$$\dot{S}(\omega) = \frac{1}{j\omega} 2jU \frac{\sin^2(\omega T/4)}{\omega T/4} = \frac{UT \sin^2(\omega T/4)}{2 (\omega T/4)^2}; 5 \cdot 10^{-6} \text{Վ/ռադ:}$$

3.18. $x(t) = \frac{\alpha A}{\alpha^2 + t^2}$:

3.19. Լուծում: Ազդանշանի սպեկտրալ խտությունը ներկայացնենք որպես երկու սպեկտրալ խտությունների արտադրյալ՝

$$\dot{S}(\omega) = \dot{S}_1(\omega) \cdot \dot{S}_2(\omega), \text{ քնդ որում } \dot{S}_1(\omega) = \frac{A}{\alpha + j\omega}, \dot{S}_2(\omega) = \frac{1}{\beta + j\omega}: \text{ Մրանց համապատասխանող ազդանշանները կլինեն } f_1(t) = Ae^{-\alpha t} \sigma(t), f_2(t) = e^{-\beta t} \sigma(t):$$

Փաթույթի թեորեմի համաձայն՝

$$f(t) = \int_{-\infty}^{\infty} f_1(\tau) \cdot f_2(t - \tau) d\tau = \int_{-\infty}^{\infty} Ae^{-\alpha\tau} \sigma(\tau) \cdot e^{-\beta(t-\tau)} \sigma(t - \tau) d\tau:$$

Ինտենգրալատակ ֆունկցիաների արտադրյալը գրոյից տարբեր է, երբ $\tau > 0$ և $t - \tau > 0$, այսինքն՝ $0 < \tau < t$ տիրույթում: Այսպիսով՝

$$x(t) = Ae^{-\beta t} \int_0^t e^{-(\alpha-\beta)\tau} d\tau = \frac{A}{\beta-\alpha} (e^{-\alpha t} - e^{-\beta t}), t > 0:$$

3.20. Լուծում: Այս ֆունկցիան կարելի է ստանալ էքսպոնենտային իմպուլսից անցնելով սահմանի՝

$$\sigma(t) = \begin{cases} \lim_{\alpha \rightarrow 0} e^{-\alpha t}, & \text{երբ } t \geq 0, \\ 0, & \text{երբ } t < 0: \end{cases}$$

Հետևաբար որոշենք էքսպոնենտային ֆունկցիայի սպեկտրը և նրանում կատարենք սահմանային անցում:

$$\dot{S}_{t_{pu}}(\omega) = \int_0^{\infty} e^{-\alpha t} e^{-j\omega t} dt = -\frac{1}{\alpha + j\omega} e^{-(\alpha + j\omega)t} \Big|_0^{\infty} = \frac{1}{\alpha + j\omega} = \frac{\alpha - j\omega}{\alpha^2 + \omega^2}: \quad (1)$$

Հետևաբար որոնելի սպեկտրը կլինի

$$\dot{S}(\omega) = \lim_{\alpha \rightarrow 0} \dot{S}_{t_{pu}} = \lim_{\alpha \rightarrow 0} \frac{\alpha}{\alpha^2 + \omega^2} + j \lim_{\alpha \rightarrow 0} \frac{-\omega}{\alpha^2 + \omega^2}:$$

Առաջին գումարելին $\alpha = 0$ դեպքում բոլոր հաճախությունների համար հավասար է գրոյի՝ բացի՝ $\omega = 0$: Այդ հաճախության վրա առաջին անդամը դառնում է անվերջ մեծ:

$\frac{\alpha}{\alpha^2 + \omega^2}$ ֆունկցիայի գրաֆիկի տակի մակերեսը կլինի՝

$$\int_{-\infty}^{\infty} \frac{\alpha}{\alpha^2 + \omega^2} d\omega = 2\alpha \int_0^{\infty} \frac{1}{\alpha^2 + \omega^2} d\omega = \frac{2\alpha\pi}{2\alpha} = \pi = \pi\delta(\omega):$$

Հետևաբար $\lim_{\alpha \rightarrow 0} \frac{\alpha}{\alpha^2 + \omega^2} = \pi\delta(\omega)$, իսկ (1)-ի երկրորդ գումարելիի

սահմանը հավասար է $\frac{1}{j\omega}$ -ի:

Սկստի ունենալով ստացված արդյունքները, միավոր թռիչքի կամ միացման ֆունկցիայի սպեկտրի համար կունենանք՝

$$\dot{S}(\omega) = \pi\delta(\omega) + 1/j\omega:$$

Լայնությունային և փուլային սպեկտրների գրաֆիկները բերված է Սկ. 3.17 բ,գ-ում, էջ 52:

3.21. Լուծում:

$$\begin{aligned} \dot{S}(\omega) &= \int_0^{\tau} U_0 e^{-\alpha t} e^{-j\omega t} dt = \int_0^{\tau} U_0 e^{-(\alpha+j\omega)t} dt = -\frac{U_0}{\alpha+j\omega} e^{-(\alpha+j\omega)t} \Big|_0^{\tau} = \\ &= \frac{U_0}{\alpha+j\omega} (1 - e^{-(\alpha+j\omega)\tau}): \end{aligned}$$

3.22. Լուծում:

Գրենք $x(t)$ ֆունկցիայի տեսքը՝ $x(t) = \frac{A}{T}t$: Այս

ազդանշանի սպեկտրը կլինի՝

$$\begin{aligned} \dot{S}(\omega) &= \int_0^T \frac{A}{T} t e^{-j\omega t} dt = \frac{A}{T} \frac{1}{-j\omega} \int t d e^{-j\omega t} = \frac{A}{T} \frac{1}{-j\omega} t e^{-j\omega t} \Big|_0^T - \\ &- \frac{A}{T} \frac{1}{-j\omega} \int_0^T e^{-j\omega t} dt = \end{aligned}$$

$$= \frac{A}{T} \cdot \frac{1}{-j\omega} T e^{-j\omega T} + \frac{A}{T} \cdot \frac{1}{\omega^2} (e^{-j\omega T} - 1) = j \frac{A}{\omega} e^{-j\omega T} + \frac{A}{T} \cdot \frac{1}{\omega^2} (e^{-j\omega T} - 1): \quad (1)$$

Կարելի է վարվել նաև այլ կերպ: Ազդանշանի ածանցյալ՝

$$x'(t) = \frac{A}{T} = const: \quad \text{Այսինքն՝ ածանցյալը } \frac{A}{T} \text{ բարձրությամբ}$$

ուղղանկյուն իմպուլս է, որի տևողությունը հավասար է T -ի: Այդ իմպուլսի սպեկտրի տեսքն ունենք ինդիք 3.13-ից՝

$$\dot{S}_1(\omega) = A \frac{\sin \frac{\omega T}{2}}{\frac{\omega T}{2}} \cdot e^{-j \frac{\omega T}{2}}, \quad x(t) \text{ ինտեգրալ ազդանշանի սպեկտրը կլինի՝}$$

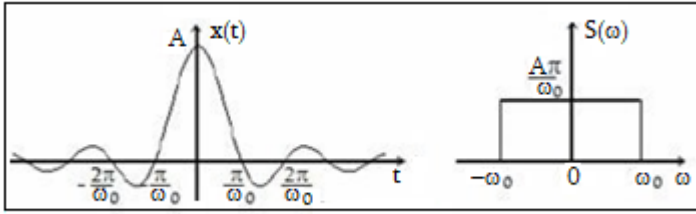
$$\dot{S}(\omega) = \frac{1}{j\omega} \dot{S}_1(\omega) = \frac{A}{j\omega} \frac{\sin \frac{\omega T}{2}}{\frac{\omega T}{2}} \cdot e^{-j \frac{\omega T}{2}}: \quad (2)$$

(1) արտահայտությունը ձևափոխելուց նորից կստացվի (2)-ը:

3.23. Լուծում: Ֆունկցիայի գրոները որոշվում են հետևյալ պայմանից՝ $\omega_0 t = \pm k\pi$, որտեղ $k = 1, 2, \dots$; Դրանց համապատասխանող ժամանակի պահերը կլինեն՝ $t = \pm \frac{k\pi}{\omega_0}$:

Այս դեպքում

$$\dot{S}(\omega) = A \int_{-\infty}^{\infty} \frac{\sin \omega_0 t}{\omega_0 t} e^{-j\omega t} dt = 2A \int_0^{\infty} \frac{\sin \omega_0 t \cos \omega t}{\omega_0 t} dt =$$



Խնդիր 3.23

$$= \frac{A}{\omega_0} \int_0^{\infty} \frac{\sin(\omega + \omega_0)t}{t} dt - \frac{A}{\omega_0} \int_0^{\infty} \frac{\sin(\omega - \omega_0)t}{t} dt:$$

Այժմ օգտվենք հետևյալ աղյուսակային ինտեգրալից՝

$$\int_0^{\infty} \frac{\sin ax}{x} dx = \begin{cases} \frac{\pi}{2}, & \text{երբ } a > 0 \\ -\frac{\pi}{2}, & \text{երբ } a < 0 \end{cases} : \text{Այդ դեպքում, եթե } |\omega| - \omega_0 > 0, \text{ ապա}$$

$\dot{S}(\omega) = 0$, իսկ $|\omega| - \omega_0 < 0$ դեպքում կունենանք $\dot{S}(\omega) = \frac{A\pi}{\omega_0}$:

Այսպիսով, $\frac{\sin x}{x}$ տեսքի ազդանշանի սպեկտրն իրական է (ազդանշանը զույգ ֆունկցիա է), լայնության սպեկտրն ունի ուղղանկյուն իմպուլսի տեսք:

Դիտարկվող $x(t) = A \frac{\sin \omega_0 t}{\omega_0 t}$ ազդանշանի համար լայնության սպեկտրը սահմանափակված է $2\omega_0$ հաճախային շերտով, որի սահմաններում սպեկտրի մակարդակն անփոփոխ է և հավասար է $\frac{A\pi}{\omega_0}$ (տե՛ս Խնդիր 3.23-ի նկարը): Այս արդյունքին կարելի էր հանգել կարճ ձևով:

Քանի որ ուղղանկյուն ազդանշանի սպեկտրը $\frac{\sin x}{x}$ տեսքի ֆունկցիա է, ապա $\frac{\sin x}{x}$ տեսքի ազդանշանի սպեկտրը կունենա ուղղանկյան տեսք՝ Ֆուրիեի ձևափոխության (3.17) հատկությունը:

3.24. Լուծում: Նախ որոշենք այդ իմպուլսի սպեկտրը՝

$$\dot{S}(\omega) = \int_0^{\infty} I_0 e^{-at} e^{-j\omega t} dt = \frac{I_0}{\alpha + j\omega}:$$

$$\text{Կլիինի՝ } w(\omega) = R |\dot{S}(\omega)|^2 = \frac{I_0^2 R}{\alpha^2 + \omega^2}:$$

Լրիվ էներգիան կլիինի՝

$$W_{lp} = \frac{1}{\pi} \int_0^{\infty} |\dot{S}(\omega)|^2 R d\omega = \frac{1}{\pi} \int_0^{\infty} \frac{I_0^2 R}{\alpha^2 + \omega^2} d\omega = \frac{I_0^2 R}{2\alpha}:$$

$$W = 0,9 W_{lp} = \frac{1}{\pi} \int_0^{\omega_w} \frac{I_0^2 R}{\alpha^2 + \omega^2} d\omega = \frac{I_0^2 R}{\pi \alpha} \arctg \frac{\omega_w}{\alpha}: 0,9 \frac{I_0^2 R}{2\alpha} = \frac{I_0^2 R}{\pi \alpha} \arctg \frac{\omega_w}{\alpha},$$

որտեղից $\omega_w = \alpha \cdot \operatorname{tg} \frac{0,9\pi}{2} = \alpha \cdot \operatorname{tg} 81^\circ = 6,314\alpha$:

$$W = \frac{1}{\pi} \int_0^\beta \frac{I_0^2 R}{\alpha^2 + \omega^2} d\omega = \frac{I_0^2 R}{\pi \alpha} \operatorname{arctg} \frac{\omega_w}{\alpha}$$

3.25. ա) $\frac{W_{\text{զր}}}{W_{\text{լր}}} = \frac{e^2 - 1}{e^2} \approx 0,864$, **բ)** նախորդ խնդրից ունենք՝ $W_{\text{լր}} = \frac{I_0^2 R}{2\beta}$,

$$W = \frac{1}{\pi} \int_0^\beta \frac{I_0^2 R}{\beta^2 + \omega^2} d\omega = \frac{I_0^2 R}{\pi \beta} \operatorname{arctg} 1 = \frac{I_0^2 R}{4\beta}; \frac{W}{W_{\text{լր}}} = 1/2$$

Իմպուլսի սպեկտրի ակտիվ լայնությունը կորոշենք $\frac{W}{W_{\text{լր}}} = 0,9$ պայմանից, որը տալիս է

$$\omega_w = \alpha \operatorname{tg} \frac{0,9\pi}{2} = \alpha \operatorname{tg} 81^\circ = 6,314\beta$$

3.26. Լուծում: Նախ որոշենք այդ իմպուլսի սպեկտրը՝

$$\dot{S}(\omega) = \int_0^\infty U_0 e^{-\alpha t} e^{-j\omega t} dt = \frac{U_0}{\alpha + j\omega}$$

Էներգիայի սպեկտրալ խտությունը

$$\text{կլինի՝ } w(\omega) = |\dot{S}(\omega)|^2 = \frac{U_0^2}{\alpha^2 + \omega^2}$$

Լրիվ էներգիան կլինի՝

$$W_{\text{լր}} = \frac{1}{\pi} \int_0^\infty |\dot{S}(\omega)|^2 d\omega = \frac{1}{\pi} \int_0^\infty \frac{U_0^2}{\alpha^2 + \omega^2} d\omega = \frac{U_0^2}{2\alpha}$$

$$W = 0,9 W_{\text{լր}} = \frac{1}{\pi} \int_0^{\omega_w} \frac{U_0^2}{\alpha^2 + \omega^2} d\omega = \frac{U_0^2}{\pi \alpha} \operatorname{arctg} \frac{\omega_w}{\alpha}$$

որտեղից

$$\omega_w = \alpha \operatorname{tg} \frac{0,9\pi}{2} = \alpha \operatorname{tg} 81^\circ = 6,314\alpha$$

4.1. L = 5Հն:

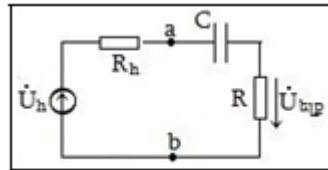
4.2. 7,7վ; 45°:

4.3. 150վ; -60°:

$$\mathbf{4.4.} \dot{K}(\omega) = \frac{1}{1 - \omega^2 LC + \frac{j\omega L}{R}}; A(\omega) = \frac{1}{\sqrt{(1 - \omega^2 LC)^2 + (\frac{\omega L}{R})^2}}$$

$$\varphi(\omega) = -\operatorname{arctg} \frac{\omega L}{R(1 - \omega^2 LC)}$$

4.5. Միեման պարզեցնենք a և b կետերի նկատմամբ՝ օգտվելով համարժեք գեներատորի եղանակից: Այդ դեպքում համարժեք սխեման կունենա Խնդ. 4.5 նկարում պատկերված տեսքը՝



Խնդ. 4.5

$$\dot{U}_h = \frac{\dot{U}_\Delta}{1 + j\omega RC}; \dot{R}_h = \frac{R}{1 + j\omega RC}$$

$$\dot{K}_1(\omega) = \frac{\dot{U}_{\text{н.п.м}}}{\dot{U}_{\text{н.м}}} = \frac{R}{R + R_h + \frac{1}{j\omega C}} = \frac{1}{1 + \frac{1}{j\omega RC} + \frac{1}{1 + j\omega RC}};$$

$$\dot{K}(\omega) = \frac{\dot{U}_{\text{н.п.м}}}{\dot{U}_{\text{н.м}}} = \frac{\dot{K}_1(\omega)}{1 + j\omega RC} = \frac{1}{3 + j\left(\omega RC - \frac{1}{\omega RC}\right)};$$

$$A(\omega) = \frac{1}{\sqrt{9 + \left(\omega RC - \frac{1}{\omega RC}\right)^2}}; \varphi(\omega) = -\arctg \frac{1}{3} \left(\omega RC - \frac{1}{\omega RC} \right);$$

$$4.6. \dot{K}(\omega) = \frac{\dot{Z}_2}{\dot{Z}_1 + \dot{Z}_2}, \text{ որտեղ } \dot{Z}_1 = \frac{R_1}{1 + j\omega R_1 C_1}, \dot{Z}_2 = \frac{R_2}{1 + j\omega R_2 C_2};$$

$$\dot{K}(\omega) = \frac{R_2}{R_1 + R_2} \cdot \frac{1 + j\omega R_1 C_1}{1 + j\omega \left(\frac{R_1 R_2 C_1}{R_1 + R_2} + \frac{R_1 R_2 C_2}{R_1 + R_2} \right)}; |\dot{K}(\omega)| = \text{const} = \frac{R_2}{R_1 + R_2}, \text{ եթե}$$

$R_1 C_1 = \frac{R_1 R_2}{R_1 + R_2} C_1 + \frac{R_1 R_2}{R_1 + R_2} C_2$, որտեղից $C_1 = \frac{R_2 C_2}{R_1} = 1 \mu\text{Ф}$, իսկ փուլափաճախային բնութագրի համար կունենանք՝ $\varphi(\omega) = 0$:

$$4.7. \omega = \sqrt{\frac{2}{LC}};$$

$$4.8. \dot{U}_{21'} = \frac{1}{1 + j\omega RC} \dot{U}_1; \dot{U}_{2'1'} = \frac{j\omega RC}{1 + j\omega RC} \dot{U}_1; \dot{U}_2 = \dot{U}_{21'} - \dot{U}_{2'1'} =$$

$$= \frac{1 - j\omega RC}{1 + j\omega RC} \dot{U}_1; \dot{K}(\omega) = \frac{\dot{U}_2}{\dot{U}_1} = \frac{1 - j\omega RC}{1 + j\omega RC} = \frac{1 - (\omega RC)^2 - j2\omega RC}{1 + (\omega RC)^2}; A(\omega) = 1;$$

$$tg\varphi(\omega) = -\frac{2\omega RC}{1 - (\omega RC)^2}, \text{ նշանակենք } tg\alpha = \omega RC, \text{ կունենանք՝}$$

$$tg\varphi(\omega) = -\frac{2tg\alpha}{1 - tg^2\alpha} = -tg2\alpha,$$

$$\text{ուրեմն } \varphi(\omega) = -2\alpha = -2\arctg(\omega RC):$$

$$4.9. \dot{K}(\omega) = \frac{(2R^2 + \omega^2 L^2)(2R^2 - \omega^2 L^2 - j3\omega LR)}{4R^4 + 5R^2\omega^2 L^2 + \omega^4 L^4}; tg\varphi(\omega) = \arctg \frac{3\omega LR}{\omega^2 L^2 - 2R^2};$$

$$4.10. \dot{K}(\omega) = \frac{\omega^2 C^2 R_2 (R_2 + R_1)}{1 + [\omega C (R_2 + R_1)]^2} + j \frac{\omega C R_2}{1 + [\omega C (R_2 + R_1)]^2};$$

$$|\dot{K}(\omega)| = \frac{\omega C R_2}{\sqrt{1 + [\omega C (R_2 + R_1)]^2}}; \varphi = \arctg \frac{1}{\omega C (R_2 + R_1)};$$

$$4.11. \dot{K}(\omega) = \frac{R_2 + j\omega L}{R_2 + R_1 + j\omega L}; |\dot{K}(\omega)| = \frac{\sqrt{[(R_2 + R_1)^2 + \omega^2 L^2]^2 + R_1^2 \omega^2 L^2}}{(R_2 + R_1)^2 + \omega^2 L^2};$$

$$\varphi = \arctg \frac{R_1 \omega L}{R_2 (R_2 + R_1) + \omega^2 L^2};$$

$$4.12. \dot{K}(\omega) = \frac{R_2}{R_1 + R_2} \cdot \frac{1}{1 + j\omega\tau}; A(\omega) = \frac{R_2}{R_1 + R_2} \cdot \frac{1}{\sqrt{1 + (\omega\tau)^2}}; \varphi(\omega) = \arctg(\omega\tau);$$

$$\tau = \frac{R_2 R_1}{R_1 + R_2} C;$$

$$4.13. \dot{K}(\omega) = \frac{jR_2 \omega L}{R_2 R_1 + j\omega L (R_2 + R_1)};$$

$$|\dot{K}(\omega)| = \frac{\omega LR_2}{\sqrt{\omega^2 L^2 (R_2 + R_1)^2 + R_1^2 R_2^2}}; \varphi = \arctg \frac{R_1 R_2}{\omega L (R_2 + R_1)};$$

$$4.14. \dot{K}(\omega) = \frac{j\omega L}{R(1-\omega^2 LC) + j\omega L}; |\dot{K}(\omega)| = \frac{\omega L}{\sqrt{R^2(1-\omega^2 LC)^2 + (\omega L)^2}};$$

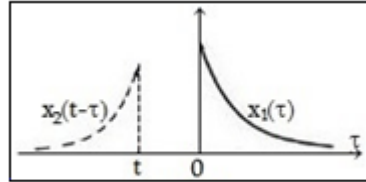
$$\varphi = -\arctg \frac{R(1-\omega^2 LC)}{\omega L};$$

$$4.15. \dot{K}(\omega) = -\frac{R\omega^2 LC}{R(1-\omega^2 LC) + j\omega L}; |\dot{K}(\omega)| = \frac{R\omega^2 LC}{\sqrt{R^2(1-\omega^2 LC)^2 + (\omega L)^2}};$$

$$\varphi = -\arctg \frac{\omega L}{R(1-\omega^2 LC)};$$

4.16. Լուծում: Երկու ֆունկցիաների փաթույթի սահմանման համաձայն $x(t) = \int_{-\infty}^{\infty} x_1(\tau)x_2(t-\tau)d\tau = A_1 A_2 \int_{-\infty}^{\infty} e^{-\alpha_1 \tau} \sigma(\tau) e^{-\alpha_2(t-\tau)} \sigma(t-\tau) d\tau$:

Եթե $t < 0$, ապա այդ ֆունկցիաները ծածկույթ չունեն (տե՛ս Խնդ. 4.16-ի նկարը) և $x(t) = 0$: $t > 0$ դեպքում $0 - t$ միջակայքում ֆունկցիաները կունենան ընդհանուր ծածկույթ և



Խնդ. 4.16

$$x(t) = A_1 A_2 \int_0^t e^{-\alpha_1 \tau} e^{-\alpha_2(t-\tau)} d\tau = A_1 A_2 e^{-\alpha_2 t} \int_0^t e^{-(\alpha_1 - \alpha_2)\tau} d\tau = \frac{A_1 A_2}{(\alpha_2 - \alpha_1)} (e^{-\alpha_1 t} - e^{-\alpha_2 t});$$

4.17. $A^2(T - |t|)$, $0 < |t| < T$: Լուծում: Խնդ. 4.17. ա և բ նկարներում պատկերված է ուղղանկյուն ազդանշանը $\tau < 0$ և $\tau > 0$ ժամանակով շեղված դրա կրկնօրինակների դիրքերը:

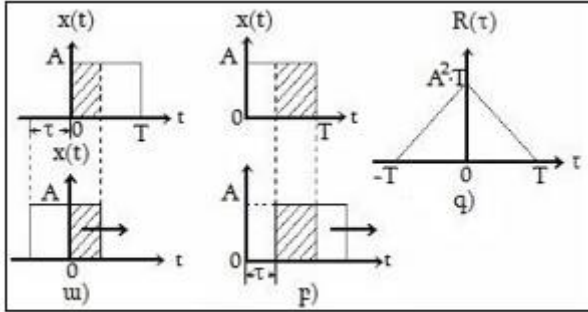
Ստվերազծված տիրույթը այն տիրույթն է, որն օգտագործվելու է $x(t)x(t-\tau)$ արտադրյալը պարունակող ինտեգրալի սահմանները որոշելու համար: Ընդ որում՝ կորելացիոն ֆունկցիան τ -ի տարբեր արժեքների համար որոշվելու է հետևյալ արտահայտություններով՝

$$\text{Երբ } -T \leq \tau \leq 0, R(\tau) = \int_0^{T+\tau} A^2 dt = A^2 (T + \tau):$$

$$\text{Երբ } 0 \leq \tau \leq T, R(\tau) = \int_{\tau}^T A^2 dt = A^2 (T - \tau):$$

$$\text{Երբ } |\tau| > 0, R(\tau) = 0:$$

Ստացված արդյունքները միավորելով, կարող ենք գրել, որ $R(\tau) = A^2(T - |\tau|)$, երբ $-T \leq \tau \leq T$: Որի գրաֆիկը պատկերված է Խնդ. 4.17 գ նկարում:



Խնդ. 4.17

Ստացված արդյունքից հետևում է, որ ազդանշանի կոռելյացիոն ֆունկցիայի արժեքը, ժամանակի առանցքի վրա, կախված չէ $x(t)$ ազդանշանի դիրքից:

4.18. Լուծում:

$$x_2'(t) = -\beta_2 e^{-\beta_2 t} \sigma(t) + e^{-\beta_2 t} \frac{d\sigma(t)}{dt} = [\delta(t) - \beta_2 \sigma(t)] e^{-\beta_2 t};$$

$$I = \int_{-\infty}^{\infty} e^{-\beta_1 t} \sigma(t) \delta(t - a) e^{-\beta_2 (t-a)} dt - \beta_2 \int_{-\infty}^{\infty} e^{-\beta_1 t} \sigma(t) \sigma(t - a) e^{-\beta_2 (t-a)} dt:$$

1. Եթե $a > 0$, ապա

$$I = e^{-\beta_1 t} - \beta_2 e^{\beta_2 a} \int_a^{\infty} e^{-(\beta_2 + \beta_1)t} dt = \frac{\beta_1}{\beta_2 + \beta_1} e^{-\beta_1 a};$$

2. Եթե $a = 0$, ապա $I = \frac{1}{2} - \beta_2 \int_0^{\infty} e^{-(\beta_2 + \beta_1)t} dt = -\frac{\beta_1 - \beta_2}{2(\beta_2 + \beta_1)}$;

3. Եթե $a < 0$, ապա

$$I = 0 - \beta_2 \int_0^{\infty} e^{\beta_2 a} e^{-(\beta_2 + \beta_1)t} dt = -\frac{\beta_2}{\beta_2 + \beta_1} e^{-\beta_2 |a|}:$$

4.19. Լուծում: $R(\tau) = \int_{-\infty}^{\infty} x(t)x(t - \tau)dt = \int_{-\infty}^{\infty} x(t)x(t + \tau)dt$,

$$R(\tau) = \int_{-\infty}^{\infty} A^2 e^{-at} \sigma(t) e^{-\alpha(t+\tau)} \sigma(t + \tau) dt:$$

Այժմ օգտվենք $\sigma(t)$ ֆունկցիայի հետևյալ հատկություններից՝
 $\sigma(t)\sigma(t - |\tau|) = \sigma(t - |\tau|)$, եթե $\tau \geq 0$:

$\sigma(t)\sigma(t + |\tau|) = \sigma(t)$, եթե $\tau \leq 0$:

Հետևաբար՝ $R(\tau) = A^2 e^{\alpha|\tau|} \int_{|\tau|}^{\infty} e^{-2\alpha t} dt = \frac{A^2}{2\alpha} e^{-\alpha|\tau|}$ կամ

$$R(\tau) = A^2 e^{-\alpha|\tau|} \int_0^{\infty} e^{-2\alpha t} dt = \frac{A^2}{2\alpha} e^{-\alpha|\tau|}:$$

4.20. $\frac{A^2 T}{3} \left[1 - \frac{3|\tau|}{2T} + \frac{1}{2} \left(\frac{|\tau|}{T} \right)^3 \right]$, $0 < \tau < T$:

4.21. $A^2(T - |\tau|)$, $0 < \tau < T$:

4.22. Լուծում: $R_{12}(\tau) = \int_{-\infty}^{\infty} x_1(t)x_2(t - \tau)dt = \int_{-\infty}^{\infty} x_1(t + \tau)x_2(t)dt$,

1. $\tau > 0$ դեպքում ունենք՝

$$R_{12}(\tau) = \int_{-\infty}^{\infty} x_1(t)x_2(t - \tau)dt = AB e^{\beta\tau} \int_{\tau}^{\infty} e^{-(\alpha+\beta)t} dt = \frac{AB}{\alpha+\beta} e^{-\beta\tau}:$$

2. $\tau < 0$ դեպքում

$$R_{12}(\tau) = \int_{-\infty}^{\infty} x_1(t)x_2(t - \tau)dt = AB \int_0^{\infty} e^{-\alpha t} e^{-\beta(t-\tau)} dt = \frac{AB}{\alpha+\beta} e^{+\beta\tau}:$$

Այս երկու արդյունքները միացնելով իրար՝ կունենանք

$$R_{12}(\tau) = \frac{AB}{\alpha+\beta} e^{-\beta|\tau|}:$$

Փոխադարձ էներգիական սպեկտրի համար ունենք՝

$$\begin{aligned} W_{12}(\omega) &= \dot{S}_1(\omega) \cdot \dot{S}_2^*(\omega), \\ \dot{S}_1(\omega) &= \int_0^{\infty} A e^{-\alpha t} e^{-j\omega t} dt = \frac{A}{\alpha + j\omega}; \\ \dot{S}_2(\omega) &= \int_0^{\infty} B e^{-\beta t} e^{-j\omega t} dt = \frac{B}{\beta + j\omega}; \\ \dot{S}_2^*(\omega) &= \frac{B}{\beta - j\omega}; \quad W_{12}(\omega) = \frac{AB}{(\alpha + j\omega)(\beta - j\omega)}. \end{aligned}$$

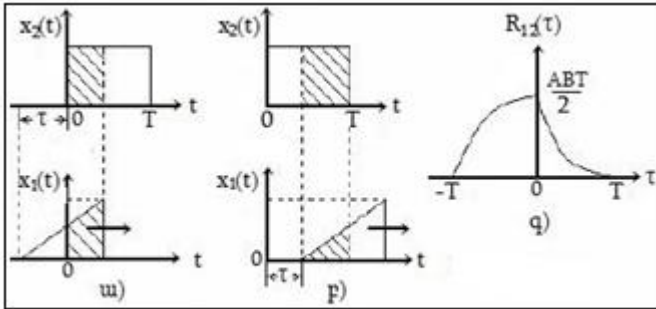
4.23. $\frac{AB}{2}(T^2 - \tau^2)$, եթե $0 < \tau < T$; $\frac{AB}{2}(T - |\tau|)^2$, եթե $-T < \tau < 0$:

Լուծում: Նախ պետք է գրել այդ ազդանշանների անալիտիկ տեսքերը: Այդ ազդանշանների անալիտիկ տեսքերն են՝

$$\begin{aligned} x_1(t) &= \begin{cases} At & \text{երբ } 0 \leq t \leq T, \\ 0 & \text{երբ } t < 0; t > T; \end{cases} \\ x_2(t) &= \begin{cases} B & \text{երբ } 0 \leq t \leq T, \\ 0 & \text{երբ } t < 0; t > T: \end{cases} \end{aligned}$$

Ինդ. 4.23 ա նկարում պատկերված է այդ ազդանշանների փոխադարձ դիրքը, երբ դրանցից մեկը մյուսի նկատմամբ շեղված է

$\tau < 0$ և $\tau > 0$ դեպքում, տե՛ս Խնդ. 4.23 բ-ի նկարը: Ստվերագծած տիրույթն օգտագործվում է $x_1(t)x_2(t-\tau)$ և $x_1(t-\tau)x_2(t)$ արտադրյալները պարունակող ինտեգրալների սահմանները որոշելու համար:



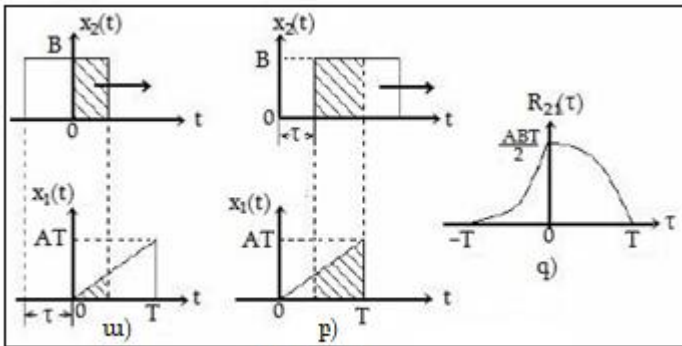
Խնդ.4.23ա

Երբ $-T \leq \tau \leq 0$, $R_{12}(\tau) = \int_0^{T+\tau} AB(t-\tau)dt = \frac{AB}{2}(T^2 - \tau^2)$:

Երբ $0 \leq \tau \leq T$, $R_{12}(\tau) = \int_\tau^T AB(t-\tau)dt = \frac{AB}{2}(T-\tau)^2$:

Որոշենք $R_{12}(\tau)$ -ը երբ $|\tau| > T$, $R_{12}(\tau) = 0$:

Այժմ որոշենք $R_{21}(\tau)$ -ը:



Խնդ.4.23բ

Երբ $-T \leq \tau \leq 0$,

$$R_{21}(\tau) = \int_0^{T+\tau} ABtdt = \frac{AB}{2}(T+\tau)^2 = \frac{AB}{2}(T-|\tau|)^2;$$

$$\text{Երբ } 0 \leq \tau \leq T, R_{21}(\tau) = \int_{\tau}^T ABt dt = \frac{AB}{2}(T^2 - \tau^2);$$

$$\text{Երբ } |\tau| > T, R_{21}(\tau) = 0:$$

Ստացված արդյունքներից կարելի է եզրակացնել, որ փոխկոռելյացիոն ֆունկցիան համաչափ չէ՝ $R_{21}(\tau) \neq R_{21}(-\tau)$, այլ $R_{21}(\tau) = R_{12}(-\tau)$: Այս իմպուլսների փոխադարձ էներգիան կլինի՝ $W_{12} = R_{21}(0) = \frac{AB}{2}T^2$:

4.24. Լուծում: Պարբերական ազդանշանը, ըստ ժամանակի, ունի անվերջ երկար տևողություն: Այդ ազդանշաննաններն ունենալով վերջավոր հզորություն՝ օժտված են անվերջ մեծ էներգիայով: Այդպիսի ազդանշանի համար կոռելյացիոն ֆունկցիան, լինելով ազդանշանի էներգիական բնութագիրը, պետք է որոշվի մեկ պարբերության ընթացքում միջին հզորությամբ՝

$$R(\tau) = \frac{1}{T} \int_0^T x(t)x(t-\tau) dt = \frac{1}{T} \int_0^T x(t)x(t+nT-\tau) dt = R(\tau-nT):$$

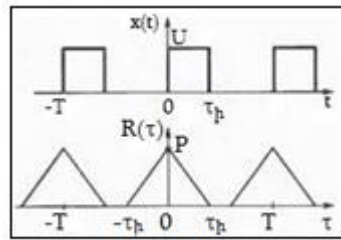
Այսինքն՝ պարբերական ազդանշանի կոռելյացիոն ֆունկցիան ևս պարբերական ֆունկցիա է, որի պարբերությունը հավասար է ազդանշանի պարբերությանը:

ա) $x(t) = U \cos(\omega t + \varphi)$: Այս դեպքում

$$R(\tau) = \int_0^T U^2 \cos(\omega t + \varphi) \cos[\omega(t-\tau) + \varphi] dt = \frac{U^2}{2T} \int_0^T \cos[\omega(2t-\tau) + 2\varphi] dt + \frac{U^2}{2T} \int_0^T \cos\omega\tau dt = \frac{U^2}{2} \cos\omega\tau:$$

Այսինքն՝ $T = \frac{2\pi}{\omega}$ պարբերությամբ հարմոնիկ տատանման կոռելյացիոն ֆունկցիան ևս նույն պարբերությամբ հարմոնիկ ֆունկցիա է և կախված չէ սկզբնական փուլից:

բ) Խնդ. 4.24-ի նկարը: $R(\tau)$ կոռելյացիոն ֆունկցիան նույն պարբերությամբ եռանկյուն իմպուլսների հաջորդականություն է: $R(0) = \frac{U^2}{T} \tau_f$ -ն ուղղանկյուն իմպուլսների հաջորդականության միջին հզորությունն է:



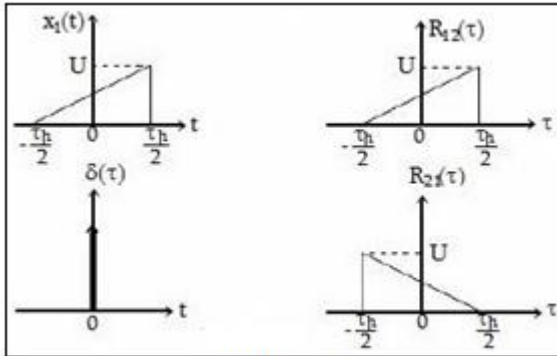
Խնդ. 4.24

4.25. Լուծում:

$$R_{12}(\tau) = \int_{-\infty}^{\infty} x_1(t)x_2(t-\tau)dt = \int_{-\infty}^{\infty} x_1(t)\delta(t-\tau)dt = x_1(\tau);$$

$$\begin{aligned} R_{21}(\tau) &= \int_{-\infty}^{\infty} x_1(t-\tau)x_2(t)dt = \int_{-\infty}^{\infty} x_1(t-\tau)\delta(t)dt = \\ &= \int_{-\infty}^{\infty} x_1(y)\delta(y+\tau)dy = x_1(-\tau): \end{aligned}$$

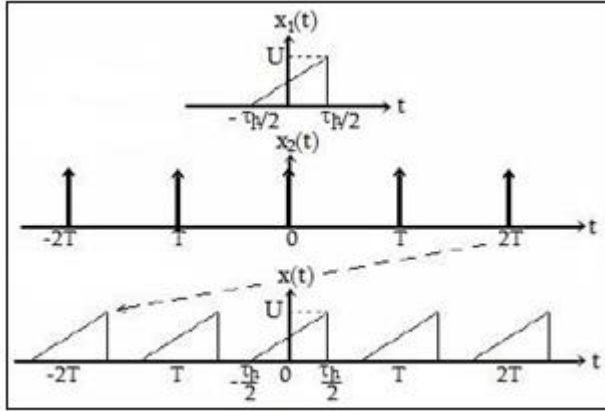
$x_1(t)$ և δ -ֆունկցիաների, ինչպես նաև դրանց $R_{12}(\tau)$ և $R_{21}(\tau)$ փոխկոռելյացիոն ֆունկցիաների գրաֆիկները բերված են Խնդ. 4.25-ի նկարում:



Խնդ.4.25

4.26. Լուծում. Դիցու՛ք $x_1(t)$ միայնակ իմպուլս է (օրինակ՝ եռանկյուն իմպուլս), իսկ $x_2(t) = \sum_{-\infty}^{\infty} \delta(t+nT)$ ազդանշանը δ -ֆունկցիաների պարբերաբար կրկնվող հաջորդականությունն է, տե՛ս Խնդ. 4.26-ի նկարը: Այս դեպքում

$$\begin{aligned} R_{12}(\tau) &= \int_{-\infty}^{\infty} x_1(t)x_2(t)dt = \int_{-\infty}^{\infty} x_1(t) \sum_{-\infty}^{\infty} \delta(t+nT-\tau) dt = \\ &= \sum_{-\infty}^{\infty} \int_{-\infty}^{\infty} x_1(t)\delta[t-(\tau-nT)] dt = \sum_{-\infty}^{\infty} x_1(\tau-nT): \end{aligned}$$



Խնդ. 4.26

Ստացված կոռելյացիոն ֆունկցիան պարբերաբար կրկնվող $x_1(t)$ ազդանշան է, այսինքն՝ ստացվել է $x(t) = \sum_{-\infty}^{\infty} x_1(t - nT)$ պարբերական ազդանշան:

Այսպիսով, կարելի է անել այն հետևությունը, որ կամյական պարբերական ազդանշան է $x_1(t)$ միայնակ ազդանշանի և $x_2(t)$ ազդանշանի փոխկոռելյացիոն ֆունկցիան, եթե վերջինս δ -ֆունկցիաների պարբերաբար կրկնվող հաջորդականությունն է: Ստացված արդյունքը ներկայացված է Խնդ. 4. 26 նկարում:

5.1 $F(p) = \int_0^{\infty} \delta(t - t_0)e^{-pt} dt = e^{-pt_0}$, հետևաբար $\delta(t)$ -ինը կլինի՝ $F(p) = 1$:

5.2. $F(p) = \int_0^{\infty} \sigma(t)e^{-pt} dt = -\frac{e^{-pt}}{p} \Big|_0^{\infty} = \frac{1}{p}$:

5.3. 1. $\frac{1}{p-a}$; 2. $\frac{1}{p+a}$; 3. $\frac{a}{p(p+a)}$; 4. կետի լուծումը.

$F(p) = \int_0^{\infty} t^a e^{-pt} dt$, նշանակենք $pt = u$, կունենանք՝

$F(p) = \frac{1}{p^{a+1}} \int_0^{\infty} u^a e^{-u} du$: Օգտվելով գամա-ֆունկցիայի սահմանումից՝ $\Gamma(a) = \int_0^{\infty} e^{-u} u^{a-1} du$, կստանանք՝ $F(p) = \frac{\Gamma(a+1)}{p^{a+1}}$: Եթե a -ն ընդունում է ամբողջ արժեքներ՝ $a = n$, ապա $F(p) = \frac{n!}{p^{n+1}}$:

5.կետի լուծումը.

$$F(p) = \int_0^{\infty} e^{p_0 t} e^{-pt} dt = \int_0^{\infty} e^{-(p-p_0)t} dt = \frac{e^{-(p-p_0)t}}{p-p_0} \Big|_0^{\infty} = \frac{1}{p-p_0},$$

էրբ $t \geq 0$ և $\text{Re} p > p_0$

5.4. 1. Լուծում: $\cos bt = \frac{1}{2}(e^{jbt} + e^{-jbt}),$

$$\begin{aligned} F(p) &= \int_0^{\infty} \cos bt e^{-pt} dt = \frac{1}{2} \int_0^{\infty} (e^{jbt} + e^{-jbt}) e^{-pt} dt = \\ &= \frac{1}{2} \int_0^{\infty} e^{-(p-jb)t} dt + \frac{1}{2} \int_0^{\infty} e^{-(p+jb)t} dt = \\ &= -\frac{1}{2} \frac{e^{-(p-jb)t}}{p-jb} \Big|_0^{\infty} - \frac{1}{2} \frac{e^{-(p+jb)t}}{p+jb} \Big|_0^{\infty} = \frac{1}{2} \frac{1}{p-jb} + \frac{1}{2} \frac{1}{p+jb} = \frac{p}{p^2+b^2}. \end{aligned}$$

Նման հաշվարկներ կատարելով՝ մյուս օրինակների համար կտանանք հետևյալ պատասխանները՝

2. $\frac{p \cos \varphi - b \sin \varphi}{p^2 + b^2}$; **3.** $\frac{b}{p^2 - b^2}$; **4.** $\frac{p \sin \varphi + b \cos \varphi}{p^2 + b^2}$:

5.5. 1. $\frac{1}{8} \left(\frac{p}{p^2+16} - \frac{4p}{p^2+4} + \frac{3}{p} \right)$; **2.** $\frac{1}{32} \left(\frac{p}{p^2+36} + \frac{6p}{p^2+16} + \frac{15p}{p^2+4} + \frac{10}{p} \right)$:

5.6. Լուծում: **ա)** Նախ գրենք այդ ֆունկցիայի անալիտիկ տեսքը՝

$$x(t) = \begin{cases} 0, & \text{էրբ } 0 < t < 2a, \\ 1, & \text{էրբ } 2a < t < a+b, \\ -1, & \text{էրբ } a+b < t < 2b, \\ 0, & \text{էրբ } t > 2b: \end{cases}$$

Հետևաբար

$$F(p) = \int_0^{\infty} x(t) e^{-pt} dt = \int_{2a}^{a+b} e^{-pt} dt - \int_{a+b}^{2b} e^{-pt} dt =$$

$$\frac{1}{p} (e^{-ap} - -e^{-bp})^2 \quad \text{բ) } F(p) = \frac{2}{p} e^{-ap} (1 + e^{-2ap}):$$

5.7. ա) $\frac{1}{p} (1 + e^{-ap})(1 - e^{-2ap})$; **բ) Լուծում:**

$$\begin{aligned} F(p) &= \int_0^a \left(\frac{b}{a} t + b \right) e^{-pt} dt = \frac{b}{a} \int_0^a t e^{-pt} dt + b \int_0^a e^{-pt} dt = \\ &= \frac{b}{ap^2} (1 - e^{-ap}) + \frac{b}{p} (1 - 2e^{-ap}): \end{aligned}$$

5.8. ա) $x(t) = \begin{cases} -\frac{t}{a} + 1, & 0 < t < 2a, \\ 0, & t > 2a: \end{cases}$

$$F(p) = \int_0^{2a} \left(-\frac{t}{a} + 1\right) e^{-pt} dt = \frac{1}{p} (1 + e^{-2ap}) - \frac{1}{ap^2} (1 - e^{-2ap}):$$

$$\text{Բ) } x(t) = \begin{cases} \frac{t}{a}, & 0 < t < a, \\ \frac{t-b}{a-b}, & a < t < b: \end{cases} \quad F(p) = \int_0^a \frac{t}{a} e^{-pt} dt + \int_a^b \frac{t-b}{a-b} e^{-pt} dt =$$

$$= \frac{1}{p^2} \left(\frac{1-e^{-ap}}{a} + \frac{e^{-ap}-e^{-bp}}{a-b} \right):$$

5.9. 1. $\frac{1}{(p+a)^2}$; 2. $\frac{b}{(p+a)^2+b^2}$; 3. $\frac{p^2-b^2}{(p^2+b^2)^2}$; 4. $\frac{p^3}{p^4+4a^4}$; 5. $\frac{a^2p}{p^4+4a^4}$; 6. $\frac{p+a}{(p+a)^2+b^2}$:

5.10. 1. $\frac{pe^{-ap}}{p^2+a^2}$; 2. $\frac{e^{-ap}}{(p-1)^2+1}$:

5.11. 1. Եթե $\sin \omega t \div F(p)$, ապա $(\sin \omega t)' \div pF(p)$, $(\sin \omega t)'' = -\omega^2 \sin \omega t \div p^2 F(p) - \omega$, հետևաբար

$$-\omega^2 F(p) = p^2 F(p) - \omega, F(p) = \frac{\omega}{p^2 + \omega^2}:$$

2. Եթե $chbt \div F(p)$, ապա $(chbt)' \div pF(p) - 1$, $(chbt)'' = b^2 chbt \div p^2 F(p) - p$, հետևաբար

$$b^2 F(p) = p^2 F(p) - p, F(p) = \frac{p}{p^2 - b^2}:$$

3. Եթե $a^t \div F(p)$, ապա $(a^t)' = a^t \ln a \div pF(p) - 1$, $\ln a F(p) = pF(p) - 1$, հետևաբար $F(p) = \frac{1}{p - \ln a}$:

4. Եթե $e^{-at} \div F(p)$, ապա $(e^{-at})' = -ae^{-at} \div pF(p) - 1$, Հետևաբար $-aF(p) = pF(p) - 1$, $F(p) = \frac{1}{p+a}$:

5.12. **Լուծում:** Սկզբում որոշենք միայն առաջին իմպուլսի պատկերը $F_0(p) = \int_0^a \frac{E}{a} t e^{-pt} dt = \frac{E}{ap^2} [1 - e^{-ap}(1 + ap)]$: Ուշացման թեորեմի համաձայն՝ հաջորդ իմպուլսների պատկերների համար կունենանք՝ $F_k(p) = e^{-kTp} F_0(p)$: Օգտվելով գումարի թեորեմից, կրող ենք գրել՝

$$F(p) = \sum_{k=0}^{\infty} F_k(p) = \sum_{k=0}^{\infty} e^{-kTp} \cdot \frac{E}{ap^2} [1 - e^{-p}(1 + ap)] =$$

$$= \frac{E}{ap^2} [1 - e^{-ap}(1 + ap)] \sum_{k=0}^{\infty} e^{-kTp}: \text{ Հայտնի է, որ}$$

$$\sum_{k=0}^{\infty} e^{-kTp} = \frac{1}{1 - e^{-Tp}}, \text{ հետևաբար } F(p) = \frac{E[1 - e^{-ap}(1 + ap)]}{ap^2(1 - e^{-Tp})}:$$

5.13. $F(p) = \frac{E(1 - e^{-ap})}{p(1 - e^{-Tp})}$:

5.14. 1. Լուծում: $e^{-at} \sin bt \div \frac{b}{(p+a)^2 + b^2}$;

$$\frac{e^{-at} \sin bt}{t} \div \int_p^\infty \frac{b dp}{(p+a)^2 + b^2} = \arctg \frac{p+a}{b} \Big|_p^\infty = \frac{\pi}{2} - \arctg \frac{p+a}{b} = \arctg \frac{b}{p+a}:$$

2. $\frac{\sin t}{t} \div \arctg \frac{1}{p}$: **3. Լուծում:** $\frac{1 - e^{-at}}{t e^{bt}} = \frac{e^{-bt} - e^{-(b-a)t}}{t}$,

$$e^{-bt} - e^{-(b-a)t} \div \frac{1}{p+b} - \frac{1}{p+b-a}, \text{ հետևաբար}$$

$$F(p) = \int_0^\infty \left(\frac{1}{p+b} - \frac{1}{p+b-a} \right) dp = \lim_{A \rightarrow \infty} \int_0^A \left(\frac{1}{p+b} - \frac{1}{p+b-a} \right) dp = \\ = \ln \frac{p+b-a}{p+b}: \mathbf{4.} F(p) = \frac{1}{2} \ln \frac{p^2+a^2}{p^2+b^2}.$$

5.15. Լուծում: Պատկերի ինտեգրման թեորեմից հայտնի է, որ

$$\frac{f(t)}{t} \div \int_p^\infty F(p) dp, \text{ իսկ բնօրինակի ինտեգրման թեորեմից ունենք՝}$$

$$\int_0^t \frac{f(t)}{t} dt \div \frac{1}{p} \int_p^\infty F(p) dp, \int_t^\infty \frac{f(t)}{t} dt \div \frac{1}{p} \int_0^p F(p) dp:$$

1. Վերցնենք $f(t) = \sin t \div \frac{1}{p^2+1}$, կատանանք՝

$$\sin(t) \div \frac{1}{p} \int_p^\infty \frac{dp}{p^2+1} = \frac{1}{p} \left(\frac{\pi}{2} - \arctg p \right) = \frac{1}{p} \arctg \frac{1}{p}:$$

2. Վերցնենք $f(t) = \cos t \div \frac{p}{p^2+1}$, $ci(t) \div -\frac{1}{p} \int_0^p \frac{p dp}{p^2+1} =$

$$= -\frac{1}{p} \left[\frac{1}{2} \ln(p^2 + 1) \right]_0^p = \frac{1}{p} \ln \frac{1}{\sqrt{p^2+1}}:$$

5.16. 1. Լուծում: $x(t) = \frac{1}{2\pi j} \int_{\alpha-j\infty}^{\alpha+j\infty} F(p) e^{pt} dp = \frac{1}{2\pi j} \int_{\alpha-j\infty}^{\alpha+j\infty} \frac{e^p e^{pt}}{e^{p+1}} dp$, ընդ

որում՝ $Rep = a$ ուղիղն ընկած է $\frac{e^p}{e^{p+1}}$ ֆունկցիայի հատուկ կետերից

աջ: Ենթադրելով $e^p = q$ ՝ կունենանք $x(t) = \frac{1}{2\pi j} \int_\Gamma \frac{q^t}{q+1} dq$, որտեղ Γ -ն

շրջանագիծ է՝ $|q| = e^\alpha$, որի ներսում ինտեգրալատակ ֆունկցիան

ունի մեկ հատուկ կետ՝ $q=-1$ (պարզ բևեռ), հետևաբար՝

$$x(t) = \text{Res} \frac{q^t}{q+1} \Big|_{q=-1} = (-1)^t: \mathbf{2.} 4^{t-1} - 3^{t-1}, t > 1:$$

3. Լուծում: $x(t) = \frac{1}{2\pi j} \int_{\alpha-j\infty}^{\alpha+j\infty} \frac{p e^{pt}}{(p+a)^2} dp =$

$$= \text{Res} \frac{p e^{pt}}{(p+a)^2} \Big|_{p=-a} = \lim_{p \rightarrow -a} \frac{d}{dp} \left[\frac{(p+a)^2 p e^{pt}}{(p+a)^2} \right] = \lim_{p \rightarrow -a} (p t e^{pt} + e^{pt}) =$$

$$= (1 - at) e^{-at}:$$

4. $\frac{1}{a-b}(ae^{-at} - be^{-bt})$: **5-ի լուծումը** : Օգտվենք (5.6) բանաձևից: Մեր դեպքում $A(p)=1$, $B(p) = (p+a)(p+b)$: Ուրեմն $F(p)$ Ֆունկցիայի բևեռները կլինեն՝ $p_1 = -a$, $p_2 = -b$:

$$B'(p) = \frac{dB}{dp} = 2p + a + b; B'(p_1) = b - a, B'(p_2) = a - b:$$

$x(t)$ -ի համար կունենանք՝

$$x(t) = \frac{1}{b-a}e^{-at} + \frac{1}{a-b}e^{-bt} = \frac{1}{b-a}(e^{-at} - e^{-bt}):$$

5.17. Լուծում: $F(p) = \frac{1}{p^2+1} \cdot \frac{p}{p^2+1} = F_1(p)F_2(p) \div x_1(t) * x_2(t)$;

$$x_1(t) = \sin t, x_2(t) = \cos t, x(t) = x_1(t) * x_2(t) =$$

$$= \int_0^t x_1(\tau)x_2(t-\tau)d\tau, x(t) = \int_0^t \sin \tau \cdot \cos(t-\tau)d\tau =$$

$$= \int_0^t \sin \tau (\cos t \cos \tau + \sin t \sin \tau) d\tau = \cos t \int_0^t \sin \tau \cos \tau d\tau +$$

$$+ \sin t \int_0^t \sin^2 \tau d\tau = \frac{1}{2} t \sin t :$$

5.18. $x(t) = \frac{1}{b-a}(e^{-at} - e^{-bt})$:

5.19. Լուծում: $\sigma(t) \div \frac{1}{p}$ և մեկ անգամ ինտեգրելուց հետո, ինտեգրման թեորեմի համաձայն՝ $\int_0^t \sigma(t) dt \div \frac{1}{p^2}$, $(n-1)$ անգամ ինտեգրելուց հետո պատկերի համար կունենանք $\frac{1}{p^n}$, հետևաբար՝

$$\underbrace{\int_0^t dt \int_0^t dt \dots \int_0^t \sigma(t) dt}_{n-1} = \frac{t^{n-1}}{(n-1)!}:$$

5.20. Հայտնի է, որ $\lim_{t \rightarrow 0} x(t) = \lim_{p \rightarrow \infty} pF(p)$; $\lim_{t \rightarrow \infty} x(t) = \lim_{p \rightarrow 0} pF(p)$:

ա) Լուծում: $\lim_{t \rightarrow 0} x(t) = \lim_{p \rightarrow \infty} \frac{p}{p+a} = 1$; $\lim_{t \rightarrow \infty} x(t) = \lim_{p \rightarrow 0} \frac{p}{p+a} = 0$:

բ) $x(0) = 0$, $x(\infty) = \frac{1}{a}$; **գ)** $x(0) = 1$, $x(\infty) = \frac{b}{a}$:

5.21. ա) $K(p) = \frac{\alpha}{p+\alpha}$; **բ)** $K(p) = \frac{prc}{1+prc+p^2LC}$:

5.22. $K(p) = e^{-pt_0}$:

5.23. ա) $K(p) = \alpha_1 p$; **բ)** $K(p) = \frac{\alpha_2}{p}$:

5.24. $\dot{K}(\omega) = ATe^{-j\omega T/2} \frac{\sin(\omega T/2)}{\omega T/2}$; $K(p) = \frac{A}{p}(1 - e^{-Tp})$:

5.25. Լուծում: $U_2 = U_1 \frac{\frac{(R+pL)pL}{R+2pL} pL}{\left[R + \frac{(R+pL)pL}{R+2pL} \right] (R+2pL)}, K(p) = \frac{U_2}{U_1} =$
 $= \frac{p^2 L^2}{p^2 L^2 + 3pLR + R^2}$ կամ $K(p) = \frac{p^2 \tau^2}{p^2 \tau^2 + 3p\tau + 1} = \frac{p^2 \tau^2}{\left(p + \frac{2,618}{\tau} \right) \left(p + \frac{0,382}{\tau} \right)},$ որտեղ $\tau = \frac{L}{R}$:

$h(t) \div \frac{K(p)}{p} = \frac{p\tau^2}{\left(p + \frac{2,618}{\tau} \right) \left(p + \frac{0,382}{\tau} \right)},$ անցնելով բնօրինակի, կստանանք՝

$h(t) = 1,17e^{-\frac{2,618t}{\tau}} - 0,17e^{-\frac{0,382t}{\tau}}:$ Իմպուլսային բնութագիրը որոշելու համար օգտվենք հետևյալ կապից՝

$g(t) = h(0)\delta(t) + \frac{dh(t)}{dt}, g(t) = \delta(t) - \frac{3,063}{\tau} e^{-\frac{2,618}{\tau}t} + \frac{0,065}{\tau} e^{-\frac{0,382}{\tau}t}:$

5.26. $K(p) = \frac{pRC-1}{pRC+1}; h(t) = 2e^{-t/RC} - 1; g(t) = \delta(t) - \frac{2}{RC} e^{-t/RC}:$

5.27. $h(t) = \frac{R_2}{R_2+R_1} e^{-t/\tau},$ **(ա)** սխեմայի համար $\tau = (R_2 + R_1)C;$

բ) սխեմայի համար $\tau = \frac{L(R_2+R_1)}{R_2R_1}:$

5.28. $h(t) = \frac{R_2}{R_2+R_1} \left(1 + \frac{R_1}{R_2} e^{-t/\tau} \right),$ **(ա)** սխեմայի համար $\tau = \frac{L}{R_2+R_1};$

բ) սխեմայի համար $\tau = \frac{R_2R_1}{R_2+R_1} C:$

5.29. $h(t) = 1 - \frac{R_1}{R_2+R_1} e^{-t/\tau},$ **(ա)** սխեմայի համար $\tau = (R_2 + R_1)C;$

բ) սխեմայի համար $\tau = \frac{L(R_2+R_1)}{R_2R_1}:$

5.30. $h(t) = \frac{R_2}{R_2+R_1} (1 - e^{-t/\tau}),$ **(ա)** սխեմայի համար $\tau = L/(R_2 + R_1);$

բ) սխեմայի համար $\tau = \frac{R_2R_1}{R_2+R_1} C:$

5.31. Լուծում: $I(p)(R + pL) = U(p), U_L(p) = pLI(p), U(p) = \frac{a}{p^2},$

$U_L(p) \left(\frac{R}{pL} + 1 \right) = \frac{a}{p^2}, U_L(p) = \frac{a}{p \left(p + \frac{R}{L} \right)}; U_L(t) = \frac{1}{2\pi j} \int_{\alpha-j\omega}^{\alpha+j\omega} U_L(p) e^{pt} dp =$

$= \sum_{\substack{p_1=0, \\ p_2=-R/L}} Res \frac{ae^{pt}}{p(p + R/L)} = \frac{aL}{R} \left(1 - e^{-\frac{Rt}{L}} \right):$

5.32. $\frac{U_m}{R^2 + \omega^2 L^2} \left(R \cos \omega t + \omega L \sin \omega t - Re^{-\frac{Rt}{L}} \right):$

$$5.33. I(t) = \frac{E}{R-\alpha L} \left(e^{-\alpha t} - e^{-\frac{Rt}{L}} \right), U_R(t) = I(t)R,$$

$$U_L(t) = L \frac{dI(t)}{dt} = \frac{E}{R-\alpha L} \left(R \cdot e^{-\frac{Rt}{L}} - \alpha L e^{-\alpha t} \right):$$

5.34. Լուծում: Ուղղանկյուն իմպուլսը ներկայացնենք երկու լարման թռիչքների գումարի տեսքով՝ $\varepsilon(t) = U_0\sigma(t) - U_0\sigma(t - T)$, հետևաբար մուտքային լարման լապլասյան պատկերը կլինի՝

$$\varepsilon(p) = \frac{U_0}{p} - \frac{U_0}{p} e^{-Tp}: \text{ Այժմ գրենք շղթայի օպերատորական հավասարումը՝}$$

$$I(p)(R + pL) = \frac{U_0}{p} - \frac{U_0}{p} e^{-Tp}, \quad \text{որտեղից}$$

$$I(p) = \frac{U_0}{Lp(p+R/L)} - \frac{U_0 e^{-Tp}}{Lp(p+R/L)}: \text{ Անցնելով պատկերից բնօրինակի՝ կստանանք՝}$$

$$I(t) = \begin{cases} \frac{U_0}{R} \left(1 - e^{-\frac{Rt}{L}} \right), & 0 \leq t < T, \\ \frac{U_0}{R} \left(e^{\frac{RT}{L}} - 1 \right) e^{-\frac{Rt}{L}}, & t \geq T: \end{cases}$$

Լարումը կոճի վրա հավասար է՝ $U_L(t) = L \frac{dI(t)}{dt}$, հետևաբար անցումային ռեժիմում ինդուկտիվության վրա լարման համար կունենանք՝

$$U_L(t) = \begin{cases} U_0 e^{-\frac{Rt}{L}}, & 0 \leq t < T, \\ -U_0 \left(e^{\frac{RT}{L}} - 1 \right) e^{-\frac{Rt}{L}}, & t \geq T: \end{cases}$$

5.35. Լուծում: Ելնելով մուտքային լարման գրաֆիկից՝ կարող ենք գրել՝

$$U_1(t) = \begin{cases} \frac{U_0}{T} t, & 0 < t < T, \\ U_0 \left(2 - \frac{t}{T} \right), & T < t < 2T: \end{cases}$$

$$U_C(p) = K(p)U_1(p), \quad K(p) = \frac{1}{\tau \left(p + \frac{1}{\tau} \right)}, \quad \tau = RC:$$

$$U_1(p) = \int_0^T \frac{U_0}{T} t e^{-pt} dt + \int_T^{2T} U_0 \left(2 - \frac{t}{T} \right) e^{-pt} dt = \frac{U_0}{T p^2} (1 - e^{-Tp})^2;$$

$$U_C(p) = \frac{U_0 (1 - 2e^{-Tp} + e^{-2Tp})}{T \tau p^2 \left(p + \frac{1}{\tau} \right)} = \frac{U_0}{T \tau} \left[\frac{1}{p^2 \left(p + \frac{1}{\tau} \right)} - 2e^{-Tp} \frac{1}{p^2 \left(p + \frac{1}{\tau} \right)} + e^{-2Tp} \frac{1}{p^2 \left(p + \frac{1}{\tau} \right)} \right]:$$

Օգտվելով գումարի և ուշացման թեորեմներից և հաշվի առնելով, որ

$$\frac{1}{p^2 \left(p + \frac{1}{\tau}\right)} \div \left(\frac{t}{\tau} + e^{-t/\tau} - 1\right) t^2, \text{ կստանանք՝}$$

$$U_C(t) = x(t) = \frac{U_0 \tau}{T} \left(\frac{t}{\tau} + e^{-t/\tau} - 1\right), \quad 0 < t \leq T:$$

$$U_C(t) = x(t) - 2x(t - T), \quad T < t \leq 2T:$$

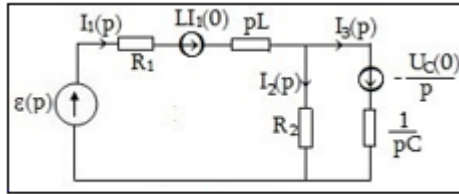
$$U_C(t) = x(t) - 2x(t - T) + x(t - 2T), \quad t > 2T:$$

5.36. $U_R(t) = \frac{UR}{\omega_1 L} e^{-\frac{1Rt}{2L}} \sin \omega_1 t, \omega_1 = \sqrt{\frac{1}{LC} - \frac{R^2}{4L^2}}$.

5.37. $I(t) = e^{-5 \cdot 10^3 t} \sin 10^6 t$ մԱ, $W_R = 0,5$ նՋ :

5.38. $\left(R + pL + \frac{1}{pC}\right) I(p) = \frac{U}{p} - \frac{U_0}{p}$:

5.39. **Լուծում:** Շղթայի օպերատորական համարժեք տեղակալման սխեման կունենա Խնդ.5.39 նկարում բերված տեսքը:



Խնդ.5.39

Օգտվելով Կիրիսիտի օրենքներից՝ շղթայի օպերատորական հավասարումների համակարգի համար կունենանք՝

$$\begin{cases} I_1(p) = I_2(p) + I_3(p), \\ (R_1 + pL)I_1(p) + R_2 I_2(p) = \varepsilon(p) + LI_1(0), \\ \frac{1}{pC} I_3(p) - R_2 I_2(p) = -\frac{U_C(0)}{p} : \end{cases}$$

Այս հավասարումների համակարգը լուծելով $I_3(p)$ -ի նկատմամբ,

կունենանք՝ $I_3(p) = pC \frac{\varepsilon(p)R_2 + R_2 LI_1(0) - (pL + R_1 + R_2) \frac{U_C(0)}{p}}{p^2 LCR_2 + p(L + R_1 R_2 C) + R_1 + R_2}$:

5.40. $I_L(p) = \frac{1}{pL} \cdot \frac{\varepsilon(p) \frac{I_0}{R} \frac{1}{p}}{\frac{1}{1 + pC} + \frac{1}{pL}} + \frac{I_0}{p}$:

5.41. $I(t) = 10^{-3}e^{-10^6 t} \text{Ա}; U_C(t) = 5(2 - e^{-10^6 t}) \text{Վ};$

5.42. **Լուծում:** Ինդուկտիվության միջով հոսող հոսանքի և ունակության վրա լարման սկզբնական արժեքները համապատասխանաբար հավասար են՝

$$I_L(0) = \frac{U}{R_1 + R_2} \text{ և } U_C(0) = \frac{R_2}{R_1 + R_2} U;$$

Կիրիսիտի երկրորդ օրենքի համաձայն՝ պատկերների նկատմամբ օպերատորական հավասարումները կունենան հետևյալ տեսքը՝

$$I_2(p)(R_2 + pL) = \frac{U}{p} + LI_L(0); I_3(p) \left(R_3 + \frac{1}{pC} \right) = \frac{U}{p} - \frac{U_C(0)}{p},$$

այս հավասարումներից կունենանք՝

$$I_2(p) = \frac{\frac{U}{L} + pI_L(0)}{p(p + R_2/L)} \text{ և } I_3(p) = \frac{U - U_C(0)}{R_3(p + \frac{1}{R_3C})} :$$

Պատկերներից անցնելով բնօրինակների՝ կունենանք՝

$$I_2(t) = \frac{U}{R_2} \left(1 - e^{-\frac{R_2}{L}t} \right) + I_L(0)e^{-\frac{R_2}{L}t} = \frac{U}{R_2} \left(1 - \frac{R_1}{R_1 + R_2} e^{-\frac{R_2}{L}t} \right);$$

$$I_3(t) = \frac{U - U_C(0)}{R_3} e^{-\frac{t}{R_3C}} = \frac{UR_1}{R_3(R_1 + R_2)} e^{-\frac{t}{R_3C}}, \quad I_1(t) = I_2(t) + I_3(t):$$

5.43. **Լուծում:** Գրենք $\varepsilon(t)$ իմպուլսի անալիտիկ տեսքը՝

$$\varepsilon(t) = \begin{cases} \frac{t}{T}, & 0 \leq t \leq T, \\ -\frac{1}{T}(t - 2T), & T \leq t \leq 2T, \\ 0, & t \geq 2T: \end{cases}$$

Օգտվելով Դյուամելի ինտեգրալից՝ կարող ենք գրել՝

$$U_R(t) = \varepsilon(0)h(t) + \int_0^t \varepsilon'(\theta)h(t - \theta)d\theta, \quad \varepsilon(0) = 0, \quad h(t) = e^{-\frac{t}{RC}},$$

$$I(t) = \frac{U_R(t)}{R}, \quad I(t) = \frac{1}{R} \int_0^{2T} \varepsilon'(\theta)h(t - \theta)d\theta ;$$

$$I(t) = \frac{1}{R} \int_0^T \frac{1}{T} e^{-\frac{t-\theta}{RC}} d\theta - \frac{1}{R} \int_T^{2T} \frac{1}{T} e^{-\frac{t-\theta}{RC}} d\theta = -\frac{C}{T} e^{-\frac{t}{RC}} \left(1 - e^{\frac{T}{RC}} \right)^2, \quad t > 2T:$$

5.44. $I(t) = 0,2(e^{-500t} - e^{-10^3 t}) \text{Ա};$

5.45. **Լուծում:** $U_R(t) = \varepsilon(0)h(t) + \int_0^t \varepsilon'(\theta)h(t - \theta)d\theta, \quad I(t) = \frac{U_R(t)}{R},$

$$h(t) = 1 - e^{-\frac{R}{L}t}, \quad h(0) = 0:$$

1. $t_1 < t < t_2$ դեպքում՝

$$I(t) = \frac{1}{L} \int_0^{t_1} e^{-\frac{R}{L}(t-\theta)} d\theta + \frac{2}{L} \int_{t_1}^t e^{-\frac{R}{L}(t-\theta)} d\theta = \frac{1}{R} \left[2 - e^{-\frac{R}{L}t} (1 + e^{\frac{R}{L}t_1}) \right];$$

2. $t > t_2$ դեպքում՝

$$I(t) = \frac{1}{L} \int_0^{t_1} e^{-\frac{R}{L}(t-\theta)} d\theta + \frac{2}{L} \int_{t_1}^{t_2} e^{-\frac{R}{L}(t-\theta)} d\theta + \frac{1}{R} e^{-\frac{R}{L}t} (2e^{\frac{R}{L}t_2} - e^{\frac{R}{L}t_1} - 1);$$

5.46. $\frac{U}{1-\alpha\tau} (e^{-\alpha t} - e^{-\frac{t}{\tau}}), \tau = L/R:$

5.47. $1,11(e^{-10^3 t} - e^{-10^4 t})$ Ա:

5.48. Լուծում: $U_L(t) = U(0)h_L(t) + \int_0^t U'(\theta)h_L(t-\theta)d\theta, U(0) = 0,$

$$U'(\theta) = k, h_L(t) \div \frac{K_L(p)}{p} = \frac{p}{p^2 + \omega_0^2}, \omega_0^2 = \frac{1}{LC}, h_L(t) = \cos\omega_0 t,$$

$$h_L(t-\theta) = \cos\omega_0(t-\theta),$$

$$U_L(t) = \int_0^t k \cos\omega_0(t-\theta)d\theta = \frac{k}{\omega_0} \sin\omega_0 t, \quad t \geq 0:$$

$$U_C(t) = U(t) - U_L(t) = kt - \frac{k}{\omega_0} \sin\omega_0 t, \quad t \geq 0:$$

6.1. Լուծում: $t = NT$ ժամանակ անց լայնույթը կլինի՝

$$I_m(NT) = I_0 e^{-\alpha NT}:$$

$$\text{Այստեղից } \frac{I_0}{I_m(NT)} = e^{\alpha NT} = n, \text{ որտեղից}$$

$$N = \frac{\ln n}{\alpha T}: Q = \frac{\rho}{R} = \frac{1}{R} \sqrt{\frac{L}{C}} = \frac{\omega L}{R} = \frac{\omega}{2\alpha} = \frac{\pi}{\alpha T}, \text{ հետևաբար } N = \frac{Q}{\pi} \ln n:$$

6.2. $Q = 23,9$: Օգտվել նախորդ խնդրի լուծումից:

6.3. Կոնտուրի մարման լոգարիթմական դեկրեմենտը՝

$$\delta = \ln \frac{I_m(t)}{I_m(t+T)} = \alpha T, \text{ իսկ 6.1 խնդրից ունենք}$$

$$N = \frac{\ln n}{\delta} = \frac{\ln 100}{0,02} = 100 \ln 10 = 230:$$

6.4. 157, 3,4 Օհմ:

6.5. $Q = \frac{\omega_0}{2\Delta\omega_p} = \frac{\pi}{\delta}$, որտեղ $2\Delta\omega_p$ -ը թողարկման շերտն է: Հետևաբար՝

$$f_0 = \frac{2\Delta f_p}{\delta} = \frac{1,6 \cdot 10^6 \cdot 3,14}{0,05} = 100 \text{ ՄՀց:}$$

6.6. $X_L \cdot X_C = \frac{L}{C} = \rho^2, Q = \frac{\rho}{R} = \frac{\sqrt{220 \cdot 178}}{4} = 49,5:$

6.7. 11,1 պՖ; 200մ; 94Վ; 555,5վ; 0,0167; $5,32 \cdot 10^{-3}$; 188: Նկատի ունեցեք, որ կոնտուրի մարումը՝ $d = \frac{2\alpha}{\omega_0} = \frac{R}{L\omega_0} = \frac{R}{\sqrt{L/C}}$, իսկ $Q = 1/d$:

6.8. 49,2 մԱ; 43,5Վ; $\pm 10^0$; $-80^0(-100^0)$:

6.9. 191 մկՀն; 530պՖ; 0,1Ա; 60Վ; 0,4Վ:

6.10. 319 մկՀն; 319պՖ; 600մ:

6.11. 3 ՍՀց; 81պՖ; 659 Օհմ; 38մԱ:

6.12. **Լուծում:** Խնդ.6.12 ա) նկարում բերված սխեմաների համարժեքությունից կարող ենք գրել՝

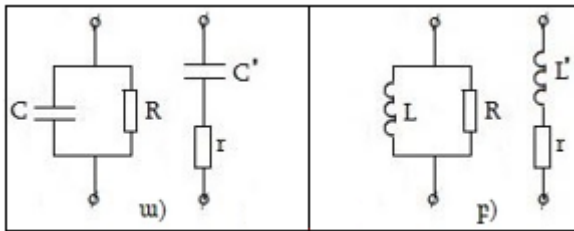
$$r + \frac{1}{j\omega_0 C'} = \frac{R - \frac{1}{j\omega_0 C}}{R + \frac{1}{j\omega_0 C}}; \frac{1}{\omega_0 C} = \rho, \quad r = \frac{R}{1 + \frac{R^2}{\rho^2}} \approx \frac{\rho^2}{R^2}, \quad \frac{R}{\rho} \gg 1,$$

$$C' = C \left(1 + \frac{\rho^2}{R^2}\right) \approx C:$$

բ) սխեմաների համարժեքությունից կունենանք՝

$$\frac{j\omega_0 LR}{R + j\omega_0 L} = r + j\omega_0 L',$$

$$\omega_0 L = \rho, \quad r = \frac{\rho^2 R}{R^2 + \rho^2} \approx \frac{R}{1 + \frac{R^2}{\rho^2}} \approx \frac{\rho^2}{R}, \quad \frac{R}{\rho} \gg 1, \quad L' = \frac{LR^2}{R^2 + \rho^2} = \frac{L}{1 + \frac{R^2}{\rho^2}} \approx L:$$



Խնդ.6.12

6.13 /վ:

6.14. 20; 39,8 Օհմ:

6.15. 4 Օհմ; 9,1մկՀն; 57 պՖ:

6.16. **Լուծում:** $Q = \frac{\rho}{r}$, $r = r_L + r_C$, $\rho = \sqrt{\frac{L}{C}}$, $Q = \frac{\omega_0}{2\Delta\omega}$, $\omega_0 = \frac{1}{\sqrt{LC}}$:

$$Q = \frac{\sqrt{L/C}}{r_L + r_C}, \quad tg\delta = \omega_0 r_C C = \frac{r_C}{\rho}, \quad r_C = \sqrt{\frac{L}{Ctg\delta}} = 10 \text{ Օհմ};$$

$$\rho = 1000 \text{ Օհմ}; \quad Q = 50; \quad \omega_0 = 25 \cdot 10^5 \text{ ռադ/վ}; \quad 2\Delta\omega = 5 \cdot 10^4 \text{ ռադ/վ};$$

6.17. 47,2կՕմ:

6.18. 100; 92,6; 70,7; 38,5:

6.19. 10 Օհմ; 1Վ:

6.20. Լուծում. ա) $Q = \frac{f_0}{2\Delta f} = 30$; $R = \frac{\rho}{Q} = \frac{1}{2\pi f_0 C Q} = 8,84$ Օհմ;

$$A(\omega) = \frac{1}{\sqrt{\varepsilon^2 + d^2}}, \quad A_{սլաք} = \frac{1}{d} = Q, \quad \varepsilon = \frac{2\Delta f}{f_0} = \frac{1}{Q}, \quad \frac{A_{սլաք}}{A(\omega)} = \frac{\sqrt{\varepsilon^2 + d_1^2}}{d_1} = 1,25,$$

$$\varepsilon^2 + d_1^2 = 1,25^2 d_1^2, \quad 0,75d_1 = \varepsilon; \quad Q_1 = \frac{1}{d_1} = \frac{0,75}{\varepsilon} = 0,75Q, \quad \text{այսինքն՝}$$

բարորակությունը պետք է փոքրացնել 25%-ով: թ) $\frac{A_{սլաք}}{A(\omega)} = \frac{\sqrt{\varepsilon^2 + d_2^2}}{d_2} = 2$;

$\varepsilon^2 + d_2^2 = 4d_2^2, \quad \sqrt{3}d_2 = \varepsilon = \frac{1}{Q}, \quad Q_2 = \frac{1}{d_2} = \sqrt{3}Q, \quad \text{այսինքն՝ բարորակ-}$
 կությունը պետք է մեծացնել $\sqrt{3}$ անգամ:

6.21. Լուծում: $\omega_0 = \frac{\rho}{L}, \rho = QR, \omega_0 = \frac{QR}{L}, \rho = 250$ Օհմ:

$$\nu = \frac{\Delta C}{C + \Delta C}, \Delta C \ll C, \nu \approx \frac{\Delta C}{C}, C = \frac{\Delta C}{\nu}, C = 2000 \text{ պՖ};$$

$$L = \rho^2 C = 125 \text{ մկՀն}; \omega_0 = 2 \cdot 10^6 \text{ ռադ/վ};$$

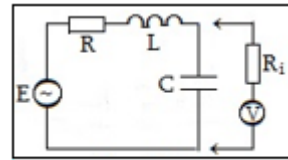
6.22. 167; 10Վ; 10Վ; 7,07Վ:

6.23. Տե՛ս Խնդ.6.23-ի նկարը: $Q_0 = \frac{U_{0m}}{E_m} = 100$;

$$Q_0 = \frac{\rho}{R}, \quad \rho = \omega_0 L = \frac{1}{\omega_0 C} = Q_0 R:$$

$$U_{1m} = K_1 E_m, \quad \dot{K}_1(\omega) = \frac{R_{սլ}}{R + j\left(Q_0 R + \frac{R_{սլ}}{Q_0}\right)}$$

$$K_1 = |\dot{K}_1(\omega)| = \frac{R_{սլ} Q_0}{\sqrt{R^2 Q_0^2 + \left(Q_0^2 R + R_{սլ}\right)^2}} = 33,3,$$



Խնդ.6.23

$$U_{1m} = 33,3 \text{ Վ};$$

6.24. 100 կՕմ; 35,3 կՕմ; 55,6 կՕմ; 40,2 կՕմ; 70 կՕմ:

6.25. $-j \frac{n}{n^2 - 1} \sqrt{\frac{L}{C}}$:

6.26. 10^4 ռադ/վ; 66,7 կՕմ; -94,6 կՕմ:

6.27. Ցուցում: Նկ. 6.14-ում պատկերված սխեման ներկայացնենք համարժեք տեսքով (տե՛ս Խնդ. 6.27-ի նկարը):

$$R'_2 = \frac{\rho^2}{R_2}, C' = C \text{ (տե՛ս 6.12. խնդրի լուծումը),}$$

$$\rho = \sqrt{L/C} = 300 \text{ Ohm}, R_{oe} = \frac{\rho^2}{R_1 + R'_2},$$

$$R'_2 = 3 \text{ Ohm}; R_{oe} = 15 \text{ կՕմ:}$$

6.28. 37,4 մկՀն; 62; 4,5 մԱ:

6.29. 20; $5 \cdot 10^4$ ռադ/վ:

6.30. 227 մՎտ:

6.31. Ցուցում: $Z_{0e} = p^2 \rho Q = p^2 \frac{\rho^2}{R} = p^2 \frac{L}{RC}$, որտեղ

$$p = \frac{C_2}{C_1 + C_2} \text{ միացման գործակիցն է, } C = \frac{C_1 C_2}{C_1 + C_2},$$

$$Z_{0e} = \left(\frac{C_2}{C_1 + C_2} \right)^2 \cdot \frac{1}{R \omega_0^2 C^2} = \frac{1}{R \omega_0^2 C_1^2}, \quad \omega_0 = \frac{2\pi c}{\lambda} = 2 \cdot 10^7 \text{ ռադ/վ:}$$

$$C_1 = \frac{1}{\omega_0 \sqrt{Z_{0e} R}} = 10^{-10} \text{ Ֆ, } L = \frac{1}{\omega_0^2 C} = 31,25 \text{ մկՀն:}$$

6.32. 20 կՕմ; 200 Վ:

$$\mathbf{6.33. Ցուցում: } \left. \begin{aligned} Q_h &= \frac{Q}{1 + \frac{R_{0e}}{R_i}}; & R_{0e} &= \frac{x_1^2}{r} = \frac{x_2^2}{r}, \\ & & \left\{ \begin{aligned} x_1 &= \omega_p L_1, \\ x_2 &= \omega_p L_2 - \frac{1}{\omega_p C}, \end{aligned} \right. & R_{0e} &= \\ & & r &= r_1 + r_2: \end{aligned} \right\}$$

$$= p^2 \rho Q, \quad p = \frac{L_1}{L_1 + L_2}, \quad \rho = \frac{1}{\omega_p C} = 2 \text{ կՕմ}, \quad L_1 + L_2 = \frac{\rho}{\omega_p} = 2 \text{ մՀն:}$$

$$p = 0,25; R_{0e} = 12,5 \text{ կՕմ}; Q_h = 88,9; 2\Delta\omega = \frac{\omega_p}{Q_h} = 11250 \text{ ռադ/վ:}$$

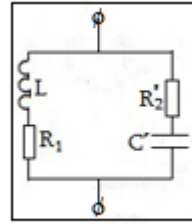
6.34. $L_1 = 56,8$ մկՀն; $L_2 = 44,6$ մկՀն; $r = 5,1$ կՕմ:

6.35. Լուծում: Ձուգահեռ կոնտուրի ռեզոնանսի պայմանն է՝
 $x_1 + x_2 = 0,$

$$\omega_0 L_1 - \frac{1}{\omega_0 C_1} + \omega_0 L_2 - \frac{1}{\omega_0 C_2} = 0; \quad \omega_0 (L_1 + L_2) = \frac{1}{\omega_0} \cdot \frac{C_1 + C_2}{C_1 C_2};$$

$$L = L_1 + L_2 = 9 \text{ մկՀն}; \quad C = \frac{C_1 C_2}{C_1 + C_2} = 30,8 \text{ պՖ:}$$

$$f_0 = \frac{1}{2\pi\sqrt{LC}} = 9,57 \text{ ՄՀց}; \quad Q = \frac{\sqrt{L/C}}{r}, \text{ որտեղ } r = r_1 + r_2 = 6 \text{ Օմ:}$$



Խնդ. 6.27

$$Q = 90; R_{0e} = \frac{x_1^2}{r} = \frac{x_2^2}{r} = 660 \text{ Ohm};$$

$$\mathbf{6.36. \text{ Լուծում:}} I(t) = I_0 + I_{1m} \cos \omega_n t + I_{2m} \cos 2\omega_n t + I_{3m} \cos 3\omega_n t;$$

$$U = U_0 + U_{1m} \cos(\omega_n t + \varphi_1) + U_{2m} \cos(2\omega_n t + \varphi_2) + U_{3m} \cos(3\omega_n t + \varphi_3);$$

$$U_0 = I_0 r = 0,5 \text{ Վ}; \omega = \omega_n;$$

$$U_{1m} = I_{1m} R_{0e}; R_{0e} = \frac{1}{rC} = 50 \text{ կՕմ}; \varphi_1 = 0; U_{1m} = 100 \text{ Վ};$$

$$\omega = n\omega_n; \dot{Z}_{oe} = -j\rho \frac{n}{n^2-1} \text{ (տե՛ս 6,25 խնդրի պատասխանը), } n = 2,$$

$$\dot{Z}_{oe} = -j \frac{1000}{3} = \frac{1000}{3} e^{-j\frac{\pi}{2}} \text{ Օհմ}; \varphi_2 = -\frac{\pi}{2}; U_{2m} = I_{2m} |\dot{Z}_{oe}| = 16,7 \text{ Վ};$$

$$n = 3, \dot{Z}_{oe} = -j \frac{375}{2} = \frac{375}{2} e^{-j\frac{\pi}{2}} \text{ Օհմ}; \varphi_3 = -\frac{\pi}{2};$$

$$U_{3m} = I_{3m} |\dot{Z}_{oe}| = 1,87 \text{ Վ}; \text{ Այսպիսով՝}$$

$$U = 0,5 + 100 \cos \omega_n t + 16,7 \cos \left(2\omega_n t - \frac{\pi}{2} \right) + 1,87 \cos \left(3\omega_n t - \pi/2 \right) \text{ Վ};$$

$$\mathbf{6.37.} (1 - k^2) \frac{d^4 I_1}{dt^4} + \left(\frac{R_1}{L_1} + \frac{R_2}{L_2} \right) \frac{d^3 I_1}{dt^3} + \left(\frac{R_1 R_2}{L_1 L_2} + \frac{1}{L_1 C_1} + \frac{1}{L_2 C_2} \right) \frac{d^2 I_1}{dt^2} +$$

$$+ \frac{1}{L_1 L_2} \left(\frac{R_1}{C_2} + \frac{R_2}{C_1} \right) \frac{dI_1}{dt} + \frac{1}{L_1 C_1 L_2 C_2} I_1 = \frac{1}{L_1} \frac{d^3 \varepsilon}{dt^3} + \frac{R_2}{L_1 L_2} \frac{d^2 \varepsilon}{dt^2} + \frac{1}{L_1 L_2 C_2} \frac{d\varepsilon}{dt},$$

$$\text{որտեղ } k = \frac{M}{\sqrt{L_1 L_2}};$$

6.38. Լուծում: Օգտվելով Կիրխոֆի օրենքներից՝ հոսանքների համար կազմենք հավասարումների համակարգ.

$$\mathbf{(1)} I = I_1 + I_2; \mathbf{(2)} IR + U_1 = \varepsilon; \mathbf{(3)} L_1 \frac{dI_2}{dt} - U_1 = M \frac{dI_3}{dt};$$

$$\mathbf{(4)} L_2 \frac{dI_3}{dt} + U_2 = M \frac{dI_2}{dt}, \text{ իսկ } q_1 = C_1 U_1 \text{ և } q_2 = C_2 U_2$$

$$\text{առնչություններից կունենանք՝ } I_1 = C_1 \frac{dU_1}{dt}; I_3 = C_2 \frac{dU_2}{dt};$$

$$\mathbf{(3)} \text{ և } \mathbf{(4)} \text{ հավասարումներից գտնում ենք՝ } \frac{dI_2}{dt} = \frac{L_2 U_1 - M U_2}{L_1 L_2 (1 - k^2)}, \text{ որտեղ } k =$$

$$\frac{M}{\sqrt{L_1 L_2}}: \text{ Տեղադրելով } I_1 \text{ և } I_2 \text{ արտահայտությունները } \mathbf{(2)} \text{ հավասարման}$$

մեջ և կատարելով որոշ ձևափոխություններ՝ կստանանք՝

$$\frac{d^2 U_1}{dt^2} + \frac{1}{RC_1} \frac{dU_1}{dt} + \frac{1}{L_1 C_1 (1 - k^2)} U_1 - \frac{k^2}{M C_1 (1 - k^2)} U_2 = \frac{1}{RC_1} \frac{d\varepsilon}{dt}. \quad \mathbf{(I)}$$

Այնուհետև I_2 և I_3 արտահայտությունները տեղադրելով $\mathbf{(4)}$ -ի մեջ, կստանանք՝

$$\frac{d^2 U_2}{dt^2} + \frac{1}{L_2 C_2 (1-k^2)} U_2 - \frac{k^2}{M C_2 (1-k^2)} U_1 = 0: \quad (\text{II})$$

(I) և (II) դիֆերենցիալ հավասարումները միասին կազմում են այն համակարգը, որը թույլ կտա որոշելու U_1 և U_2 լարումները:

6.39. Լուծում: Կիրիստոֆի երկրորդ օրենքի համաձայն՝ կարող ենք

$$\text{գրել } \begin{cases} L_1 \frac{dI_1}{dt} - U_1 = M \frac{dI_2}{dt}, \\ L_2 \frac{dI_2}{dt} + U_2 = M \frac{dI_1}{dt}: \end{cases} \text{ Այս հավասարումների համակարգը լուծել-$$

ով I_1 -ի և I_2 -ի նկատմամբ՝ կստանանք՝

$$I_1 = \frac{1}{L_1 L_2 - M^2} (L_2 \int_0^t U_1 dt - M \int_0^t U_2 dt);$$

$$I_2 = \frac{1}{L_1 L_2 - M^2} \left(M \int_0^t U_1 dt - L_1 \int_0^t U_2 dt \right):$$

6.40. $C_{\text{կ}} = 450$ պՖ:

6.41. Լուծում: Լրիվ ռեզոնանսի դեպքում $\omega = \omega_0$, $k = \sqrt{d_1 d_2}$,

$$X_{\text{կ}} = \sqrt{R_1 R_2}: X_{\text{կ}} = 4 \text{ Օհմ}, X_{\text{կ}} = \frac{1}{C_{\text{կ}} \omega_0}, C_{\text{կ}} = \frac{1}{2\pi f_0 X_{\text{կ}}} = 1325 \text{ պՖ},$$

$$C = C_{\text{սո}} = C_{\text{երկ}} = \frac{C_1 C_{\text{կ}}}{C_1 + C_{\text{կ}}} = 35 \text{ պՖ}, f_0 = \frac{1}{2\pi \sqrt{LC}},$$

$$L = L_1 = L_2 = \frac{1}{4\pi^2 f_0^2 C} = 0,79 \text{ մկՀն}, k = d = \frac{R}{\rho},$$

$$\rho = \sqrt{L/C} = 150 \text{ Օհմ}, k = 0,0266, I_{1m} = I_{2m} = \frac{E_m}{2R} = 0,625 \text{ Ա}:$$

6.42. Լուծում: Երկրորդ մասնակի ռեզոնանսի պայմանն է՝

$$x_2 + x'_{\text{սո}} = 0, \text{ որտեղ } x'_{\text{սո}} = -\frac{x_{\text{կ}}^2}{Z_1^2} x_1: L_{\text{սո}} = L_1 + L_{\text{կ}} = 20 \text{ մկՀն};$$

$$L_{\text{երկ}} = L_2 + L_{\text{կ}} = 25 \text{ մկՀն}; x_1 = 2\pi f L_{\text{սո}} - \frac{1}{2\pi f C_1};$$

$$x_2 = 2\pi f L_{\text{երկ}} - \frac{1}{2\pi f C_2}; x_{\text{կ}} = 2\pi f L_{\text{կ}}; f = \frac{v}{\lambda} = 5 \text{ ՄՀց}:$$

$$2\pi f L_{\text{երկ}} - \frac{1}{2\pi f C_2} - \frac{4\pi^2 f^2 L_{\text{կ}}^2}{R_1^2 + (2\pi f L_{\text{սո}} - \frac{1}{2\pi f C_1})^2} \left(2\pi f L_{\text{սո}} - \frac{1}{2\pi f C_1} \right) = 0, \text{ այս}$$

պայմանից կորոշնք C_2 -ը՝ $C_2 = 28,1$ պՖ:

6.43. $L_1 = L_2 = 34,3$ մկՀն, $L_{\text{կ}} = 0,7$ մկՀն; $\eta_x = 80,7\%$:

6.44. 11,2 մԱ; 47,2 մԱ; 27,8 Վ:

6.45. $L_1 = L_2 = 5,67$ մկՀն, $M = 0,057$ մկՀն, $I_{1m} = I_{2m} = 566$ մԱ,

$$U_{2m} = 300\text{Վ}, K = 50:$$

6.46. 578 պՖ (1490 պՖ):

6.47. 2,5 Ա; 2,5 Ա; 967,5 Վ; 20,5 ՄՀգ; 20,73 ՄՀգ:

6.48. Լուծում: $P_2 = \frac{I_{2m}^2}{2} R_2$; $\eta = \frac{P_2}{P} 100\%$; $P = \frac{I_{1m}^2}{2} (R_1 + R_{\text{իւլ}}) = \frac{E_m^2}{2(R_1 + R_{\text{իւլ}})}$;

$R_{\text{իւլ}} = \frac{\omega_0^2 M^2}{R_2^2 + x_1^2} R_2$: Ըստ խնդրի պայմանի՝ $x_1 = x_2 = 0$ ($\omega_1 = \omega_2 = \omega_0$),

$$R_{\text{իւլ}} = 40 \text{ Օհմ}, R_h = R_1 + R_{\text{իւլ}} = 60 \text{ Օհմ}, I_{1m} = \frac{E_m}{R_h} = \frac{1}{6} \text{Ա};$$

$$I_{2m} = \frac{\omega_0 M}{R_2} I_{1m} = \frac{1}{3} \text{Ա}; P_2 = 556 \text{մՎտ}; P = 5/6 \text{Վտ}; \eta = 67\%:$$

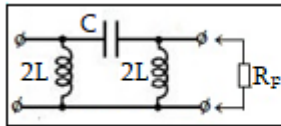
6.49. Լուծում: Օպտիմալ ռեզոնանսի պայմանն է՝ $R_1 = R_{\text{իւլ}}$;

$$x_1 + x_{\text{իւլ}} = 0: R_1 = \frac{\omega^2 M^2}{R_2^2 + \omega^2 L_2^2} R_2; \omega L_1 - \frac{1}{\omega C_1} - \frac{\omega^2 M^2}{R_2^2 + \omega^2 L_2^2} \omega L_2 = 0;$$

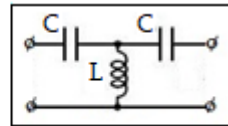
$$M = \frac{1}{\omega} \sqrt{\frac{R_1(R_2^2 + \omega^2 L_2^2)}{R_2}} = 141 \text{ մկՀն}; C_1 = \frac{1}{\omega^2 L \left(1 - \frac{\omega^2 M^2}{R_2^2 + \omega^2 L_2^2}\right)} = 1010 \text{ պՖ}:$$

7.1. Լուծում: Հաշվենք գոտիի ինդուկտիվությունը և ունակությունը՝

$$L = \frac{R_p}{\pi f_u} = 0,053 \text{ Հն} = 53 \text{ մՀն}, C = \frac{1}{\pi f_u R_p} = 0,212 \text{ մկՖ}: \text{T-տիպի քջիջը}$$



Խնդ.7.4



Խնդ.7.6

պարունակում է երկու ինդուկտիվություն (26,5մՀն) և մեկ ունակություն (0,212մկՖ), իսկ Պ-քջիջը՝ մեկ ինդուկտիվություն (26,5մՀն) և երկու ունակություն, յուրաքանչյուրը՝ 0,106 մկՖ:

7.2. $L_1 = 0,32 \text{ Հն}; C_1 = 159 \text{ պՖ}; L_2 = 0,64 \text{ Հն}; C_2 = 79,5 \text{ պՖ}:$

7.3. 41,5 մՀն, 2,3 կՀգ:

7.4. Լուծում: $R_p = \sqrt{L/C}$, $2L = L_1$, $L = \frac{L_1}{2} = 10 \text{մՀն}$, $f_u = \frac{1}{4\pi\sqrt{LC}} = 9 \text{կՀգ}$,

$R_p = 1,1 \text{կՕմ}:$

7.5. 7,96 մՀն; 7960 պՖ:

7.6. T-աձև բջիջը պարունակում է յուրաքանչյուրը 66 պՖ երկու ունակություն և 21,2 մՀն մեկ ինդուկտիվություն (տե՛ս Խնդ. 7.6 նկարը), իսկ Ս-աձև բջիջը՝ 32 նՖ մեկ ունակություն և երկու ինդուկտիվություն (տե՛ս 7.4 խնդրի նկարը):

7.7. Ցուցում: Տե՛ս Խնդ. 7.7 նկարը.

$$f_0^2 = f_{u1} f_{u2} = 120 \text{ կՀց}^2,$$

$$L_1 = \frac{R_F}{\pi(f_{u2} - f_{u1})} = 47,8 \text{ մՀն};$$

$$L_2 = \frac{R_F(f_{u2} - f_{u1})}{4\pi f_0^2} = 398 \text{ մկՀն};$$

$$C_1 = \frac{f_{u2} - f_{u1}}{4\pi f_0^2 R_F} = 4,42 \text{ նՖ}; C_2 = \frac{1}{\pi(f_{u2} - f_{u1}) R_F} = 531 \text{ նՖ}:$$

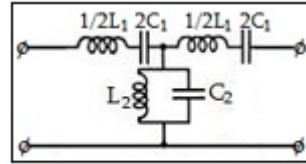
7.8. $L_1 = 3,19$ մՀն; $L_2 = 392$ մկՀն; $C_1 = 62,8$ պՖ; $C_2 = 5095$ պՖ:

7.9. $L_1 = 32$ մՀն; $L_2 = 3,64$ մկՀն; $C_1 = 364$ պՖ; $C_2 = 32$ նՖ:

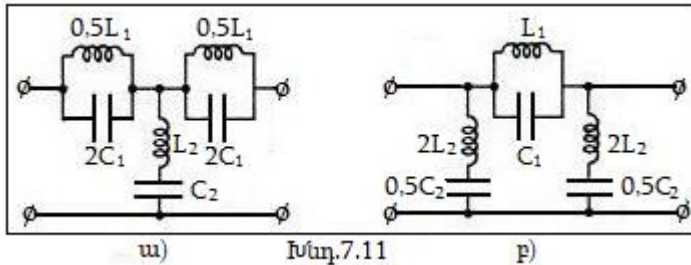
7.10. $L_1 = 5,3$ մՀն; $L_2 = 207$ մկՀն; $C_1 = 1,22$ նՖ; $C_2 = 31,4$ պՖ:

7.11. Լուծում. Տես Խնդ.7.11-ի նկարը. $R_F = \sqrt{\frac{L_1}{C_1}} = \sqrt{\frac{L_2}{C_2}} = 5 \text{ կՕմ},$

$$L_2 = \frac{R_F}{4\pi(f_{u2} - f_{u1})} = 39,8 \text{ մՀն}; C_1 = \frac{1}{4\pi(f_{u2} - f_{u1}) R_F} = 1,6 \text{ նՖ}:$$



Խնդ.7.7



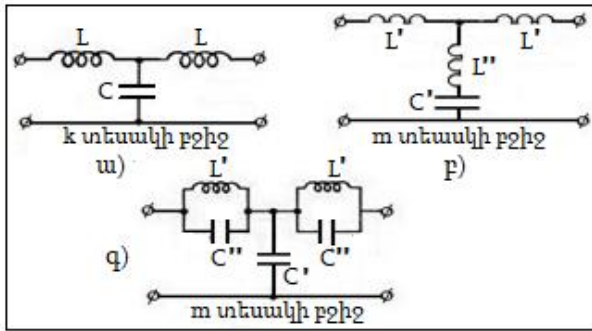
Խնդ.7.11

Փակոցային գոտիչի T- և Ս-աձև բջիջները պատկերած են նկարներում՝

1. T-աձև բջիջը հաջորդական թևերում պարունակում է յուրաքանչյուրը 12,5 մՀն երկու ինդուկտիվություն և յուրաքանչյուրը 3,2 նՖ երկու ունակություն, իսկ զուգահեռ թևում՝ մեկ 39,8 մՀն ինդուկտիվություն և մեկ 1000 պՖ ունակություն:

2. Π -աձև բջիջը հաջորդական թևում պարունակում է մեկ 25 մՀն ինդուկտիվություն և մեկ 1,6 նՖ ունակություն, իսկ զուգահեռ թևերում՝ յուրաքանչյուրը 79,6մՀն երկու ինդուկտիվություն և յուրաքանչյուրը 500պՖ երկու ունակություն:

7.12. Լուծում: « k » տեսակի ստորին հաճախությունների գոյիչի T -աձևբջիջ կարելի է անցնել « m » տեսակի գոյիչի երկու սխեմաների



Խնդ.7.12

(տե՛ս Խնդ.7.12բ,գ): Որոշենք նկարում բերված « m » տեսակի գոյիչ-ների պարամետրերը՝ $L' = mL = 72$ մՀն; $C' = mC = 0,072$ մկՖ;

$$L'' = \frac{1-m^2}{2m} L = 64 \text{ մՀն}; C'' = \frac{1-m^2}{2m} C = 0,064 \text{ մկՖ}:$$

7.13. 0,35մ կՀն/մ; 71,4պՖ/մ:

7.14. 0,3125 մկՀն/մ:

7.15. 1. չի կարելի; 2. կարելի է:

7.16. 640 Ohմ; 40 Ohմ:

7.17. Լուծում: l_2 երկարության գծի մուտքային դիմադրությունը կլինի՝

$$Z'_1 = R_2 \frac{1+j\frac{\rho_2}{R_2}tgkl_2}{1+j\frac{R_2}{\rho_2}tgkl_2}, kl_2 = 1,5\pi, tg1,5\pi \rightarrow \infty,$$

հետևաբար $Z'_1 = \frac{\rho_2^2}{R_2} = 400 \text{ Ohm}$: Z'_1 և R_1 դիմադրությունները միացած են զուգահեռ և հանդիսանում են l_1 երկարության գծի բեռը՝ $Z_2 = \frac{Z'_1 R_1}{Z'_1 + R_1} = 133 \text{ Ohm}$: Ամբողջ շղթայի մուտքային դիմադրությունը կլինի՝ $Z_1 = Z_2 \frac{1+j\frac{\rho_1}{Z_2}tgkl_1}{1+j\frac{\rho_1}{Z_2}tgkl_1}$, $kl_1 = \pi$, $tg\pi = 0$, հետևաբար՝ $Z_1 = Z_2 = 133$

Ohm:

7.18. $-j100 \text{ Ohm}$; $-j 57,74 \text{ Ohm}$; 0 ; $j 57,74 \text{ Ohm}$; ∞ :

7.19. 75 Ohm ; $l = \left(0,2 + \frac{n}{2}\right) \lambda$, $n = 0, 1, 2, \dots$:

7.20. $2747+j1366 \text{ Ohm}$:

7.21. $4,6 \text{ մ}$:

7.22. **Լուծում:** L ինդուկտիվության կոճը կարելի է ներկայացնել որպես Δx երկարության ելքում կարճ միացված գծի կտոր (տե՛ս Խնդ. 7.22-ի նկարը), որի մուտքային դիմադրությունը հավասար է այդ կոճի ինդուկտիվ դիմադրությանը՝ $Z_{\text{մ}} = j\omega L = j\rho t g k \Delta x$, $\Delta x < \lambda/4$,

$$\Delta x = \frac{1}{k} \arctg \frac{2\pi f L}{\rho}; \quad x = \frac{\lambda}{2} - \Delta x; \quad \lambda = \frac{v}{f} = 3 \text{ մ}; \quad k = \frac{2\pi}{\lambda} = \frac{2}{3} \pi;$$

$$\Delta x = \frac{3}{2\pi} \arctg 2,09 = 0,537 \text{ մ}; \quad x = 0,963 \text{ մ}:$$

7.23. 166 Ohm :

7.24. 160 Վ ; 40 Վ ; $1,6 \text{ Ա}$; $0,4 \text{ Ա}$: **Լուծում:** $p_u = \frac{U_{\text{անդ}}}{U_{\text{ընկ}}}$,

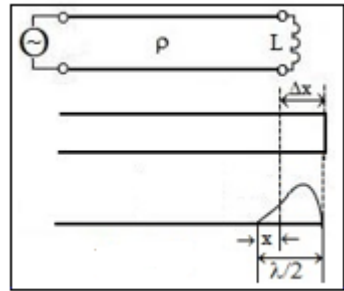
$$U_{\text{անդ}} = p_u U_{\text{ընկ}} = 60 \text{ Վ}; \quad U_{\text{max}} = U_{\text{անդ}} + U_{\text{ընկ}} = 160 \text{ Վ};$$

$$U_{\text{min}} = U_{\text{ընկ}} - U_{\text{անդ}} = 40 \text{ Վ}; \quad I_{\text{max}} = \frac{U_{\text{max}}}{\rho} = 1,6 \text{ Ա};$$

$$I_{\text{min}} = \frac{U_{\text{min}}}{\rho} = 0,4 \text{ Ա};$$

7.25. $141,4 \text{ Վ}$; $141,4 \text{ Վ}$; 100 Վ ; ∞ :

7.26. **Լուծում:** $Z_2 = 0$, գծի սկզբից հաշված x կետում



Խնդ. 7.22

$$U = U_m \frac{\sin k(l-x)}{\sin kl} \cos 2\pi ft; \dot{I} = -\frac{1}{j\omega L_0} \frac{dU}{dx},$$

$$\dot{I} = \frac{kU_m}{j\omega L_0} \frac{\cos k(l-x)}{\sin kl}, x = l, \dot{I} = \dot{I}_2,$$

$$I_{2m} = \frac{U_m}{\rho \sin kl}, \sin kl = \sin(\pi/2) = 1, I_{2m} = \frac{U_m}{\rho} = 1 \text{ Ա:}$$

7.27. յ115,5 Օհմ; 40Վ; 0,346Ա:

7.28. Լուծում: $\lambda_{lp} = \frac{2}{\sqrt{\left(\frac{m}{a}\right)^2 + \left(\frac{n}{b}\right)^2}}$; 1. $\lambda_{lp} = \frac{2ab}{\sqrt{a^2+b^2}}$, E_{11} և H_{11} ալիքների

համար՝ $\lambda_{lp} = 4,29$ սմ; 2. $\lambda_{lp} = \frac{2ab}{\sqrt{4a^2+b^2}} = 2,33$ սմ, E_{12} և H_{12}

ալիքների համար:

7.29. 9,6սմ; 4,8սմ; 4,8սմ; 3,4սմ:

7.30. 45,72սմ; $4,12 \cdot 10^8$ մ/վ; $2,18 \cdot 10^8$ մ/վ; 4,12սմ:

7.31. 10սմ:

7.32. Լուծում: $\lambda_0 = \frac{2}{\sqrt{\left(\frac{m}{a}\right)^2 + \left(\frac{n}{b}\right)^2 + \left(\frac{q}{c}\right)^2}}$, $m = 1$, $n = 0$, $q = 1$;

$$\lambda_0 = \frac{2al}{\sqrt{a^2+l^2}} = 32,6 \text{ սմ:}$$

Հավելված 1

Չեռնարկում օգտագործված ինտեգրալներ

$$1. \int \frac{dx}{a^2+x^2} = \frac{1}{a} \operatorname{arc} \operatorname{tg} \frac{x}{a};$$

$$2. \int_0^\infty \frac{\sin ax}{x} dx = \begin{cases} \frac{\pi}{2}, & \text{երբ } a > 0 \\ -\frac{\pi}{2}, & \text{երբ } a < 0 \end{cases};$$

$$3. \int_{-\infty}^\infty e^{-\alpha x^2} dx = \sqrt{\frac{\pi}{\alpha}};$$

$$4. \int_{-\infty}^\infty \frac{\sin^2 y}{y^2} dy = \pi$$

$$5. \int_0^\infty x^3 e^{-\alpha x^2} dx = \frac{1}{2\alpha^2};$$

$$6. \int_0^\infty x^2 e^{-\alpha x^2} dx = \frac{1}{4} \sqrt{\frac{\pi}{\alpha^3}};$$

$$7. \int_0^\infty x^{2n+1} e^{-\alpha x^2} dx = \frac{n!}{2 \cdot \alpha^{n+1}};$$

$$8. \int_0^\infty x^{2n} e^{-\alpha x^2} dx = \frac{(2n-1)!}{2^{n+1}} \sqrt{\frac{\pi}{\alpha^{2n+1}}};$$

$$9. \int_{-\infty}^\infty \frac{\sin \omega_0 x dx}{x^2 - tx} = \pi \frac{\cos \omega_0 t - 1}{t};$$

$$10. \frac{1}{2\pi} \int_{-\infty}^\infty \cos \omega \tau d\omega = \delta(\tau);$$

$$11. \int_{-\infty}^\infty \frac{\cos \omega \tau}{1 + \omega^2 T^2} d\omega = \frac{\pi}{T} e^{-|\tau|/T};$$

$$12. \int_{-\infty}^\infty \frac{\cos \omega_0 \tau d\tau}{t - \tau} = \pi \cdot \operatorname{sgn}(\omega_0) \sin \omega_0 t;$$

$$13. \int_{-\infty}^{\infty} \frac{\sin \omega_0 \tau d\tau}{t-\tau} = -\pi \cdot \operatorname{sgn}(\omega_0) \cos \omega_0 t:$$

$$14. \int_0^{\infty} \cos \omega t e^{-\alpha^2 t^2} dt = \frac{\sqrt{\pi}}{2\alpha} e^{-\frac{\omega^2}{\alpha^2}}:$$

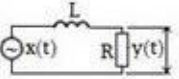
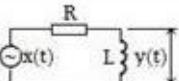
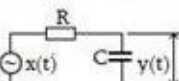
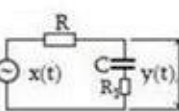
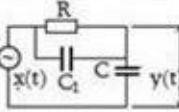
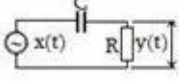
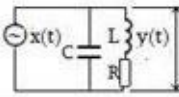
Հավելված 2

Պատկերներ և բնօրինակներ (Հստ Լսպլսսի)		
№	F(p)	x(t)
1	1	$\delta(t)$
2	1/p	$\sigma(t)=1(t)$
3	$\frac{1}{p^2}$	t
4	$\frac{n!}{p^{n+1}}$	t^n
5	$\frac{\Gamma(\alpha+1)}{p^{\alpha+1}}$	$t^\alpha (\alpha > -1)$
6	$\frac{1}{p \pm \alpha}$	$e^{\mp \alpha t}$
7	$\frac{p}{p+\alpha}$	$\delta(t) - \alpha e^{-\alpha t}$
8	$\frac{1}{(p+\alpha)^2}$	$t e^{-\alpha t}$
9	$\frac{n!}{(p-\alpha)^{n+1}}$	$t^n e^{\alpha t}$
10	$\frac{\alpha}{p(p+\alpha)}$	$1 - e^{-\alpha t}$
11	$\frac{p}{(p+\alpha)^2}$	$(1-\alpha t)^{-\alpha t}$
12	$\frac{\omega}{p^2 + \omega^2}$	$\sin \omega t$

13	$p/(p^2+\omega^2)$	$\cos\omega t$
14	$\frac{\omega}{(p+a)^2+\omega^2}$	$e^{-at}\sin\omega t$
15	$\frac{p+a}{(p+a)^2+\omega^2}$	$e^{-at}\cos\omega t$
16	$\frac{1}{(p+a)(p+b)}$	$\frac{1}{b-a}(e^{-at}-e^{-bt})$
17	$\frac{p}{(p+a)(p+b)}$	$\frac{1}{b-a}(be^{-bt}-ae^{-at})$
18	$\frac{p^2}{(p+a)(p+b)}$	$\delta(t)+\frac{1}{b-a}(a^2e^{-at}-b^2e^{-bt})$
19	$\frac{\omega}{p^2-\omega^2}$	$\text{sh}\omega t$
20	$\frac{p}{p^2-\omega^2}$	$\text{ch}\omega t$
21	$\frac{p}{(p+a)^2+\omega^2}$	$e^{-at}(\cos\omega t-\frac{a}{\omega}\sin\omega t)$
22	$\frac{a^2}{p^2(p+a)}$	$at-(1-e^{-at})$
23	$\frac{a^2}{p(p+a)^2}$	$1-(1+at)e^{-at}$
24	$\frac{1}{p(p+a)(p+b)}$	$\frac{1}{ab}[1+\frac{1}{a-b}(be^{-at}-ae^{-bt})]$
25	$\frac{1}{p[(p+a)^2+\omega^2]}$	$\frac{1}{a^2+\omega^2}[1-e^{-at}(\cos\omega t+\frac{a}{\omega}\sin\omega t)]$
26	$\frac{1}{(p+a)(p^2+\omega^2)}$	$\frac{1}{a^2+\omega^2}(e^{-at}\cos\omega t+\frac{a}{\omega}\sin\omega t)$
27	$\frac{p}{(p+a)(p^2+\omega^2)}$	$\frac{1}{a^2+\omega^2}(-ae^{-at}+a\cos\omega t+\omega\sin\omega t)$
28	$\frac{p^2}{(p+a)(p^2+\omega^2)}$	$\frac{1}{a^2+\omega^2}(a^2e^{-at}-a\omega\sin\omega t+\omega^2\cos\omega t)$

Հավելված 3

Պարզագույն գծային համակարգերի կոմպլեքս փոխանցման գործակիցները և իմպուլսային բնութագրերը

Սխեման	$\dot{K}(\omega)$	$g(t)$
	$\frac{R}{R+j\omega L}$	$\frac{R}{L} e^{-\frac{R}{L}t}$
	$\frac{j\omega L}{R+j\omega L}$	$\delta(t) - \frac{R}{L} e^{-\frac{R}{L}t}$
	$\frac{1}{1+j\omega RC}$	$\frac{1}{RC} e^{-\frac{1}{RC}t}$
	$\frac{1+j\omega T_1}{1+j\omega T}$, $T=(R+R_1)C, T_1=R_1C$	$\frac{T_1}{T} \delta(t) - \frac{RC}{T^2} e^{-\frac{1}{T}t}$
	$\frac{1+j\omega T_1}{1+j\omega T}$, $T=R(C+C_1), T_1=RC_1$	$\frac{T_1}{T} \delta(t) - \frac{RC}{T^2} e^{-\frac{1}{T}t}$
	$\frac{j\omega RC}{1+j\omega RC}$	$\delta(t) - \frac{1}{RC} e^{-\frac{1}{RC}t}$
	$\frac{\omega^2}{\omega^2 - \omega_0^2 + j2\alpha\omega}$, $\omega_0 = \frac{1}{\sqrt{LC}}, \alpha = \frac{R}{2L}$	$\omega_0 e^{-\alpha t} \sin \omega_0 t, \omega_0 \gg \alpha$ $\alpha^2 t e^{-\alpha t}, \omega_0 = \alpha$ $\frac{\omega_0^2}{\sqrt{\alpha^2 - \omega_0^2}} e^{-\alpha t} \operatorname{sh} \sqrt{\alpha^2 - \omega_0^2} t, \omega_0 < \alpha$

Հավելված 4

Տանգենս ֆունկցիայի արժեքները 0-90⁰-ում

tg(1°)	0.0175	tg(31°)	0.6009	tg(61°)	1.804
tg(2°)	0.0349	tg(32°)	0.6249	tg(62°)	1.8807
tg(3°)	0.0524	tg(33°)	0.6494	tg(63°)	1.9626
tg(4°)	0.0699	tg(34°)	0.6745	tg(64°)	2.0503
tg(5°)	0.0875	tg(35°)	0.7002	tg(65°)	2.1445
tg(6°)	0.1051	tg(36°)	0.7265	tg(66°)	2.246
tg(7°)	0.1228	tg(37°)	0.7536	tg(67°)	2.3559
tg(8°)	0.1405	tg(38°)	0.7813	tg(68°)	2.4751
tg(9°)	0.1584	tg(39°)	0.8098	tg(69°)	2.6051
tg(10°)	0.1763	tg(40°)	0.8391	tg(70°)	2.7475
tg(11°)	0.1944	tg(41°)	0.8693	tg(71°)	2.9042
tg(12°)	0.2126	tg(42°)	0.9004	tg(72°)	3.0777
tg(13°)	0.2309	tg(43°)	0.9325	tg(73°)	3.2709
tg(14°)	0.2493	tg(44°)	0.9657	tg(74°)	3.4874
tg(15°)	0.2679	tg(45°)	1	tg(75°)	3.7321
tg(16°)	0.2867	tg(46°)	1.0355	tg(76°)	4.0108
tg(17°)	0.3057	tg(47°)	1.0724	tg(77°)	4.3315
tg(18°)	0.3249	tg(48°)	1.1106	tg(78°)	4.7046
tg(19°)	0.3443	tg(49°)	1.1504	tg(79°)	5.1446
tg(20°)	0.364	tg(50°)	1.1918	tg(80°)	5.6713
tg(21°)	0.3839	tg(51°)	1.2349	tg(81°)	6.3138
tg(22°)	0.404	tg(52°)	1.2799	tg(82°)	7.1154
tg(23°)	0.4245	tg(53°)	1.327	tg(83°)	8.1443
tg(24°)	0.4452	tg(54°)	1.3764	tg(84°)	9.5144
tg(25°)	0.4663	tg(55°)	1.4281	tg(85°)	11.4301
tg(26°)	0.4877	tg(56°)	1.4826	tg(86°)	14.3007
tg(27°)	0.5095	tg(57°)	1.5399	tg(87°)	19.0811
tg(28°)	0.5317	tg(58°)	1.6003	tg(88°)	28.6363
tg(29°)	0.5543	tg(59°)	1.6643	tg(89°)	57.29

Օգտագործված գրականություն

1. **Շ. Մ. Մովսիսյան**, Խնդիրներ բաղիոտելնիկայի տեսական հիմունքներից: Երևանի համալսարանի հրատարակչություն: Երևան, 1990թ.:

2. **М. Р. Шебес**, Теория линейных электрических цепей в упражнениях и задачах. Высшая школа, М., 1973г.

3. **Л. А. Бессонов и др.**, Сборник задач по теоретическим основам электротехники. Высшая школа, М., 1975г.

4. **С. И. Баскаков**, Радиотехнические цепи и сигналы. Высшая школа, М., 2003г.

5. **А. А. Харкевич**, Основы радиотехники, Физматлит, М., 2007г.

6. **А. Н. Надольский**, Теоретические основы радиотехники, БГУИР, Минск, 2005г.

7. **В. Т. Першин**, Основы радиоэлектроники, Высшая школа, Минск, 2006г.

8. **А. П. Молчанов, П. Н. Занадворов**, Курс электротехники и радиотехники, БХВ-Петербург, С-П, 2011г.

9. **О. А. Стеценко**, Радиотехнические цепи и сигналы, Высшая школа, М., 2007г.

10. **М.Т.Иванов** и др., Теоретические основы радиотехники, Высшая школа, М., 2002г.

11. **В. И. Нефедов, А. С. Сигов**, Основы радиоэлектроники и связи, Высшая школа, М., 2009г.

ԵՐԵՎԱՆԻ ՊԵՏԱԿԱՆ ՀԱՄԱԼՍԱՐԱՆ
ՌԱԴԻՈՖԻԶԻԿԱՅԻ ԵՎ ԷԼԵԿՏՐՈՆԻԿԱՅԻ ԱՄԲԻՈՆ

Կարեն Միքայելի Մովսիսյան, Վահե Ռազմիկի Թադևոսյան,
Դավիթ Հակոբի Բաղդասարյան

Խնդիրներ ռադիոտեխնիկայի տեսական հիմունքներից
(Գծային շղթաներ)
Ուսումնական ձեռնարկ

YEREVAN STATE UNIVERSITY
CHAIR OF RADIOPHYSICS AND ELECTRONICS

Karen Mikayel Movsisyan, Vahe Razmik Tadevosyan,
Davit Hakob Baghdasaryan

Problems in theoretical fundamentals of radio engineering
(linear circuits)

educational manual

Հրատ. պատ. խմբ.՝ Լ. Հովհաննիսյանի
Համակարգչային ձևավորումը՝ Կ. Չալաբյանի
Կազմի ձևավորումը՝ Ա. Պատվականյանի
Հրատ. սրբագրումը՝ Ա. Գոյումջյանի

Տպագրված է «ՔՈՓԻ ՓՐԻՆԹ» ՍՊԸ-ում:
Ք. Երևան, Խորենացի 4-րդ նրբ., 69 տուն

Ստորագրված է տպագրության՝ 08.06.2022:
Չափսը՝ 60x84 1/16: Տպ. մամուլը՝ 11.625:
Տպաքանակը՝ 100:

ԵՊՀ հրատարակչություն
ք. Երևան, 0025, Ալեք Մանուկյան 1
www.publishing.y-su.am